

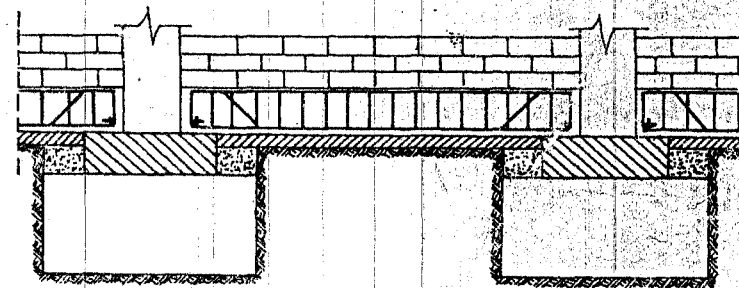
UNIVERSITATEA "POLITEHNICA" TIMIȘOARA  
FACULTATEA DE CONSTRUCȚII  
CATEDRA DE DRUMURI ȘI FUNDATII

VIRGIL HAIDA

AGNETA GRUIA

stud. TOMA G. - evident

ÎNDRUMĂTOR DE PROIECTARE  
FUNDATII DIRECTE



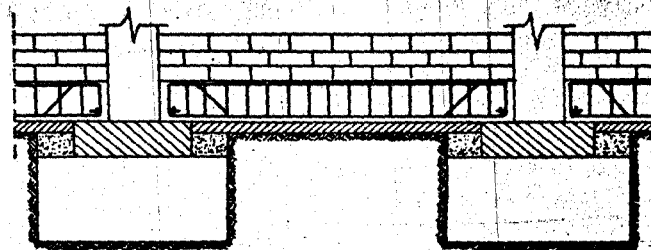
Pentru uzul studenților  
Timișoara, 1996.

UNIVERSITATEA "POLITEHNICA" TIMIȘOARA  
FACULTATEA DE CONSTRUCȚII  
CATEDRA DE DRUMURI ȘI FUNDATII

VIRGIL HAIDA

AGNETA GRUIA

ÎNDRUMĂTOR DE PROIECTARE  
**FUNDATII DIRECTE**



*Pentru uzul studenților  
Timișoara, 1996*

## P R E F A Ț A

Îndrumătoarele de proiectare aduc o contribuție substanțială la pregătirea de specialitate și la formarea deprinderilor de muncă independentă în proiectare a viitorilor specialiști din domeniul construcțiilor.

Prezentul îndrumător se referă la proiectarea fundațiilor directe de mică adâncime, sistem de fundare utilizat cu frecvența cea mai mare în practica executării diverselor construcții. Lucrarea se adresează în primul rând studenților de la diferitele specializări ale profilului de construcții, în a căror plan de învățământ figurează disciplinele de geotehnică și de fundații, dar ea poate fi în egală măsură utilă și inginerilor proiectanți de construcții.

Îndrumătorul de proiectare este structurat pe cinci capitole. În primul capitol se face o prezentare sintetică a elementelor generale de proiectare a fundațiilor directe de mică adâncime, iar în următoarele patru capitole se detaliază și se exemplifică calculul de proiectare a tipurilor de fundații din această categorie, folosite curent în practică (fundații izolate și continue sub stâlpi, fundații continue sub pereți, radiere generale tip placă).

Lucrarea conține și o serie de tabele cu valori ale unor coeficienți care intervin în calculul de proiectare a fundațiilor și care sunt conforme cu normativele și standardele în vigoare.

Coordonarea generală a elaborării lucrării a fost asigurată de către prof.dr.ing. Virgil HAIDA, iar elaborarea efectivă și responsabilitatea conținutului a fost repartizată astfel: capitolele 1 și 2 - prof.dr.ing. Virgil HAIDA, capitolele 3, 4 și 5 - prof.dr.ing. Agneta GRUIA.

Autorii aduc mulțumiri referenților de specialitate: prof.cons.dr. ing. Marin PĂUNESCU, prof.dr.ing. Dan TUDOR și prof.dr.ing. Marin MARIN, pentru analizarea materialului și sugestiile făcute. De asemenea, autorii adresează mulțumiri d-nelor Ana BAICU și Suzana ÎMBĂRUȘ care au realizat dactilografierea, execuția desenelor și colaționarea materialului.

Timișoara, decembrie 1995

Autorii

## CAPITOLUL 1

### 1. ELEMENTE GENERALE DE CALCUL ȘI PROIECTARE A FUNDAȚIILOR DIRECTE DE MICĂ ADÂNCIME

#### 1.1. Clasificarea fundațiilor directe de mică adâncime

Soluția de fundare directă de mică adâncime sau de suprafață se aplică atunci când terenul bun de fundare se găsește la adâncime relativ mică (max. 5...6 m) față de suprafața terenului, astfel încât executarea săpăturilor deschise este convenabilă, atât sub aspect tehnic cât și economic.

După forma în plan și alcătuirea constructivă, fundațiile directe de mică adâncime se pot clasifica astfel:

- fundații izolate sub stâlpi;
- fundații continue (în fâșie) sub pereți;
- fundații continue (grinzi) sub stâlpi;
- fundații sub formă de rețele de grinzi încrucișate sub stâlpi;
- fundații radier general.

#### 1.2 Etapele proiectării fundațiilor directe de mică adâncime

Proiectarea fundațiilor directe de mică adâncime cuprinde următoarele etape:

- stabilirea adâncimii de fundare;
- alegerea tipului de fundație în funcție de natura terenului de fundare, natura și mărimea încărcărilor construcției, alcătuirea constructivă a suprastructurii, condițiile tehnologice de exploatare a construcției etc.;
- alegerea materialului din care se execută fundațiile;
- calculul de dimensionare a fundațiilor.

#### 1.3. Stabilirea adâncimii minime de fundare

În general, adâncimea minimă de fundare  $D_{\text{min}}$  se stabilește în funcție de:

- adâncimea maximă de îngheț;
- natura, stratificația și rezistența terenului de fundare;
- înălțimea minimă constructivă a fundației, destinația și condițiile tehnologice de exploatare a construcției.

În funcție de adâncimea de îngheț, adâncimea minimă de fundare se determină cu relația:



$$D_{\min} = H_1 + (0,10 \dots 0,25), \quad [m] \quad (1.1)$$

unde  $H_1$  reprezintă adâncimea de îngheț, ale cărei valori diferă în funcție de zona geografică a țării noastre, fiind date în STAS 6054-77.

La construcțiile fără subsol, adâncimea de fundare se consideră de la cota terenului sistematizat din jurul construcției, iar la cele cu subsol închis, de la cota pardoselii subsolului. La acestea din urmă, adâncimea minimă de fundare este de 50 cm, terenul fiind ferit de acțiunea înghețului.

În cazul unui teren de fundare alcătuit din straturi de pământ cu caracteristici geotehnice diferite, talpa fundațiilor trebuie să pătrundă cel puțin 20 cm în stratul de fundare.

La construcțiile amplasate în albiile râurilor, adâncimea minimă de fundare trebuie să depășească ca mărime adâncimea de afuiere.

Pentru construcții fundate pe terenuri dificile (pământuri sensibile la umezire, pământuri cu umflări și contracții mari etc.), adâncimea de fundare se stabilește în conformitate cu prescripțiile tehnice în vigoare, specifice pământurilor respective.

#### 1.4. Materiale utilizate la executarea fundațiilor

Fundațiile construcțiilor se pot realiza din:

- zidărie de piatră;
- beton ciclopian;
- beton simplu;
- beton armat.

La execuția fundațiilor din zidărie de piatră se aplică prevederile din prescripțiile specifice lucrărilor de zidărie din piatră naturală.

Betonul ciclopian se utilizează numai în cazul unor fundații de mare volum, în scopul reducerii consumului de beton.

Calitatea betoanelor simple sau armate, utilizate la executarea fundațiilor, se stabilește de către proiectant, în funcție de destinație, solicitări, condiții ale mediului de fundare și influența acestora asupra durabilității betonului, conform precizărilor din normativul C 140-86.

În tabelul 1.1 sunt date clasele minime de beton, iar în tabelul 1.2, tipurile de oțel, utilizate la executarea fundațiilor:

Tabelul 1.1.

Clasele minime de beton utilizate la lucrări de fundații (conform P.10-86)

Clasa beton	Domeniul de utilizare
0	1
B.s	Bc 2 - umpluturi și egalizări

(continuare tabel 1.1)

	0	1	2
Beton simplu	Bc 3,5	- egalizări și umpluturi în situații speciale justificate de proiectant;	
	Bc 5	- fundații continue, blocuri de fundații cu cuzinet neancorat sau situate în pământuri cu variații mici de umiditate, la clădiri de locuit având până la S+P+4E - numai în cazul fundațiilor situate deasupra nivelului maxim al apei freatice.	
	Bc 7,5	- idem la clădiri de locuit având de la S+P+5E până la S+P+10 E.	
Beton armat	Bc 10	- fundații continue la clădiri cu cel mult două niveluri expuse la variații de umiditate, situate în zone de fluctuație a apei freatice sau în contact cu acestea;	
	Bc 15	- blocuri de fundație cu cuzinetul ancorat;	
Beton ciclopian	Bc ≤ 7,5	- tălpi de fundații izolate sau continue, relativ slab solicitate (de regulă cele armate constructiv cu bare din oțel OB 37) și neexpuse la acțiuni agresive.	
	Bc > 7,5	- tălpi de fundații izolate sau continue, fundații pahar monolite, cuzineți, radiere și rețele de grinzi neexpuse la acțiuni agresive, cu procente optime de armare;	
		Bc 15	- fundații pahar prefabricate, fundații supuse la solicitări importante și fundații supuse la acțiuni dinamice.
	Bc ≤ 7,5	- în elemente masive de beton care nu sunt supuse la acțiunea mediilor agresive, având maxim 50 % materiale înglobate.	
	Bc > 7,5	- idem, având maxim 30 % materiale înglobate	

NOTĂ: Între mărcile și clasele betonului există următoarele echivalențe (C 140-86): B 50 ≡ Bc 3,5; B 75 ≡ Bc 5; B 100 ≡ Bc 7,5; B 150 ≡ Bc 10; B 200 ≡ Bc 15; B 250 ≡ Bc 20; B 300 ≡ Bc 22,5; B 400 ≡ Bc 30; B 450 ≡ Bc 35; B 500 ≡ Bc 40; B 600 ≡ Bc 50; B 700 ≡ Bc 60.

Tabelul 1.2

Tipurile de oțel utilizate în elemente de beton armat pentru fundații (conform P 10-86).

Tipul de oțel	Domeniul de utilizare
Oțel beton rotund - OB 37	- armătură constructivă;
	- armătură de rezistență.

(continuare tabel 1.2)

Tipul de oțel	Domeniul de utilizare
Sărmă trasă netedă STNB	- armătură de rezistență, numai sub formă de plase sau carcasi sudate, în elemente din betoane de clasă cel puțin 10.
Oțel beton cu profil periodic PC 52 și oțel cu caracteristici similare oțelului PC 60	- armătură de rezistență în elemente din betoane de clasă cel puțin 8c 15

### 1.5. Calculul de dimensionare a fundațiilor directe

Dimensionarea fundațiilor directe cuprinde:

- stabilirea dimensiunilor în plan ale bazei (tălpii) fundației pe baza calculului terenului de fundare;
- stabilirea secțiunii transversale verticale a fundației pe baza calculului de dimensionare din condiția de rezistență a materialului din care se execută.

Dimensiunile în plan ale tălpii fundației se determină astfel încât, pe lângă un consum minim de material, să fie asigurate condițiile de rezistență, stabilitate și exploatare normală a construcției, impunându-se verificarea următoarei condiții generale:

$$p_{efmax} \leq p_{tr} \quad (1.2)$$

în care:

- $p_{efmax}$  - presiunea efectivă maximă transmisă terenului de către fundație la nivelul tălpii sale (pe suprafața de contact);
- $p_{tr}$  - presiunea maximă acceptată pe terenul de fundare la care sunt asigurate condițiile de rezistență, stabilitate și exploatare normală a construcției.

Condiția (1.2) de verificare a presiunii efective pe teren, dacă este cazul, se completează și cu cea referitoare la tasarea construcției, adică tasarea probabilă calculată  $s$  să nu depășească tasarea admisă  $s_a$ :

$$s \leq s_a \quad (1.3)$$

Calculul presiunii efective pe teren  $p_{ef}$  precum și calculul de dimensionare a fundațiilor din condiția de rezistență a materialului vor fi explicate și particularizate în capitolele următoare, pentru fiecare tip de fundație.

Mărima și semnificația fizică a presiunii maxime acceptate pe terenul de fundare, notată cu  $p_{tr}$ , depind de modul de efectuare a calculului terenului

de fundare.

În cazul fundațiilor directe, calculul terenului de fundare se efectuează diferențiat în funcție de:

- clasa de importanță a construcției (conform STAS 10100/0-75);
- sistemul static și alcătuirea constructivă a structurii;
- cerințele procesului tehnologic;
- natura terenului de fundare;
- faza de proiectare.

În funcție de elementele precizate mai sus, calculul terenului de fundare, care intervine la proiectarea fundațiilor directe, se poate face în trei moduri:

- pe baza presiunilor convenționale;
- la starea limită de deformații (SLD);
- la starea limită de capacitate portantă (SLCP).

#### 1.5.1. Calculul terenului de fundare pe baza presiunilor convenționale

De regulă, calculul terenului de fundare pe baza presiunilor convenționale se efectuează pentru stabilirea preliminară a dimensiunilor în plan ale fundațiilor.

Calculul de dimensionare definitivă pe baza presiunilor convenționale se poate face numai în cazul unor construcții obișnuite (claselor de importanță III, IV și V), nesensibile la tasări, fără restricții în exploatare și fundate pe un teren bun (conform tabelului 1.3).

Tabelul 1.3.

Terenuri de fundare bune

Nr. crt.	Tipul de teren
0	1
1	Blocuri, bolovănișuri sau pietrișuri conținând mai puțin de 40% nisip și mai puțin 30 % argilă, în condițiile unei stratificații practic uniforme și orizontale (având înclinarea mai mică de 10%)
2	Pământuri nisipoase, inclusiv nisipuri prăfoase, indesate sau de indesare medie, în condițiile unei stratificații practic uniforme și orizontale
3	Pământuri coezive cu plasticitate redusă: nisipuri argiloase, prafuri nisipoase și prafuri, având $e \leq 0,7$ și $I_p \geq 0,5$ în condițiile unei stratificații practic uniforme și orizontale
4	Pământuri coezive cu plasticitate medie: nisipuri argiloase, prafuri nisipoase argiloase, având $e \leq 1$ și $I_p \geq 0,5$ în condițiile unei stratificații practic uniforme și orizontale

(continuare tabel 1.3)

0	1
5	Pământuri coezive cu plasticitate mare: argile nisipoase, argile prăfoase și argile, având $e \leq 1,1$ și $I_p \geq 0,5$ în condițiile unei stratificații practic uniforme și orizontale
6	Roci stâncoase și semistâncoase în condițiile unei stratificații practic uniforme și orizontale
7	Orice combinație între stratificațiile precizate la nr.crt.1...6
8	Umpluturi de proveniență cunoscută realizate organizat, conținând materii organice sub 5 %

Atât la calculul preliminar, cât și definitiv, al terenului de fundare pe baza presiunilor convenționale, trebuie îndeplinite condițiile:

- la încărcări centrice:

$$p_{ef} \leq p_{conv} \text{ - în gruparea fundamentală; } (1.4)$$

$$p'_{ef} \leq 1,2 \cdot p_{conv} \text{ - în gruparea specială; } (1.4.a)$$

- la încărcări excentrice:

- după o direcție:

$$p_{ef,max} \leq 1,2 \cdot p_{conv} \text{ - în gruparea fundamentală; } (1.5)$$

$$p'_{ef,max} \leq 1,4 \cdot p_{conv} \text{ - în gruparea specială; } (1.5.a)$$

- după două direcții:

$$p_{ef,max} \leq 1,4 \cdot p_{conv} \text{ - în gruparea fundamentală; } (1.6)$$

$$p'_{ef,max} \leq 1,6 \cdot p_{conv} \text{ - în gruparea specială; } (1.6.a)$$

în care:

$p_{ef}$ ,  $p'_{ef}$  - presiunea efectivă medie provenită din încărcările de calcul în gruparea fundamentală, respectiv gruparea specială;

$p_{ef,max}$ ,  $p'_{ef,max}$  - presiunea efectivă maximă provenită din încărcările de calcul în gruparea fundamentală, respectiv gruparea specială;

$p_{conv}$  - presiunea convențională de calcul.

Mărima presiunii convenționale de calcul  $p_{conv}$  se determină cu relația:

$$p_{conv} = \bar{p}_{conv} + C_B + C_D, \quad [kPa] \quad (1.7)$$

în care:

$\bar{p}_{conv}$  - presiunea convențională de bază, corespunzătoare unei fundații cu lățimea  $B=1$  m și adâncimea de fundare  $D_f=2$  m, ale cărei valori sunt date în tabelele 1.4, 1.5, 1.6 și 1.7;

$C_B$  - corecția de lățime;

$C_D$  - corecția de adâncime;

Tabelul 1.4

Valorile presiunii convenționale de bază  $\bar{p}_{conv}$  pentru terenuri de fundare stâncoase și semistâncoase

Denumirea terenului de fundare		$\bar{p}_{conv}$ , [kPa]
Roci stâncoase		1000...6000
Roci semi-stâncoase	Marne, marne argiloase și argile marnoase compacte	350...1100
	Șisturi argiloase, argile gistoase și nisipuri cimentate	600...850

OBSERVAȚIE - În intervalul indicat, valorile  $\bar{p}_{conv}$  se aleg ținând seama de compactitatea și starea de degradare a rocii stâncoase sau semistâncoase. Ele nu variază cu adâncimea de fundare și dimensiunile în plan ale fundațiilor.

Tabelul 1.5

Valorile presiunii convenționale de bază  $\bar{p}_{conv}$  pentru terenuri de fundare necoezive

Denumirea terenului de fundare		Îndesate <sup>a)</sup>	Îndesare medie <sup>a)</sup>
		$\bar{p}_{conv}$ , [kPa]	
Blocuri și bolovănișuri cu interspațiile umplute cu nisip și pietriș		750	
Blocuri cu interspațiile umplute cu pământuri argiloase		350...600 <sup>b)</sup>	
Pietrișuri curate (din fragmente de roci cristaline)		600	
Pietrișuri cu nisip		550	
Pietrișuri din fragmente de roci sedimentare		350	
Pietrișuri cu nisip argilos		350...500 <sup>b)</sup>	
Nisip mare		700	600
Nisip mijlociu		600	500
Nisip fin	uscat sau umed	500	350
	foarte umed sau saturat	350	250
Nisip fin prăfos	uscat	350	300
	umed	250	200
	foarte umed sau saturat	200	150

a) În cazul în care datorită pământului nu este posibilă prelevarea de probe netulburate, stabilirea gradului de îndesare se poate face pe baza penetrării dinamice în foraj sau a penetrării statice.

b) În intervalul indicat, valorile se aleg ținând seama de consistența pământului argilos aflat în interspații interpolând între valorile minime pentru  $I_C=0,5$  și maxime corespunzătoare lui  $I_C=1$ .

Tabelul 1.6

Valorile presiunii convenționale de bază  $\bar{p}_{conv}$  pentru terenuri de fundare coezive

Denumirea terenului de fundare	Indicele porilor $b)$ $e$	Consistența $a)b)$	
		$I_C=0,5$	$I_C=1$
		$\bar{p}_{conv}, [kPa]$	
Cu plasticitate redusă ( $I_p \leq 10\%$ ): nisip argilos, praf nisipos, praf	0,5	300	350
	0,7	275	300
Cu plasticitatea mijlocie ( $10\% < I_p \leq 20\%$ ): nisip argilos, praf nisipos argilos, praf argilos, argilă prăfoasă-nisipoasă, argilă prăfoasă	0,5	300	350
	0,7	275	300
	1,0	200	250
Cu plasticitate mare și foarte mare ( $I_p > 20\%$ ): argilă nisipoasă, argilă prăfoasă, argilă, argilă grasă	0,5	550	650
	0,6	450	525
	0,8	300	350
	1,1	225	300

a) În cazul în care datorită pământului nu este posibilă prelevarea de probe netulburate, stabilirea consistenței se poate face pe baza penetrării dinamice în foraj sau a penetrării statice.

b) La pământuri coezive având valori intermediare ale indicelui porilor  $e$  și indicelui de consistență  $I_C$ , se admite interpolarea liniară a valorii presiunii convenționale de calcul după  $I_C$  și  $e$  succesiv.

Tabelul 1.7.

Valorile presiunii convenționale de bază  $\bar{p}_{conv}$  pentru terenuri de fundare alcătuite din umpluturi a)

Denumirea terenului de fundare	Pământuri nisipoase și zguri (cu excepția nisipurilor prăfoase) având:		Nisipuri prăfoase coezive, cenuși etc., având:	
	$S_r^{b)}$			
	$\leq 0,5$	$\geq 0,8$	$\leq 0,5$	$\geq 0,8$
	$\bar{p}_{conv}, [kPa]$			
0	1	2	3	4
Umpluturi din pământuri omogene realizate și compactate în mod organizat (perne, ramblee)	250	200	180	150

(continuare tabel 1.7)

Depozite omogene rezultate în urma unor activități sistematice de depunere de pământuri și reziduri mineraliere	0	1	2	3	4
	compactate controlat	250	200	180	150
	necompactate, dar având o vechime de depunere de minimum doi ani	180	150	120	100

a) Umpluturi cu conținut de materii organice mai mic de 5 %;

b) Pentru valori  $0,5 < S_r < 0,8$  valorile presiunii convenționale se determină prin interpolare liniară.

Corecția de lățime  $C_B$  pentru  $B < 5$  m se calculează cu relația:

$$C_B = \bar{p}_{conv} \cdot K_1 (B-1), \quad [kPa] \quad (1.8)$$

unde:

$K_1$  - coeficient care are valoarea: 0,1 pentru pământuri necoezive cu excepția nisipurilor prăfoase și 0,05 pentru pământuri prăfoase și pământuri coezive;

$B$  - lățimea fundației, în metri.

Pentru  $B \geq 5$  m corecția de lățime este constantă, fiind:

$C_B = 0,4 \bar{p}_{conv}$  - pentru pământuri necoezive, cu excepția nisipurilor prăfoase;

$C_B = 0,2 \bar{p}_{conv}$  - pentru pământuri prăfoase și pământuri coezive.

Corecția de adâncime se determină cu relațiile:

- pentru  $D_f < 2$  m:

$$C_D = \bar{p}_{conv} \cdot \frac{D_f - 2}{4}; \quad [kPa] \quad (1.9)$$

- pentru  $D_f > 2$  m:

$$C_D = K_2 \cdot \bar{\sigma} \cdot (D_f - 2), \quad [kPa] \quad (1.10)$$

în care:

$D_f$  - adâncimea de fundare, în metri;

$K_2$  - coeficient a cărui valori sunt date în tabelul 1.8;

$\bar{\sigma}$  - greutatea volumică de calcul a straturilor de pământ situate deasupra nivelului tălpii fundației (calculată ca medie ponderată cu grosimea straturilor), în  $kN/m^3$ .

Tabelul 1.8.

Valorile coeficientului  $K_2$

Denumirea pământurilor	$K_2$
0	1
Pământuri necoezive, cu excepția nisipurilor prăfoase	2,5

(continuare tabel 1.8)

0	1
Visipuri prăfoase și pământuri coezive cu plasticitate redusă și mijlocie	2,0
Pământuri coezive cu plasticitate mare și foarte mare	1,5

La construcțiile cu subsol se ia corecția de adâncime corespunzătoare valorii celei mai mici dintre  $D_f$  și  $D_f'$  care reprezintă:

$D_f$  - adâncimea de fundare măsurată față de cota terenului sistematizat, la exteriorul peretelui subsolului;

$$D_f' = \frac{q}{\gamma},$$

în care:

$q$  - supraîncărcarea permanentă la nivelul tălpii fundației, în partea interioară a peretelui subsolului, în kPa;

$\gamma$  - greutatea volumică de calcul a straturilor de pământ situate deasupra nivelului tălpii fundației (calculată ca medie ponderată cu grosimea straturilor), la interiorul peretelui subsolului, în  $\text{KN/m}^3$ .

#### 1.5.2. Calculul terenului de fundare la starea limită de deformății

Starea limită de deformății a terenului de fundare (SLD) poate fi de natura unei stări limită ultime (SLU), când deformățiile terenului conduc la tasări și deformății ale construcției, incompatibile cu structura de rezistență a acesteia, sau a unei stări limită a exploatării normale (SLEN), dacă deformățiile terenului afectează buna exploatare a construcției.

Calculul terenului de fundare la starea limită de deformății, considerată ca stare limită ultimă (SLU), se efectuează în următoarele cazuri:

- construcții fondate pe terenuri dificile;
- construcții sensibile la tasări;
- construcții speciale, nesensibile la tasări și fondate pe orice tip de teren, cu excepția rocilor stâncoase.

Calculul la starea limită a exploatării normale se impune a fi efectuat în cazul construcțiilor cu restricții în exploatare, fondate pe orice tip de teren.

În cadrul calculului terenului de fundare la starea limită de deformății (SLD) este necesar să fie satisfăcute următoarele condiții:

- pentru starea limită ultimă (SLU):

$$\Delta_s \leq \bar{\Delta}_s \quad (1.10)$$

- pentru starea limită de exploatare normală (SLEN):

$$\Delta_t \leq \bar{\Delta}_t \quad (1.11)$$

în care:

$\Delta_s$  - deplasări sau deformății posibile ale construcției datorate tasării terenului de fundare, calculate cu încărcări din gruparea fundamentală pentru SLU;

$\Delta_t$  - idem, calculate cu încărcări din gruparea fundamentală pentru SLEN;

$\bar{\Delta}_s$  - deplasări sau deformății de referință, admise pentru structură, stabilite de către proiectantul structurii;

$\bar{\Delta}_t$  - deplasări sau deformății admisibile din punct de vedere tehnologic, stabilite de proiectantul tehnologic.

În lipsa unor valori stabilite de către proiectantul structurii pentru deplasările sau deformățiile admisibile  $\bar{\Delta}_s$ , în mod orientativ se pot folosi valorile din tabelul 1.9.

Tabelul 1.9

Valori orientative ale deplasărilor sau deformățiilor admise pentru construcții neadaptate în mod special la tasări

Tipul construcției	Deplasări sau deformății orientative admisibile ale fundațiilor			
	Deformații		Deplasări (tasări)	
	Tipul deplasării	Valoarea admisă	Tipul deplasării	Valoarea admisă cm
0	1	2	3	4
1. Construcții civile și industriale cu structura de rezistență în cadre a) Cadre din beton armat fără umplutură de zidărie sau panouri	tasare relativă	0,002	tasare absolută maximă $s_{max}$	8
b) Cadre metalice fără umplutură de zidărie sau panouri	tasare relativă	0,004	tasare absolută maximă, $s_{max}$	12
c) Cadre din beton armat cu umplutură de zidărie	tasare relativă	0,001	tasare absolută maximă $s_{max}$	8
d) Cadre metalice cu umplutură de zidărie sau panouri	tasare relativă	0,002	tasare absolută maximă $s_{max}$	12

(continuare tabel 1.9)

0	1	2	3	4	
2	Construcții în structura cărora nu apar eforturi suplimentare datorită tasărilor neuniforme	tasare relativă	0,008	tasare absolută maximă, $s_{max}$	12
3	Construcții multietajate cu ziduri portante din: a) panouri mari	încovoiere relativă, $f$	0,0007	tasare medie, $s_m$	10
	b) zidărie din blocuri sau cărămidă, fără armare	încovoiere relativă, $f$	0,001	tasare medie, $s_m$	10
	c) zidărie din blocuri sau cărămidă armată sau cu centuri armate	încovoiere relativă, $f$	0,0012	tasare medie, $s_m$	10
	d) independent de materialul zidurilor	înclinare transversală $tg \theta_{tr}$	0,005	-	-
4	Construcții înalte, rigide a) Silozuri din beton armat: - turnul elevatoarelor și grupurile de celule sunt turnate monolit și reazemă pe același radier continuu	înclinarea longitudinală sau transversală, $tg \theta$	0,003	tasare medie, $s_m$	40
	- turnul elevatoarelor și grupurile de celule sunt din beton armat prefabricat și reazemă pe același radier continuu	înclinarea longitudinală sau transversală, $tg \theta$	0,003	tasare medie, $s_m$	30
	- turnul elevatoarelor rezezat pe un radier independent	înclinare transversală, $tg \theta_{tr}$	0,003	tasare medie, $s_m$	25
		înclinare longitudinală, $tg \theta_t$	0,004	tasare medie, $s_m$	25
	- grupuri de celule turnate monolit rezezate pe un radier independent	înclinare longitudinală sau transversală, $tg \theta$	0,004	tasare medie, $s_m$	40
	- grupuri de celule din beton armat prefabricat rezezate pe un radier independent	înclinare longitudinală sau transversală, $tg \theta$	0,004	tasare medie, $s_m$	30

(continuare tabel 1.9)

0	1	2	3	4
b) Coșuri de fum cu înălțimea $H$ :				
$H < 100$ m	înclinare $tg \theta$	0,005	tasare medie, $s_m$	40
$100 \leq H \leq 200$ m	înclinare $tg \theta$	$\frac{1}{200}$	tasare medie, $s_m$	30
$200 < H \leq 300$ m	înclinare $tg \theta$	$\frac{1}{200}$	tasare medie, $s_m$	20
$H > 300$ m	înclinare, $tg \theta$	$\frac{1}{200}$	tasare medie, $s_m$	10
c) alte construcții înalte, rigide cu înălțime până la 100 m	înclinare, $tg \theta$	0,004	tasare medie, $s_m$	20

\* H în metri

În calculul la starea limită de deformații, respectiv la calculul tasărilor probabile, se consideră ipoteza comportării terenului de fundare ca un mediu liniar deformabil. În consecință trebuie îndeplinite și condițiile:

- pentru fundații încărcate centric:

$$r_{cl} \leq p_{pl} \quad (1.12)$$

- pentru încărcări excentrice după o direcție:

$$p_{ef} \leq p_{pl} \quad \text{și} \quad p_{ef,max} \leq 1,2 p_{pl} \quad (1.12.a)$$

- pentru încărcări excentrice după două direcții:

$$p_{ef} \leq p_{pl} \quad \text{și} \quad p_{ef,max} \leq 1,4 p_{pl} \quad (1.12.b)$$

în care:

$p_{ef}$  - presiunea efectivă medie pe teren la nivelul tălpii fundației, provenită din încărcări de calcul în gruparea fundamentală;

$p_{ef,max}$  - presiunea efectivă maximă pe teren la nivelul tălpii fundației, provenită din încărcările de calcul în gruparea fundamentală, în cazul încărcării excentrice a fundației (după 1 sau 2 direcții);

$p_{pl}$  - presiunea maximă acceptată pentru terenul de fundare, corespunzătoare unei extinderi limitate a zonelor plastice în teren (presiune de plasticizare).

#### 1.5.2.1. Calculul presiunii $p_{pl}$

În cazul fundațiilor izolate având forme în plan dreptunghiulară, presiunea  $p_{pl}$  se calculează cu relațiile:

- la construcții fără subsol:

$$p_{pl} = m_1 \cdot (\bar{\sigma} \cdot B \cdot N_1 + q \cdot N_2 + c \cdot N_3) \quad [\text{kPa}] \quad (1.13)$$

- la construcții cu subsol:

$$p_{pl} = m_1 \cdot (\bar{\sigma} \cdot B \cdot N_1 + \frac{2q + q_1}{3} \cdot N_2 + c \cdot N_3) \quad [\text{kPa}] \quad (1.14)$$

În care:

- $m_1$  - coeficient al condițiilor de lucru, a cărui valori sunt date în tabelul 1.10; pentru fundații continue (în fâșie) se consideră  $m_1 = 1$ ;
- $\bar{\sigma}$  - valoarea medie ponderată a greutății volumice de calcul a straturilor de pământ de sub fundație, cuprinsă pe o adâncime de  $B/4$ , măsurată față de talpa fundației, în  $\text{kN/m}^3$ ;
- $B$  - lățimea tălpii fundației, în metri;
- $q$  - suprasarcina (presiunea geologică) de calcul la nivelul tălpii fundației ( $q = \bar{\sigma} \cdot D_f$ ), în  $\text{kPa}$ ;
- $q_1$  - suprasarcina de calcul la nivelul tălpii fundației, la exteriorul și respectiv la interiorul fundației de subsol, în  $\text{kPa}$ ;
- $c$  - valoarea de calcul a coeziunii specifice a stratului de sub talpa fundației, în  $\text{kPa}$ ;
- $N_1, N_2, N_3$  - coeficienți adimensionali a căror măriri sunt funcție de valoarea de calcul a unghiului de frecare interioară a stratului de pământ de sub talpa fundației (conform tabelului 1.11).

Tabelul 1.10

Valoriile coeficientului condițiilor de lucru $m_1$		
Nr. crt.	Denumirea terenului de fundare	$m_1$
0	1	2
1	Bolovănișuri cu interspațiile umplute cu nisip, pietrișuri și nisipuri cu excepția nisipurilor fine și prăfoase	2,0
2	Nisipuri fine: - uscate sau umede ( $S_r \leq 0,8$ )	1,7
	- foarte umede sau saturate ( $S_r > 0,8$ )	1,6
3	Nisipuri prăfoase: - uscate sau umede ( $S_r \leq 0,8$ )	1,5
	- foarte umede sau saturate ( $S_r > 0,8$ )	1,3
4	Bolovănișuri și pietrișuri cu interspațiile umplute cu pământuri coezive cu $I_c > 0,5$	1,3

(continuare tabel 1.10)

0	1	2
5	Pământuri coezive cu $I_c > 0,5$	1,4
6	Bolovănișuri și pietrișuri cu interspațiile umplute cu pământuri coezive cu $I_c < 0,5$	1,1
7	Pământuri coezive cu $I_c < 0,5$	1,1

Tabelul 1.11

Valoriile coeficienților  $N_1, N_2$  și  $N_3$

$\phi^\circ$ grade	$N_1$	$N_2$	$N_3$	$\phi^\circ$ grade	$N_1$	$N_2$	$N_3$
0	0,00	1,00	3,14	24	0,72	3,87	6,45
2	0,03	1,12	3,32	26	0,84	4,37	6,90
4	0,06	1,25	3,51	28	0,98	4,93	7,40
6	0,10	1,39	3,71	30	1,15	5,59	7,95
8	0,14	1,55	3,93	32	1,34	6,35	8,55
10	0,18	1,73	4,17	34	1,55	7,21	9,21
12	0,23	1,94	4,42	36	1,81	8,25	9,98
14	0,29	2,17	4,69	38	2,11	9,44	10,80
16	0,36	2,43	5,00	40	2,46	10,84	11,73
18	0,43	2,72	5,31	42	2,87	12,50	12,77
20	0,51	3,06	5,66	44	3,37	14,48	13,96
22	0,61	3,44	6,04	45	3,66	15,64	14,64

În lipsa unor date rezultate din încercări geotehnice privind parametrii rezistenței la forfecare  $\phi$  și  $c$ , la calcule preliminare se pot folosi în mod orientativ valorile indicate în tabelul 1.12.

Tabelul 1.12

Valori orientative de calcul ale parametrilor rezistenței la forfecare  $\phi$  și  $c$

Caracterizarea pământurilor		Indicele porilor $e$															
		0,45		0,55		0,65		0,75		0,85		0,95		1,05			
		$\phi$	$c$	$\phi$	$c$	$\phi$	$c$	$\phi$	$c$	$\phi$	$c$	$\phi$	$c$	$\phi$	$c$	$\phi$	$c$
Pământuri necoezive	0	1	2	3	4	5	6	7	8	9	10	11	12	13	14		
	Nisipuri - cu pietriș și nisipuri mari	37	-	34	-	32	-										
	Nisipuri mijlocii	34	-	32	-	30	-										
	Nisipuri fine	32	-	31	-	27	-	23	-								
	Nisipuri prăfoase	31	-	29	-	25	-	22	-								



(continuare tabel 1.12)

Pământuri coezive saturate ( $S_r \geq 0,0$ )	0	1	2	3	4	5	6	7	8	9	10	11	12	13	14
		$I_c$													
$I_p < 10\%$	$0,75 < I_c \leq 1$	25	10	24	7	22	5								
	$0,5 < I_c \leq 0,75$	23	8	22	6	20	4	17	2						
	$0,75 < I_c \leq 1$	22	30	21	24	20	20	19	16	18	14	16	12		
	$0,5 < I_c \leq 0,75$	20	25	19	22	18	18	17	15	15	12	14	10		
	$0,25 < I_c \leq 0,5$					16	16	15	13	13	10	11	9	10	7
	$0,75 < I_c \leq 1$			17	53	16	44	15	35	15	31	13	27	11	24
$I_p > 20\%$	$0,5 < I_c \leq 0,75$					15	37	14	33	13	28	11	24	9	21
	$0,25 < I_c \leq 0,5$					12	29	11	27	10	23	8	21	5	19

#### OBSERVAȚII:

- 1) Valorile din tabelul 1.12 sunt exprimate pentru  $\theta$  în grade și pentru  $c$  în kPa;
- 2) Valorile din tabelul 1.12 se referă la pământuri care conțin maxim 5 % materii organice;
- 3) Pentru valori intermediare ale indicelui porilor se interpolează liniar pentru obținerea caracteristicilor  $\theta$  și  $c$ .

Relațiile de calcul (1.13) și (1.14) pot fi aplicate și în cazul unor fundații cu talpa în formă de cerc sau de poligon regulat; în aceste cazuri se ia valoarea  $B = \sqrt{S}$ , unde  $S$  este suprafața tălpii fundației de formă circulară sau poligonală.

#### 1.5.2.2. Calculul tasărilor probabile

La calculul tasărilor probabile intervin următoarele caracteristici de deformabilitate ale terenului de fundare:

- modulul de deformare liniară,  $E$ , în kPa;
- modulul de deformare edometric,  $M$  în kPa;
- coeficientul de deformare laterală (coeficientul lui Poisson),  $\nu$ .

Pentru coeficientul de deformare laterală (coeficientul lui Poisson) se pot adopta valorile indicate în tabelul 1.13.

Tabelul 1.13.

Denumirea pământurilor	$\nu$
Bolovănișuri și pietrișuri	0,27
Nisipuri (inclusiv nisipuri prăfoase și nisipuri argiloase)	0,30
Praf, praf argilos, argilă nisipoasă, argilă prăfoasă	0,35
Argilă, argilă grasă	0,42

La calculul definitiv pentru construcții din clasele de importanță I și II se recomandă ca valoarea modulului de deformare liniară  $E$  să se determine prin încercări de teren (încărcare cu placă).

În lipsa încercărilor de teren efectuate cu placă de încărcare, pentru calculul deformațiilor în faze preliminare de proiectare la construcțiile din clasele I și II, precum și pentru calcule definitive la construcțiile din clasele III, IV și V, se admite determinarea indirectă a valorii modulului de deformare liniară  $E$ , pe baza unor corelații stabilite cu rezultatele altor încercări de teren (presiometrie, penetrare statică și în terenuri necoezive, penetrare dinamică). De asemenea, în aceste cazuri modulul de deformare liniară  $E$  se poate determina pe baza valorilor modulului de deformare edometric,  $M$  cu relația:

$$E = M_0 \cdot M \quad [\text{kPa}] \quad (1.15)$$

în care:

$M$  - valoarea de calcul a modulului de deformare edometric pentru stratul de pământ respectiv, determinat conform STAS 8942/1-84, în kPa;

$M_0$  - coeficient de corecție ce se determină experimental și pentru care se pot adopta, orientativ, valorile din tabelul 1.14.

Tabelul 1.14.

valorile coeficientului  $M_0$

Denumirea pământurilor	$I_c$	Indicele porilor $e$			
		0,41... 0,60	0,61... 0,80	0,81... 1,00	1,01... 1,10
		$M_0$			
Nisipuri, (cu excepția nisipului argilos)	-	1,0	1,0	-	-
Nisip argilos, praf nisipos, argilă nisipoasă	0,00...1,00	1,6	1,3	1,0	-
Praf, praf argilos, argilă prăfoasă	0,76...1,00	2,3	1,7	1,3	1,1
	0,50...0,75	1,9	1,5	1,2	1,0
Argilă, argilă grasă	0,76...1,00	1,8	1,5	1,3	1,2
	0,50...0,75	1,5	1,3	1,1	1,0

NOTĂ: Pentru pământuri prăfoase și argiloase având  $I_c < 0,5$  sau  $e > 1,10$ , dacă nu se dispune de date experimentale, se poate accepta  $M_0 = 1$ .

În mod orientativ, numai pentru evaluarea preliminară a deformațiilor terenului de fundare, se pot utiliza valorile modulului de deformare liniară  $E$ , date în tabelul 1.15.



Tabelul 1.15  
Valori orientative de calcul ale modului de deformare liniară E

Caracterizarea pământurilor			Indicele porilor e									
Origine	Compoziție granulometrică	$I_c$	0,45	0,55	0,65	0,75	0,85	0,95	1,05	Valori de calcul ale modului E, kPa		
Pământuri Făcături neceozive și teritii organice	Nisipuri cu pietriș, nisipuri mari și mijlocii		50000	40000	30000							
	Nisipuri fine		48000	38000	28000	18000						
	Nisipuri prăfoase		39000	28000	18000	11000						
	aluviale, deluviale, lacustre	0,25...1 0,75...1 0,5...0,75 0,75...1 0,5...0,75	32000 34000 32000 -	24000 27000 25000 28000	16000 22000 19000 24000	10000 17000 14000 21000	7000 14000 11000 18000					
Pământuri Făcături coezive având și maxim 5% ma- teritii organice	glilă prăfoasă, argilă nisipoasă		-	-	-	21000	18000	15000	12000			
	argilă, argilă grasă		-	-	-	21000	18000	15000	12000			
	glilă prăfoasă, argilă nisipoasă	0,25...1 0,75...1 0,5...0,75	33000 40000 35000	24000 33000 28000	17000 27000 22000	11000 21000 17000	7000 14000 11000					
	glilă prăfoasă, argilă nisipoasă	0,25...1 0,75...1 0,5...0,75	33000 40000 35000	24000 33000 28000	17000 27000 22000	11000 21000 17000	7000 14000 11000					

#### A. Calculul tasării probabile cu metoda însumării pe straturi elementare

Pentru calculul tasării probabile cu această metodă, terenul de fundare pe adâncimea zonei active, începând de la nivelul tălpii fundației, se împarte în straturi elementare; fiecare strat elementar este alcătuit din pământ omogen și trebuie să aibă grosimea de maxim 0,4-8 (8 fiind lățimea tălpii fundației).

Adâncimea zonei active  $z^0$ , pe care se calculează tasarea, reprezintă distanța pe verticală dintre nivelul tălpii fundației și nivelul la care este îndeplinită condiția:

$$\sigma_{z^0} \leq 0,2 \sigma_{gz^0} \quad (1.16)$$

în care:

$\sigma_{gz^0}$  - presiunea geologică la adâncimea  $z^0$  față de nivelul tălpii fundației;

$\sigma_{z^0}$  - tensiunea verticală în teren; în punctul situat pe axa fundației la adâncimea  $z^0$ , generată de presiunea netă de la nivelul tălpii fundației.

Presiunea netă  $p_n$  se calculează cu relația:

$$p_n = p_{ef} - \gamma \cdot D_f \quad [\text{kPa}] \quad (1.17)$$

unde:

$p_{ef}$  - presiunea efectivă medie dată rezultanta încărcărilor de calcul provenite din construcție, corespunzătoare grupării fundamentale, în kPa;

$\gamma$  - greutatea volumică medie a pământului situat deasupra nivelului tălpii fundației, în  $\text{kN/m}^3$ ;

$D_f$  - adâncimea de fundare, în metri.

În cazul când limita inferioară a zonei active, stabilită prin condiția (1.16), rezultă în cuprinsul unui strat cu modul de deformare liniară mult mai redus decât a straturilor superioare sau având  $E \leq 5000$  kPa, adâncimea zonei active  $z^0$  se mărește incluzând în întregime acest strat sau până la îndeplinirea condiției:

$$\sigma_{z^0} \leq 0,1 \sigma_{gz^0} \quad (1.18)$$

Tensiunea verticală  $\sigma_{z_1}$  dintr-un punct al terenului de fundare, situat pe axa fundației la adâncimea  $z_1$  față de nivelul tălpii fundației, se calculează cu relația:

$$\sigma_{z_1} = \alpha_{01} \cdot p_n, \quad [\text{kPa}] \quad (1.19)$$

$\alpha_{0i}$  - coeficientul de distribuție pe adâncime a tensiunilor verticale în axa fundației pentru presiune uniform distribuită, a cărei valori sunt date în tabelul 1.16, în funcție de rapoartele  $L/B$  și  $z_1/B$  ( $L$  - lungimea tălpii fundației,  $B$  - lățimea tălpii fundației).

Tabelul 1.16

Valorile coeficientului  $\alpha_{0i}$  pentru calculul distribuției pe adâncime a tensiunilor verticale în axa fundației

adâncime a tensiunilor verticale în sol						
$z_1/B$	Fundatii în formă de:					
	cerc	dreptunghi, cu raportul laturilor $L/B$				$\geq 10$
		1	2	3		
		$A/B \cdot \alpha_0$				
0,0	1,00	1,00	1,00	1,00	1,00	
0,2	0,95	0,96	0,96	0,98	0,98	
0,4	0,76	0,80	0,87	0,88	0,88	
0,6	0,55	0,61	0,73	0,75	0,75	
0,8	0,39	0,45	0,53	0,63	0,64	
1,0	0,29	0,34	0,48	0,53	0,55	
1,2	0,22	0,26	0,39	0,44	0,48	
1,4	0,17	0,20	0,32	0,38	0,42	
1,6	0,13	0,16	0,27	0,32	0,37	
2,0	0,09	0,11	0,19	0,24	0,31	
3,0	0,04	0,05	0,10	0,13	0,21	
4,0	0,02	0,03	0,06	0,08	0,16	
5,0	0,02	0,02	0,04	0,05	0,13	
6,0	0,01	0,02	0,03	0,04	0,10	

OBSERVAȚIE: - Pentru valori intermediare ale rapoartelor  $z_1/B$  și  $L/B$  se admite interpolarea liniară a valorilor  $\alpha_{0i}$ .

Tasarea absolută probabilă se calculează cu formula:

$$s = 100 \cdot \beta \sum_{i=1}^n \frac{\sigma_{zi}^{med} \cdot h_i}{E_i} \quad [cm] \quad (1.20)$$

În care:

$\beta$  - coeficient de corecție egal cu 0,8;

$\sigma_{zi}^{med}$  - tensiunea verticală medie în stratul elementar  $i$ , calculată cu

relația:

$$\sigma_{zi}^{med} = \frac{\sigma_{zi}^{sup} + \sigma_{zi}^{inf}}{2}$$

$\sigma_{zi}^{sup}$ ,  $\sigma_{zi}^{inf}$  - tensiunea verticală la limita superioară, respectiv inferioară, a stratului elementar  $i$ , calculată cu relația (1.19), în kPa;

$h_i$  - grosimea stratului elementar  $i$ , în metri;

$E_i$  - modulul de deformare liniară al stratului elementar  $i$ , în kPa;  
 $n$  - numărul de straturi elementare de pe cuprinsul zonei active.

### 8. Calculul tasării probabile cu metoda stratului liniar deformabil de grosime finită (Metoda Egorov)

Această metodă poate fi aplicată atunci când în limita zonei active apare un strat practic incompresibil ( $E > 100000$  kPa), sau în cazul când lățimea (diametrul) tălpii fundației  $B > 10$  m, iar straturile care constituie zona activă se caracterizează printr-un modul de deformare liniară  $E > 10000$  kPa.

Relația de calcul a tasării absolute probabile în acest caz este:

$$s = 100 \cdot m \cdot p_n \cdot B \sum_{i=1}^n \frac{K_i - K_{i-1}}{E_i} \cdot (1 - \sqrt{v_i}^2) \quad [cm] \quad (1.21)$$

în care:

$m$  - coeficient de corecție prin care se ține seama de grosimea stratului deformabil  $z^0$  (tabelul 1.17);

$p_n$  - presiunea netă medie, calculată cu relația (1.17), în kPa;

$B$  - lățimea (diametrul) tălpii fundației, în metri;

$n$  - numărul straturilor de pământ diferite din cuprinsul zonei active;

$K_i$ ,  $K_{i-1}$  - coeficienți adimensionali, corespunzători nivelului inferior și respectiv superior al stratului deformabil  $i$  (conform tabelului 1.18);

$E_i$  - modulul de deformare liniară a stratului  $i$ , în kPa;

$v_i$  - coeficientul de deformare laterală a stratului  $i$  (tabelul 1.13).

Tabelul 1.17.

Valorile coeficientului de corecție  $m$

$z^0/B$	$m$
0,00...0,25	1,5
0,26...0,50	1,4
0,51...1,00	1,3
1,01...1,50	1,2
1,51...2,50	1,1
$> 2,50$	1,0

Tabelul 1.18.

Valorile coeficienților  $K_i$  pentru calculul tasării cu metoda Egorov

$\frac{z}{B}$	Fundații circulare	$K_i$						
		Fundații dreptunghiulare cu raportul $L/B$ egal cu:						
		1,0	1,5	2,0	3,0	5,0	$> 10,0$	
0	1	2	3	4	5	6	7	
0,0	0,000	0,000	0,000	0,000	0,000	0,000	0,000	
0,1	0,045	0,050	0,050	0,050	0,050	0,050	0,052	

(continuare tabel 1.18)

0	1	2	3	4	5	6	7
0,2	0,090	0,100	0,100	0,100	0,100	0,100	0,104
0,3	0,135	0,150	0,150	0,150	0,150	0,150	0,156
0,4	0,179	0,200	0,200	0,200	0,200	0,200	0,208
0,5	0,233	0,250	0,250	0,250	0,250	0,250	0,260
0,6	0,266	0,299	0,300	0,300	0,300	0,300	0,311
0,7	0,308	0,349	0,349	0,349	0,349	0,349	0,362
0,8	0,348	0,381	0,397	0,397	0,397	0,397	0,412
0,9	0,382	0,415	0,437	0,442	0,442	0,442	0,462
1,0	0,411	0,446	0,476	0,484	0,484	0,484	0,511
1,1	0,437	0,474	0,511	0,524	0,525	0,525	0,560
1,2	0,461	0,499	0,543	0,561	0,566	0,566	0,605
1,3	0,482	0,522	0,573	0,595	0,604	0,604	0,648
1,4	0,501	0,542	0,601	0,626	0,640	0,640	0,687
1,5	0,517	0,560	0,625	0,655	0,674	0,674	0,726
1,6	0,532	0,577	0,647	0,682	0,706	0,708	0,763
1,7	0,546	0,592	0,668	0,707	0,736	0,741	0,798
1,8	0,558	0,606	0,688	0,730	0,764	0,772	0,831
1,9	0,569	0,618	0,708	0,752	0,791	0,808	0,862
2,0	0,579	0,630	0,722	0,773	0,816	0,830	0,892
2,1	0,588	0,641	0,737	0,791	0,839	0,853	0,921
2,2	0,596	0,651	0,751	0,809	0,861	0,885	0,949
2,3	0,604	0,660	0,764	0,824	0,888	0,908	0,976
2,4	0,611	0,668	0,776	0,841	0,902	0,932	1,001
2,5	0,618	0,676	0,787	0,855	0,921	0,955	1,025
2,6	0,624	0,683	0,798	0,868	0,939	0,977	1,050
2,7	0,630	0,690	0,808	0,881	0,955	0,998	1,073
2,8	0,635	0,697	0,818	0,893	0,971	1,018	1,095
2,9	0,640	0,703	0,827	0,904	0,986	1,038	1,117
3,0	0,645	0,709	0,836	0,913	1,000	1,057	1,138
3,1	0,649	0,714	0,843	0,924	1,014	1,074	1,158
3,2	0,653	0,719	0,850	0,934	1,027	1,091	1,197
3,3	0,657	0,724	0,857	0,943	1,040	1,107	1,197
3,4	0,661	0,728	0,863	0,951	1,051	1,123	1,215
3,5	0,664	0,732	0,869	0,959	1,062	1,138	1,233
4,0	0,679	0,751	0,897	0,995	1,111	1,205	1,316
4,5	0,691	0,766	0,918	1,022	1,151	1,262	1,390
5,0	0,700	0,777	0,935	1,045	1,183	1,309	1,456

### 1.5.3. Calculul terenului de fundare la starea limită de capacitate portantă

Calculul terenului de fundare la starea limită de capacitate portantă (SLCP) se efectuează în următoarele cazuri:

- pentru toate construcțiile fondate pe terenuri dificile;
- pentru toate construcțiile fondate pe terenuri coezive saturate, supuse unor încărcări aplicate rapid;
- pentru toate construcțiile speciale fondate pe roci stâncoase;
- pentru toate tipurile de construcții la care încărcările orizontale sunt importante ( $H > 0,1V$ , unde  $H$  și  $V$  reprezintă componentele orizontale respectiv verticală, ale rezultantei încărcărilor la nivelul tălpii fundației);
- pentru toate tipurile de construcții, cu fundațiile așezate pe taluzuri sau în apropierea acestora.

În calculul terenului la starea limită de capacitate portantă trebuie respectată următoarea condiție generală:

$$Q \leq m \cdot R,$$

(1.22)

în care:

$Q$  - încărcarea de calcul ce acționează asupra terenului de fundare corespunzătoare celei mai defavorabile grupări speciale; aceasta poate fi de natura unei presiuni efective, forță de alunecare, moment de răsturnare etc.;

$R$  - capacitatea portantă de calcul a terenului de fundare care poate fi de natura unei presiuni critice, rezistențe la forfecare, moment de stabilitate etc.;

$m$  - coeficientul condițiilor de lucru.

La construcții cu fundații directe și având talpa orizontală, condiția generală (1.22) poate fi scrisă sub forma:

$$p_{ef}' \leq m_c \cdot p_{cr}$$

(1.23)

în care:

$p_{ef}'$  - presiune efectivă medie pe teren provenită din încărcările de calcul corespunzătoare celei mai defavorabile grupări speciale posibile;

$m_c$  - coeficient al condițiilor de lucru egal cu 0,9;

$p_{cr}$  - presiunea critică corespunzătoare cedării generale a terenului de fundare.

#### 1.5.3.1. Calculul presiunii critice $p_{cr}$

În condițiile unei stratificații aproximativ orizontale și a unei înclinări a rezultantei încărcărilor de calcul față de verticală mai mică de  $5^\circ$ ,

presiunea critică se poate calcula cu următoarea relație:

$$p_{cr} = \gamma \cdot B' \cdot N_{\gamma} \cdot \lambda_{\gamma} + q \cdot N_q \cdot \lambda_q + c \cdot N_c \cdot \lambda_c \quad [kPa] \quad (1.24)$$

în care:

- $\gamma$  - greutatea volumică de calcul a straturilor de pământ de sub talpa fundației, în  $kN/m^3$ ;
- $B'$  - lățimea redusă a tălpii fundației ( $B' = B - 2e_B$ , unde  $e_B$  reprezintă excentricitatea rezultantei încărcărilor față de axa transversală a tălpii fundației, adică în direcția lățimii  $B$ ), în metri.
- $q$  - suprasarcina de calcul care acționează la nivelul tălpii fundației, lateral acestuia, în  $kPa$ ;
- $c$  - valoarea de calcul a coeziunii specifice a straturilor de pământ de sub talpa fundației, în  $kPa$ ;
- $N_{\gamma}, N_q, N_c$  - coeficienți de capacitate portantă, a căror mărime sunt date în tabelul 1.19, în funcție de valoarea de calcul a unghiului de frecare interioară  $\varphi$  al straturilor de pământ de sub talpa fundației;
- $\lambda_{\gamma}, \lambda_q, \lambda_c$  - coeficienți de formă a tălpii fundației, a căror valori sunt date în tabelul 1.20.

Tabelul 1.19

Valorile coeficienților de capacitate portantă  $N_{\gamma}, N_q, N_c$

$\varphi$	$N_{\gamma}$	$N_q$	$N_c$
0°	0,0	1,0	5,1
5°	0,1	1,6	6,5
10°	0,2	2,5	8,3
15°	0,7	3,9	11,0
20°	1,8	6,4	14,8
22°30'	2,7	8,2	17,5
25°	4,1	10,7	20,7
27°30'	6,1	13,9	24,9
30°	9,0	18,4	30,1
32°30'	13,6	24,6	37,0
35°	20,4	33,3	46,1
37°30'	31,0	45,8	58,4
40°	47,7	64,2	75,3
42°30'	75,0	91,9	99,3
45°	120,5	134,9	133,9

Tabelul 1.20.

Valorile coeficienților de formă  $\lambda_{\gamma}, \lambda_q, \lambda_c$

Forma fundației	$\lambda_c \lambda_q$	$\lambda_{\gamma}$
- Continuă	1,0	1,0
- Dreptunghiulară $B/L \geq 0,2$	$1 + 0,3 B'/L'$	$1 - 0,4 B'/L'$
- Pătrat, cerc	1,3	0,6

$B' = B - 2e_B$  și  $L' = L - 2e_L$  - lățimea și respectiv lungimea redusă a tălpii fundației ( $e_B$  - excentricitatea rezultantei încărcărilor în direcția lățimii  $B$ ;  $e_L$  - idem, în direcția lungimii  $L$ ).

În condițiile unei stratificații a terenului de fundare alcătuită din straturi de pământ la care parametrii rezistenței la forfecare  $\gamma$  și  $c$  nu diferă cu mai mult de 50 %, valorile caracteristicilor geotehnice ( $\gamma$ ,  $B$  și  $c$ ) care intervin în calculul presiunii critice (relația 1.24) se determină ca medii ponderate, cu contribuția fiecărui strat de pe adâncimea  $t$ , determinată cu relația:

$$t = B \cdot f(\theta_1) \quad [m] \quad (1.25)$$

în care:

$B$  - lățimea tălpii fundației, în metri;

$f(\theta_1)$  - coeficient adimensional a cărui valoare este funcție de unghiul de frecare interioară  $\theta_1$  al stratului de pământ în contact direct cu talpa fundației (conform tabelului 1.21).

Tabelul 1.21.

Valorile funcției  $f(\theta_1)$

$\theta_1$	$f(\theta_1)$
0°	0,70
5°	0,75
10°	0,80
15°	0,85
20°	0,92
25°	1,00
30°	1,10
35°	1,30
40°	1,70
45°	2,20

În cazul când în cuprinsul zonei active a terenului de fundare apare un strat slab, având rezistența la forfecare sub 50 % din cea a straturilor de deasupra, este necesar să se calculeze și să se verifice presiunea critică a acestui strat, considerând că fundația reazemă direct pe el și îi transmite o presiune efectivă, egală ca mărime cu tensiunea verticală de la adâncimea respectivă, generată de încărcarea reală de la cota de fundare.

## ANEXA 1.1.

Valorile rezistențelor caracteristice și de calcul ale betonului

Tipul rezistenței		Simbol	Clasa de beton												
			Bc 3,5	Bc 5	Bc 7,5	Bc 10	Bc 15	Bc 20	Bc 25	Bc 30	Bc 35	Bc 40	Bc 50	Bc 60	
Rezistențe caracteristice ale betonului, N/mm <sup>2</sup>															
Compresiune		R <sub>ck</sub>	3	4,5	6,4	8,5	12,5	16,6	20,5	24,3	28,0	31,6	38,5	45,0	
Întindere	Beton obișnuit		R <sub>tk</sub>	-	-	0,76	0,92	1,19	1,43	1,65	1,86	2,03	2,20	2,51	2,78
	Beton cu agregate ușoare cu subcategoria de densitate	1,6				0,59	0,72	0,93	-	-	-	-	-	-	
		1,7				0,64	0,77	1,00	1,20	1,38	1,56	-			
		1,8				-	-	-	1,23	1,42	1,59	1,74			
		1,9													
2,0															
Rezistențe de calcul ale betonului, valori de bază, N/mm <sup>2</sup>															
Compresiune		R <sub>C</sub>	2,2	3,2	4,7	6,5	9,5	12,5	15,0	18,0	20,5	22,5	26,5	31,5	
Întindere	Beton obișnuit		R <sub>t</sub>	-	-	0,50	0,60	0,80	0,95	1,10	1,25	1,35	1,45	1,65	1,85
	Beton cu agregate ușoare cu subcategoria de densitate	1,6		-	-	0,40	0,50	0,65	-	-	-	-	-	-	
		1,7		-	-	0,45	0,55	0,70	0,80	0,90	1,00	-	-	-	
		1,8		-	-	-	-	-	0,85	0,95	1,05	1,10	-	-	
		1,9		-	-	-	-	-	-	-	-	-	-		
2,0	-	-	-	-	-	-	-	-	-	-	-				

## ANEXA 1.2.

Valorile modului de elasticitate al betonului,  $E_b$ 

Clasa de beton	Bc 7,5	Bc 10	Bc 15	Bc 20	Bc 25	Bc 30	Bc 35	Bc 40	Bc 50	Bc 60
$E_b, N/mm^2$	14000	21000	24000	27000	30000	32500	34500	36000	38000	40000

ANEXA 1.3.

Valorile rezistențelor caracteristice și de calcul ale armăturilor neprețensionate

Marca de oțel	Diametrul nominal mm	Rezistența caracteristică $R_{sk}, N/mm^2$	Rezistența de calcul (valori de bază) $R_s, N/mm^2$
PC 60	6...12	420	350
	14...28	405	
	32...40	395	
PC 52	6...14	355	300
	16...28	345	
	32...40	335	
OB 37	6...12	255	210
	14...40	235	
	3...4	490	
STNB și STPB	4,5...7,1	440	370
	8...10	390	
		325	

## CAPITOLUL 2

### 2. FUNDAȚII IZOLATE SUB STĂLPI

Fundațiile izolate sub stâlpi se pot executa sub formă de:

- talpă din beton armat;
- bloc din beton simplu și cuzinet din beton armat;
- pahare pentru stâlpi prefabricați.

#### 2.1. Fundații izolate cu talpă din beton armat

Acest tip de fundații se execută din beton armat sub forma unor plăci masive, făcând corp comun cu stâlpii turnați monolit care se încastrează în aceste plăci.

Forma suprafeței în plan a fundației poate fi pătrată sau dreptunghiulară, păstrându-se în general același raport între dimensiunile tălpii fundației ca și între cele ale secțiunii stâlpului.

În funcție de mărimea suprafeței în plan, forma fundației poate fi paralelipipedică, dacă suprafața este mică ( $S < 1 \text{ m}^2$ ), în trepte sau obelisc, dacă suprafața este mare (fig.2.1.a,b,c,d).

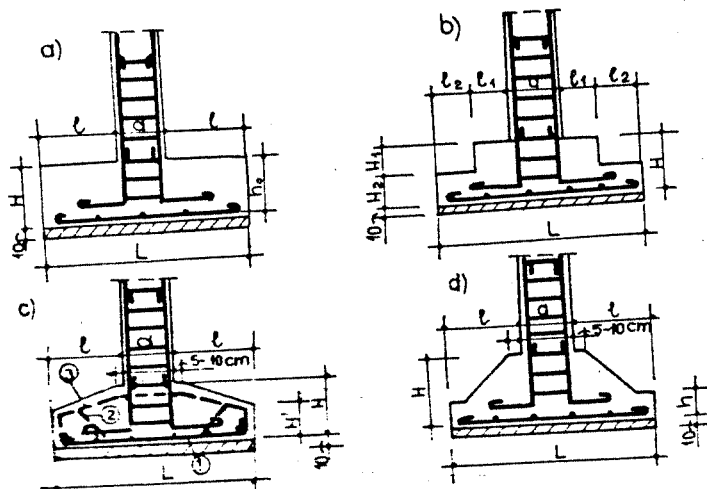


Fig. 2.1.

În general, fundațiile izolate cu talpă din beton armat se folosesc în cazul stâloilor sollicitați și la momente încovoietoare mari, pentru a realiza

o mai bună încadrare a acestora în fundații.

#### 2.1.1. Stabilirea dimensiunilor fundației

A. Dimensiunile în plan ( $L$  și  $B$ ) ale tălpii fundației se stabilesc pe baza calculului terenului de fundare, prin verificarea condiției generale (1.2), de nedepășire a presiunii maxime acceptate pe terenul de fundare  $p_{tr}$ , precum și a condiției (1.3) dacă este cazul.

Explicitând relația generală (1.2), respectiv relațiile de verificare (1.4, 1.5 și 1.6), corespunzătoare cazului când calculul terenului de fundare se face pe baza presiunilor convenționale, rezultă:

- pentru sollicitări centrice

$$p_{ef} = \frac{N+G_f}{S} \leq p_{conv} \quad (2.1)$$

$$\text{respectiv: } S = \frac{N+G_f}{p_{conv}} \quad (2.2)$$

unde:  $S = L \cdot B$  reprezintă suprafața tălpii fundației,  $L$  fiind dimensiunea mare, iar  $B$  dimensiunea mică;

$N$  = încărcarea axială de calcul transmisă de stâlp și provenită din gruparea fundamentală;

$G_f$  = greutatea proprie de calcul a fundației și a pământului de umplutură.

- pentru sollicitări excentrice după o direcție:

$$p_{ef1,2} = \frac{N+G_f}{S} \pm \frac{M}{W} = \frac{N+G_f}{L \cdot B} \cdot \left(1 \pm \frac{6e}{L}\right) = \begin{cases} p_{ef1} \\ p_{ef2} \end{cases} \quad (2.3)$$

$$p_{ef1} = p_{ef \max} \leq 1,2 p_{conv}; \quad p_{ef2} = p_{ef \min} \geq 0 \text{ (recomandare)}$$

$$p_{ef} = \frac{p_{ef1} + p_{ef2}}{2} = \frac{N+G_f}{L \cdot B} \leq p_{conv}$$

unde:  $M$  - momentul de încovoiere față de mijlocul bazei fundației, dat de toate încărcările de calcul din gruparea fundamentală ce acționează asupra fundației;

$$W = \frac{L^2 B}{6} - \text{modulul de rezistență în direcția sollicitării } M;$$

$$e = \frac{M}{N+G_f} - \text{excentricitatea în direcția sollicitării } M.$$

- pentru solicitări excentrice după două direcții

$$p_{ef1,2,3,4} = \frac{N+G_f}{S} \pm \frac{M_1}{W_1} \pm \frac{M_2}{W_2} = \frac{N+G_f}{L \cdot B} \cdot \left(1 \pm \frac{6e_1}{L} \pm \frac{6e_2}{B}\right); \quad (2.4)$$

$$p_{ef1} = p_{ef \max} \leq 1,4 p_{conv}$$

$$p_{ef3} = p_{ef \min} \geq 0 \text{ (recomandare)}$$

unde  $M_1$  și  $M_2$  - momentele de încovoiere față de mijlocul bazei fundației, date de toate încărcările de calcul din grupările fundamentale ce acționează asupra fundației;

$$W_1 = \frac{L^2 B}{6} \text{ și } W_2 = \frac{L B^2}{6} - \text{modulii de rezistență ai suprafeței tălpii fundației în direcțiile de acțiune a momentelor } M_1 \text{ și } M_2;$$

$$e_1 = \frac{M_1}{N+G_f} \text{ și } e_2 = \frac{M_2}{N+G_f} - \text{excentricitățile în direcțiile de acțiune a momentelor } M_1 \text{ și } M_2.$$

În cazul când presiunea efectivă pe teren se calculează cu încărcările de calcul din gruparea specială, se folosesc condițiile de verificare (1.4.a, 1.5.a și 1.6.a).

Dimensiunile în plan ale fundațiilor vor fi, de regulă, astfel alese încât rezultanta încărcărilor provenite din acțiunile grupării fundamentale să fie aplicată în cadrul sâmburelui central (vezi condițiile impuse lui  $p_{ef \min}$  în relațiile 2.3 și 2.4).

Pentru situațiile în care în grupările fundamentale intervin solicitări orizontale importante, nepermanente, se admite ca rezultanta încărcărilor să se aplice în afara sâmburelui central cu condiția însă ca secțiunea activă a tălpii fundației să nu fie mai mică de 80 % din aria totală a acesteia. Sub acțiunea încărcărilor din grupări speciale, secțiunea activă a tălpii fundației trebuie să se extindă cel puțin până în dreptul centrului de greutate al tălpii fundației.

În cazurile în care nu toată suprafața tălpii fundației este activă, se impune și verificarea stabilității la răsturnare a construcției, mai ales în cazul construcțiilor înalte.

8. Înălțimea H a fundației (fig.2.1) trebuie aleasă în așa fel, încât să asigure o rigiditate suficientă a fundației în raport cu terenul de fundare, pentru a putea considera repartizarea plan-liniară a presiunilor efective pe teren. Această rigiditate se asigură prin respectarea valorilor minime ale raportului H/L, din tabelul 2.1.

Dacă raportul H/L este mai mare decât valorile din coloana 3 a tabelului 2.1, nu mai este necesară verificarea la fărță tăietoare.

Tabelul 2.1.

Valorile raportului H/L

Presiunea maximă pe teren, în kPa	Valorile (H/L) peste care nu mai este necesară verificarea la fărță tăietoare pentru $B_c \cdot 10$	(H/L) <sub>min</sub>
1	2	3
100	0,22	0,25
150	0,25	
200	0,28	0,27
250	0,30	
300	0,30	0,29
350	0,33	
400	0,33	0,33
450	0,33	
500	0,33	
550	0,33	0,35
600	0,33	

Din considerente economice, în special pentru reducerea consumului de oțel, se recomandă să se aleagă  $\frac{H}{L} = 0,25 \dots 0,35$ .

Înălțimea minimă constructivă H a tălpii este de 30 cm, iar înălțimea la marginea obeliscului fundației se ia:  $H' = \frac{H}{3} \dots \frac{H}{2}$ , dar cel puțin 20 cm (fig.2.1).

### 2.1.2. Armarea tălpii fundației

Talpa fundației se armează la partea inferioară cu o rețea de bare drepte paralele cu laturile fundației având diametrul minim 8 mm și distanța între ele de 10-25 cm. Procentul minim de armare pe fiecare direcție se ia de 0,05 %.

La calcularea armăturii din talpă se încarcă talpa fundației cu diagrama de presiuni pe teren provenită din încărcările exterioare, considerată ca reacțiune. Talpa fundației se descompune în patru console, delimitate de conturul fundației și de patru drepte, duse din colțurile secțiunii stâlpului, care includ cu laturile acestuia unghiuri de  $45^\circ$ .

Cele patru console se consideră încastrate în secțiunile de la marginile stâlpului, momentele încovoiătoare date de reacțiunile terenului calculându-se în aceste secțiuni. În funcție de natura încărcărilor din stâlpi (centrică, excentrică), pentru determinarea presiunii  $p'$ , necesară stabilirii armăturii, se aplică una din formulele (2.1, 2.3 și 2.4), introducându-se în calcul numai încărcările exterioare.

Momentele încovoietoare, cu ajutorul cărora se calculează armătura din talpa fundației după cele două direcții, se pot determina cu formulele de mai jos:

a. Fundație pătrată sub stâlp cu secțiune pătrată solicitat la sarcini centrice (fig.2.2)

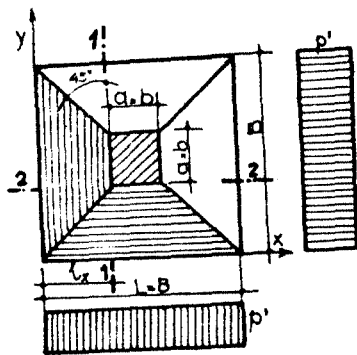


Fig. 2.2.

Momentele încovoietoare față de secțiunile 1-1 și 2-2 se calculează cu relația:

$$M_1 = M_2 = \frac{2B+b}{24} \cdot (B-b)^2 \cdot p' \quad (2.5)$$

în care:

$L=B$  - latura bazei fundației;

$a=b$  - latura secțiunii stâlpului;

$p'$  - presiunea pe teren dată de încărcările exterioare, considerată ca reacțiune a terenului.

b. Fundație pătrată sub stâlp cu secțiune pătrată solicitat la sarcini excentrice după o direcție (fig.2.3)

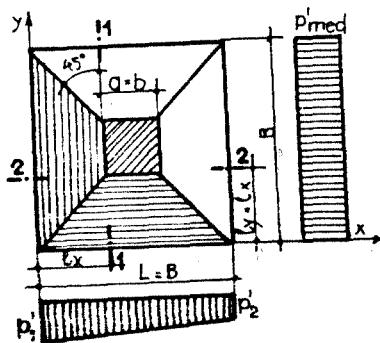


Fig. 2.3.

$$l_x = l_y$$

$$M_1 = \frac{B l_x^2}{6} \cdot (2p'_1 + p'_0) - \frac{p'_0 l_x^3}{6} (p'_1 + p'_0) \quad (2.6)$$

$$M_2 = \frac{p'_med \cdot l_y}{6} \cdot (2B+b) \quad (2.7)$$

în care:

$l_x$  și  $l_y$  - distanțele de la secțiunile de calcul până la marginile fundației.

$$p'_med = \frac{p'_1 + p'_2}{2} = \frac{N}{B^2} \quad (2.8)$$

$$p'_0 = p'_2 + \frac{B - l_x}{B} \cdot (p'_1 - p'_2) \quad (2.9)$$

c. Fundație pătrată sub stâlp cu secțiune pătrată solicitat la sarcini excentrice după două direcții (fig.2.4)

$$M_1 = \frac{B \cdot l_x^2}{6} (2p'_{12} + p'_{0x}) - \frac{l_x^3}{6} \cdot (p'_{12} + p'_{0x}) \quad (2.10)$$

$$M_2 = \frac{B \cdot l_y^2}{6} (2p'_{14} + p'_{0y}) - \frac{l_y^3}{6} \cdot (p'_{14} + p'_{0y}) \quad (2.11)$$

unde:

$$p'_{12} = \frac{p'_1 + p'_2}{2} \quad (2.12)$$

$$p'_{34} = \frac{p'_3 + p'_4}{2} \quad (2.13)$$

$$p'_{14} = \frac{p'_1 + p'_4}{2} \quad (2.14)$$

$$p'_{23} = \frac{p'_2 + p'_3}{2} \quad (2.15)$$

$p'_1, p'_2, p'_3, p'_4$  - valoarea presiunilor provenite din încărcările exterioare în cele 4 colțuri ale tălpii fundației.

$$p'_{0x} = p'_{34} + \frac{L - l_x}{L} \cdot (p'_{12} - p'_{34}) \quad (2.16)$$

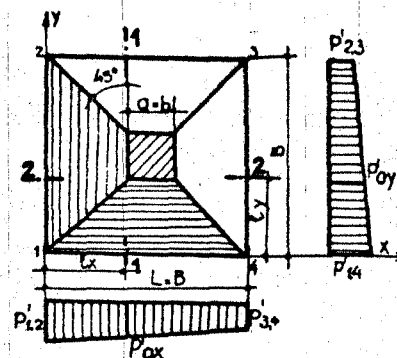


Fig. 2.4.

$$p'_{0y} = p'_{23} + \frac{B - l_y}{B} \cdot (p'_{14} - p'_{23}) \quad (2.17)$$

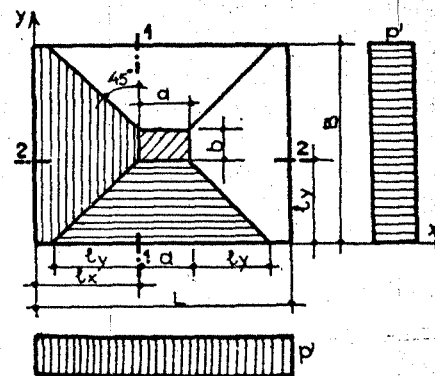


Fig. 2.5.

d. Fundație dreptunghiulară sub stâlp solicitat la sarcini centrice (fig.2.5)

$$M_1 = \frac{p'_1}{6} (3B l_x^2 - 2 l_y^3) \quad (2.18)$$

$$M_2 = \frac{p'_1 l_y^2}{6} (3a + 4 l_y) \quad (2.19)$$

e. Fundație dreptunghiulară sub stâlp solicitat la sarcini excentrice după o direcție (fig.2.6)

Cazul:  $l_x > l_y$

$$M_1 = \frac{B l_x^2}{6} \cdot (2p'_1 + p'_0) - \frac{l_x^3}{6} \cdot (p'_1 + p'_0) \quad (2.20)$$

$$M_2 = \frac{p'_med \cdot l_y^2}{6} \cdot (3a + 4 l_y) \quad (2.21)$$

$$p'_0 = p'_2 + \frac{L - l_x}{L} \cdot (p'_1 - p'_2) \quad (2.22)$$



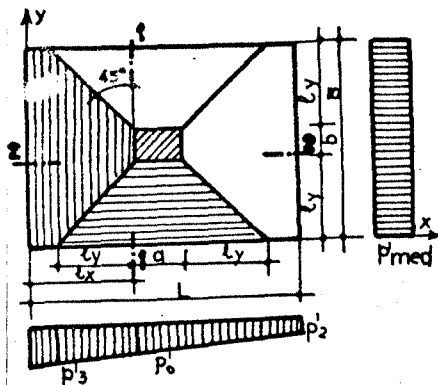


Fig. 2.6.

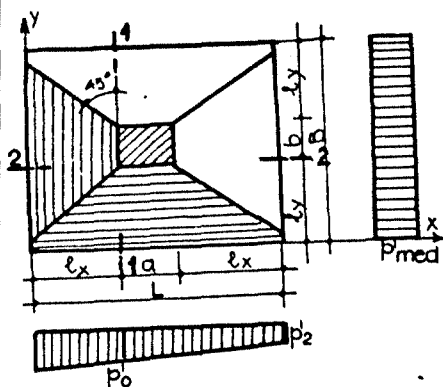


Fig. 2.7.

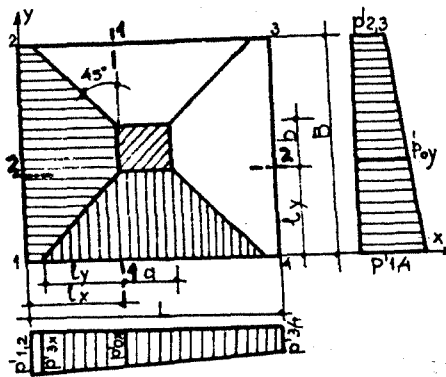


Fig. 2.8.

$$p'_3 = p'_2 + \frac{L - l_x + l_y}{L} (p'_1 - p'_2) \quad (2.23)$$

$$p'_{med} = \frac{p'_1 + p'_2}{2} \quad (2.24)$$

Cazul:  $l_x > l_y$  (fig. 2.7)

$$M_1 = \frac{b l_x^2}{6} (2p'_1 + p'_0) + \frac{l_x^3}{6} (3p'_1 + p'_0) \quad (2.25)$$

$$M_2 = \frac{p'_{med}}{6} (3L l_y^2 - 2l_x^3) \quad (2.26)$$

$$p'_0 = p'_2 + \frac{L - l_x}{L} (p'_1 - p'_2) \quad (2.27)$$

f. Fundație dreptunghiulară sub stâlp solicitat la sarcini excentrice după două direcții

Cazul  $l_x > l_y$  (fig. 2.8)

$$M_1 = \frac{B \cdot l_x^2}{6} (2p'_{12} + p'_{0x}) - \frac{l_y^3}{6} (p'_{3x} + p'_{0x}) \quad (2.28)$$

$$M_2 = \frac{a l_y^2}{6} (2p'_{14} + p'_{0y}) + \frac{l_x^3}{6} (3p'_{14} + p'_{0y}) \quad (2.29)$$

$$p'_{0x} = p'_{34} + \frac{L - l_x}{L} (p'_{12} - p'_{34}) \quad (2.30)$$

$$p'_{0y} = p'_{23} + \frac{B - l_y}{B} (p'_{14} - p'_{23}) \quad (2.31)$$

$$p'_{3x} = p'_{34} + \frac{L - l_x + l_y}{L} (p'_{12} - p'_{34}) \quad (2.32)$$

Cazul:  $l_x < l_y$  (fig. 2.9)

$$M_1 = \frac{b l_x^2}{6} (2p'_{12} + p'_{0x}) + \frac{l_x^3}{6} (3p'_{12} + p'_{0x}) \quad (2.33)$$

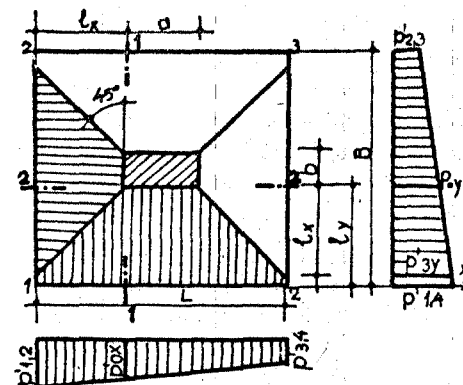


Fig. 2.9.

$$A_{ax} = \frac{M_1}{0,875 \cdot h_{ox} \cdot R_a} \quad \text{respectiv} \quad A_{ay} = \frac{M_2}{0,875 \cdot h_{oy} \cdot R_a} \quad (2.36)$$

in care:

$h_{ox}$  și  $h_{oy}$  - înălțimile utile ale secțiunii de beton a fundației pentru armăturile de pe cele două direcții;

$R_a$  - rezistența de calcul la întindere a armăturii.

Armătura rezultată din calcul se va distribui astfel:

- pentru fundații pătrate: uniform în ambele direcții, numărul de bare după o direcție respectiv după cealaltă fiind:

$$n_x = n_y = \frac{B}{10 \dots 25}$$

- pentru fundații dreptunghiulare la care  $l_x > l_y$ :

• în direcția axei x, uniform pe toată latura mică a bazei fundației (B), numărul de bare fiind:

$$n_x = \frac{B}{10 \dots 25}$$

• în direcția axei y, uniform pe porțiunea din latura mare delimitată de dreptele duse sub unghiuri de  $45^\circ$  din colțurile secțiunii stâlpului ( $a + 2l_y$ ). Pe restul laturii se va prevedea o armătură suplimentară cu aceeași secțiune pe metru liniar, adică, cantitatea totală de armătură în direcția axei y este:

$$A_{ayt} = \frac{L}{a + 2l_y} \cdot A_{ay} \quad \text{iar} \quad n_y = \frac{L}{10 \dots 25}$$

$$M_2 = \frac{L l_y^2}{6} (2p'_{14} + p'_{0y}) - \frac{l_x^3}{6} (p'_{3y} + p'_{0y}) \quad (2.34)$$

$$p'_{3y} = p'_{23} + \frac{B - l_y + l_x}{B} (p'_{14} - p'_{23}) \quad (2.35)$$

Valorile de calcul  $p'_{12}$ ,  $p'_{23}$ ,  $p'_{34}$  și  $p'_{14}$  se calculează cu relațiile 2.12, 2.13, 2.14, 2.15.

Cu valorile momentelor  $M_1$  și  $M_2$  se calculează armătura din talpa fundației, după cele două direcții (x și y). La calculul arilor secțiunilor de armătură

### 2.1.3. Verificarea la forță tăietoare

Verificarea fundației la forță tăietoare devine necesară când nu poate fi respectat raportul  $\frac{H}{L}$  recomandat (tabelul 2.1).

În mod practic verificarea la forță tăietoare se face după conturul abcd (fig.2.10) obținut prin intersecția bazei fundației cu plane înclinate la  $45^\circ$ , duse de la marginea stâlpului. De exemplu după direcția x forța tăietoare Q în secțiunea ab, dată de presiunea reactivă pe talpa fundației (suprafața hașurată) trebuie să satisfacă relația:

$$Q < B_1 \cdot h_{10} \cdot R_t \quad (2.37)$$

unde:  $h_{10}$  - înălțimea utilă a fundației în secțiunea ab;

$B_1$  - lățimea secțiunii a-b;

$R_t$  - rezistența de calcul la întindere a betonului.

În cazul când nu este satisfăcută condiția (2.37) se vor prevedea bare înclinate rezultate prin calculul la forță tăietoare.

În afară de armăturile de la partea inferioară a tălpii și a armăturilor înclinate (dacă sunt necesare), la partea superioară a fundațiilor de tip obelisc se prevede o armătură constructivă, alcătuită din două sau mai multe bare având diametrul de minim 10 mm, dispusă pe fiecare din

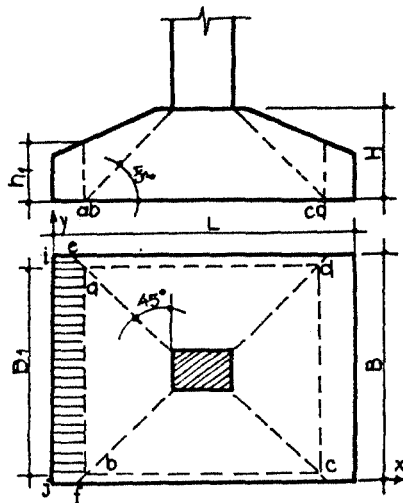


Fig. 2.10.

cele două direcții ortogonale, astfel ca distanța între două bare succesive să fie maximum 50 cm.

#### Exemplul 2.1.

Să se dimensioneze fundația unui stâlp cu secțiunea de 40x60 cm asupra căreia acționează o forță axială de calcul  $N=1750$  kN și un moment de calcul alternant  $M=183$  kNm. Stâlpul face parte într-un cadru de beton armat al unei clădiri civile cu subsol, iar valoarea momentului încovoietor și sensul alternativ provin din calculul static la acțiunea vântului și a temperaturii. Se folosește beton Bc 10 și oțel OB 38. Adâncimea de fundare este  $D_f=3,35$  m (fig. 2.11), iar stratul de fundare este alcătuit din nisip fin prăfos cu îndesare medie.

### Dimensionarea suprafeței tălpii fundației

Se impun următoarele valori pentru dimensiunile în plan ale fundației:  $L=3,50$  m și  $B=2,70$  m, latura mare fiind paralelă cu direcția de acțiune a momentului.

Conform datelor din tabelul 1.5, pentru stratul de fundare menționat (nisip fin prăfos cu îndesare medie) valoarea presiunii convenționale de bază este:  $\bar{p}_{conv}=200$  kPa.

Corecțiile, de lățime  $C_B$  și de adâncime  $C_D$ , calculate cu relațiile 1.8 și respectiv 1.10, rezultă:

$$C_B = \bar{p}_{conv} \cdot K_1 \cdot (B-1) = 200 \times 0,05 \cdot (2,70 - 1,0) = 17 \text{ kPa};$$

$$C_D = K_2 \cdot \bar{\sigma} \cdot (D_f-2) = 2 \times 18 \cdot (3,35-2,0) = 48,6 \text{ kPa}.$$

Valoarea presiunii convenționale de calcul, corespunzătoare lățimii fundației  $B=2,70$  m și adâncimii de fundare  $D_f=3,35$  m, rezultă:

$$p_{conv} = \bar{p}_{conv} + C_B + C_D = 200 + 17 + 48,6 = 265,6 \text{ kPa}$$

Conform tabelului 2.1, considerând că presiunea efectivă maximă pe teren

$p_{ef \max} = p_{conv}$ , rezultă raportul  $H/L=0,30$ , pe baza căruia se calculează înălțimea necesară a fundației:

$$H = 0,30 \times 3,50 = 1,05 \text{ m}$$

Înălțimea fundației la margine se ia:

$$H' = \frac{H}{3} = \frac{1,05}{3} = 35 \text{ cm}.$$

Considerând coeficientul de supraîncărcare  $n=1,2$ , greutatea volumice medii  $\gamma_1=22$  kN/m<sup>3</sup> și  $\gamma_2=18$  kN/m<sup>3</sup>, se calculează încărcările de calcul din greutatea proprie a fundației și a pământului de umplură:

$$G_1 = 1,2 \times 3,50 \times 2,70 \times 1,25 \times 22 = 311,85 \text{ kN} \approx 312 \text{ kN}$$

$$G_2 = 1,2 \times 2,70 \times 1,65 \times 2,1 \times 18 = 201,4 \text{ kN} \approx 202 \text{ kN}$$

unde:

$G_1$  - greutatea fundației și a umpluturii de pământ între cotele -3,65 și -2,40;

$G_2$  - greutatea umpluturii de pământ între cotele -2,40 și -0,30.

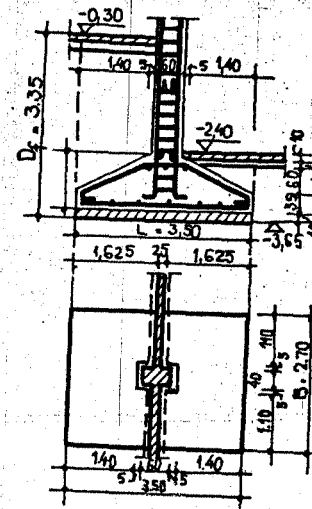


Fig.2.11.

Față de axa tălpii fundației  $G_2$  produce un moment încovoietor de valoare:

$$M_1 = G_2 \times \frac{L}{4} = 202 \times 0,875 = 176,75 \text{ kNm} \approx 177 \text{ kNm}$$

Încărcările de calcul reduse în centrul de greutate al suprafeței tălpii fundației sunt:

$$N_t = N + G_1 + G_2 = 1750 + 312 + 202 = 2264 \text{ kN}$$

$$M_t = M + M_1 = 183 + 177 = 360 \text{ kNm}$$

Calculul presiunii efective la nivelul tălpii fundației:

- presiunea medie efectivă:

$$p_{ef} = \frac{N_t}{L \cdot B} = \frac{2264}{3,50 \times 2,70} = 238,6 \text{ kN/m}^2 = 238,6 \text{ kPa} < p_{conv} = 265,6 \text{ kPa}$$

Calculul excentricității încărcărilor:

$$e = \frac{M_t}{N_t} = \frac{360}{2264} = 0,159 \text{ m}$$

Calculul presiunilor efective la extremitățile fundației (rel.2.3):

$$p_{ef1,2} = \frac{2264}{3,50 \times 2,70} \cdot \left(1 \pm \frac{6 \times 0,159}{3,50}\right) = \begin{cases} p_1 = 304,9 \text{ kN/m}^2 \\ p_2 = 174,3 \text{ kN/m}^2 \end{cases}$$

$$p_{ef1} = p_{ef \max} = 304,9 \text{ kPa} < 1,2 p_{conv} = 318,7 \text{ kPa}$$

$$p_{ef2} = p_{ef \min} = 174,3 \text{ kPa} > 0$$

#### Armarea tălpii fundației

Din compararea presiunilor efective pe teren cu presiunea convențională de calcul, rezultă că dimensiunile impuse pentru suprafața în plan a tălpii fundației sunt corespunzătoare.

La calculul presiunii reactive  $p'$ , necesară pentru determinarea armăturii din fundație, se iau în considerare numai încărcările exterioare și forța  $G_2$ , care acționează nesimetric față de axa fundației.

$$N'_t = N + G_2 = 1750 + 202 = 1952 \text{ kN}$$

$$M'_t = M_t = 360 \text{ kNm}$$

$$e' = \frac{M'_t}{N'_t} = \frac{360}{1952} = 0,184 \text{ m}$$

$$p' = \frac{1952}{3,50 \times 2,70} \cdot \left(1 \pm \frac{6 \times 0,184}{3,50}\right) = \begin{cases} p'_1 = 271,6 \text{ kN/m}^2 \\ p'_2 = 141,5 \text{ kN/m}^2 \end{cases}$$

Aplicând relațiile 2.22 și 2.23 se obțin valorile ordonatelor de presiune  $p'_0$  și  $p'_3$  după cum urmează:

$$p'_0 = 141,5 + \frac{3,50 - 1,45}{3,50} \cdot (271,6 - 141,5) = 217,7 \text{ kN/m}^2$$

$$p'_3 = 141,5 + \frac{3,50 - 1,45 + 1,15}{3,50} \cdot (271,6 - 141,5) = 260,4 \text{ kN/m}^2$$

$$p'_{med} = \frac{p'_1 + p'_2}{2} = \frac{271,6 + 141,5}{2} = 206,6 \text{ kN/m}^2$$

Momentele încovoietoare față de secțiunea 1-1 și secțiunea 2-2 se calculează cu relațiile 2.20 respectiv 2.21 (fig.2.12), rezultând:

$$M_1 = \frac{2,70 \times 1,45^2}{6} \cdot (2 \times 271,6 + 217,7) - \frac{1,15^3}{6} \cdot (260,4 + 217,7) = 598,7 \text{ kNm}$$

$$M_2 = \frac{206,6 \times 1,15^3}{6} \cdot (3 \times 0,6 + 4 \times 1,15) = 335,2 \text{ kNm}$$

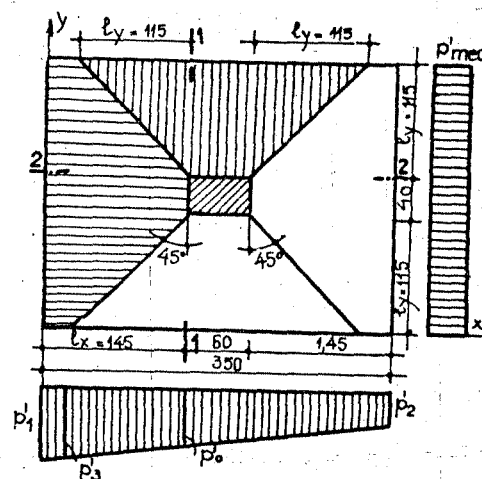


Fig. 2.12.

Se aleg 17 bare  $\phi 16$  cu aria efectivă de  $34,17 \text{ cm}^2$ , dispuse uniform la distanță de 16 cm.

Armătura în direcția y, corespunzătoare porțiunii din latura mare a fundației delimitată de dreptele duse sub unghiuri de  $45^\circ$  din colțurile secțiunii stâlpului, adică  $L' = a + 2\ell_y = 2,90 \text{ m}$ , este:

$$A_{ay} = \frac{335,2 \times 10^4}{0,875 \times 99,1 \times 2100} = 18,40 \text{ cm}^2$$

$$h_{ox} = H - a - \frac{\phi}{2} = 105 - 3,5 - 0,8 = 100,7 \text{ cm}$$

$$h_{oy} = h_{ox} - \phi = 100,7 - 1,6 = 99,1 \text{ cm}$$

Armătura în direcția x este:

$$A_{ax} = \frac{598,7 \times 10^4}{0,875 \times 100,7 \times 2100} = 32,35 \text{ cm}^2$$

Procentul de armare rezultă:

$$p_x \% = \frac{A_{ax}}{h_{ox} \cdot B} \times 100 = \frac{32,35}{100,7 \times 270} \times 100 = 0,119 \% > p_{min} = 0,05 \%$$

Numărul de bare în direcția x rezultă:

$$n_x = \frac{270}{10 \dots 25} = 27 \dots 11 \text{ bare}$$

Procentul de armare are valoarea:

$$p_y = \frac{18,40}{99,1 \times 290} \times 100 = 0,064 \% > p_{\min} \% = 0,05 \%$$

Aria totală de armătură în direcția y este:

$$A_{ay_t} = \frac{L}{r} \cdot A_{ay} = \frac{3,50}{2,90} \times 18,40 = 22,20 \text{ cm}^2$$

Numărul de bare în direcția y rezultă:

$$n_y = \frac{350}{10 \dots 25} = 35 \dots 14 \text{ bare}$$

Se aleg 20 bare  $\phi 12$  cu aria efectivă de  $22,62 \text{ cm}^2$ , puse la distanța de 18 cm.

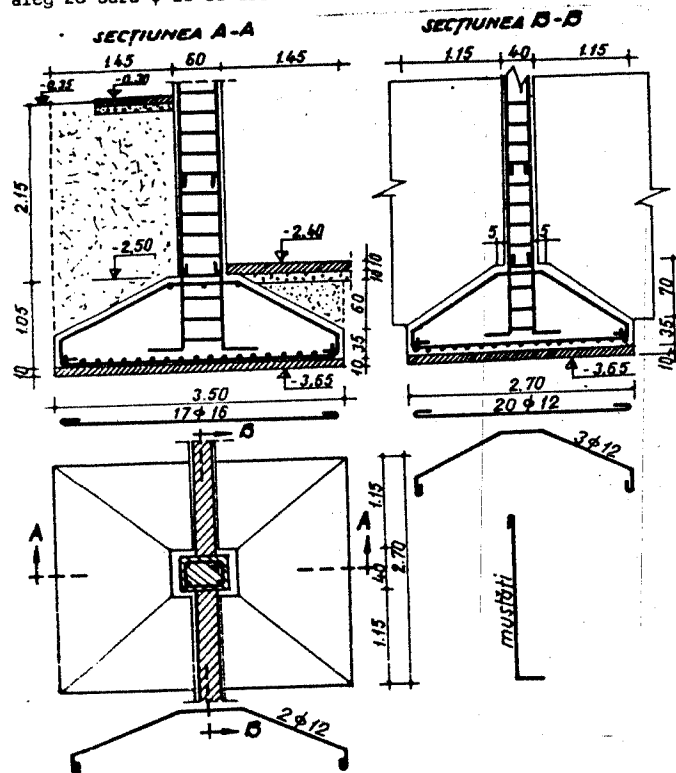


Fig. 2.13.

Se vor dispune constructiv la partea superioară a fundației două bare  $\phi 12$  pe direcția x și trei bare  $\phi 12$  pe direcția y pentru profilarea formei de obelisc a fundației.

## 2.2. Fundații izolate cu talpă din beton armat excentrice

La calculul fundațiilor excentrice în raport cu axele secțiunii stălpilor (la calcane, la rosturi de tasare), stabilirea presiunii efective pe teren se face luând în considerare efectul de reducere a excentricității, datorită rotirii bazei fundației (fig. 2.14).

Cu notațiile din fig. 2.14, excentricitatea sarcinii  $N$  față de mijlocul bazei fundației are valoarea:

$$e_0 = \frac{L - a}{2}$$

Datorită acestei excentricități, față de mijlocul bazei fundației acționează momentul  $M = N \cdot e_0$ . (În cazul când din calculul static, la baza stălpului rezultă și un moment încovoietor  $M_1$ , momentul total față de mijlocul bazei fundației va fi:  $M = N \cdot e_0 \pm M_1$ ).

Momentul  $M = N \cdot e_0$  (sau  $M = N \cdot e_0 \pm M_1$ ) se repartizează stălpului și fundației proporțional cu rigiditățile la rotire ale acestora.

Expresiile de calcul a momentului încovoietor care revine stălpului  $M_{st}$ , respectiv care revine fundației  $M_f$ , se deduc din condiția de continuitate a rotirilor în secțiunea de încastrare a stălpului în fundație.

Acestea sunt:

$$M_{st} = \frac{M \cdot K_{st}}{K_{st} + K_f} \quad (2.38)$$

$$M_f = M - M_{st} = \frac{M \cdot K_f}{K_{st} + K_f} \quad (2.39)$$

unde:  $K_{st}$  și  $K_f$  reprezintă rigiditatea la rotire a stălpului respectiv a fundației.

Rigiditatea  $K_{st}$  se calculează cu relația:

$$K_{st} = \beta \cdot \frac{K_{bs}}{h_s} \quad (2.40)$$

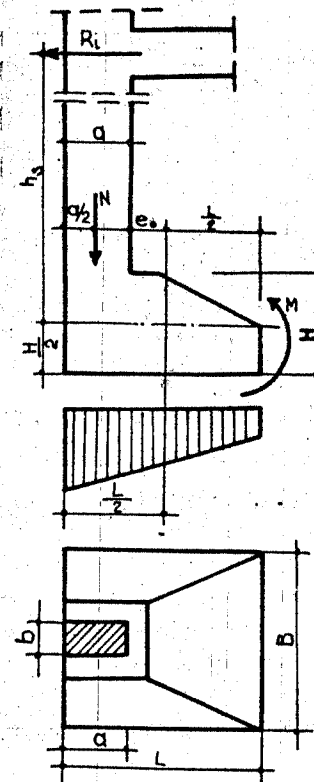


Fig. 2.14.

unde:

$h_s$  = lungimea de calcul a stălpului;

$K_{hs} = 0,6 E_s I_s$  - modulul de rigiditate al secțiunii de beton a stălpului;

$E_s$  = modulul de elasticitate al betonului din stălp;

$I_s$  = momentul de inerție al secțiunii de beton a stălpului;

$\beta = 4$  pentru stălp încastrat la nivelul planșeului;

$\beta = 3$  pentru stălp articulat la nivelul planșeului.

Rigiditatea la rotire a fundației  $K_f$ , este:

$$K_f = K_s \cdot I_f \quad (2.41)$$

unde:

$K_s$  - coeficientul de tasare al terenului;

$I_f = \frac{B \cdot L^3}{12}$  - momentul de inerție al suprafeței tălpii fundației.

Cu valoarea momentului  $M_{st}$  se calculează armătura suplimentară din stălp, care se montează în zona de legătură cu fundația pentru realizarea continuității, iar cu valoarea momentului  $M_f$  se dimensionează fundația.

Model de calcul expus mai sus poate fi aplicat numai în cazul când suprastructura poate prelua forța orizontală  $R_1 = M_f / h_s$  (fig.2.14).

#### Exemplul 2.2.

Să se dimensioneze fundația unui stălp de beton armat cu secțiunea 40x55 cm și înălțimea  $h=4,00$  m articulat la partea superioară, solicitat la o forță axială  $N=500$  kN. Stălpul este executat din beton de clasă Bc 20 și fiind lângă un zid calcan, fundația nu se poate dezvolta simetric (fig.2.15). Cota de fundare se găsește la -1,80 m față de nivelul terenului, iar stratul de fundare este alcătuit din nisip mijlociu indesar, având:  $E=460$  daN/cm<sup>2</sup>;  $K_s=10$  daN/cm<sup>3</sup>;  $\gamma=0,30$ .

#### Calculul momentelor $M_{st}$ și $M_f$

Se aleg următoarele dimensiuni ale tălpii fundației:  $L=1,35$  m,  $B=1,90$  m și  $H=0,50$  m (fig.1.15).

Pentru dimensiunile impuse, respectiv adâncimea de fundare și natura stratului de fundare precizate în enunț, valoarea presiunii convenționale de calcul este:  $p_{conv} = 305$  kPa.

Excentricitatea forței  $N$  față de mijlocul tălpii fundației este:

$$e = \frac{1,35 - 0,55}{2} = 0,40 \text{ m}$$

rezultând momentul:  $M = N \cdot e_0 = 500 \times 0,4 = 200$  kNm

Cu relațiile 2.40 și 2.41 se calculează rigiditățile  $K_{st}$  și  $K_f$ :

$$K_{st} = \frac{3 \times 89842}{4,00} = 67381 \text{ kN.m}$$

unde:

$$K_{hs} = 0,6 \times 27000000 \times 0,00554 = 89842 \text{ kN/m}$$

iar momentul de inerție al secțiunii de beton a stălpului  $I_s$ , este:

$$I_s = \frac{0,40 \times 0,55^3}{12} = 0,0055458 \text{ m}^4$$

Rigiditatea la rotire a fundației conform relației 2.41 va avea valoarea:

$$K_f = 100000 \times 0,3895594 = 38955 \text{ kN.m}$$

unde:

$$I_f = \frac{1,90 \times 1,35^3}{12} = 0,3895594 \text{ m}^4$$

$$K_s = 10 \frac{\text{daN}}{\text{cm}^3} = 10^5 \frac{\text{kN}}{\text{m}^3}$$

Fig. 2.15.

Aplicând relația 2.38 valoarea momentului preluat de stălp rezultă:

$$M_{st} = \frac{200 \times 67381}{67381 + 38955} = 126,73 \text{ kNm} \approx 127 \text{ kNm}$$

Momentul preluat de fundație se poate obține și prin diferență, adică:

$$M_f = M - M_{st} = 200 - 127 = 73 \text{ kN.m}$$

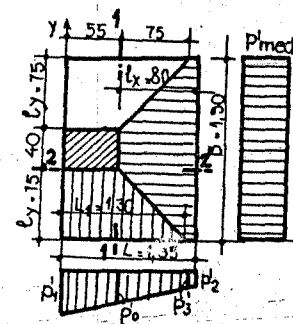


Fig.2.16.

#### Verificarea presiunilor efective pe teren

Greutatea proprie a fundației rezultă:

$$G_f = n \cdot L \cdot B \cdot D \cdot \gamma_{med} = 1,2 \times 1,35 \times 1,90 \times 1,80 \times 20 = 105 \text{ kN}$$

Forța verticală totală la nivelul tălpii fundației este:

$$N_t = N + G_f = 500 + 105 = 605 \text{ kN}$$

Valoarea excentricității rezultă:

$$e = \frac{M_f}{N_t} = \frac{73}{605} = 0,12 \text{ m} < \frac{L}{6} = 0,225 \text{ m}$$

Presiunea efectivă pe teren se va obține cu relația 2.3:

$$p_{ef,1,2} = \frac{605}{1,35 \times 1,90} \cdot \left(1 \pm \frac{6 \times 0,12}{1,35}\right) = \begin{cases} p_{ef1} = 360 \text{ kN/m}^2 < 1,2 \cdot p_{conv} = 366 \text{ kPa} \\ p_{ef2} = 110 \text{ kN/m}^2 > 0 \end{cases}$$

$$p_{ef,med} = \frac{360 + 110}{2} = 235 \text{ kN/m}^2 < p_{conv} = 305 \text{ kPa}$$

Calculul armăturii din talpa fundației (fig.2.16)

Valorile extreme ale presiunii pe talpă, fără a lua în considerare greutatea proprie a fundației, rezultă:

$$p'_{1,2} = \frac{500}{1,35 \times 1,90} \cdot \left(1 \pm \frac{6 \times 0,14}{1,35}\right) = \begin{cases} p'_1 = 316 \text{ kN/m}^2 \\ p'_2 = 73 \text{ kN/m}^2 \end{cases}$$

$$e' = \frac{M_f}{N} = \frac{73}{500} = 0,14 \text{ m}$$

Aplicând relațiile 2.22; 2.23 și 2.24, rezultă:

$$p'_0 = 217 \text{ kN/m}^2$$

$$p'_3 = 82 \text{ kN/m}^2$$

$$p'_{med} = 194,5 \text{ kN/m}^2$$

Calculul momentelor încovoietoare în secțiunile 1-1 și 2-2

Pentru cazul  $l_x > l_y$ , conform relațiilor: 2.20 și 2.21, rezultă:

$$M_1 = \frac{1,90 \times 0,8^2}{6} \cdot (2 \times 316 + 217) - \frac{0,75^3}{6} \cdot (82 + 217) = 151 \text{ kN.m}$$

$$M_2 = \frac{194,5 \times 0,75^2}{6} \cdot (3 \times 0,55 + 2 \times 0,75) = 57 \text{ kN.m}$$

Calculul armăturii din talpa fundației

$$h_{ox} = H - a - \frac{\phi}{2} = 50 - 3,5 - \frac{1,6}{2} = 45,7 \text{ cm}$$

$$h_{oy} = H_{ox} - \phi = 45,7 - 1,6 = 44,1 \text{ cm}$$

Armătura în direcția x este:

$$A_{ax} = \frac{151 \times 10^4}{0,875 \times 45,7 \times 2100} = 18,51 \text{ cm}^2$$

Procentul de armare rezultă:

$$p_x \% = \frac{A_{ax}}{h_{ox} \cdot B} \cdot 100 = 0,213 \% > p_{min} \% = 0,05 \%$$

Numărul de bare în direcția x rezultă:

$$n_x = \frac{190}{10 \dots 25} = 19 \dots 8 \text{ bare}$$

Se aleg 10 bare  $\phi 16$  cu aria efectivă de  $20,11 \text{ cm}^2$  dispuse la distanță de 20 cm.

Armătura pe direcția y corespunzătoare lățimii  $L_1$  (fig.2.16) va fi:

$$A_{ay} = \frac{57 \times 10^4}{0,875 \times 44,1 \times 2100} = 7,24 \text{ cm}^2$$

Procentul de armare are valoarea:

$$p_y \% = \frac{7,24}{130 \times 44,1} \times 100 = 0,126 \% > p_{min} \% = 0,05 \%$$

Aria totală de armătură în direcția y va fi:

$$A_{ay_t} = \frac{L}{L_1} \cdot A_{ay} = \frac{135}{130} \times 7,24 = 7,518 \text{ cm}^2$$

Numărul de bare în direcția y rezultă:

$$n_y = \frac{135}{10 \dots 25} = 14 \dots 6 \text{ bare}$$

Se aleg 7 bare  $\phi 12$  care se dispun la distanță de 21 cm, având aria efectivă de  $7,92 \text{ cm}^2$ .

Se mai introduc bare de armătură cu rol constructiv de profilare la partea superioară a tălpii fundației:

- pe direcția x :  $b=40 \text{ cm}$  2 bare  $\phi 12$ ;

- pe direcția y :  $a=55 \text{ cm}$  3 bare  $\phi 12$ .

Calculul armăturii suplimentare din stâlp

Pentru ca stâlpul să poată prelua momentul suplimentar  $M_{st}$ , în secțiunea de încastrare în fundație se armează suplimentar. Eforturile de calcul în secțiunea de la baza stâlpului sunt:

$$N = 500 \text{ kN} \text{ și } M_{st} = 126,73 \text{ kN.m}$$

Știind că stâlpul de secțiune  $40 \times 55 \text{ cm}^2$  se execută din beton de clasă Bc 20 ( $R_c=85 \text{ daN/cm}^2$ ) și oțel beton OB 37 ( $R_a=2100 \text{ daN/cm}^2$ ), aria armăturii suplimentare din stâlp, se determină aplicând relațiile de calcul a armăturii pentru o secțiune dreptunghiulară de beton, supusă la încovoiere:

$$e_{ox} = \frac{M_{st}}{N} = \frac{1267300}{50000} = 25,33 \text{ cm}$$

$$e_x = 25,33 + \frac{55}{2} - 4 = 49,03 \text{ cm}$$

$$h'_0 = 55 - 4 = 51 \text{ cm}$$

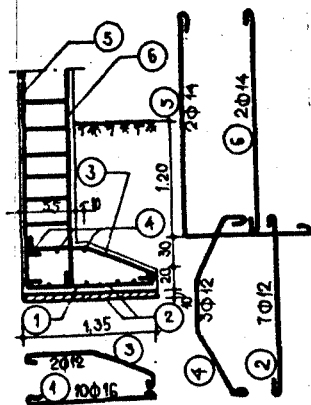


Fig. 2.17.

în aceleași condiții ca la fundația tip talpă din beton armat (paragraful 2.1.1).

$$x = \frac{N}{b \cdot R_c} = \frac{50000}{40 \times 85} = 14,7 \text{ cm}$$

$$A_a = A'_a = \frac{50000(49,03 - 51 + 0,5 \times 14,7)}{2100 \cdot (51 - 4)} = 2,72 \text{ cm}^2$$

Se aleg câte 2 bare  $\Phi 14$  cu aria efectivă

$$A_a + A'_a = 3,08 + 3,08 = 6,16 \text{ cm}^2.$$

În fig. 2.17 se prezintă detaliul de armare a fundației calculate.

### 2.3. Fundații izolate tip pahar pentru stâlpi prefabricați

Fundațiile izolate tip pahar se execută din beton armat de clasă cel puțin Bc 10, punând fi turnate la fața locului (fig.2.18.a) sau prefabricate (fig.2.18. b și c).

Suprafața tălpii fundației se determină

în aceleași condiții ca la fundația tip talpă din beton armat (paragraful 2.1.1).

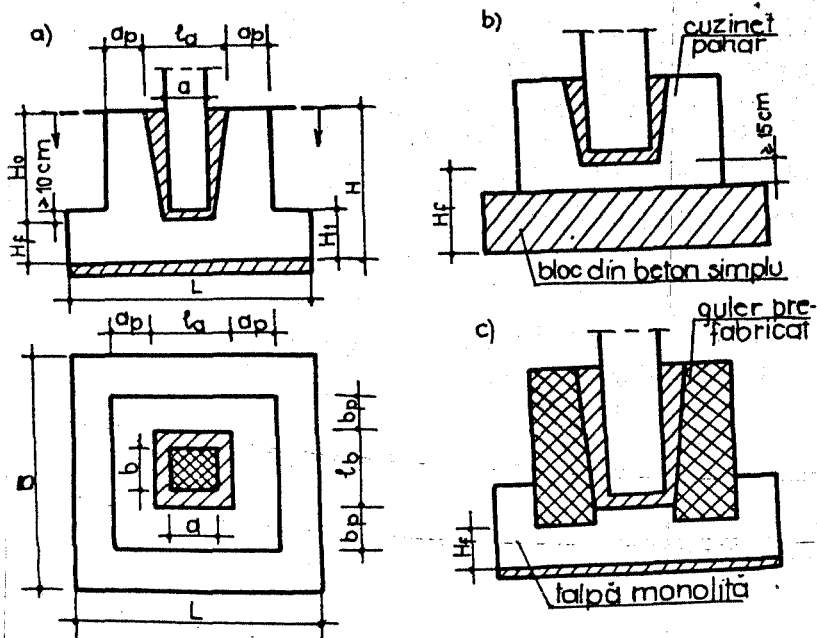


Fig. 2.18.

Calculul armăturii din talpa fundației se efectuează conform celor prezentate în paragraful 2.1.2, considerând pentru înălțimea secțiunii de calcul, de la marginea stâlpului, valoarea  $H = H_p + H_f$  (fig.2.18.a) și un procent minim de armare de 0,025 %.

Cantitatea de armătură din talpa fundației, rezultată în secțiunea de calcul de la marginea stâlpului, se verifică și în secțiunea de la marginea exterioară a paharului, unde procentul minim de armare este 0,05 %.

Înălțimea  $H_1$  a tălpii fundației la marginea exterioară a paharului trebuie să îndeplinească condiția:  $H_1 \geq H_f + 10 \text{ cm}$ .

#### 2.3.1. Dimensionarea paharului

Dimensiunile golului paharului depășesc dimensiunile secțiunii de la baza stâlpului, de fiecare parte, cu 5...6 cm la partea inferioară și 8...11 cm la cea superioară. Spațiul dintre stâlp și pereții paharului se umple cu beton matat de clasă Bc 15 și cel puțin egală cu clasa betonului din pahar. Dimensiunea maximă a agregatelor folosite la prepararea betonului de monolitizare a stâlpului cu paharul nu va depăși 16 mm.

La stabilirea înălțimii  $H_p$  a paharului se are în vedere asigurarea lungimii necesare de ancoraj a armăturilor longitudinale din stâlp, la care se adaugă 5 cm. De asemenea, trebuie respectate următoarele valori minime pentru  $H_p$ :

- la stâlpi cu inimă plină:  $H_p > 1,2 a$ , unde  $a$  reprezintă latura mare a secțiunii stâlpului ( $a > b$ );

- la stâlpii halelor industriale cu poduri rulante și ai estacadelor, în afara condiției de mai sus, trebuie respectată și condiția:  $H_p > H_{st}/11$ , unde  $H_{st}$  reprezintă înălțimea liberă a stâlpului, de la fața superioară a paharului până la baza riglei acoperișului;

- la construcții etajate, cu stâlpi prefabricați dintr-o singură bucată pe mai multe niveluri, trebuie respectată în plus și condiția:  $H_p > 50 \text{ cm}$ .

#### Determinarea grosimii fundului paharului

În calculul de verificare a grosimii  $H_f$  a fundului paharului se admite că, din încărcarea axială totală transmisă de stâlp, o parte  $N_1 = N_1 \text{ cap}$  se transmite, prin pereții paharului, iar diferența  $N_2 = N - N_1 \text{ cap}$  se transmite direct fundului paharului (fig.2.19).

Încărcarea capabilă ce se transmite prin pereții paharului se calculează cu relația:

$$N_1 \text{ cap} = m_t \cdot A_s \cdot R_t \quad (2.42)$$

în care:

$m_t$  - coeficient al condițiilor de lucru, având valorile:

- 0,3 pentru stâlpii halelor parter fără poduri rulante sau cu poduri rulante cu regim ușor de lucru și pentru stâlpii cadrelor etajate;
- 0,1 pentru stâlpii halelor cu poduri rulante având regim mediu și greu de lucru;

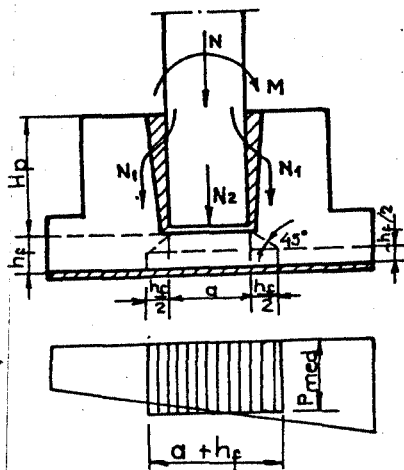


Fig. 2.19.

$$N_2 \text{ cap} = U H_f R_t + A_{av} \cdot 0,8 R_a + p_{med} A_f \leq 1,5 U H_f R_i + p_{med} A_f \quad (2.44)$$

unde:

- $U$  - perimetrul secțiunii de străpungere;
- $H_f$  - grosimea fundului paharului;
- $R_t$  - rezistența de calcul la întindere a betonului din talpa fundației (paharului);
- $A_{av}$  - aria totală a armăturii verticale de la fața interioară a paharului, pe tot perimetrul stâlpului, ancorată în talpa fundației;
- $p_{med}$  - presiunea medie reactivă a terenului corespunzătoare suprafeței  $A_f$ ;
- $A_f = (a + H_f) \times (b + H_f)$  - aria suprafeței delimitată de perimetrul secțiunii de străpungere.

La fundațiile cu pahar prefabricat tip cuzinet și bloc de fundație din beton simplu (fig.2.18.b), în verificarea la străpungere se ține seama și de

$A_s$  - aria suprafeței laterale de contact a stâlpului cu pereții paharului prin betonul de monolitizare;  
 $R_t$  - rezistența de calcul la întindere a betonului de monolitizare.

Secțiunea de străpungere a fundului paharului se consideră ca în fig. 2.19, având dimensiunile în plan  $a + H_f$ ,  $b + H_f$  și perimetrul  $U = 2a + 2b + 4H_f$ .

Condiția de verificare la străpungere este:

$$N_2 \leq N_2 \text{ cap} \quad (2.43)$$

Încărcarea  $N_2$  cap se calculează cu relația:

aportul blocului. În cazul fundațiilor alcătuite din pahar prefabricat sub formă de guler încastrat într-o talpă monolită din beton armat, grosimea  $H_f$  se măsoară de la baza acestuia (fig.2.18.c).

Valorile minime ale grosimii fundului paharului sunt:

- $H_f \text{ min} = 15 \text{ cm}$  - la stâlpii construcțiilor zootehnice cu un nivel și a altor construcții ușoare (șoproane, remize etc);
- $H_f \text{ min} = 20 \text{ cm}$  - la stâlpii construcțiilor civile și ai halelor industriale fără poduri rulante;
- $H_f \text{ min} = 25 \text{ cm}$  - la stâlpii halelor industriale cu poduri rulante.

#### Verificarea pereților paharului în plan orizontal la presiuni laterale

Momentul încovoietor  $M$  și forța tăietoare  $T$ , de la baza stâlpului, generează pe pereții paharului presiuni laterale, pentru care în calcul se admite conform Normativului P 10-86 schema de repartizare din fig.2.20 a și b.

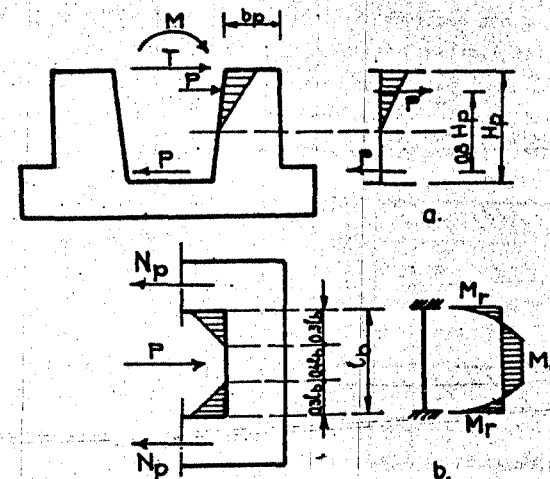


Fig. 2.20.

Se consideră de asemenea, că din momentul încovoietor total transmis de stâlp, fracțiunea  $N \cdot a / 2$  este preluată prin cuplurile forțelor de frecare de pe fețele interioare ale paharului și prin presiunile de pe fundul acestuia.

Presiunile laterale considerate în calcul sunt produse de:

$$M_1 = 0,8 \cdot (M - N \frac{a}{2}) \geq 0,4 \cdot M \quad (2.45)$$

$$T = \frac{M_1}{M} \quad (2.46)$$



Rezultanta presiunilor laterale pe una din fețele interioare ale paharului este dată de relația:

$$P = \frac{M_1}{0,8 \cdot H_p} + T_1 \quad (2.47)$$

În care  $z=0,8 \cdot H_p$  reprezintă brațul de pârghie a cuplului de forțe  $P$ .

Considerând perețele frontal ca fiind o bară dublu încastrată, având secțiunea  $b_p \cdot H_p/2$  și deschiderea de calcul  $l_b$ , iar presiunea laterală distribuită conform schemei din fig. 2.20.b, valorile maxime ale momentelor încovoietoare, pe reazeme  $M_R$  și în câmp  $M_C$ , se calculează cu relațiile:

$$M_R = 0,045 P l_b \quad \text{și} \quad M_C = 0,020 P l_b \quad (2.48)$$

Perețele frontal se verifică la încovoire cu momentele  $M_R$  și  $M_C$ , iar pereții longitudinali la întindere centrică, cu efortul axial  $N_p = P/2$ .

La fundații turnate monolit, nesolicitate dinamic și de dimensiuni reduse, se recomandă stabilirea grosimii  $b_p$  a pereților paharului punând condiția ca eforturile  $N_p$ ,  $M_R$  și  $M_C$  să fie preluate de către pereți ca elemente din beton simplu, având secțiunea transversală  $b_p \cdot H_p/3$ . Grosimea minimă a pereților paharului se limitează în acest caz la:  $b_{p \min} = 20$  cm.

La solicitări mai mari și respectiv pahare prefabricate, în calculul de verificare pereții paharului se consideră ca elemente din beton armat. La pahare prefabricate grosimea minimă a pereților este  $b_{p \min} = 15$  cm.

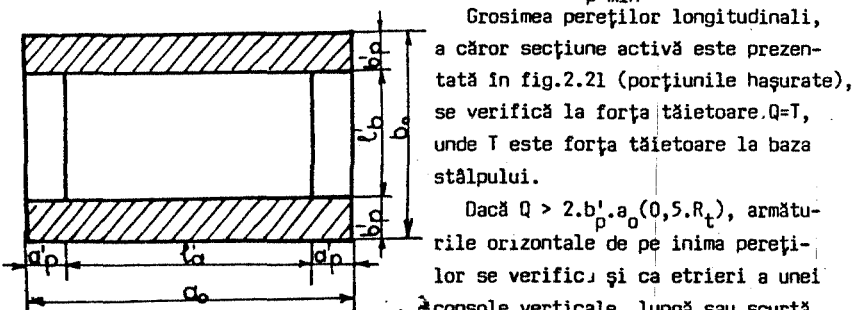


Fig. 2.21.

se dispune pe ambele fețe ale paharului (fig. 2.23.c).

#### Verificarea în secțiunea orizontală de la baza paharului

Secțiunea orizontală de la baza paharului (notată cu c-c în fig. 2.22) trebuie să asigure transmiterea la talpa fundației a forței axiale  $N_1$  (preluate de pereți și calculată cu relația 2.42) și a momentului încovoietor  $M' = M + T \cdot H_p$ .

Verificarea se face la compresiune excentrică, cu eforturile  $N_1$  și  $M'$ , ca pentru o secțiune chesonată din beton simplu.

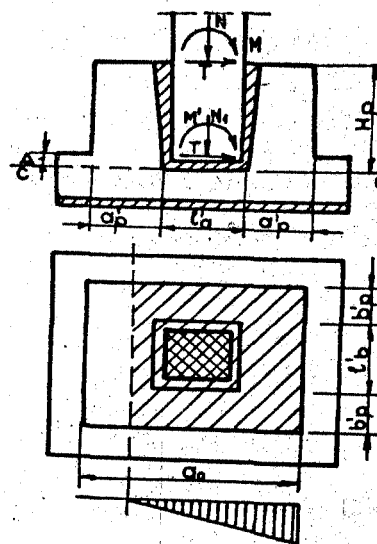


Fig. 2.22

Când intervin eforturi de întindere, calculul de verificare se face ca pentru o secțiune din beton armat, rezultând armăturile verticale de ancoraj necesare din pereții paharului. Procentul minim de armare pentru armăturile verticale de ancorare este 0,05 %.

#### 2.3.2. Armarea pereților paharului

Schemele de dispunere a armăturilor verticale și orizontale în pereții paharului sunt prezentate în fig. 2.23 a, b și c.

Schema de armare din fig. 2.23.a se aplică în cazul când pereții paharului se dimensionează ca elemente din

beton simplu, constând din armătura constructivă dispusă pe treimea superioară a pereților, alcătuită din:

- bare orizontale cu diametrul minim  $\phi 10$ ;
- bare verticale cu diametrul minim  $\phi 6$ .

La pahare dimensionate ca elemente din beton armat, pentru armarea pereților se aplică schema din fig. 2.23.b. Diametrul minim al armăturilor orizontale rezultate din calcul și dispuse pe treimea superioară a înălțimii paharului este  $\phi 10$ , dispunându-se minim două bare. Pe restul înălțimii paharului, se dispun constructiv la fața interioară bare orizontale  $\phi 8$ , la distanță de maxim 30 cm.

Schema de armare din fig. 2.23.c se recomandă în următoarele situații:

- din calculul de verificare în secțiunea orizontală de la baza paharului rezultă ca necesară armătura verticală de ancorare a paharului în talpa fundației;
- din calculul de verificare la forță tăietoare rezultă ca necesară armătura orizontală în pereții longitudinali ai paharului;
- la pahare prefabricate, unde în timpul transportului și a montajului, barele verticale pot fi solicitate la întindere.

Modul de dispunere în plan a armăturilor orizontale este redat în fig. 2.23.d.

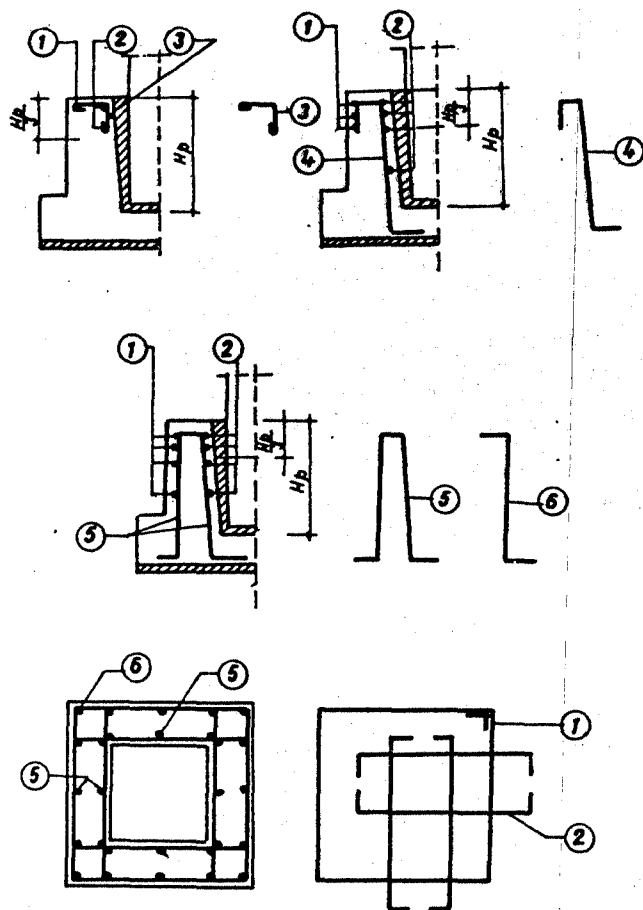


Fig. 2.23.

### Exemplul 2.3.

Să se dimensioneze fundația unui stâlp prefabricat având dimensiunile secțiunii transversale  $a=50$  cm,  $b=30$  cm și înălțimea  $H_{st}=5,00$  m, la baza căruia acționează următoarele eforturi de calcul:  $N=600$  kN și  $M=100$  kN.m. Adâncimea de fundare este  $D_f=1,60$  m, iar stratul de fundare este alcătuit din

nisip argilos. Se folosește beton Bc 10 și oțel beton OB 37.

### Dimensionarea suprafeței bazei fundației

Se prevede o fundație tip pahar turnată monolit, pentru talpa căreia se impun următoarele dimensiuni în plan:  $L=2,50$  m și  $B=1,50$  m.

Pentru dimensiunile tălpii fundației impuse, respectiv, natura straturilor de fundare și adâncimea de fundare precizate, presiunea convențională de calcul are valoarea:  $p_{conv}=225$  kPa.

Greutatea fundației inclusiv a umpluturii rezultă:

$$G_f = n \cdot L \cdot B \cdot D_f \cdot \gamma_{med} = 1,2 \times 2,50 \times 1,50 \times 1,60 \times 20 = 144 \text{ kN}$$

Forța axială totală la nivelul tălpii fundației rezultă:

$$N_t = N + G_f = 600 + 144 = 744 \text{ kN}$$

Excentricitatea încărcării este:

$$e = \frac{M}{N_t} = \frac{100}{744} = 0,13 \text{ m}$$

Presiunile efective pe teren la nivelul tălpii fundației calculate cu relația 2.3 rezultă:

$$p_{ef1,2} = \frac{744}{2,50 \times 1,50} \cdot \left(1 \pm \frac{6 \times 0,13}{2,50}\right) = \begin{cases} p_{ef1} = 260 \text{ kN/m}^2 \\ p_{ef2} = 136 \text{ kN/m}^2 \end{cases}$$

$$p_{ef1} = p_{ef \max} = 260 \text{ kPa} < 1,2 p_{conv} = 1,2 \times 225 = 270 \text{ kPa}$$

$$p_{ef2} = p_{ef \min} = 136 \text{ kPa} > 0$$

$$p_{ef \text{ med}} = \frac{p_{ef1} + p_{ef2}}{2} = \frac{260 + 136}{2} = 198 \text{ kPa} < p_{conv} = 225 \text{ kPa}$$

### Stabilirea dimensiunilor paharului

$$H_p \geq 40 \phi + 5 = 40 \times 1,8 + 5 = 77 \text{ cm}$$

$$H_p \geq 1,2 a = 1,2 \times 50 = 60 \text{ cm}$$

$$H_p \geq \frac{1}{8} \cdot H_{st} = \frac{1}{8} \times 500 = 62,5 \text{ cm}$$

Se alege pentru înălțimea paharului  $H=80$  cm.

Se mai aleg: - grosimea paharului la partea superioară  $b_p=25$  cm;

- înălțimea tălpii fundației la marginea paharului

$$H_1=45 \text{ cm};$$

- grosimea fundului paharului  $H_f=25$  cm.

Rezultă o înălțime totală a fundației:  $H=H_1+H_f=80+25=105$  cm.(fig.2.24).

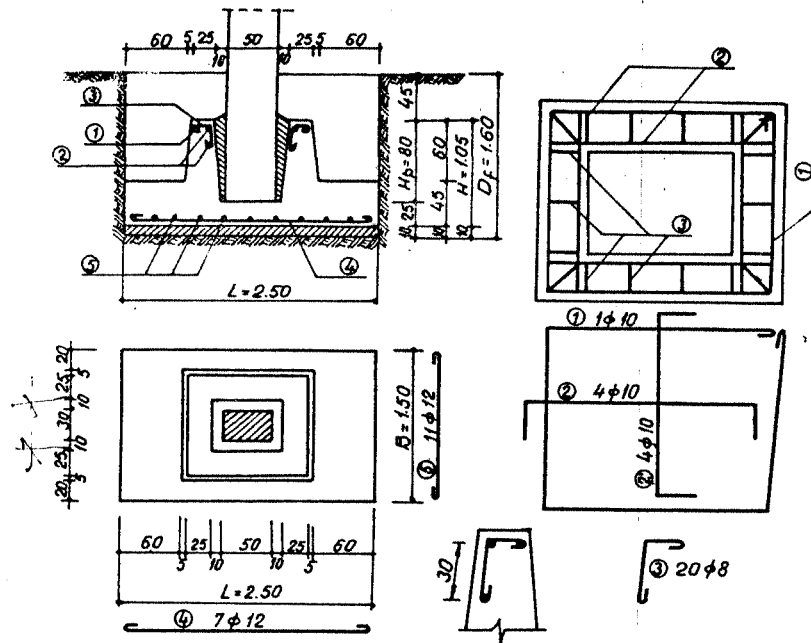


Fig. 2.24.

#### Calculul armăturii din talpa fundației

Presiunea de calcul la nivelul tălpii fundației (fig.2.25), fără a considera greutatea proprie a fundației și umpluturii, rezultă:

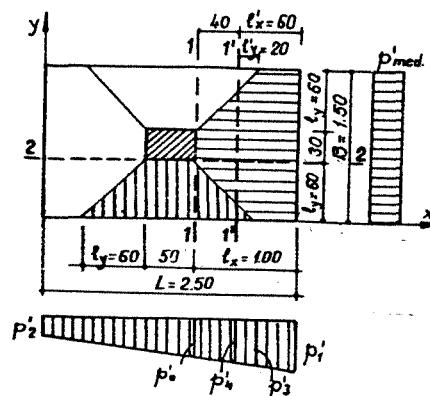


Fig. 2.25.

$$p_{1,2} = \frac{600}{2,50 \times 1,50} \left( 1 + \frac{6 \times 0,166}{2,50} \right) =$$

$$= \begin{cases} p_1' = 224 \text{ kN/m}^2 \\ p_2' = 96 \text{ kN/m}^2 \end{cases}$$

$$e = \frac{M}{N} = \frac{100}{600} = 0,166 \text{ m}$$

Momentele de încovoiere care apar în talpa fundației se calculează conform relațiilor: 2.20; 2.21; 2.22; 2.23; 2.24:

$$p_0' = 96 + \frac{2,50 - 1,00}{2,50} (224 - 96) = 172,8 \text{ kN/m}^2$$

$$p_3' = 96 + \frac{2,50 - 1,00 + 0,60}{2,50} (244 - 96) = 203,5 \text{ kN/m}^2$$

$$p_{med}' = \frac{224 + 96}{2} = 160 \text{ kN/m}^2$$

$$M_1 = \frac{1,50 \times 1,00^2}{6} (2 \times 224 + 172,8) - \frac{0,60^3}{6} (203,5 + 172,8) = 141,6 \text{ kNm}$$

$$M_2 = \frac{160 \times 0,60^3}{6} (3 \times 0,50 + 4 \times 0,60) = 37,44 \text{ kNm}$$

Înălțimile utile ale secțiunii de beton sunt:

$$h_{ox} = H - a - \frac{\phi}{2} = 105 - 3,5 - \frac{1,2}{2} = 100,9 \text{ cm}$$

$$h_{oy} = H_{ox} - \phi = 100,9 - 1,2 = 99,7 \text{ cm}$$

Armătura în direcția x:

$$A_{ax} = \frac{141,6 \times 10^4}{0,875 \times 100,9 \times 2100} = 7,66 \text{ cm}^2$$

Procentul de armare în direcția x rezultă:

$$p_x \% = \frac{A_{ax}}{h_{ox} \cdot B} \cdot 100 = \frac{7,66}{100,9 \times 150} = 0,051 \% > p_{min} \% = 0,025 \%$$

Numărul de bare în direcția x rezultă:

$$n_x = \frac{150}{10 \dots 25} = 15 \dots 6 \text{ bare}$$

Se alege astfel 7 bare  $\phi 12$  cu aria efectivă  $7,92 \text{ cm}^2$ , puse la 24 cm distanță între ele.

Armătura calculată pe direcția y, corespunzătoare lungimii  $L_1 = a + 2l_y = 170 \text{ cm}$  (fig.2.25), este:

$$A_{ay} = \frac{37,44 \times 10^4}{0,875 \times 99,7 \times 2100} = 2,05 \text{ cm}^2$$

Procentul de armare are valoarea:

$$p_y \% = \frac{A_{ay}}{h_{oy} \cdot L_1} \cdot 100 = \frac{2,05}{99,7 \times 170} \times 100 = 0,012 \% < p_{min} \% = 0,025 \%$$

Cantitatea de armătură pe direcția y se stabilește din condiția de procent minim de armare pentru toată lungimea tălpii fundației:

$$A_{ay} = \frac{p_{min} \% \cdot L \cdot h_{oy}}{100} = \frac{0,025 \times 250 \times 99,7}{100} = 6,20 \text{ cm}^2$$

Numărul de bare în direcția y rezultă:

$$n_y = \frac{250}{10 \dots 25} = 25 \dots 10 \text{ bare}$$

Constructiv se dispun 11 bare cu  $\phi 12$ , cu distanța între ele de 24 cm. În secțiunea l'l' (la marginea exterioară a peretelui paharului), momen-

tul încovoietor se calculează cu relația:

$$M_1' = \frac{8(l_x')^2}{6} (2p_1' + p_4') - \frac{(l_y')^3}{6} (p_3' + p_4')$$

în care:  $l_x' = 60 \text{ cm}$ ;  $l_y' = 20 \text{ cm}$  (fig.2.25);

$$p_4' = 96 + \frac{2,50 - 0,60}{2,50} (224 - 96) = 193,3 \text{ kN/m}^2$$

Înlocuind în relația de mai sus rezultă:

$$M_1' = \frac{1,50 \times 0,60^2}{6} (2 \times 224 + 193,3) - \frac{0,20^3}{6} (203,5 + 193,3) = 57,20 \text{ kNm}$$

Înălțimea utilă a secțiunii 1'-1' este  $h_0' = 45 - a - \phi/2 = 40,9 \text{ cm}$ , iar aria necesară a armăturii rezultă:

$$A_{ax} = \frac{57,2 \times 10^4}{0,875 \times 40,9 \times 2100} = 7,61 \text{ cm}^2 > A_{ax} = 7,92 \text{ cm}^2$$

Procentul real de armare în secțiunea 1'-1' este:

$$p_x' \% = \frac{7,92}{40,9 \times 150} \cdot 100 = 0,13 \% > p_{\min} = 0,10 \%$$

#### Verificarea grosimii fundului paharului

Mărimile care intervin în relația (2.42), de calcul a încărcării capabile ce se transmite direct prin pereții paharului, au valorile:

$$m_t = 0,3; A_s = 2(a+b)H_p = 2(0,50 + 0,30) \times 0,80 = 1,28 \text{ m}^2$$

$$R_t = 6,0 \text{ daN/cm}^2 = 600 \text{ kN/m}^2 \text{ (Bc 10)}$$

Făcând înlocuirile în relația (2.42) rezultă:

$$N_1 \text{ cap} = 0,3 \times 1,28 \times 600 = 230,4 \text{ kN}$$

Încărcarea  $N_2$  care se transmite direct fundului paharului este:

$$N_2 = N - N_1 \text{ cap} = 600 - 230,4 = 369,6 \text{ kN}$$

Particularizând relația (2.44) la cazul când pereții paharului se dimensionează ca elemente din beton simplu (adică fără armătura verticală încastrată în talpa fundației), rezultă:

$$N_2 \text{ cap} = U \cdot H_f \cdot R_t + p_{\text{ef med}} \cdot A_f$$

în care:

$$U = 2 \times 0,50 + 2 \times 0,30 + 4 \times 0,25 = 2,60 \text{ m}$$

$$H_f = 0,25 \text{ m}; R_t = 650 \text{ kN/m}^2; p_{\text{ef med}} = 198 \text{ kN/m}^2$$

$$A_f = (0,50 + 0,25)(0,30 + 0,25) = 0,41 \text{ m}^2$$

Înlocuind în relația de mai sus, se obține:

$$N_2 \text{ cap} = 2,60 \times 0,25 \times 650 + 198 \times 0,41 = 503,7 \text{ kN}$$

Se observă că:

$$N_2 = 369,6 \text{ kN} < N_2 \text{ cap} = 503,7 \text{ kN}$$

deci condiția (2.43) este satisfăcută, în consecință grosimea fundului paharului,  $H_f = 25 \text{ cm}$ , este suficientă.

#### Verificarea pereților paharului în plan orizontal la presiuni laterale

Conform relației (2.45), rezultă:

$$M_1 = 0,8 \cdot (M - N \cdot \frac{a}{2}) = 0,8 \cdot (100 - 600 \cdot \frac{0,50}{2}) < 0$$

În consecință pentru calcul se consideră:

$$M_1 = 0,4 \cdot M = 0,4 \times 100 = 40 \text{ kNm}$$

Rezultanta presiunilor generate de momentul  $M_1$  (în exemplul dat  $I = 0$ , deci și  $T_1 = 0$ ) pe fața interioară a peretelui paharului, calculată cu relația (2.47), are valoarea:

$$P = \frac{40}{0,8 \times 0,8} = 62,5 \text{ kN}$$

Considerând schema statică și de încărcare din fig.2.20.b, unde  $l_b = b + 2 \times 0,1 = 0,50 \text{ m}$ , prin aplicarea relațiilor (2.48) rezultă următoarele valori ale eforturilor în pereții paharului:

$$M_r = 0,045 \times 62,5 \times 0,50 = 1,41 \text{ kNm}$$

$$M_c = 0,020 \times 62,5 \times 0,50 = 0,625 \text{ kNm}$$

$$N_p = \frac{1}{2} \cdot 62,5 = 31,25 \text{ kN}$$

În cazul când pereții paharului se consideră că lucrează ca elemente din beton simplu, secțiunea transversală de calcul și modulul de rezistență au valorile:

$$S = \frac{H_p}{3} \cdot b_p = \frac{0,8}{3} \times 0,25 = 0,0666 \text{ m}^2 = 666 \text{ cm}^2$$

$$W = \frac{H_p}{6} \cdot b_p^2 = \frac{0,8 \times 0,25^2}{6} = 0,00277 \text{ m}^3 = 2770 \text{ cm}^3$$

Valoarea efortului unitar maxim, dat de momentul  $M_r$ , este:

$$\sigma = \frac{M_r}{W} = \frac{1,41 \times 10^4}{2770} = 5,09 \text{ daN/cm}^2 < R_t = 6,0 \text{ daN/cm}^2$$

iar din forța axială  $N_p$  rezultă:

$$\bar{\sigma} = \frac{N_p}{S} = \frac{31,25 \times 10^2}{666} = 4,70 \text{ daN/cm}^2 < R_t = 6,0 \text{ daN/cm}^2$$

După cum se poate observa, pentru  $b_p = 25 \text{ cm}$  pereții paharului rezistă ca elemente din beton simplu, în consecință armarea lor se face constructiv numai pe treimea superioară, conform schemei din fig.2.23.a.

#### 2.4. Fundații izolate cu bloc din beton simplu și cuzinet din beton armat

Acest tip de fundații sunt alcătuite dintr-un bloc din beton simplu, pe care stâlpul reazemă prin intermediul unui cuzinet din beton armat (fig. 2.26). Blocul din beton simplu este alcătuit din 1...3 trepte, astfel alese

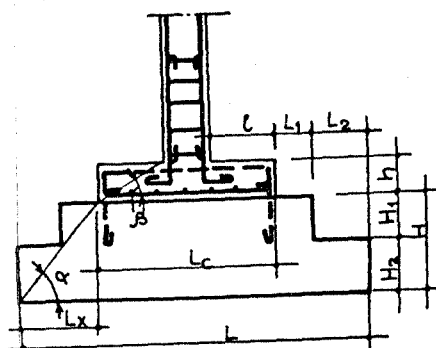


Fig. 2.26.

încât să asigure o repartitie corespunzătoare a presiunilor pe teren. Blocul din beton simplu este alcătuit din 1...3 trepte, astfel alese

încât să asigure o repartitie corespunzătoare a presiunilor pe teren.

Clasa betonului din blocul de fundație va fi cel puțin Bc 3,5, în cazul când cuzinetul nu este ancorat în bloc și cel puțin Bc 7,5, când este ancorat.

În cuzinet se folosește beton având clasa minim Bc 7,5 și până la clasa betonului din stâlp.

Cuzinetul se armează la partea inferioară cu o plasă alcătuită

din bare dispuse paralel cu laturile pe cele două direcții. Distanța maximă dintre bare este 25 cm, iar procentul minim de armare, pe fiecare direcție, are valoarea 0,05 %. Pentru stâlpi metalici cu solicitări mici, de regulă comprimați centric, fundațiile se realizează sub formă de bloc din beton simplu, pe care reazemă direct stâlpul prin intermediul plăcii de bază, solidarizarea de fundație făcându-se cu buloane de ancorare (fig.2.27.a). În cazul stâlpilor cu solicitări mari, comprimați excentric, se recomandă fundații sub formă de bloc din beton simplu și cuzinet din beton armat, de care se solidarizează stâlpul cu buloane de ancorare (fig.2.27.b). Prin intermediul armăturii verticale din cuzinet se realizează ancorarea acestuia în blocul de fundație.

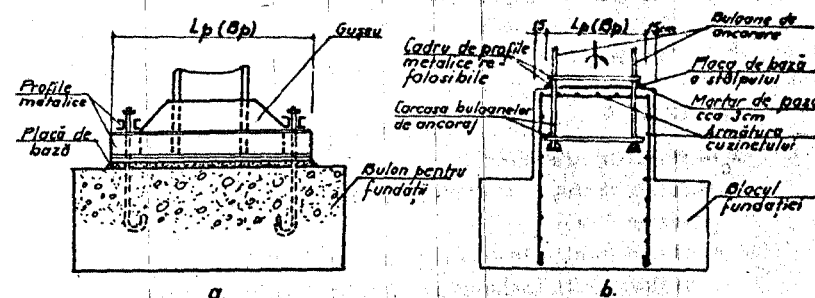


Fig. 2.27.

#### 2.4.1. Dimensionarea blocului de fundație

Dimensiunile în plan ale blocului de fundație se stabilesc conform celor arătate în paragraful 2.1.1.

Înălțimea blocului de beton se alege din condiția de rigiditate:

$$\text{tg } \alpha = \frac{H_i}{L_i} \geq (\text{tg } \alpha)_{\min} \quad (2.49)$$

unde:  $H_i$  - înălțimea blocului de fundație sau a unei trepte;

$L_i$  - deschiderea în consolă a blocului de fundație sau a unei trepte.

În tabelul 2.2. se dau valorile minime pentru  $\text{tg } \alpha$ .

Tabelul 2.2.

Valorile minime ale  $\text{tg } \alpha$

Presiunea maximă pe teren în kPa	Valori minime ale $\text{tg } \alpha$ pentru beton de clasa:		
	Bc 3,5	Bc 5	Bc 7,5
0	1	2	3
200	1,3	1,2	1,1
250	1,5	1,3	1,2
300	1,6	1,4	1,3
350	1,7	1,5	1,4
400	1,8	1,6	1,5
600	-	-	1,6

Notă: Pentru mărimi intermediare ale presiunii maxime pe teren, se utilizează valoarea corespunzătoare presiunii imediat superioare celei reale.

Înălțimea totală  $H$  a blocului de fundație cu o singură treaptă va fi de cel puțin 40 cm. Dacă blocul este format din două sau trei trepte înălțimile  $H_1, H_2, \dots$  ale fiecărei trepte vor fi de cel puțin 30 cm.

Blocul de fundație se va verifica la compresiune locală (strivire), sub cuzinetul de beton armat, conform STAS 10107/0-90.

$$N \leq K_f S_f R_c \quad (2.50)$$

unde:

$$K_f = (2 - \sqrt{\frac{S_f}{S}})^2$$

$R_c$  - rezistența de calcul a betonului la compresiune;

$S_f$  - aria suprafeței efective de aplicare a încărcării locale (talpa cuzinetului);

$S$  - aria porțiunii din suprafața în plan a blocului de fundație, la nivelul tălpii cuzinetului, dezvoltată simetric față de centrul de greutate și axele de simetrie ale suprafeței  $S_f$ .

Valoarea coeficientului  $K_f$  se limitează la maxim 1,5, pentru beton de clasă  $\leq Bc 7,5$ , respectiv maxim 2,0, pentru beton având clasa  $> Bc 7,5$ .

#### 2.4.2. Dimensionarea și armarea cuzinetului

Dimensiunile în plan ale cuzinetului ( $L_c, B_c$ ) se aleg pe considerente economice, cu satisfacerea următoarelor valori ale raportului  $L_c/L$ , respectiv  $B_c/B$ :

$$\frac{L_c}{L} = 0,55-0,65 \text{ pentru blocul cu o singură treaptă;}$$

$$\frac{L_c}{L} = 0,40-0,50 \text{ pentru blocul cu 2-3 trepte.}$$

Înălțimea  $h$  a cuzinetului, care nu va fi mai mică de 30 cm trebuie să satisfacă condițiile:

$$\text{tg } \beta = \frac{h}{l} > \frac{2}{3}; \quad \frac{h}{L_c} > 0,25 \quad (2.51)$$

Dacă  $\text{tg } \beta = \frac{h}{l} \geq 1$ , nu mai este necesară verificarea la forță tăietoare.

Calculul armăturii din talpa cuzinetului se face conform celor din paragraful 2.1.2; în relațiile (2.5...2.35) de calcul a momentelor încovoietoare în secțiunile de la marginile stâlpului, mărimile  $L, B, p'$  se înlocuiesc cu  $L_c, B_c$  și  $\bar{Q}$  ( $\bar{Q}$  reprezintă efortul unitar de calcul la nivelul tălpii cuzinetului, considerat ca reacțiune a blocului de fundație).

În unele ipoteze de încărcare, când apar eforturi unitare de întindere între cuzinet și blocul de fundație, dar zona activă a tălpii cuzinetului este minim 80 % din aria totală a acesteia, calculul armăturii de ancorare a cuzinetului în blocul din beton simplu nu este necesar.

În cazul în care zona activă rezultă între 70-80 % din aria totală a tălpii cuzinetului, acesta va fi ancorat în blocul de beton simplu prin armături capabile să preia rezultanta eforturilor unitare de întindere.

Armăturile de ancorare se dimensionează considerând secțiunea de la baza cuzinetului ca fiind o secțiune din beton armat solicitată la compresiune excentrică și introducând în calcul rezistențele de calcul ale betonului simplu din blocul de fundație.

În cazul stâlpilor metalici dimensiunile în plan ale plăcii de bază se determină în funcție de solicitările  $N$  și  $M$  din stâlp (aplicate în centrul de greutate al plăcii de bază) și de rezistența de calcul la compresiune a betonului din blocul de fundație.

Lungimea buloanelor de ancorare se determină prin calcul la smulgere și este minimum 35  $d$  ( $d$  fiind diametrul bulonului de ancoraj).

La fundațiile stâlpilor metalici alcătuite din bloc de beton simplu și cuzinet din beton armat, armăturile verticale de ancorare a cuzinetului în bloc se dimensionează astfel, încât să se obțină un moment capabil egal cu momentul capabil al buloanelor de ancoraj.

#### Exemplu 2.4.

Să se dimensioneze fundația unui stâlp din beton armat cu secțiunea de 35x45 cm la baza căruia acționează o forță axială de calcul  $N=550$  kN și un moment încovoietor de calcul  $M=150$  kN.m. Cota de fundare este -1,75 m față de cota + 0,00, care este considerată cota pardoselii finite a parterului, iar stratul de fundare este constituit din nisip prăfos cu îndesare medie.

Se va adopta tipul de fundație izolată cu bloc din beton simplu și cuzinet din beton armat.

#### Dimensionarea blocului din beton simplu

Se impun următoarele dimensiuni în plan ale tălpii blocului:  $L=2,35$  m și  $B=1,85$  m (fig.2.28).

Pentru adâncimea de fundare și natura stratului pe care reazemă fundația, respectiv dimensiunile impuse, valoarea presiunii convenționale de calcul este:  $p_{conv}=240$  kPa.

Dimensiunile în plan ale cuzinetului se stabilesc cu relațiile:

$$L_c = 0,5 \cdot L = 0,5 \times 2,35 = 1,175 \text{ m;}$$

se alege  $L_c=1,15$  m.

$$B_c = 0,5 \cdot B = 0,5 \times 1,85 = 0,925 \text{ m;}$$

se alege  $B_c=0,95$  m.

Înălțimea cuzinetului se stabilește respectând condiția:

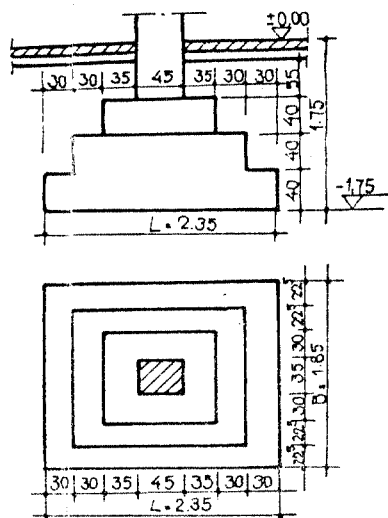


Fig. 2.28.

încărcare  $n=1,2$  și greutatea volumică medie normală a betonului din fundație și a amputurii  $\gamma_{med}=20 \text{ kN/m}^3$ , se calculează greutatea proprie a fundației.

$$G_f = 12 \times 2,35 \times 1,85 \times 1,75 \times 20 = 182,4 \text{ kN} \approx 183 \text{ kN}$$

Încărcarea totală transmisă terenului va fi:

$$N_t = N + G_f = 550 + 183 = 733 \text{ kN}$$

Presiunea medie efectivă pe teren rezultă:

$$p_{med\ ef} = \frac{733}{2,35 \times 1,85} = 168 \text{ kN/m}^2 = 168 \text{ kPa} < p_{conv} = 240 \text{ kPa}$$

Excentricitatea încărcării este:

$$e = \frac{M}{N_t} = \frac{150}{733} = 0,204 \text{ m}$$

Valorile presiunilor efective pe teren la extremitățile fundației rezultă:

$$p_{ef\ 1,2} = \frac{733}{2,35 \times 1,85} \left(1 \pm \frac{6 \times 0,204}{2,35}\right) = \begin{cases} p_{ef\ 1} = 255 \text{ kN/m}^2 \\ p_{ef\ 2} = 80,6 \text{ kN/m}^2 \end{cases}$$

$$p_{ef\ max} = 255 \text{ kN/m}^2 = 255 \text{ kPa} < 1,2 \cdot p_{conv} = 288 \text{ kPa}$$

$$\frac{h}{l_x} \geq 1; \quad h \geq l_x = 0,35 \text{ m}$$

$$l_x = \frac{1,15 - 0,45}{2} = 0,35 \text{ m}$$

Se alege  $h = 40 \text{ cm}$

Deschiderea în consolă a blocului de fundație rezultă:

$$L_x = \frac{L - l_c}{2} = \frac{2,35 - 1,15}{2} = 0,60 \text{ m}$$

Conform tabelului 2.2 pentru  $p_{conv} = 250 \text{ kPa}$  și beton de clasă Bc 7,5, se obține  $(\text{tg } \alpha)_{\min} = 1,3$ .

Din relația (2,49) rezultă înălțimea blocului:

$$H = L_x \cdot (\text{tg } \alpha)_{\min} = 0,60 \times 1,3 = 0,78 \text{ m}$$

Se alege  $H = 80 \text{ cm}$ .

Înălțimea totală se împarte în două trepte cu înălțimea  $H_1 = H_2 = \frac{H}{2} = \frac{80}{2} = 40 \text{ cm}$ .

Considerând coeficientul de supra-

$$p_{ef\ min} = 80,6 \text{ kN/m}^2 = 80,6 \text{ kPa} > 0$$

Se observă că este îndeplinită condiția (1.2) de nedepășire a presiunii convenționale de calcul, în consecință dimensiunile impuse pentru blocul de fundație corespund.

#### Dimensionarea cuzinetului

Dimensiunile impuse pentru cuzinet  $l_c = 115 \text{ cm}$ ,  $B_c = 95 \text{ cm}$  și  $h = 40 \text{ cm}$  respectă condițiile:  $h > h_{\min} = 30 \text{ cm}$ ;  $\text{tg } \beta > 1$ .

$$\text{tg } \beta = \frac{h}{l_x} = \frac{40}{35} = 1,14 > 1 \quad \text{și} \quad \frac{h}{l_c} = \frac{40}{115} = 0,34 > 0,25 \quad (\text{fig. 2.29}).$$

Valorile extreme ale tensiunilor (presiunilor) la nivelul tălpii cuzinetului se calculează astfel:

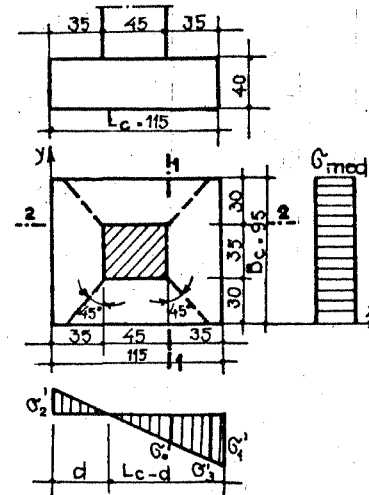


Fig. 2.29.

zinetului, rezultând:

$$S_{ca} = \frac{G_1}{G_1 + |G_2|} \cdot S_c = \frac{1229}{1229 + 199} \cdot S_c = 0,86 S_c$$

Deoarece suprafața activă ( $S_{ca}$ ) este mai mare decât 80 % din suprafața totală a tălpii cuzinetului ( $S_c$ ), nu se efectuează calculul armăturii de ancoraj, dispunându-se constructiv câte 2 bare  $\Phi 12$  pe fiecare direcție.

Pentru determinarea armăturii din talpa cuzinetului se recalculează tensiunile, fără greutatea proprie  $G_c$ , obținându-se:

$$e_1 = \frac{M}{N_{tc}} = \frac{150}{550} = 0,266 \text{ m}$$

$$G_c = n \cdot L_c \cdot B_c \cdot h \cdot \gamma_{bet} = 1,2 \times 1,15 \times 0,95 \times 0,40 \times 24 = 12,5 \text{ kN}$$

$$N_{tc} = N + G_c = 550 + 12,5 \approx 563 \text{ kN}$$

$$\sigma_{1,2} = \frac{563}{1,15 \times 0,95} \left(1 \pm \frac{6 \times 0,266}{1,15}\right) =$$

$$\begin{cases} \sigma_1 = 1229 \text{ kN/m}^2 \\ \sigma_2 = -199 \text{ kN/m}^2 \end{cases}$$

$$\sigma_1 = 1229 \text{ kN/m}^2 = 12,29 \text{ daN/cm}^2 < R_c = 47 \text{ daN/cm}^2 (\text{Beton Bc 7,5}).$$

Având în vedere că apar eforturi unitare de întindere între cuzinet și blocul de beton simplu, se calculează mărimea suprafeței active a tălpii cu-

$$e_1' = \frac{M}{N} = \frac{150}{550} = 0,273 \text{ m}$$

$$\sigma_{1,2}' = \frac{550}{1,15 \times 0,95} \left( 1 \pm \frac{6 \times 0,273}{1,15} \right) = \begin{cases} \sigma_1' = 1220 \text{ kN/m}^2 \\ \sigma_2' = -213 \text{ kN/m}^2 \end{cases}$$

Calculul momentelor încovoietoare care apar în cuzinet, datorită reacțiunii blocului, se efectuează utilizând relațiile 2.20; 2.21; 2.22; 2.23; 2.24, în care mărimile  $p'$ ,  $\theta$ ,  $L$  se înlocuiesc cu  $\sigma'$ ,  $\theta_c$  și  $L_c$ .

$$\sigma_0'' = -213 + \frac{1,15-0,35}{1,15} (1220 + 213) = 783 \text{ kN/m}^2$$

$$\sigma_3' = -213 + \frac{1,15-0,35+0,30}{1,15} (1220+213) = 1157 \text{ kN/m}^2$$

$$\sigma_{med}'' = \frac{\sigma_1' + \sigma_2'}{2} = \frac{1220 - 213}{2} = 503 \text{ kN/m}^2$$

$$M_1 = \frac{0,95 \times 0,35^2}{6} (2 \times 1220 + 783) - \frac{0,30^3}{6} (1157 + 783) = 53,78 \text{ kN/m}$$

$$M_2 = \frac{503 \times 0,30^2}{6} (3 \times 0,45 + 4 \times 0,30) = 19,20 \text{ kN.m}$$

Înălțimile utile ale secțiunii de beton a cuzinetului rezultă:

$$h_{ox} = h - a - \frac{\phi}{2} = 40 - 3,5 - 0,5 = 36 \text{ cm}$$

$$h_{oy} = h_{ox} - \phi = 36 - 1 = 35 \text{ cm}$$

Aria armăturii în direcția x este:

$$A_{ax} = \frac{53,78 \times 10^4}{0,875 \times 36 \times 2100} = 8,13 \text{ cm}^2$$

Procentul de armare rezultă:

$$\rho_x \% = \frac{A_{ax}}{b \times h_c} \cdot 100 = 2,237 \% > \rho_{min} \% = 0,05 \%$$

Numărul de bare în direcția x rezultă:

$$n_x = \frac{95}{10...25} = 10...4 \text{ bare}$$

Se aleg astfel 8 bare  $\phi 12$  cu aria efectivă de  $9,05 \text{ cm}^2$  dispuse uniform la distanța de 12 cm.

Armătura în direcția y, corespunzătoare porțiunii din latura mare a tălpii cuzinetului, determinată de dreptele duse sub unghiuri de  $45^\circ$  din colțurile secțiunii stâlpului, adică  $L_{c1} = a + 2l_y = 45 + 2 \times 30 = 105 \text{ cm}$ , este:

$$A_{ay} = \frac{19,2 \times 10^4}{0,875 \times 35 \times 2100} = 3,00 \text{ cm}^2$$

Procentul de armare are valoarea:

$$\rho_y \% = \frac{3,00}{35 \times 115} \times 100 = 0,0745 \% > \rho_{min} \% = 0,05 \%$$

Aria totală a armăturii în direcția y este:

$$A_{ayt} = \frac{L_c}{L_{c1}} \cdot A_{ay} = \frac{115}{105} \times 3,00 = 3,28 \text{ cm}^2$$

Numărul de bare în direcția y rezultă:

$$n_y = \frac{115}{10...25} = 11...5 \text{ bare}$$

Se aleg 5 bare  $\phi 10$  cu aria efectivă de  $3,925 \text{ cm}^2$ , dispuse la distanță de 22 cm.



### CAPITOLUL 3

#### 3. FUNDAȚII CONTINUE SUB STĂLPI

Această fundație se realizează sub forma unei grinzi din beton armat (fig.3.1). Axa grinzii de fundație poate fi dreaptă, poligonală sau circulară, după cum este dispunerea în plan a stâlpilor.

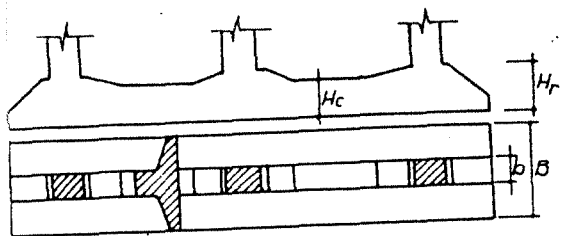


Fig. 3.1.

de grindă, în consolă.

Grosimea plăcii în dreptul grinzii ( $h$ ), se ia minim 30 cm, iar la margine ( $h_1$ ), minim 15 cm.

În calculul static de dimensionare a fundațiilor continue sub stâlpi, trebuie să se stabilească cantitatea de armătură dispusă longitudinal în grindă, precum și armătura dispusă transversal în placa de bază.

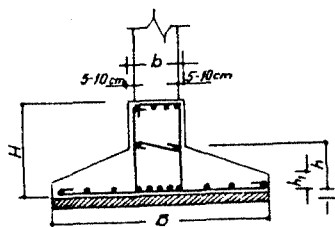


Fig. 3.2.

Armarea grinzilor de fundație se face cu armături din oțel OB 37 și PC 52. Procentul minim de armare pentru armătura longitudinală este de 0,10 %, iar pentru cea transversală este de 0,05 %.

În sens transversal pentru calculul momentului încovoietor, placa se consideră

ca o consolă de lățime unitară încastrată în grindă și încărcată cu diagrama de presiuni considerată ca reacțiune a terenului.

De o parte și de alta a inimii grinzii se prevăd în talpă armături longitudinale de repartitie cu o secțiune de cel puțin 10 % din armătura de rezistență a plăcii. Această armătură poate fi luată în calcul pentru pre-

În secțiune transversală grinzile de fundație se fac de regulă sub forma unui T întors (fig.3.2) fiind alcătuite din grinda propriu-zisă cu secțiunea dreptunghiulară și o placă de bază dezvoltată simetric față

luarea momentelor negative pe reazeme.

În sens longitudinal calculul static se poate face prin mai multe metode.

#### 3.1. Metode de calcul în ipoteza grinzii de fundație de rigiditate maximă

La aplicarea acestor metode [3] [5], se face ipoteza că rigiditatea grinzii este infinită în raport cu terenul de fundare. Pentru ca rezultatele calculului cu aceste metode să fie acceptabile, trebuie ca înălțimea grinzii să fie suficient de mare ( $1/3...1/6$ ) din deschiderea ei între cei doi stâlpi consecutivi, iar diferența între forțele stâlpilor, respectiv între distanțele dintre stâlpi, să fie mici, (maxim 20 %). Dacă fiind lățimea redusă a grinzii în raport cu lungimea ei, distribuția plană a presiunilor reactive se poate lua uniformă în sens transversal, cea longitudinală rezultând liniară.

##### 3.1.1. Metoda grinzii continue cu reazeme fixe (fig.3.3)

Considerând talpa fundației drept o grindă continuă cu reazeme fixe și încărcată cu reacțiunea terenului liniar distribuită, se determină momentele încovoietoare și forțele tăietoare cu ajutorul cărora se stabilește armătura de rezistență longitudinală din grindă.

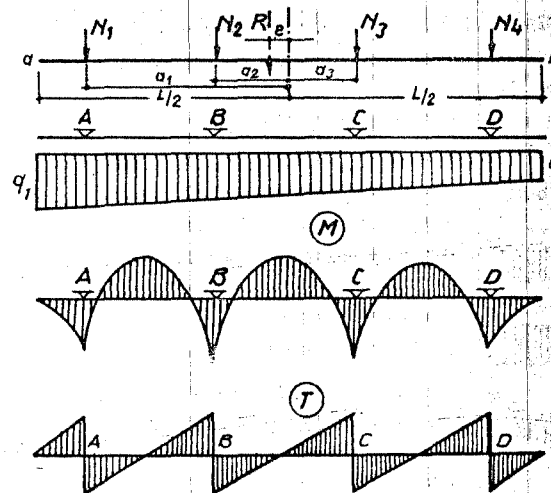


Fig. 3.3.

Greutatea fundației este:  $G_f = n \cdot L \cdot B \cdot H \cdot \gamma_m$ , unde  $n=1,2$ ;  $\gamma_m=20 \text{ kN/m}^3$ .

Dacă presiunea maximă,  $p_1$ , de sub talpa fundației îndeplinește condi-

Calculul static al grinzii de fundație se face după verificarea dimensiunilor tălpii acesteia. În acest sens, se calculează valorile extreme ale presiunii pe teren, cu relația:

$$p_{1,2} = \frac{R}{LB} \cdot (1 \pm \frac{6e}{L}) \quad (3.1)$$

în care:

$$R = \sum N_i + G_f$$

$$e = \frac{M}{R}$$

$$M = \sum N_i \cdot a_i$$

ția:  $p_1 \leq p_{tr}$ , atunci dimensiunile  $L$  și  $B$  impuse, pe baza unor considerații constructive, sunt corecte.

Valorile extreme ale sarcinii liniar distribuite cu care se încarcă grinda sunt:

$$q_1 = B \cdot p_1'; \quad q_2 = B \cdot p_2'$$

unde:

$$p_{1,2}' = p_{1,2} - \frac{G_f}{LB}$$

Determinând reacțiunile grinzii continue și comparându-le cu forțele axiale din stâlpi, se poate determina mărimea erorilor, respectiv exactitatea metodei.

### 3.1.2. Metoda grinzii continue static determinată (fig.3.4)

Talpa fundației se consideră ca o grindă static determinată, cu reacțiunile pe reazeme cunoscute, egale cu forțele axiale din stâlpi. Având grinda încărcată cu aceste reacțiuni, precum și cu reacțiunea terenului, valoarea momentului încovoietor într-o secțiune de pe grindă este dată de momentul tuturor forțelor din stânga sau dreapta secțiunii.

În cazul când sarcinile din stâlpi diferă între ele, dacă se consideră pentru reacțiunea terenului repartizarea liniară prezentată în figura 3.4.a se obțin erori mari.

Dacă sarcina fiecărui stâlp se distribuie uniform pe lungimea sferență de grindă, adică considerând că reacțiunea terenului are repartizarea din figura 3.4.b, rezultatele sunt mai bune.

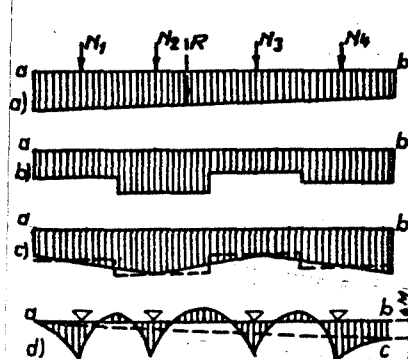


Fig. 3.4.

În capătul "b" nu se obține valoarea zero pentru moment, ci o valoare  $\Delta M$ . Diagrama de momente obținută inițial se corectează prin scăderea diagramei tri-

rezultate și mai bune se pot obține prin adoptarea pentru reacțiunea terenului a repartizării prezentate în fig.3.4.c, care se obține din diagrama de repartizare din fig.3.4.b., prin unirea ordonatelor din dreptul stâlpilor.

Datorită faptului că reacțiunile au fost impuse, se poate întâmpla ca să nu fie satisfăcută condiția de echilibru a momentelor, adică dacă se pornește cu calculul momentelor din capătul "a" al grinzii, în

unghiulare abc având baza egală cu  $\Delta M$  (fig.3.4.d).

### Exemplul 3.1.

Să se dimensioneze fundația continuă din fig.3.5, acționată de încărcările provenite de la trei stâlpi:  $N_1=1200$  kN,  $N_2=1400$  kN,  $N_3=1300$  kN (fig. 3.6).

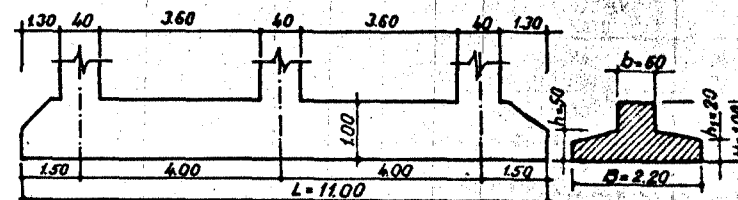


Fig. 3.5.

Presiunea convențională pe teren este  $p_{conv} = 200$  kPa.

Distanțele dintre stâlpi fiind egale și diferențele dintre forțe nedepășind 20 %, calculul se poate face în ipoteza grinzii de mare rigiditate (metode aproximative). Calculul se va face prin două metode aproximative:

a) Metoda grinzii continue cu reazeme fixe (fig.3.6).

1. Verificarea suprafeței în plan (L.8). Greutatea proprie a fundației:

$$G_f = 1,2 \times L \times B \times H \times \gamma_{med} = 1,2 \times 11 \times 2,20 \times 20 = 580,8 \text{ kN}$$

Valoarea de calcul a rezultantei totale este:

$$R = N_1 + N_2 + N_3 + G_f = 1200 + 1400 + 1300 + 580,8 = 4480,8 \text{ kN}$$

Poziția rezultantei R:

$$R \cdot e = N_3 \cdot l - N_1 \cdot l = (1300 - 1200) \cdot 4,0 = 400 \text{ kNm}$$

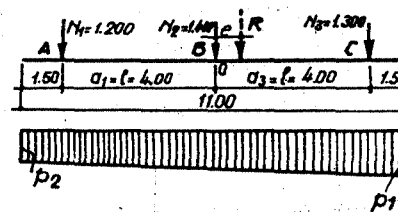


Fig. 3.6.

$$e = \frac{400}{4480,8} = 0,09 \text{ m}$$

Presiunea sub talpă se calculează cu relația (1.53):

$$p_{1,2} = \frac{4480,8}{11 \times 2,20} \left( 1 \pm \frac{6 \times 0,09}{11} \right) = 185(1 \pm 0,05)$$

$$p_1 = 194 \text{ kPa} < 1,2 p_{conv} = 240 \text{ kPa}$$

$$p_2 = 176 \text{ kPa} > 0$$

## 2. Calculul static și de dimensionare a grinzii de fundație (fig.3.7)

$$p'_{1,2} = \frac{R'}{L \cdot B} \cdot \left(1 \pm \frac{6 \cdot e'}{L}\right)$$

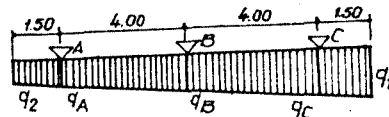


Fig. 3.7.

$$p'_1 = 170 \text{ kPa} ; p'_2 = 152 \text{ kPa}$$

$$q_1 = p'_1 \cdot B = 170 \times 2,2 = 374 \text{ kN/m}$$

$$q_2 = p'_2 \cdot B = 152 \times 2,2 = 334 \text{ kN/m}$$

După efectuarea calculului static rezultă diagramele de momente încovoietoare și forțe tăietoare redată în fig.3.8.

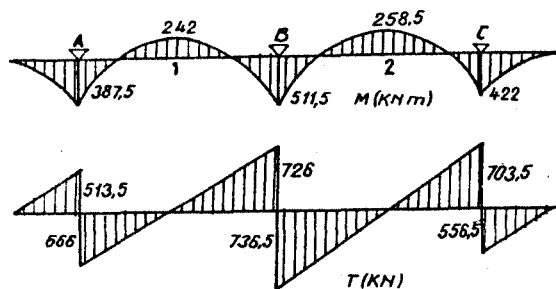


Fig. 3.8.

### Determinarea armăturii longitudinale din grinda de fundație

Cu valorile de calcul ale momentelor încovoietoare de pe reazeme și din câmp, se calculează aria necesară a armăturii longitudinale de rezistență, iar cu valorile forțelor tăietoare corespunzătoare secțiunilor de la marginile reazemelor (stâlpilor) se determină aria necesară a armăturii înclinate. Se folosește beton Bc 10 și oțel OB 37.

Rezultatele calculului de dimensionare, care se face în conformitate cu [10] sunt prezentate în tabelul 3.1.

Tabelul 3.1.

Sect. (fig. 3.8)	Solicit. max. de calcul		Armătura necesară		Armătură efectuată	
	M (kNm)	T (kN)	A <sub>a</sub> (cm <sup>2</sup> )	A <sub>i</sub> (cm <sup>2</sup> )	A <sub>a</sub> (cm <sup>2</sup> )	A <sub>i</sub> (cm <sup>2</sup> )
A	387,5	666	19,60	7,50	20,80 5Ø20+2Ø18	8,23 1Ø20+2Ø18
B	511,5	736,5	27,10	12,20	29,81 4Ø25+4Ø18	12,72 3Ø18+2Ø18
C	422	703,5	21,90	10,10	23,94 6Ø20+2Ø18	10,18 4Ø18
1	242	-	12,40	-	13,30 4Ø16+2Ø18	-
2	258,5	-	13,20	-	13,30 4Ø16+2Ø18	-

### Determinarea armăturii transversale din talpa grinzii de fundație

Pentru calculul armăturii transversale din talpa grinzii de fundație, se încarcă talpa cu o presiune uniform distribuită, provenită numai din încărcările exterioare, considerată ca reacțiune a terenului care are valoarea:

$$p'_{med} = \frac{p'_1 + p'_2}{2} = \frac{170 + 152}{2} = 161 \text{ kPa}$$

Momentul încovoietor față de secțiunea de încadrare a plăcii de bază în grinda de fundație, secțiunea 1-1 (fig. 3.9) este:

$$M_{1-1} = p'_{med} \cdot l_1 \cdot l_2 \cdot \frac{1}{2} \cdot l_1 = 161 \cdot 0,80 \cdot \frac{0,80}{2} = 51,5 \text{ kNm/m}$$

Aria de armătură:

$$A_a = \frac{M_{1-1}}{0,875 \cdot h_0 \cdot R_a} = \frac{51,5 \cdot 10^4}{0,875 \cdot 46,5 \cdot 2100} = 6,20 \text{ cm}^2/\text{m}$$

În care  $h_0$  a rezultat din relația:

$$h_0 = h - 3,5 \text{ cm} = 50 - 3,5 = 46,5 \text{ cm}$$

Procentul de armare:

$$\rho \% = \frac{A_a}{l_1 \cdot h_0} \cdot 100 = \frac{6,20}{100 \cdot 46,5} \cdot 100 = 0,135 \% > \rho_{min} = 0,05 \%$$

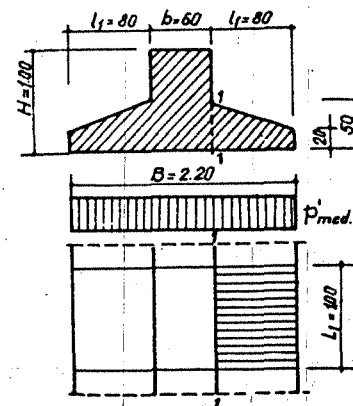


Fig. 3.9.

În figura 3.10 se prezintă armarea longitudinală și transversală a grinzii de fundație calculată.

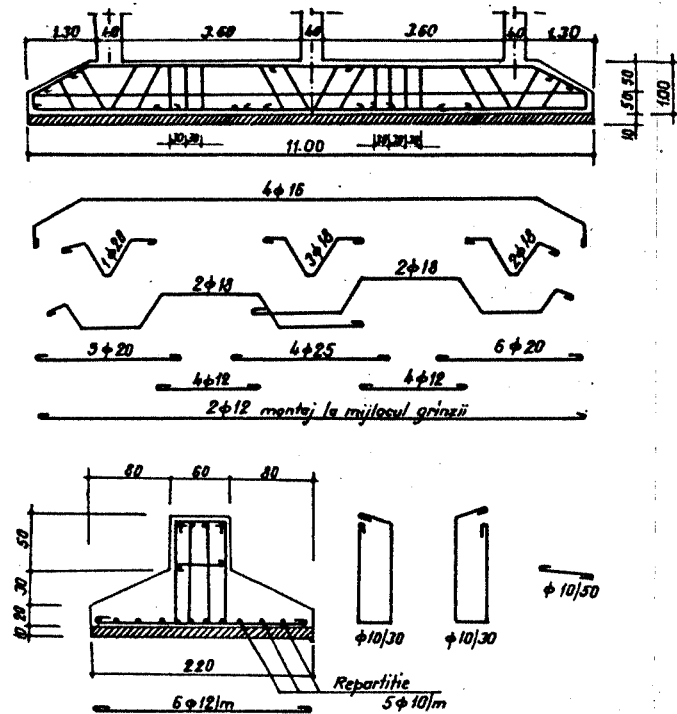


Fig. 3.10.

b) Metoda grinzii continue static determinată (fig.3.11)

$$l_{A1} = l_{C2} = 0,475 \cdot l = 1,90 \text{ m}$$

$$l_{B1} = l_{B2} = 0,525 \cdot l = 2,10 \text{ m}$$

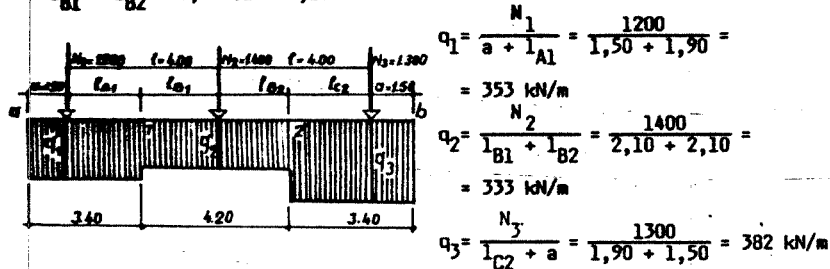


Fig. 3.11

$$q_1 = \frac{N_1}{a + l_{A1}} = \frac{1200}{1,50 + 1,90} = 353 \text{ kN/m}$$

$$q_2 = \frac{N_2}{l_{B1} + l_{B2}} = \frac{1400}{2,10 + 2,10} = 333 \text{ kN/m}$$

$$q_3 = \frac{N_3}{l_{C2} + a} = \frac{1300}{1,90 + 1,50} = 382 \text{ kN/m}$$

### Momente încovoietoare

$$M_A = 353 \cdot \frac{1,50^2}{2} = 397 \text{ kNm}$$

$$M_1 = 353 \cdot \frac{3,40^2}{2} - 1200 \cdot 1,9 = -240 \text{ kNm}$$

$$M_B = 353 \cdot 3,40 \cdot \left(\frac{3,40}{2} + 2,10\right) + 333 \cdot \frac{2,1^2}{2} - 1200 \cdot 4 = 495 \text{ kNm}$$

$$M_2 = 353 \cdot 3,40 \cdot \left(\frac{3,40}{2} + 4,2\right) + 333 \cdot \frac{4,2^2}{2} - 1200 \cdot (4+2,1) - 1400 \cdot 2,1 = -240 \text{ kNm}$$

$$M_C = 353 \cdot 3,40 \cdot \left(\frac{3,40}{2} + 2,1 + 4\right) + 333 \cdot 4,2 \cdot \left(\frac{4,2}{2} + 1,9\right) + 382 \cdot \frac{1,90^2}{2} - 1200 \cdot (4+4) - 1400 \cdot 4 = 450 \text{ kNm}$$

$$M_D = 353 \cdot 3,40 \cdot \left(\frac{3,40}{2} + 4,20 + 3,40\right) + 333 \cdot 4,2 \cdot \left(\frac{4,2}{2} + 3,40\right) + 382 \cdot \frac{3,40^2}{2} - 1200 \cdot (4+4+1,50) - 1400 \cdot (4+1,50) - 1300 \cdot 1,50 = +20 \text{ kNm} = \Delta M$$

Având în vedere valoarea mică a lui  $\Delta M$  (fig.3.12) este suficient dacă se corectează momentele numai din câmpul 2 și reazemul C, astfel:

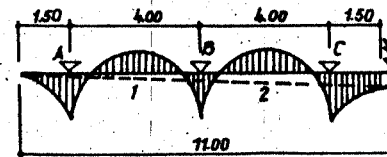


Fig. 3.12

$$M_C = +450 - \frac{9,50}{11} \cdot 20 = 450 - 17 = 433 \text{ kNm}$$

$$M_2 = -240 - \frac{7,50}{11} \cdot 20 = -240 - 13,5 = -253,5 \text{ kNm} \approx -254 \text{ kNm}$$

### Forțele tăietoare

$$T_A^S = +353 \cdot 1,50 = 530 \text{ kN}$$

$$T_A^D = T_A^S - N_1 = +530 - 1200 = -670 \text{ kN}$$

$$T_B^S = +353 \cdot 3,40 + 333 \cdot 2,10 - 1200 = +700 \text{ kN}$$

$$T_B^D = T_B^S - N_2 = +700 - 1400 = -700 \text{ kN}$$

$$T_C^S = +353 \cdot 3,40 + 333 \cdot 4,20 + 382 \cdot 1,90 - 1200 - 1400 = 725 \text{ kN}$$

$$T_C^D = T_C^S - N_3 = +725 - 1300 = -575 \text{ kN}$$

Comparând momentele încovoietoare prezentate în diagramele din figura 3.13 cu momentele și forțele tăietoare obținute pentru aceleași încărcări, dar considerând grinda în calcul drept o grindă continuă cu reazeme fixe, se observă că valorile lor sunt sensibil apropiate.

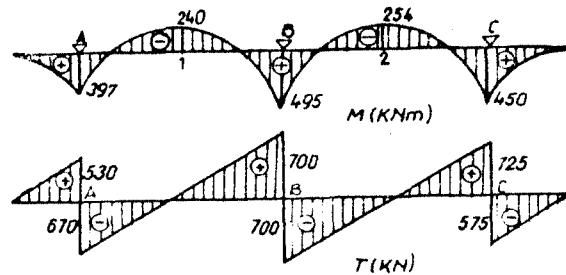


Fig. 3.13.

### 3.2. Metode de calcul în ipoteza grinzii de fundație elastică pe mediu elastic

#### 3.2.1. Metoda Winkler

În cadrul acestei metode grinda de fundație se consideră elastică pe mediu elastic, adică se ține cont de conlucrarea între două medii deformabile, (grinda și terenul de fundare) care rămân permanent în contact pe toată suprafața (fig.3.14).



Fig. 3.14.

În privința legii de distribuție a presiunii sub grindă, în ipoteza lui Winkler se presupune că între presiune și deformație există o proporționalitate prin intermediul coeficientului

de tasare (de pat)  $K_s$  (daN/cm<sup>3</sup>, kN/m<sup>3</sup>).

$$p = K_s \cdot z \quad (3.2)$$

unde:  $p$  - presiunea;  
 $z$  - tasarea verticală.

Valoarea coeficientului de tasare ( $K_s$ ) se indică a se determina experimental, ea fiind funcție de natura terenului, mărimea încărcării cât și de mărimea și forma fundației. În literatura de specialitate [6] se dau unele valori orientative, prezentate în tabelul 3.2.

Valoarea lui  $K_s$  se poate calcula [6] cu ajutorul modului de deformare  $E$ , aplicând relația de mai jos:

$$K_s = \frac{E}{(1-\nu)^2 \cdot H} \quad (3.3)$$

unde:  $H$  - grosimea stratului compresibil;  
 $\nu$  - coeficientul lui Poisson.

Tabelul 3.2.

Nr. crt.	Natura mediului (terenului de rezemare)	$K_s$ (daN/cm <sup>3</sup> )
1.	Nisip și nisip argilos afănat, argilă și argilă nisipoasă, în stare de curgere	0,1-0,5
2.	Pietriș, nisip și nisip argilos de compactitate mijlocie, argilă și argilă nisipoasă în stare plastică	0,5-5
3.	Pietriș, nisip argilos în stare compactă, argilă și argilă nisipoasă consistentă	5-10
4.	Stâncă dură, stâncă cu fisuri	10-100
5.	Terenuri de fundație consolidate, fundații pe piloți	100-150

Așa cum se poate vedea în [6], pentru deducerea relațiilor de calcul a deformațiilor și solicitărilor statice după metoda Winkler se pleacă de la ecuația fibrei medii deformate, a unei grinzii de lungime finită ( $L$ ):

$$\frac{d^4 z}{dx^4} + 4 \cdot \alpha^4 \cdot z = 0,$$

$$\text{unde: } \alpha = \frac{1}{L_e}.$$

$\alpha$  fiind coeficientul de amortizare.

Prin  $L_e$  se notează lungimea elastică a grinzii care se calculează cu expresia;

$$L_e = \sqrt[4]{\frac{4 \cdot E \cdot I}{K_s \cdot B}}$$

unde:  $E$  - modul de elasticitate;

$I$  - momentul de inerție al secțiunii grinzii;

$K_s$  - coeficientul de tasare (de pat);

$B$  - lățimea tălpii grinzii.

Clasificarea grinzilor elastice rezemate pe mediu elastic, după lungimea considerată în calcul, se face în primul rând în funcție de poziția încărcării față de capetele grinzii (fig.3.15).

Astfel în calcul se consideră:

- grindă de lungime



Fig. 3.15.

infinită, când  $\alpha \cdot x_a \geq 7$  și  $\alpha \cdot x_b \geq 7$ ;

- grindă de lungime semiinfinită, când  $\alpha \cdot x_a \geq 7$  și  $\alpha \cdot x_b < 7$ , sau

$\alpha \cdot x_a < 7$  și  $\alpha \cdot x_b \geq 7$ ;

- grindă de lungime finită, când  $\alpha \cdot x_a < 7$  și  $\alpha \cdot x_b < 7$ .

Grinzile de lungime finită pot fi:

- lungi, când  $\alpha \cdot L > 6$ ;

- de lungime medie, când  $0,6 \leq \alpha \cdot L \leq 6$ ;

- scurte, când  $\alpha \cdot L < 0,6$ .

a) Grinda de lungime infinită acționată de o forță concentrată

Pentru o grindă cu lățimea tălpii B, infinit de lungă, încărcată cu o forță concentrată N (fig. 3.16), săgeata  $z_x$ , rotirea  $\theta_x$ , momentul  $M_x$ , forța tăietoare  $T_x$  și presiunea  $p_x$ , într-o secțiune curentă A situată la distanța x față de punctul de aplicație al forței, se pot calcula cu relațiile [1]:

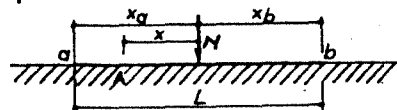


Fig. 3.16.

$$z_x = \frac{N \cdot \alpha}{2 \cdot K_s \cdot B} \cdot \varphi_1(\alpha \cdot x) \quad (3.4)$$

$$\theta_x = -\frac{N \cdot \alpha^2}{K_s \cdot B} \cdot \varphi_2(\alpha \cdot x) \quad (3.5)$$

$$M_x = \frac{N}{4 \cdot \alpha} \cdot \varphi_3(\alpha \cdot x) \quad (3.6)$$

$$T_x = -\frac{N}{2} \cdot \varphi_4(\alpha \cdot x) \quad (3.7)$$

$$p_x = K_s \cdot z_x = \frac{N \cdot \alpha}{2 \cdot B} \cdot \varphi_1(\alpha \cdot x) \quad (3.8)$$

unde:

$$\varphi_1(\alpha x) = e^{-\alpha x} (\cos \alpha x + \sin \alpha x);$$

$$\varphi_2(\alpha x) = e^{-\alpha x} \cdot \sin \alpha x;$$

$$\varphi_3(\alpha x) = e^{-\alpha x} (\cos \alpha x - \sin \alpha x);$$

$$\varphi_4(\alpha x) = e^{-\alpha x} \cos \alpha x.$$

Curbele de variație ale coeficienților  $\varphi_1(\alpha x)$ ,  $\varphi_2(\alpha x)$ ,  $\varphi_3(\alpha x)$  și  $\varphi_4(\alpha x)$ , se prezintă în figura 3.17, iar valorile acestor coeficienți sunt redată în tabelul 3.3.

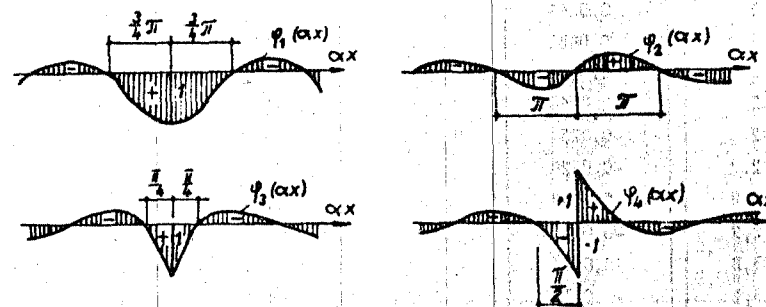


Fig. 3.17.

Tabelul 3.3.

$\alpha x$	$\varphi_1(\alpha x)$	$\varphi_2(\alpha x)$	$\varphi_3(\alpha x)$	$\varphi_4(\alpha x)$
0	1	2	3	4
0,0	1,0000	0,0000	1,0000	1,0000
0,1	0,9907	0,0903	0,8100	0,9003
0,2	0,9651	0,1627	0,6398	0,8024
0,3	0,9267	0,2189	0,4888	0,7077
0,4	0,8784	0,2610	0,3564	0,6174
0,5	0,8241	0,2908	0,2415	0,5323
0,6	0,7628	0,3099	0,1431	0,4530
0,7	0,6997	0,3199	0,0599	0,3798
0,8	0,6354	0,3223	-0,0093	0,3131
0,9	0,5712	0,3185	-0,0657	0,2527
1,0	0,5083	0,3096	-0,1108	0,1988
1,1	0,4746	0,2967	-0,1457	0,1510
1,2	0,3899	0,2807	-0,1716	0,1091
1,3	0,3355	0,2626	-0,1897	0,0729
1,4	0,2849	0,2430	-0,2011	0,0419
1,5	0,2384	0,2226	-0,2068	0,0158
1,6	0,1959	0,2018	-0,2077	-0,0059
1,7	0,1576	0,1812	-0,2047	-0,0235
1,8	0,1234	0,1610	-0,1985	-0,0376
1,9	0,0932	0,1415	-0,1899	-0,0484
2,0	0,0667	0,1230	-0,1794	-0,0563
2,1	0,0439	0,1057	-0,1675	-0,0618

0	1	2	3	4
2,2	0,0244	0,0895	-0,1548	-0,0652
2,3	0,0080	0,7480	-0,1416	-0,0668
2,4	-0,0056	0,0613	-0,1282	-0,0669
2,5	-0,0166	0,0492	-0,1149	-0,0658
2,6	-0,0254	0,0383	-0,1019	-0,0636
2,7	-0,0320	0,0287	-0,0895	-0,0608
2,8	-0,0369	0,0204	-0,0777	-0,0583
2,9	-0,0403	0,0132	-0,0666	-0,0534
3,0	-0,0423	0,0070	-0,0563	-0,0493
3,1	-0,0431	0,0019	-0,0469	-0,0450
3,2	-0,0431	-0,0024	-0,0383	-0,0407
3,3	-0,0422	-0,0058	-0,0306	-0,0364
3,4	-0,0408	-0,0085	-0,0237	-0,0323
3,5	-0,0389	-0,0106	-0,0177	-0,0283
3,6	-0,0366	-0,0121	-0,0124	-0,0245
3,7	-0,0341	-0,0131	-0,0079	-0,0210
3,8	-0,0314	-0,0137	-0,0040	-0,0177
3,9	-0,0286	-0,0140	-0,0008	-0,0147
4,0	-0,0258	-0,0139	+0,0019	-0,0120
4,1	-0,0231	-0,0136	0,0040	-0,0095
4,2	-0,0204	-0,0131	0,0057	-0,0074
4,3	-0,0178	-0,0125	0,0070	-0,0054
4,4	-0,0155	-0,0117	0,0079	-0,0038
4,5	-0,0132	-0,0108	0,0085	-0,0023
4,6	-0,0111	-0,0100	0,0089	-0,0011
4,7	-0,0092	-0,0091	0,0090	0,0001
4,8	-0,0075	-0,0082	0,0089	0,0007
4,9	-0,0059	-0,0073	0,0087	0,0014
5,0	-0,0046	-0,0065	0,0084	0,0019
5,1	-0,0033	-0,0057	0,0080	0,0023
5,2	-0,0023	-0,0049	0,0075	0,0026
5,3	-0,0014	-0,0042	0,0069	0,0028
5,4	-0,0006	-0,0035	0,0064	0,0029
5,5	0,0000	-0,0029	0,0058	0,0029
5,6	0,0005	-0,0023	0,0052	0,0029
5,7	0,0010	-0,0018	0,0046	0,0028
5,8	0,0013	-0,0014	0,0041	0,0027
5,9	0,0015	-0,0010	0,0036	0,0026

0	1	2	3	4
6,0	0,0017	-0,0007	0,0031	0,0024
6,1	0,0018	-0,0004	0,0026	0,0022
6,2	0,0019	-0,0002	0,0022	0,0020
6,3	0,0019	+0,0001	0,0018	0,0018
6,4	0,0018	0,0003	0,0015	0,0017
6,5	0,0018	0,0004	0,0012	0,0015
6,6	0,0017	0,0005	0,0009	0,0013
6,7	0,0016	0,0006	0,0006	0,0011
6,8	0,0015	0,0006	0,0004	0,0010
6,9	0,0014	0,0006	0,0002	0,0008
7,0	0,0013	0,0006	0,0001	0,0007

La o grindă acționată de o forță concentrată deformațiile  $z$  și momentele  $M$  sunt simetrice față de axa  $Oz$ , înseamnă că relațiile de calcul redată mai sus pentru  $z_x$  și  $M_x$  se aplică sub această formă, indiferent de poziția forței față de secțiunea de calcul  $A$ .

Rotirile  $\theta_x$ , respectiv forțele tăietoare  $T_x$  sunt antisimetrice, motiv pentru care la determinarea lor, relațiile de calcul se aplică sub forma redată anterior numai în cazul când forța se găsește în stânga secțiunii de calcul  $A$ .

#### b) Grinda de lungime infinită acționată de mai multe forțe concentrate

Relațiile de calcul a lui  $z$ ,  $\theta$ ,  $M$ ,  $T$  și  $p$  pentru grinda de lungime infinită acționată de o singură forță  $N$ , sunt liniare în raport cu forța  $N$ , fapt care permite ca aceste relații să poată fi aplicate și-n cazul mai multor forțe (fig. 3.18) prin folosirea principiului suprapunerii efectelor.

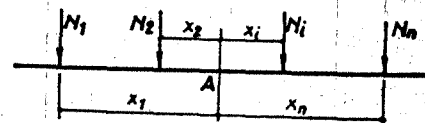


Fig. 3.18.

Relațiile de calcul pentru acest caz sunt [1]:

$$z_A = \frac{\alpha}{2 \cdot K_s \cdot B} \sum_{i=1}^n N_i \cdot \varphi_1(\alpha x_i) \quad (3.9)$$

$$\theta_A = \frac{\alpha^2}{K_S \cdot B} \sum_{i=1}^n N_i \cdot \varphi_2(\alpha \cdot x_i) \quad (3.10)$$

$$M_A = \frac{1}{4\alpha} \sum_{i=1}^n N_i \cdot \varphi_3(\alpha \cdot x_i) \quad (3.11)$$

$$T_A = -\frac{1}{2} \sum_{i=1}^n N_i \cdot \varphi_4(\alpha \cdot x_i) \quad (3.12)$$

$$P_A = \frac{\alpha}{2 \cdot B} \sum_{i=1}^n N_i \cdot \varphi_1(\alpha \cdot x_i) \quad (3.13)$$

c) Grinda de lungime infinită acționată de încărcare uniform distribuită

În practică, intervin deseori cazuri când asupra grinzilor rezemate pe mediu elastic, acționează și încărcări uniform distribuite (fig.3.19).

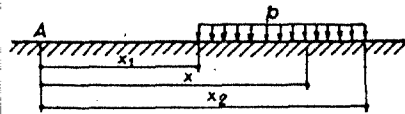


Fig. 3.19.

În acest caz asimilând încărcarea uniform distribuită cu o succesiune de forțe concentrate infinit de mici, se ajunge la următoarele relații de calcul pentru z, θ, M și T:

$$z = -\frac{p}{2 \cdot K_S \cdot B} [\varphi_4(\alpha \cdot x_2) - \varphi_4(\alpha \cdot x_1)] \quad (3.14)$$

$$\theta = \frac{p \cdot \alpha}{2 \cdot K_S \cdot B} [\varphi_1(\alpha \cdot x_1) - \varphi_1(\alpha \cdot x_2)] \quad (3.15)$$

$$M = \frac{p}{4\alpha} [\varphi_2(\alpha \cdot x_2) - \varphi_2(\alpha \cdot x_1)] \quad (3.16)$$

$$T = \frac{p}{4\alpha} [\varphi_3(\alpha \cdot x_1) - \varphi_3(\alpha \cdot x_2)] \quad (3.17)$$

Relațiile de mai sus sunt valabile pentru cazul când secțiunea de calcul A se găsește de grindă în afara porțiunii încărcate (fig.3.19).

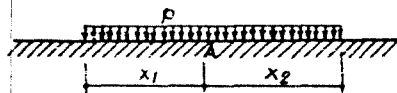


Fig. 3.20.

În cazul când secțiunea de calcul se găsește pe grindă în interiorul porțiunii încărcate (fig.3.20), se împarte porțiunea încărcată în două părți, pentru fiecare parte putându-se

aplica relațiile de mai sus și rezultă:

$$z = \frac{-p}{2K_S \cdot B} [\varphi_4(\alpha \cdot x_2) + \varphi_4(\alpha \cdot x_1) - 2] \quad (3.18)$$

$$\theta = \frac{p \cdot \alpha}{2 \cdot K_S \cdot B} [\varphi_1(\alpha \cdot x_1) - \varphi_1(\alpha \cdot x_2)] \quad (3.19)$$

$$M = \frac{p}{4\alpha} [\varphi_2(\alpha \cdot x_2) + \varphi_2(\alpha \cdot x_1)] \quad (3.20)$$

$$T = \frac{p}{4\alpha} [\varphi_3(\alpha \cdot x_1) - \varphi_3(\alpha \cdot x_2)] \quad (3.21)$$

d) Grindă de lungime infinită acționată de un moment încovoietor

În cazul când asupra grinzii de fundație acționează un moment direct aplicat  $M_1$  (fig.3.21) relațiile de calcul pentru deformările și solicitările statice într-o secțiune A se pot deduce simplu, punând acest cuplu sub forma:

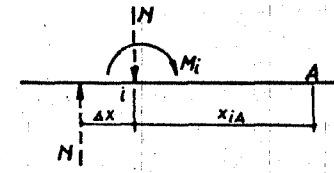


Fig. 3.21.

$$M_1 = N \cdot \Delta x.$$

Relațiile de calcul pentru săgeată, rotire, moment încovoietor și forța tăietoare într-o secțiune de calcul (A) sunt [1]:

$$z_A = \frac{M_1 \alpha^2}{K_S \cdot B} \cdot \varphi_2(\alpha \cdot x_{1A}) \quad (3.22)$$

$$\theta_A = \frac{M_1 \alpha^2}{K_S \cdot B} \varphi_3(\alpha \cdot x_{1A}) \quad (3.23)$$

$$M_A = \frac{M_1}{2} \varphi_4(\alpha \cdot x_{1A}) \quad (3.24)$$

$$T_A = -\frac{M_1 \cdot \alpha}{2} \varphi_1(\alpha \cdot x_{1A}) \quad (3.25)$$

3.2.2. Metoda Bleich \*

Pentru calculul grinzilor finite de lungime medie ( $0,6 \leq \alpha L \leq 6$ ) precum și a celor lungi, în cazul când încărcările acționează în vecinătatea capetelor, se aplică metoda Bleich care constă, în transformarea grinzii de lungime finită într-o grindă de lungime infinită.

În acest sens, grinda de lungime finită asupra căreia acționează forțele concentrate  $N_1, N_2, \dots, N_n$ , se prelungește în ambele părți, încărcând porțiunile prelungite cu niște forțe fictive  $X_1$  și  $X_2$  respectiv  $X_3$  și  $X_4$  (fig.3.22).

Pentru simplificarea calculului, forțele fictive  $X_1, \dots, X_4$  se amplasează față de capetele grinzii, după cum urmează:

- $X_1$  și  $X_4$  la distanța  $\alpha x_1 = \frac{\sqrt{7}}{2}$ , respectiv  $\alpha x_4 = \frac{\sqrt{7}}{2}$ ;
- $X_2$  și  $X_3$  la distanța  $\alpha x_2 = \frac{\sqrt{7}}{4}$ , respectiv  $\alpha x_3 = \frac{\sqrt{7}}{4}$ .



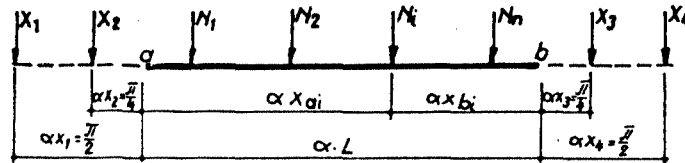


Fig. 3.22.

Valorile celor patru forțe fictive se determină din condițiile reale, corespunzătoare capetelor a și b ale grinzii reale. În general, grinzile de fundare au capetele libere, fiind satisfăcute condițiile:

$$M_a = 0 \text{ și } T_a = 0, \text{ respectiv } M_b = 0 \text{ și } T_b = 0 \quad (3.26)$$

Explicitând condițiile (3.26) pentru schema de calcul din fig. 3.22 și ținând seama de faptul că în tabelul 3.3 coeficienții  $\varphi_3$  și  $\varphi_4$  sunt dați pentru  $\alpha \cdot x > 0$ , iar pentru  $\alpha \cdot x < 0$  coeficienții  $\varphi_4$  sunt cu semn schimbat, se obține următorul sistem de ecuații:

$$M_a = \frac{1}{4\alpha} [X_1 \cdot \varphi_3(\alpha \cdot x_1) + X_3 \cdot \varphi_3(\alpha \cdot L + \alpha \cdot x_3) + X_4 \cdot \varphi_3(\alpha \cdot L + \alpha \cdot x_4) + \sum N_i \varphi_3(\alpha \cdot x_{ai})] = 0$$

$$T_a = -\frac{1}{2} [-X_2 \varphi_4(\alpha \cdot x_2) + X_3 \varphi_4(\alpha \cdot L + \alpha \cdot x_3) + X_4 \varphi_4(\alpha \cdot L + \alpha \cdot x_4) + \sum N_i \varphi_4(\alpha \cdot x_{ai})] = 0$$

$$M_b = \frac{1}{4\alpha} [X_1 \varphi_3(\alpha \cdot L + \alpha \cdot x_1) + X_2 \varphi_3(\alpha \cdot L + \alpha \cdot x_2) + X_4 \cdot \varphi_3(\alpha \cdot x_4) + \sum N_i \varphi_3(\alpha \cdot x_{bi})] = 0$$

$$T_b = -\frac{1}{2} [-X_1 \varphi_4(\alpha \cdot L + \alpha \cdot x_1) - X_2 \varphi_4(\alpha \cdot L + \alpha \cdot x_2) + X_3 \varphi_4(\alpha \cdot x_3) - \sum N_i \varphi_4(\alpha \cdot x_{bi})] = 0$$

Pentru cazul grinzii finite lungi,  $\alpha \cdot L > 6$ , valorile funcțiilor  $\varphi_3(\alpha \cdot L + \alpha \cdot x_i)$  și  $\varphi_4(\alpha \cdot L + \alpha \cdot x_i)$  sunt mici și se pot neglija, dispărând din fiecare ecuație câte două necunoscute. Prin amplasarea forțelor fictive la distanțele  $\frac{\pi}{4}$  și  $\frac{\pi}{2}$  față de capetele grinzii, din fiecare ecuație a mai dispărut câte o necunoscută, rezultând un sistem de patru ecuații cu câte o necunoscută. Relațiile de calcul a forțelor fictive, în acest caz, sunt:

$$X_1 = -\frac{\sum N_i \cdot \varphi_3(\alpha \cdot x_{ai})}{\varphi_3(\frac{\pi}{2})};$$

$$X_2 = \frac{\sum N_i \cdot \varphi_4(\alpha \cdot x_{ai})}{\varphi_4(\frac{\pi}{4})}$$

$$X_3 = \frac{\sum N_i \cdot \varphi_4(\alpha \cdot x_{bi})}{\varphi_4(\frac{\pi}{4})};$$

$$X_4 = -\frac{\sum N_i \cdot \varphi_3(\alpha \cdot x_{bi})}{\varphi_3(\frac{\pi}{2})}$$

Din tabelul 3.3 rezultă  $\varphi_3(\frac{\pi}{2}) = -0,207$  și  $\varphi_4(\frac{\pi}{4}) = 0,323$ . Înlocuind aceste valori în relațiile de mai sus, rezultă:

$$X_1 = \frac{\sum N_i \cdot \varphi_3(\alpha \cdot x_{ai})}{0,207} \quad (3.27)$$

$$X_2 = \frac{\sum N_i \cdot \varphi_4(\alpha \cdot x_{ai})}{0,323} \quad (3.28)$$

$$X_3 = \frac{\sum N_i \cdot \varphi_4(\alpha \cdot x_{bi})}{0,323} \quad (3.29)$$

$$X_4 = \frac{\sum N_i \cdot \varphi_3(\alpha \cdot x_{bi})}{0,207} \quad (3.30)$$

După determinarea valorilor forțelor fictive  $X_1$ ,  $X_2$ ,  $X_3$  și  $X_4$ , calculul solicitărilor statice și al deformațiilor în orice secțiune a grinzii de lungime finită, se face ca și la grinda de lungime infinită (folosind relațiile și coeficienții de la metoda Winkler).

### Exemplul 3.2.

Să se dimensioneze fundația continuă pentru trei stâlpi (fig. 3.23) a căror încărcări de calcul sunt  $N_1=2000$  kN,  $N_2=1000$  kN și  $N_3=1500$  kN. Presiunea convențională a terenului este  $p_{conv}=300$  kPa, iar coeficientul de tasare al terenului  $K_s=10$  daN/cm<sup>3</sup>.

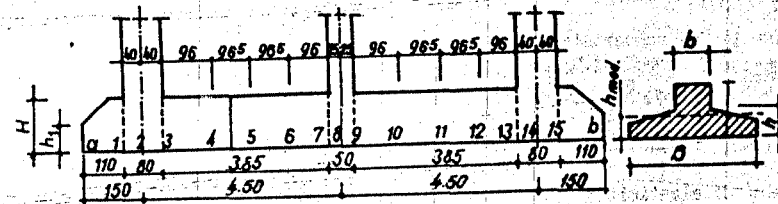


Fig. 3.23.

Fundația se execută din beton Bc 15 armat cu oțel beton OB 37. Având în vedere că sarcinile stâlpilor sunt mult diferite între ele,

pentru calculul grinzii de fundație nu se poate aplica o metodă de calcul aproximativă, ci se va aplica metoda Winkler. Calculul se va face în următoarele secțiuni:

- secțiunile de la capetele grinzii (a și b) unde presiunea pe teren ar putea fi maximă;
- secțiunile de la marginile stâlpilor (1, 3, 7, 9, 13, 15) pentru determinarea eventualelor presiuni maxime pe teren, a momentelor pe reazeme și a forțelor tăietoare maxime, reduse la marginea reazemelor;
- secțiunile din axele stâlpilor (2, 8, 14) pentru determinarea momentelor maxime în axul reazemelor;
- secțiunile din mijlocul deschiderii între stâlpi (5, 11) pentru aflarea momentelor maxime din câmp;
- secțiunile intermediare - între stâlpi și mijlocul deschiderii - (4, 6, 10, 12) pentru trasarea cât mai exactă a diagramelor de momente, forțe tăietoare, deplasări și presiuni.

#### Rezolvare:

Calculul lungimii elastice ( $L_e$ ) și stabilirea schemei de calcul a grinzii

Momentul de inerție al secțiunii grinzii de fundație în formă de T se determină cu relația:

$$I = \gamma \frac{b \cdot H^3}{12} \quad (\text{pentru secțiuni T})$$

Pentru calculul momentului de inerție, se impun următoarele dimensiuni ale grinzii de fundație:  $b=60$  cm,  $H=100$  cm,  $h_1=20$  cm,  $h=45$  cm (vezi notații fig.3.27).

$$h_{med} = \frac{h_1 + h}{2} \approx 30 \text{ cm}$$

În funcție de rapoartele:

$$\frac{B}{b} = \frac{250}{60} = 4,17 \quad \text{și} \quad \frac{h_{med}}{H} = \frac{30}{100} = 0,3 \quad \text{rezultă: } \gamma = 1,801$$

$$I = 1,801 \cdot \frac{60 \times 100^3}{12} = 9,008 \times 10^6 \text{ cm}^4$$

Modulul de elasticitate la încovoiere pentru beton Bc 15 este

$$E = 2,4 \times 10^7 \text{ kPa} = 2,4 \times 10^5 \text{ daN/cm}^2.$$

Lungimea elastică a grinzii se calculează astfel:

$$L_e = \sqrt[4]{\frac{4 \times 2,4 \times 10^5 \times 9,008 \times 10^6}{10 \times 250}} = 242 \text{ cm}$$

Coeficientul de amortizare este:

$$\alpha = \frac{1}{L_e} = \frac{1}{2,42} = 0,413$$

$$\alpha \cdot L = 0,413 \times 12 = 4,95 < 6 \text{ - grinda este de lungime medie.}$$

Grinda de fundație fiind de lungime medie, iar forțele  $N_1$  și  $N_3$  acționând în secțiuni apropiate de capăt, pentru a putea aplica relațiile de calcul de la grinda infinit lungă, se folosește metoda Bleich.

Lungimea grinzii în scară elastică, adică produsul  $\alpha \cdot L = 4,95$  fiind apropiat de  $\alpha \cdot L = 6$  de la care grinzile pot fi considerate finite lungi și pentru care forțele fictive pot fi calculate cu relațiile 3.27...3.30, se consideră că aplicarea acestor relații și în cazul de față nu introduce erori semnificative, coeficienții  $\varphi_3$  și  $\varphi_4$  la distanțele  $\alpha \cdot L + \frac{\pi}{4}$ , respectiv  $\alpha \cdot L + \frac{\pi}{2}$  fiind foarte mici ( $\varphi_3 = 0,0075$  și  $0,0004$ , respectiv  $\varphi_4 = 0,0026$  și  $0,0010$ ).

Calculul forțelor fictive  $X_1$ ,  $X_2$ ,  $X_3$  și  $X_4$  este prezentat în tabelul 3.4.

Schema de calcul a grinzii de fundație după introducerea forțelor fictive și transformarea lungimilor în mărimi adimensionale  $\alpha \cdot x_i$  este redată în fig.3.24.

		$N_1 = 2000 \text{ kN}$							$N_2 = 1000 \text{ kN}$							$N_3 = 15000 \text{ kN}$								
		2 3 4 5 6 7							8 9 10 11 12 13							14 15								
		a														b								
		10														110								
		40														40								
		40														40								
		96														96								
		96,5														96,5								
		96,5														96,5								
		96														96								
		25														25								
		96														96								
		96,5														96,5								
		96,5														96,5								
		96														96								
		40														40								
		40														40								
		110														110								
		78,5														78,5								
		78,5														78,5								
		0,785														0,785								

Fig. 3.24

Calculul solicitărilor și deformațiilor efectuat pentru toate secțiunile de divizare a grinzii (fig.3.24) este explicitat doar pentru trei secțiuni: a, 2 și 5.

Secțiunea a (tab.3.5)

$$M_a = 0; \quad P_a = \frac{\alpha \sum N_i \varphi_i (\alpha \cdot x_{ai})}{28} = \frac{0,413 \times 3261}{2 \times 2,50} = 268,9 \text{ kPa}$$

$$T_a = 0$$

Observație: Forțele  $X_3$  și  $X_4$  acționând departe de secțiunile de calcul a și 2, efectul lor se neglijează.

Tabelul 3.4.

Forța $N_1$	Valoarea forței [kN]	$\alpha \cdot x_{ai}$	$\alpha \cdot x_{bi}$	$\varphi_3(\alpha \cdot x_{ai})$	$\varphi_4(\alpha \cdot x_{ai})$	$\varphi_3(\alpha \cdot x_{bi})$	$\varphi_4(\alpha \cdot x_{bi})$	$N_1 \varphi_3(\alpha \cdot x_{ai})$	$N_1 \varphi_4(\alpha \cdot x_{ai})$	$N_1 \varphi_3(\alpha \cdot x_{bi})$	$N_1 \varphi_4(\alpha \cdot x_{bi})$
$N_1$	2000	0,619	4,331	0,1273	0,4391	0,0073	-0,0049	254,6	878,2	14,6	-9,8
$N_2$	1000	2,475	2,475	-0,1182	-0,0661	-0,1182	-0,0661	-118,2	-66,1	-118,2	-66,1
$N_3$	1500	4,331	0,619	-0,0073	-0,0049	-0,1273	0,4391	10,95	-7,35	190,95	658,65
								$\Sigma$ 147,35	804,75	87,35	582,75

Aplicând relațiile 3.27, 3.28, 3.29 și 3.30, forțele fictive  $X_1, X_2, X_3, X_4$  sunt:

$$X_1 = \frac{147,35}{0,207} = 711,8 \text{ kN}; \quad X_2 = \frac{804,75}{0,323} = 2491,5 \text{ kN}; \quad X_3 = \frac{87,35}{0,207} = 421,98 \text{ kN}; \quad X_4 = \frac{582,75}{0,323} = 1804,18 \text{ kN};$$

Tabelul 3.5.

Forța [kN]	$\alpha \cdot x_{ai}$	$\varphi_1(\alpha \cdot x_{ai})$	$\Sigma N_1 \varphi_1(\alpha \cdot x_{ai})$
$X_1 = 711,8$	1,57	0,2886	148,48
$X_2 = 2491,5$	0,758	0,6624	1650,37
$N_1 = 2000$	0,619	0,7508	1501,6
$N_2 = 1000$	2,475	-0,0138	-13,8
$N_3 = 1500$	4,331	-0,0171	-25,65
		$\Sigma$	3261

Notă: Notația  $N_1$  din ultima coloană se referă la toate forțele.

### Secțiunea 2 (tab.3.6)

Tabelul 3.6.

Forța [kN]	$\alpha \cdot x_{ai}$	$\varphi_1(\alpha \cdot x_{2i})$	$\varphi_3(\alpha \cdot x_{2i})$	$\varphi_4(\alpha \cdot x_{2i})$	$N_1 \varphi_1(\alpha \cdot x_{2i})$	$N_1 \varphi_3(\alpha \cdot x_{2i})$	$N_1 \varphi_4(\alpha \cdot x_{2i})$
$X_1 = 711,3$	2,189	0,0265	-0,1562	-0,0648	18,862	-111,183	-46,124
$X_2 = 2491,5$	1,404	0,2830	-0,2013	0,0408	705,09	-501,538	101,653
$N_1 = 2000$	0,0	1	1	1; -1	2000	2000	2000; -2000
$N_2 = 1000$	1,856	0,1665	-0,1936	-0,0436	106,5	-193,6	43,6
$N_3 = 1500$	3,712	-0,0337	-0,0074	-0,0206	-50,55	-11,1	130,9
		$\Sigma$ 2779,902	1182,58	-1869,97			

$$p_2 = \frac{0,413}{2 \times 2,50} \times 2779,902 = 229,7 \text{ kPa}$$

$$M_2 = \frac{1}{4 \times 0,413} \times 1182,58 = 715,46 \text{ kNm}$$

$$T_2 = \begin{cases} -0,5 \times (-1869,97) = 934,985 \text{ kN (în stânga secțiunii)} \\ -0,5 \times 2130,029 = -1065,014 \text{ kN (în dreapta secțiunii)} \end{cases}$$

**Observație:** La determinarea forței tăietoare în stânga secțiunii de calcul, forța  $N_1$  se consideră că acționează în dreapta secțiunii, iar pentru determinarea forței tăietoare dreapta, forța  $N_1$  se consideră că acționează în stânga secțiunii.

Secțiunea 5 (tab.3.7)

$\alpha \cdot x_{51}$ [m]	$\alpha \cdot x_{51}$	$\varphi_1(\alpha \cdot x_{51})$	$\varphi_2(\alpha \cdot x_{51})$	$\varphi_3(\alpha \cdot x_{51})$	$N_1 \varphi_1(\alpha \cdot x_{51})$	$N_1 \varphi_2(\alpha \cdot x_{51})$	$N_1 \varphi_3(\alpha \cdot x_{51})$
$X_1 = 711,8$	3,148	-0,0431	-0,0423	-0,0429	-30,68	-30,47	-30,54
$X_2 = 2491,5$	2,363	-0,0006	-0,1332	-0,0669	-1,49	-331,87	-166,68
$N_1 = 2000$	0,959	0,5341	-0,0842	0,2209	1068,2	-168,4	441,8
$N_2 = 1000$	0,897	0,5731	-0,0109	0,2545	573,1	-10,9	-254,5
$N_3 = 1500$	2,753	-0,0346	-0,0832	-0,0589	-51,9	-124,8	88,35
$X_3 = 1804,18$	4,157	-0,0216	0,0047	-0,0083	-38,97	8,48	14,97
$\Sigma$					1518,26	-657,96	93,4

Notă: Efectul forței fictive  $X_4$  s-a neglijat.

$$p_5 = \frac{0,413}{2 \times 2,5} \times 1518,26 = 125,48 \text{ kPa}$$

$$M_5 = \frac{1}{4 \times 0,413} \cdot (-657,96) = -398,07 \text{ kNm}$$

$$T_5 = -\frac{1}{2} (93,4) = -46,7 \text{ kN}$$

Valorile presiunilor ( $p$ ), momentelor încovoietoare ( $M$ ) și ale forțelor tăietoare ( $T$ ), din toate secțiunile de divizare a grinzii, sunt prezentate în fig.3.25.

Tasările corespunzătoare secțiunilor 2, 8 și 14 (sub cei trei stâlpi) sunt:

$$z_2 = \frac{p_2}{K_s} = \frac{2,297}{10} = 0,229 \text{ cm}$$

$$z_8 = \frac{p_8}{K_s} = \frac{0,9607}{10} = 0,096 \text{ cm}$$

$$z_{14} = \frac{p_{14}}{K_s} = \frac{1,716}{10} = 0,171 \text{ cm}$$

Analizând diagramele de variație a presiunii și momentului încovoietor în lungul grinzii, precum și valoarea tasărilor în secțiunile din dreptul axelor stâlpilor, se poate observa efectul de conlucrare a grinzii cu terenul. Grinda se comportă asemănător unei grinzi continue cu reazeme tasabile, reazemele fiind cei trei stâlpi.

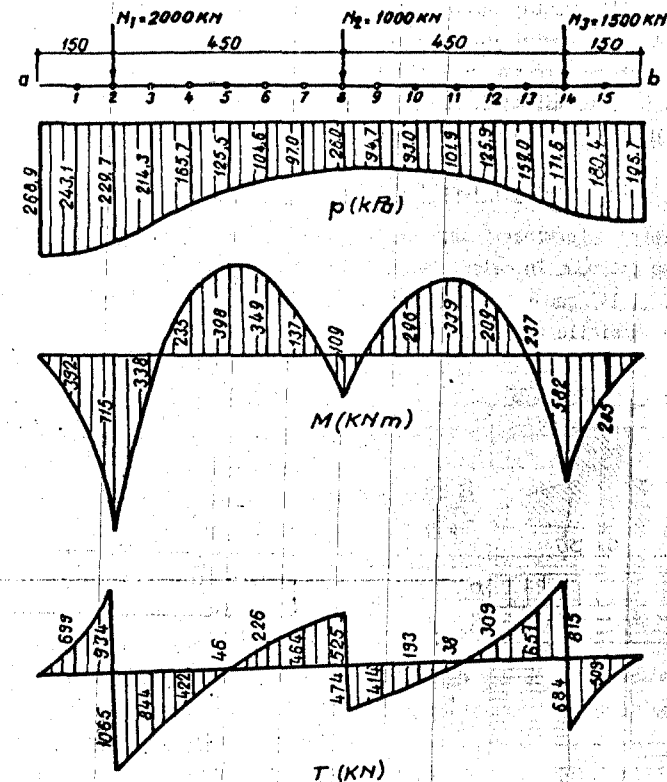


Fig. 3.25.

Considerând sensul tasărilor de jos în sus, adică în sensul de acțiune al încărcării grinzii cu presiunea reactivă a terenului și luând ca reper linia 2-14 (fig.3.26), reazemul din mijloc (secțiunea 8) are o tasare suplimentară:

$$\Delta z = \frac{z_2 + z_{14}}{2} - z_8 = \frac{0,229 + 0,171}{2} - 0,096 = 0,104 \text{ cm}$$

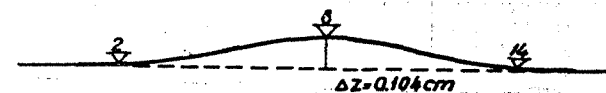


Fig. 3.26.

Datorită acestui lucru, momentul pozitiv și reacțiunea în secțiunea 8 (din dreptul reazemului intermediar) sunt mai mici decât în cazul grinzii continue cu reazeme fixe sau egal tasate. În cazul când diferența între  $N_2$  și  $N_1$ , respectiv  $N_2$  este mai mare, momentul pe reazemul din mijloc (secțiunea 8) poate să devină nul sau chiar negativ.

#### Calculul armăturii longitudinale din grinda de fundație

Pentru determinarea secțiunii de armătură pe reazeme, (în dreptul stălpilor), se introduc în calcul valorile momentelor din axul stălpilor (secțiunile 2, 8 și 14) reduse cu 0,85 întrucât sunt mai mari decât valorile momentelor de la marginile reazemelor.

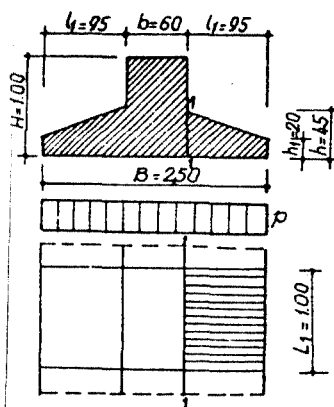


Fig. 3.27.

valorile acestei presiuni diferă mult între ele de la o secțiune la alta. Datorită acestui fapt s-ar impune ca dimensionarea armăturii transversale să se facă pe porțiuni de grindă.

Tabelul 3.8.

Sec.	Solicitări de calcul		Armătura necesară din calcul		Armarea efectuată	
	M [kNm]	T [kN]	A <sub>a</sub> [cm <sup>2</sup> ]	A <sub>i</sub> [cm <sup>2</sup> ]	A <sub>a</sub> [cm <sup>2</sup> ]	A <sub>i</sub> [cm <sup>2</sup> ]
0	1	2	3	4	5	6
1.	392	699	19,54	6,05	25,14	12,56
					8Ø20	4Ø20
2	715	-	31,90	-	31,41	
					10Ø20	

0	1	2	3	4	5	6
3.	338	844		15,93	18,84	18,84
					6Ø20	6Ø20
5.	398	46	19,54		20,60	
					4Ø16+4Ø20	
7.	137	164	4,69		22,74	12,56
					4Ø18+4Ø20	4Ø20
8.	109	-			25,14	
					8Ø20	
9.	1	414			25,14	10,18
					8Ø20	4Ø18
11.	339	38	16,40		18,22	
					4Ø16+4Ø18	
13.	231	651			12,56	10,18
					4Ø20	4Ø18
14.	582	-	20,04		22,74	
					4Ø18+4Ø20	
15.	282	509			17,65	10,18
					2Ø18+4Ø20	4Ø18

Având în vedere obținerea unei simplități la execuție și făcând un calcul mai acoperitor grinda de fundație se va împărți doar în două porțiuni după cum urmează:

- porțiunea stângă (între secțiunile a și 8) pentru care se va lua drept încărcare, media presiunilor din secțiunile "a" și "1" adică:

$$p_{med1} = \frac{268,9 + 243,11}{2} = 256 \text{ kPa}$$

$$M_{1-1} = p_{med1} \cdot \frac{l_1 \cdot l_1^2}{2} = 256 \cdot \frac{1,00 \times 0,85^2}{2} = 115,5 \text{ kN.m}$$

$$A_a = \frac{M_{1-1}}{0,875 \cdot h_o \cdot R_a} = \frac{1155000}{0,875 \cdot 41 \cdot 2100} = 15,78 \text{ cm}^2$$

$$h_o = h_1 - a - \frac{d}{2} = 45 - 3,5 - \frac{1,0}{2} = 41 \text{ cm}$$

Verificarea procentului de armare:

$$\rho \% = \frac{A_a}{b \cdot h_o} \cdot 100 = \frac{15,78}{100 \times 41} \times 100 = 0,385 \% > \rho_{min} \% = 0,05 \%$$

Se aleg bare Ø 16 care se dispun la 12,5 cm cu aria efectivă de  $16,08 \frac{\text{cm}^2}{\text{m}}$ .

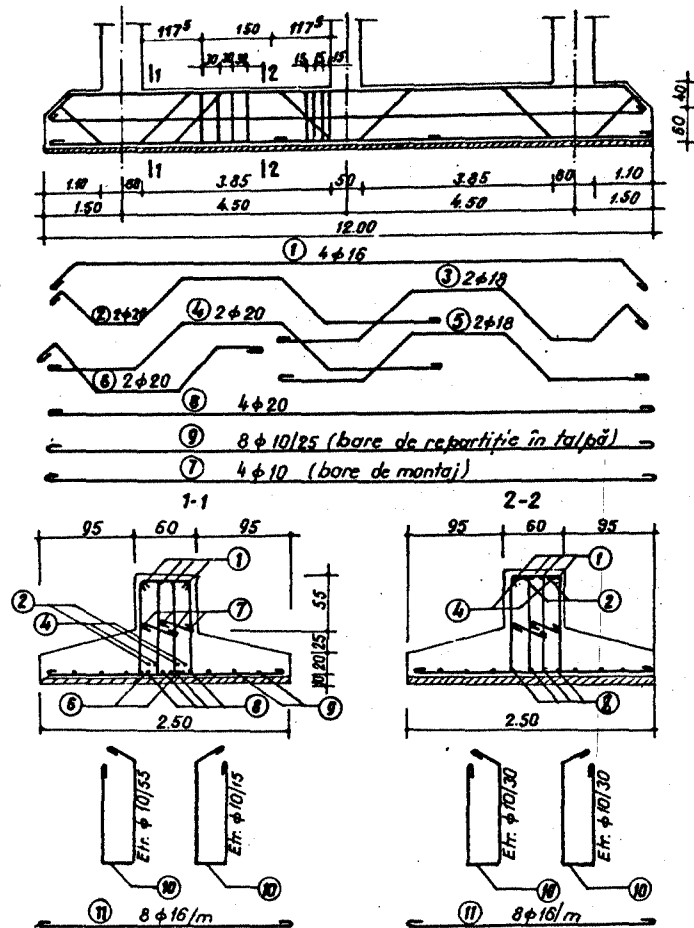


Fig. 3.28.

- porțiunea din dreapta (între secțiunea 8 și b) pentru care se va lua drept încărcare media presiunilor din secțiunea "15" și "b", adică:

$$p_{med,2} = \frac{180,39 + 196,7}{2} = 188,5 \text{ kPa}$$

$$M_{1-1} = p_{med,2} \cdot \frac{L_1 \cdot l_1^2}{2} = 188,5 \cdot \frac{1,00 \times 0,85^2}{2} = 85,1 \text{ kN.m}$$

$$A_a = \frac{M_{2-2}}{0,875 h_0 \cdot R_a} = \frac{851000}{0,875 \cdot 41 \cdot 2100} = 11,64 \text{ cm}^2$$

Verificarea procentului de armare:

$$\rho \% = \frac{A_a}{b \cdot h_0} \cdot 100 = \frac{11,64}{100 \times 41} \times 100 = 0,284 \% > \rho \%_{min} = 0,05 \%$$

Se aleg bare  $\phi 16$  care se dispun la 16,5 cm cu aria efectivă de 12,06 cm<sup>2</sup>/m.

#### Verificarea presiunii efective maxime pe teren

Adâncimea de fundare față de nivelul pardoselii fiind la 1,40 m și considerând pentru greutatea volumică a umpluturii de pământ și a betonului o valoare medie  $\gamma_{med} = 20 \text{ kN/m}^3$ , presiunea pe teren dată de greutatea proprie a grinzii de fundație și a umpluturii va fi:

$$p_g = \gamma_{med} \cdot D_f = 20 \times 1,4 = 28,0 \times 1,2 = 33,6 \text{ kPa}$$

Presiunea maximă efectivă pe teren este:

$$p_{max} = 268,9 + 33,6 = 302,5 \text{ kN/m}^2 \approx p_{conv} = 300 \text{ kPa}$$

#### 3.2.3. Metoda de calcul Ohde-Jemocikin

În calculul tălpilor continue pe mediu deformabil, după această metodă, se folosește teoria spațiului sau planului semiinfinit elastic [5] evitându-se unele deficiențe de natură fizică ale metodei Winkler.

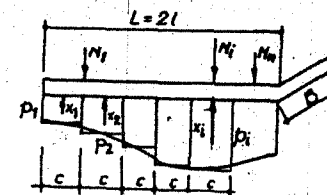


Fig. 3.29.

Grinda de lungime  $L=2l$  (fig.3.29) se împarte într-un număr n de câmpuri egale cu lungimea  $c = \frac{2l}{n}$  și lățimea b.

Curba de repartizare a presiunii sub grindă  $p_x$ , se înlocuiește cu o diagramă în trepte, considerând că pe intervalele de lungime c, presiunea este uniform repartizată. Înlocuind presiunile uniform

repartizate pe aceste intervale, cu rezultantele lor de mărime  $X_1 = p_1 \cdot b$ , grinda de fundație se poate considera ca o grindă continuă pe un număr  $n$  de reazeme deformabile:  $X_1, X_2, \dots, X_n$  (fig. 3.30).

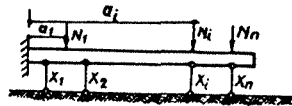


Fig. 3.30.

printr-o rotire  $\varphi_0$  și o deplasare verticală  $z_0$ .

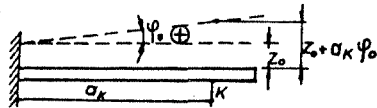


Fig. 3.31.

Pentru a putea aplica metoda forțelor la calcul static, grinda se consideră încastrată la unul din capete (fig. 3.31).

Încăstrarea grinzii se poate realiza printr-o rotire  $\varphi_0$  și o deplasare verticală  $z_0$ .

Sistemul de ecuații canonice, care exprimă condițiile de anulare a deplasărilor totale în punctele de aplicație a forțelor  $X_1, \dots, X_n$ , se poate scrie astfel:

$$\begin{aligned} X_1 \delta_{11} + X_2 \delta_{12} + X_3 \delta_{13} + \dots + X_n \delta_{1n} + \Delta_{1p} + z_0 + a_1 \varphi_0 &= 0 \\ X_1 \delta_{21} + X_2 \delta_{22} + X_3 \delta_{23} + \dots + X_n \delta_{2n} + \Delta_{2p} + z_0 + a_2 \varphi_0 &= 0 \\ X_1 \delta_{n1} + X_2 \delta_{n2} + X_3 \delta_{n3} + \dots + X_n \delta_{nn} + \Delta_{np} + z_0 + a_n \varphi_0 &= 0 \end{aligned} \quad (3.31)$$

La acest sistem de ecuații cu  $n$  necunoscute se mai adaugă ecuațiile de echilibru static:

$$\begin{aligned} X_1 + X_2 + X_3 + \dots + X_n &= \sum N_i \\ X_1 a_1 + X_2 a_2 + X_3 a_3 + \dots + X_n a_n &= \sum M_i \end{aligned} \quad (3.32)$$

Din sistemul de  $n+2$  ecuații se determină valoarea celor  $n+2$  necunoscute (forțele  $X_1, \dots, X_n$ , deplasarea  $z_0$  și rotirea  $\varphi_0$ ).

Coeficienții  $\delta_{ki}$ , reprezintă deplasarea reazemului din punctul  $k$  în urma acțiunii reacțiunii unitare  $X_i$  din punctul  $i$ . Acești coeficienți se compun din deplasarea datorită încovoierii grinzii ( $v_{ki}$ ) și deplasarea datorită tasării mediului elastic ( $z_{ki}$ ), adică:

$$\delta_{ki} = v_{ki} + z_{ki} \quad (3.33)$$

Deplasarea  $v_{ki}$ , datorită încovoierii grinzii este dată de relația:

$$v_{ki} = \frac{c^3}{6 \cdot E_b \cdot I} \cdot w_{ki} \quad (3.34)$$

unde:  $c$  - lungimea porțiunilor în care se divizează grinda pentru calcul;  
 $E_b$  - modulul de elasticitate a betonului;  
 $I$  - momentul de inerție al secțiunii grinzii.

Pentru cazul deformăției plane sau pentru calculul plăcilor, relația 3.34 se scrie sub forma:

$$v_{ki} = \frac{c^3}{6 \cdot E_b \cdot I} \cdot w_{ki} \quad (3.34')$$

unde:

$$D = \frac{h^3}{12(1-\gamma^2)} \cdot E_b - \text{rigiditatea cilindrică}$$

în care:  $h$  - înălțimea grinzii sau a plăcii;

$\gamma_b$  - coeficientul lui Poisson pentru materialul grinzii sau a plăcii.

Deplasarea  $z_{ki}$ , datorită tasării mediului elastic, se poate calcula cu relațiile:

- pentru problema plană de deformății:

$$z_{ki} = \frac{1-\gamma^2}{\pi \cdot E} \cdot (F_{ki} + C) \quad (3.35)$$

- pentru problema spațială:

$$z_{ki} = \frac{1-\gamma^2}{\pi \cdot E \cdot c} \cdot F'_{ki} \quad (3.36)$$

unde:  $E$  - modulul de deformăție liniară a terenului;

$\gamma$  - coeficientul lui Poisson pentru teren;

$C$  - constanta arbitrară, care în calculul deformațiilor relative nu se ia în considerație.

Pentru problema spațială înlocuind expresiile deplasărilor  $v_{ki}$  și  $z_{ki}$  în relația 3.33, după unele transformări aceasta se poate scrie sub forma:

$$\delta_{ki} = \frac{c^3}{6 \cdot E_b \cdot I} \cdot w_{ki} + \frac{1-\gamma^2}{\pi \cdot E \cdot c} \cdot F'_{ki} = \frac{1-\gamma^2}{\pi \cdot E \cdot c} \cdot (\alpha \cdot w_{ki} + F'_{ki}) \quad (3.37)$$

unde:

$$\alpha = \frac{\pi \cdot E \cdot c^4}{6 \cdot E_b \cdot I(1-\gamma^2)} \quad (3.38)$$

Coeficientul  $w_{ki}$  poate fi calculat cu formula:

$$w_{ki} = \left(\frac{a_k}{c}\right)^2 \cdot \left(3 \cdot \frac{a_i}{c} - \frac{a_k}{c}\right) \quad (3.39)$$

în care:  $a_k$  - distanța de la încastrarea convențională a grinzii până la secțiunea de calcul a săgeții ( $k$ );

$a_i$  - distanța de la încastrarea convențională a grinzii până în secțiunea de aplicare a reacțiunii unitare  $X_i$  ( $i$ ).

Având în vedere că rapoartele  $a_k/c$ , respectiv  $a_i/c$ , sunt multipli de 0,5 sau 1, valoarea  $w_{ki}$  se calculează ușor.

În tabelul 3.9 se dau valorile tasării unitare  $F_{ki}$  și a constantei arbitrară  $C$  pentru cazul problemei plane, iar în tabelul 3.10 valorile lui  $F'_{ki}$  pentru cazul problemei spațiale.

Tabelul 3.9.

$\frac{x}{c}$	$F_{ki}$	$C$	$\frac{x}{c}$	$F_{ki}$	$C$
0,0	-	-	5,5	-6,79290	6,79577
0,5	-	2,00000	6,0	-6,96746	6,96980
1,0	-3,29583	3,38629	6,5	-7,12802	7,12988
1,5	-4,15658	4,19721	7,0	-7,27647	7,27812
2,0	-4,75136	4,77258	7,5	-7,41455	7,41609
2,5	-5,20536	5,21887	8,0	-7,54396	7,54517
3,0	-5,57421	5,58351	8,5	-7,66517	7,66643
3,5	-5,88499	5,89182	9,0	-7,77951	7,78033
4,0	-6,15357	6,15888	9,5	-7,88806	7,88886
4,5	-6,39032	6,39443	10,0	-7,99082	7,99146
5,0	-6,60181	6,60517	10,5	-8,08815	8,08904

Tabelul 3.10.

$\frac{x}{c}$	$\frac{c}{x}$	$F'_{ki}$					
		$\frac{b}{c} = \frac{2}{3}$	$\frac{b}{c} = 1$	$\frac{b}{c} = 2$	$\frac{b}{c} = 3$	$\frac{b}{c} = 4$	$\frac{b}{c} = 5$
0	-	4,265	3,525	2,406	1,867	1,542	1,322
1	1,000	1,069	1,038	0,929	0,829	0,746	0,678
2	0,500	0,508	0,505	0,490	0,469	0,446	0,424
3	0,333	0,336	0,335	0,330	0,323	0,315	0,305
4	0,250	0,251	0,251	0,249	0,246	0,242	0,237
5	0,200	0,200	0,200	0,199	0,197	0,196	0,193
6	0,167	0,167	0,167	0,166	0,165	0,164	0,163
7	0,143	0,143	0,143	0,143	0,142	0,141	0,140
8	0,125	0,125	0,125	0,124	0,124	0,124	0,123
9	0,111	0,111	0,111	0,111	0,111	0,111	0,110
10	0,100	0,100	0,100	0,100	0,100	0,100	0,099
11	0,091			0,091			
12	0,083			0,083			
13	0,077			0,077			
14	0,071			0,071			
15	0,067			0,067			
16	0,063			0,063			
17	0,059			0,059			
18	0,056			0,056			
19	0,053			0,053			
20	0,050			0,050			

În rezolvare se pot face o serie de simplificări pentru ușurarea calculului numeric și pentru evitarea erorilor de calcul. În acest sens, alegerea sistemului static determinat, de bază, trebuie adaptat la sistemul de încărcare, în vederea obținerii unei scheme de calcul cât mai potrivite.

În cazul forțelor și dimensiunilor simetrice rotația  $\varphi_0$  este nulă, iar pentru forțele antisimetrice deplasarea  $z_0$  este de asemenea nulă. În ambele cazuri calculele se vor face numai pentru jumătate de grindă, adică secțiunea de încadrare se consideră la mijlocul grinzii.

La aplicarea acestei metode pentru calculul grinzii pe mediu elastic se mai pot menționa următoarele:

- spre margine valorile  $X_i$  cresc foarte repede, ceea ce influențează solicitările într-o măsură foarte mare;
- în sistemul de ecuații canonice toți termenii sunt de fapt înmulțiți cu un coeficient  $\beta$ , care în cazul problemei plane este  $\beta = \frac{\pi E}{\sqrt{12}}$ , iar în cazul problemei spațiale,  $\beta = \frac{\pi E c}{\sqrt{12}}$ , ca atare, pentru determinarea valorilor reale ale lui  $z_0$  și  $\varphi_0$ , mărimile acestora rezultate din rezolvarea sistemului de ecuații trebuie împărțite cu acești factori ( $\beta$ ).

Întrucât precizia calculului în metoda Jemocikin este funcție directă de mărimea pasului "c" de divizare a lungimii grinzii și deci de numărul necunoscutelor din sistemul de ecuații de condiții și de echilibru static (expresiile 3.31 și 3.32), metoda își găsește astăzi interesul practic în condițiile automatizării calculului.

Schema bloc pentru rezolvarea pe calculator a unei grinzii de lungime dată și încărcată cu forțe concentrate cunoscute, este redată în fig.3.32.

### Exemplul 3.3.

Să se determine prin metoda Jemocikin, utilizând calculatorul, diagrama presiunilor, a momentelor încovoietoare și a forțelor tăietoare pentru grinda de fundație din fig.3.33, cunoscând că terenul și materialul din care este făcută grinda au următoarele caracteristici:  $E = 230 \text{ daN/cm}^2$ ,  $\gamma = 0,3$ ,  $E_b = 160000 \text{ daN/cm}^2$ ,  $I = 0,09 \text{ m}^4$ .

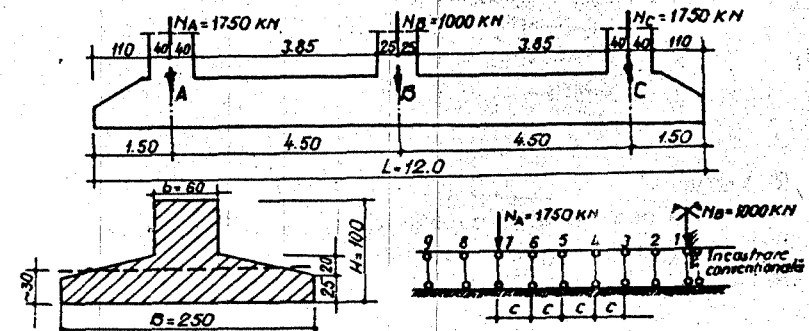


Fig. 3.33.



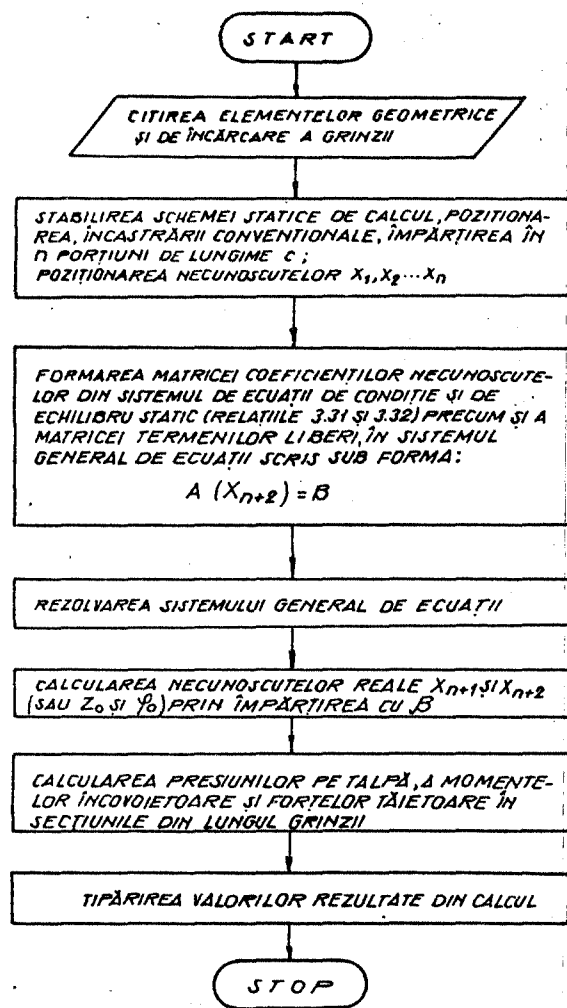


Fig. 3.32.

#### Observație

Coefficienții necunoscutelor, din sistemul de ecuații, pot fi generați prin calcul automat, utilizând expresiile analitice ale deformațiilor  $w_{ki}$  și  $F'_{ki}$  prezentate în literatura de specialitate [5], la fel și termenii liberi.

În baza datelor rezultate din calculul automat s-au trasat diagramele de variație a presiunii, forței tăietoare și a momentului încovoietor în lungul grinzii (fig. 3.34).

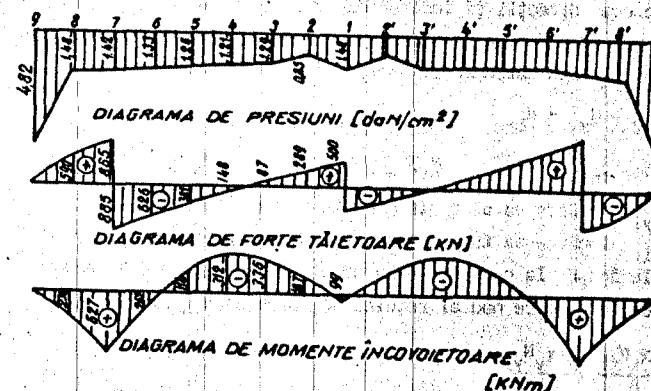


Fig. 3.34.

### 3.3. Fundații pe rețele de grinzi

La unele construcții (în special la cele cu schelet de rezistență din cadre multietajate), când încărcările sunt mari, iar terenul de fundație este relativ slab, aplicarea soluției de fundare cu grinzi continue numai după o direcție, poate conduce la lățimi mari pentru talpa acestor grinzi. În acest caz, sistemul de fundații indicat îl constituie fundațiile pe rețele de grinzi dispuse după două direcții, de regulă ortogonal (fig. 3.35).

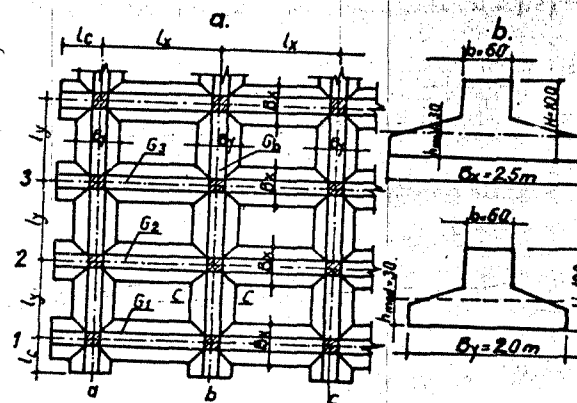


Fig. 3.35.

Acest sistem de fundații se utilizează și atunci când se cere o rigiditate a bazei construcției în ambele direcții, pentru a preveni producerea tasărilor neuniforme.

Calculul static și de dimensionare al acestor fundații se face descompunând sistemul de grinzi continue încrucișate, în grinzi continue separate după cele două direcții și încărcându-le pe fiecare cu partea aferentă din sarcina totală transmisă de stâlpi în nodurile rețelei de grinzi încrucișate.

Într-un nod oarecare i, va fi satisfăcută relația:

$$N_{xi} + N_{yi} = N_i \quad (3.40)$$

unde:

$N_{xi}$  - încărcarea aferentă grinzii orientată după direcția x;

$N_{yi}$  - încărcarea aferentă grinzii orientată după direcția y;

$N_i$  - încărcarea totală transmisă de stâlp în nodul i.

Plecând de la condițiile de continuitate, [6], care trebuie să fie îndeplinite, în fiecare nod al rețelei se poate ajunge la relația:

$$\frac{\alpha_x N_{xi}}{B_x} = \frac{\alpha_y N_{yi}}{B_y} \quad (3.41)$$

unde:

$B_x$  și  $B_y$  - lățimile tălpilor grinzilor orientate după direcțiile x, respectiv y;

$\alpha_x$  și  $\alpha_y$  - coeficienții de amortizare a grinzilor orientate după direcțiile x, respectiv y.

Rezolvând sistemul de ecuații, alcătuit din relațiile 3.40 și 3.41, rezultă pentru nodurile centrale ale rețelei, următoarele relații de calcul a forțelor  $N_{xi}$  și  $N_{yi}$ .

$$N_{xi} = N_i \cdot \frac{\mu}{1 + \mu} \quad (3.42)$$

$$N_{yi} = N_i \cdot \frac{1}{1 + \mu} \quad (3.43)$$

unde:

$$\mu = \frac{B_x \alpha_y}{B_y \alpha_x}$$

Pentru nodurile curente ale grinzilor marginale din direcția y (axa a), relațiile de calcul sunt:

$$N_{xi} = N_i \cdot \frac{\mu}{\mu + \gamma} \quad (3.44)$$

$$N_{yi} = N_i \cdot \frac{\gamma}{\mu + \gamma} \quad (3.45)$$

unde:  $\gamma$  este un coeficient care se obține din tabelul 3.11 în funcție de  $\alpha_x l_c$ ,  $l_c$  fiind lungimea consolei.

Pentru nodurile curente ale grinzilor marginale din direcția x (axa 1), relațiile de calcul sunt:

$$N_{xi} = N_i \cdot \frac{\mu \gamma}{\mu \gamma + 1} \quad (3.46)$$

$$N_{yi} = N_i \cdot \frac{1}{1 + \mu \gamma} \quad (3.47)$$

Valoarea coeficientului  $\gamma$  pentru acest caz (relațiile 3.46 și 3.47) se obțin tot din tabelul 3.11, însă de această dată funcție de  $\alpha_y l_c$ .

Pentru nodurile din colțurile rețelei, (din intersecția consolelor), relațiile de calcul sunt:

$$N_{xc} = N_i \cdot \frac{\gamma_1 \mu}{\gamma_2 + \gamma_1 \mu} \quad (3.48)$$

$$N_{yc} = N_i \cdot \frac{\gamma_2}{\gamma_2 + \gamma_1 \mu} \quad (3.49)$$

În care  $\gamma_1$  și  $\gamma_2$  sunt niște coeficienți dați în tabelul 3.12, în funcție de  $\alpha_x l_c$  respectiv  $\alpha_y l_c$ .

Tabelul 3.11

$\alpha_{x1c}$ sau $\alpha_{y1c}$		0,10	0,20	0,25	0,30	0,40
$\gamma$		3,28	2,68	2,45	2,24	1,89
$\alpha_{x1c}$ sau $\alpha_{y1c}$	0,50	0,60	0,70	0,80	0,90	1,00
$\gamma$	1,62	1,42	1,29	1,19	1,13	1,09

Tabelul 3.12.

$\alpha_x l_c$ sau $\alpha_y l_c$	0,30	0,40	0,50	0,60	0,70	0,80	0,90	1,00
$\gamma_1$ sau $\gamma_2$	3,36	2,24	2,04	1,72	1,52	1,37	1,28	1,22

Toate relațiile de calcul prezentate mai sus corespund cazului când distanțele dintre axele stâlpilor după cele două direcții diferă ca valoare, adică:  $\frac{l_x}{l_y} \neq 1$ .

În cazul când  $l_x = l_y$ , iar secțiunile transversale ale grinzilor dispuse după cele două direcții sunt identice, se observă că  $\alpha_x = \alpha_y$ , de unde rezultă că:  $\mu = 1$  și  $\gamma_1 = \gamma_2$ .

Având în vedere acest lucru relațiile de calcul a forțelor  $N_{xi}$  și  $N_{yi}$ , pentru cazul când  $l_x = l_y$ , se prezintă sub formă simplificată astfel:

- pentru nodurile centrale și din colțurile rețelei:

$$N_{xi} = \frac{N_1}{2} \quad (3.42') \quad N_{yi} = \frac{N_1}{2} \quad (3.43')$$

- pentru nodurile curente ale grinzii marginale din direcția y:

$$N_{xi} = N_1 \cdot \frac{1}{1+\gamma} \quad (3.44') \quad N_{yi} = N_1 \cdot \frac{\gamma}{1+\gamma} \quad (3.45')$$

- pentru nodurile curente ale grinzii marginale din direcția x:

$$N_{xi} = N_1 \cdot \frac{\gamma}{1+\gamma} \quad (3.46') \quad N_{yi} = N_1 \cdot \frac{1}{1+\gamma} \quad (3.47')$$

Dacă raportul  $\frac{l_x}{l_y}$  este mult mai mare decât 1, atunci toate încărcările aduse de stâlpi se consideră că sunt preluate și predate terenului de către grinzile din direcția y. Grinzile din direcția x se proiectează în mod constructiv cu secțiuni transversale mai mici, rolul lor fiind numai de rigidizare a sistemului de fundații.

#### Exemplul 3.4.

O construcție cu schelet de rezistență în cadre, transmite încărcările prin intermediul a patru șiruri de stâlpi. Distanța dintre axele stâlpilor în sens longitudinal (în direcția axei x) este  $l_x = 4,5$  m, iar în sens transversal (în direcția axei y) este  $l_y = 6,00$  m (fig. 3.35.a). Lungimea consolelor în ambele direcții este  $l_c = 2,0$  m.

Încărcarea transmisă de stâlpii centrali este de 3000 kN, iar de cei marginali de 2500 kN. Având în vedere că terenul de fundare este alcătuit dintr-un strat gros de argilă plastic-vârtoasă, deci cu posibilități de tasare, se prevede ca sistem de fundare, fundații grătar alcătuite din grinzii de beton armat încrucișate. Pentru coeficientul de tasare se adoptă valoarea  $K_s = 3 \text{ daN/cm}^3$ .

**Rezolvare:** Din predimensionare rezultă următoarele dimensiuni pentru secțiunile grinzilor (fig. 3.35.b):

- pentru grinzile din direcția x:

$$b_x = 2,50 \text{ m}; \quad b = 0,60 \text{ m}; \quad H = 1,0 \text{ m}; \quad h_{med} = 0,30 \text{ m}.$$

- pentru grinzile din direcția y:

$$b_y = 2,00 \text{ m}; \quad b = 0,60 \text{ m}; \quad H = 1,0 \text{ m}; \quad h_{med} = 0,30 \text{ m}.$$

Momentele de inerție ale secțiunilor grinzilor sunt:

$$I_x = \gamma_x \cdot \frac{b \cdot H^3}{12} \quad I_y = \gamma_y \cdot \frac{b \cdot h^3}{12}$$

Coeficienții  $\gamma_x$  și  $\gamma_y$  sunt:

$$\text{- pentru } \frac{b_x}{b} = \frac{250}{60} = 4,17 \text{ și } \frac{h_{med}}{H} = 0,30, \text{ rezultă: } \gamma_x = 1,80;$$

$$\text{- pentru } \frac{b_y}{b} = \frac{200}{60} = 3,3 \text{ și } \frac{h_{med}}{H} = 0,30, \text{ rezultă: } \gamma_y = 2,0.$$

$$I_x = 1,80 \times \frac{0,60 \times 1^3}{12} = 9 \times 10^6 \text{ cm}^4$$

$$I_y = 2,00 \times \frac{0,60 \times 1^3}{12} = 10 \times 10^6 \text{ cm}^4$$

Lungimile elastice ale grinzilor:

$$l_{ex} = \sqrt[4]{\frac{4 \cdot E \cdot I_x}{K_s \cdot b_x}} = \sqrt[4]{\frac{4 \times 1,9 \times 10^5 \times 9 \times 10^6}{3 \times 2,50 \times 10^2}} = 3,09 \text{ m}$$

$$l_{ey} = \sqrt[4]{\frac{4 \cdot E \cdot I_y}{K_s \cdot b_y}} = \sqrt[4]{\frac{4 \times 1,9 \times 10^5 \times 10^7}{3 \times 2,00 \times 10^2}} = 3,36 \text{ m}$$

$E = 190000 \text{ daN/cm}^2$  - modulul de elasticitate al betonului

Coeficienții de amortizare  $\alpha_x$  și  $\alpha_y$  sunt:

$$\alpha_x = \frac{1}{l_{ex}} = 0,323; \quad \alpha_y = \frac{1}{l_{ey}} = 0,297$$

Cu ajutorul acestor valori calculate se efectuează calculul de repartizare a sarcinii stâlpilor din fiecare nod al rețelei.

Nodurile centrale ( $b_2, b_3, c_2, c_3$ ):

$$\mu = \frac{2,50 \times 0,297}{2,00 \times 0,323} = 1,15$$

Conform relațiilor 3.42 și 3.43 rezultă:

$$N_{xi} = 3000 \times \frac{1,15}{1+1,15} = 1600 \text{ kN}$$

$$N_{yi} = 3000 \times \frac{1}{1+1,15} = 1400 \text{ kN}$$

Nodurile curente ale grinzilor marginale transversale ( $a_2, a_3$ ):

Pentru  $\alpha_x l_c = 0,323 \times 2,0 = 0,65$  din tabelul 3.11 se obține:  $\gamma = 1,35$ .

Conform relațiilor 3.44 și 3.45 rezultă:

$$N_{x1} = 2500 \times \frac{1,15}{1,15 + 1,35} = 1150 \text{ kN}$$

$$N_{y1} = 2500 \times \frac{1,35}{1,15 + 1,35} = 1350 \text{ kN}$$

Nodurile curente ale grinzilor marginale longitudinale ( $b_1, c_1$ ):

Pentru  $\alpha_{y1c} = 0,297 \times 2,0 = 0,60$ , se obține:  $\gamma_1 = 1,42$ .

Conform relațiilor 3.46 și 3.47 rezultă:

$$N_{x1} = 2500 \times \frac{1,15 \times 1,42}{1 + 1,15 \times 1,42} = 1550 \text{ kN}$$

$$N_{y1} = 2500 \times \frac{1}{1 + 1,15 \times 1,42} = 950 \text{ kN}$$

Nodurile din colțurile rețelei 1 ( $a_1$ ):

Pentru  $\alpha_{x1c} = 0,323 \times 2,00 = 0,65$  se obține:  $\gamma_1 = 1,62$ , iar pentru

$$\alpha_{y1c} = 0,293 \times 2,0 = 0,60, \gamma_2 = 1,72.$$

Conform relațiilor 3.48 și 3.49 rezultă:

$$N_{x1} = 2500 \times \frac{1,62 \times 1,15}{1,72 + 1,62 \times 1,15} = 1300 \text{ kN}$$

$$N_{y1} = 2500 \times \frac{1,72}{1,72 + 1,62 \times 1,15} = 1200 \text{ kN}$$

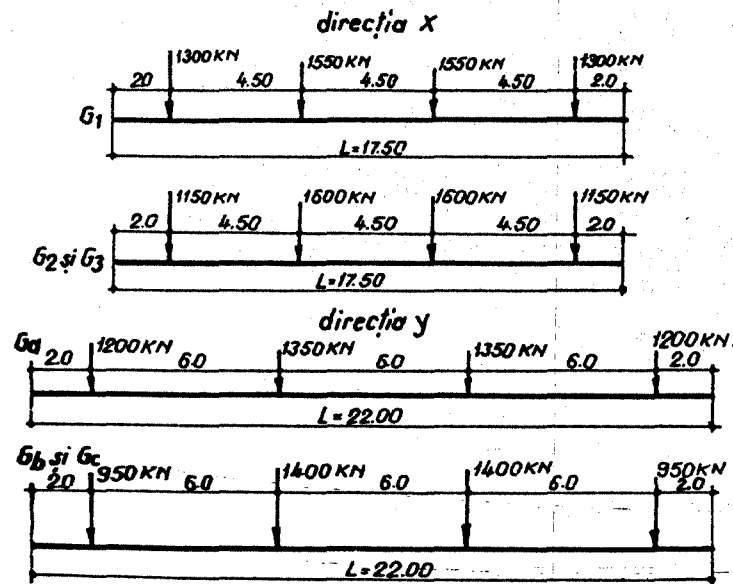


Fig. 3.36.

Având calculate pentru toate nodurile rețelei, valorile forțelor care revin grinzilor din direcția  $x(N_{x1})$ , respectiv a celor care revin grinzilor

din direcția  $y(N_{y1})$ , prin separarea grinzilor și încărcarea lor cu forțele aferente se obțin schemele statice de încărcare prezentate în fig.3.36.

În continuare calculul static (determinarea diagramelor de momente încovoietoare, forțele tăietoare și presiuni efective) și de dimensionare, (determinarea cantității de armătură) se face aplicând una din metodele de calcul a fundațiilor continue sub stâlpi (grinzi elastice pe mediu elastic).

## CAPITOLUL 4

### 4. FUNDAȚII CONTINUE SUB PEREȚI

Fundațiile continue sub pereți se pot executa sub formă de:

- fundații continue din beton simplu;
- fundații continue din beton armat;
- fundații continue cu descărcări pe reazeme izolate.

#### 4.1. Fundații continue din beton simplu

Fundațiile continue din beton simplu sunt cel mai frecvent folosite pentru pereți din zidărie de cărămidă, b.c.a. etc. Secțiunea transversală a acestor fundații poate fi dreptunghiulară (fig.4.1.a) sau în trepte (fig. 4.1. b și c).

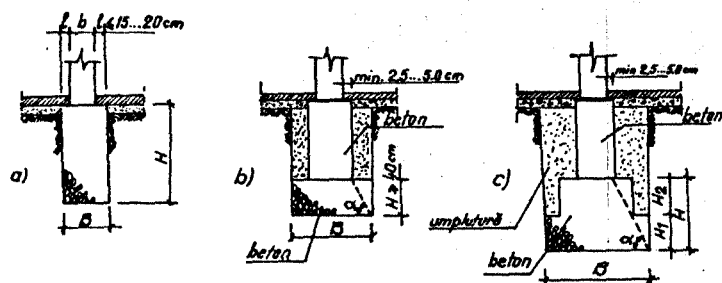


Fig. 4.1.

Fundațiile cu secțiunea dreptunghiulară se recomandă a se utiliza când talpa fundației rezultă mai lată decât perețele sau soclul de deasupra cu cel mult 15...20 cm de fiecare parte. La lățimi ce depășesc valorile menționate anterior se recomandă fundații în trepte.

Lățimea minimă a tălpii fundației, notată cu  $B$ , este dependentă de lățimea zidăriei, fiind mai mare cu minim 2,5 cm de fiecare parte a zidului, și de lățimea minimă necesară pentru executarea săpăturilor în șanț continuu, conform tabelului 4.1.

Înălțimea tălpii fundației din beton simplu va fi de minimum 40 cm.

La fundațiile în trepte, înălțimea primei trepte va fi cel puțin 40 cm și cel puțin 35 cm la următoarele trepte.

Raportul dintre înălțimea și lățimea treptelor ( $\tan \alpha$ ) trebuie să fie egal sau să depășească valorile din tabelul 2.2.

Tabelul 4.1.

Adâncimea săpăturii $h$ [m]	Lățimea minimă [m]
$h \leq 0,40$	0,30
$0,40 < h \leq 0,70$	0,40
$0,70 < h \leq 1,70$	0,45
$h > 1,10$	0,50

La clădiri cu subsol, fundațiile continue sub pereții exteriori și interiori se execută de regulă cu secțiune dreptunghiulară, având înălțimea minimă de 40 cm.

La pereții exteriori ai subsolului, pentru susținerea protecției izolației hidrofuge verticale, talpa fundației se execută mai lată spre exterior cu 10...15 cm.

Betonul utilizat la executarea fundațiilor se alege conform tabelului

1.1.

#### 4.1.1. Stabilirea dimensiunilor fundației

Dimensionarea fundațiilor continue din beton simplu sub pereții portanți de zidărie se reduce la determinarea lățimii tălpii fundației considerând în calcul un tronson de lungime unitară și la determinarea înălțimii acesteia.

Lățimea tălpii fundației  $B$ , se determină punând condiția (1.2) ca presiunea de sub talpa fundației să nu depășească valoarea maximă a presiunii acceptată în calculul pentru terenul de fundare, precum și a condiției (1.3) de limitare a tasării, dacă este cazul.

Frecvent, fundațiile continue sub pereți (fig.4.2) sunt solicitate la compresiune centrică, ele fiind dezvoltate simetric față de perețele din zidărie, care transmite, de regulă, forță axială liniar distribuită  $Q$ .

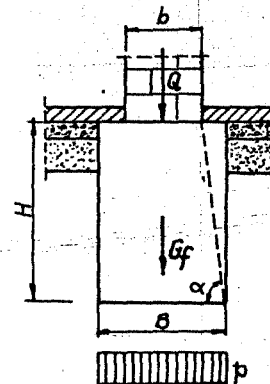


Fig. 4.2.

Presiunea de sub talpa fundației, corespunzătoare încărcărilor de calcul, conform relației generale (1.2) trebuie să îndeplinească condiția:

$$p = \frac{Q + G_f}{B \times 1,0} \leq p_{tr} \quad (4.1)$$

în care:

$Q$  - încărcarea de calcul dată de 1 m liniar de perețe asupra fundației, în kN/m;

$G_f$  - greutatea proprie de calcul a unui metru liniar din fundație (inclusiv a umpluturii de pământ la fundațiile în trepte), în kN/m;

$p_{tr}$  - presiunea maximă acceptată în calcul pe terenul de fundare, în kPa.

În cazul în care calculul terenului de fundare se face pe baza presiunilor convenționale, relația 4.1 devine:

$$p = \frac{Q + G_f}{B \times 1,0} \leq p_{conv} \quad (4.1.a)$$

Greutatea proprie a fundației fiind dependentă de dimensiunile acesteia, deci necunoscută ca și lățimea  $B$ , se procedează pentru început la aproximarea ei:  $G_f \approx 0,1 \cdot Q$ .

Înlocuind valoarea aproximativă a lui  $G_f$  în relația (4.1.a) și explicând lățimea  $B$ , rezultă:

$$B_{nec} = \frac{1,1 \cdot Q}{p_{conv}} \quad (4.2)$$

Lățimea rezultată se rotunjește la multiplu de 5 cm.

Înălțimea fundației  $H$  se determină din condiția:

$$\tan \alpha = \frac{H}{l} \geq \min(\tan \alpha), \quad (4.3)$$

în care:  $l = \frac{B-b}{2}$  ( $b$  fiind lățimea peretelui), iar valorile minime ale  $\tan \alpha$  sunt date în tabelul 2.2. În funcție de clasa betonului din fundație și presiunea maximă pe teren.

Fiind determinate dimensiunile geometrice ale secțiunii transversale a fundației,  $B$  și  $H$  se calculează greutatea  $G_f$  (inclusiv umplutura de pământ la fundațiile în trepte) și se verifică presiunea de sub talpa fundației cu relația 4.1 sau 4.1.a.

Sunt situații în care fundațiile continue sub pereți sunt solicitate la compresiune excentrică. Este cazul fundațiilor dezvoltate nesimetric față de perete și a fundațiilor pentru pereții de subsoluri asupra cărora acționează și împingerea pământului. Presiunea pe teren se calculează cu relația:

$$p_{1,2} = \frac{N}{B \times 1,0} \cdot \left(1 \pm \frac{6 \cdot e}{B}\right) \quad (4.4)$$

unde:

$N$  - rezultanta tuturor încărcărilor verticale de calcul care acționează asupra fundației;

$B$  - lățimea tălpii fundației;

$e = \frac{M}{N}$  - excentricitatea;

$M$  - momentul tuturor forțelor față de mijlocul tălpii fundației.

Condițiile de verificare ale presiunii pe teren sunt:

$$p_1 = p_{max} \leq p_{tr}$$

$$p_2 = p_{min} \geq 0$$

La calculul terenului de fundare pe baza presiunilor convenționale, verificarea presiunii maxime se face în conformitate cu condiția (1.5):

$$p_{max} \leq 1,2 \cdot p_{conv}$$

Fundații dezvoltate nesimetric față de axa pereților sunt cele din dreptul rosturilor de tasare și cele de lângă zidurile calcan ale altor construcții (fig.4.3).

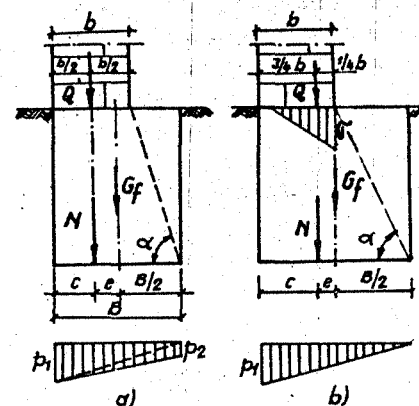


Fig. 4.3.

Când lățimea maximă din relația (4.5) nu este suficientă, rezultând  $p_1 > p_{tr}$ , prescripțiile de proiectare recomandă să se țină seama de efectul favorabil al deformării terenului și a tălpii fundației, admitând că sub efectul acestor deformări forța  $Q$  (respectiv  $N$ ) se deplasează spre axul fundației, acționând la  $\frac{b}{4}$  față de marginea interioară a peretelui (fig.4.3.b).

În acest caz rezultă:

$$B_{max} = 3 \cdot c = 3 \cdot \frac{3}{4} \cdot b = 2,25 \cdot b \quad (4.6)$$

Ipoieza de deplasare a rezultantei încărcărilor spre axul fundației este admisă numai în următoarele condiții:

- peretele să fie legat de construcție la partea superioară prin placă sau centura planșeului, precum și prin pereții transversali cu distanța dintre ei de maxim 6 m;

- presiunea  $\sigma$  care se dezvoltă între perete și fundație (fig.4.3.b) să nu depășească rezistența la compresiune, admis în calcul pentru materialul

Greutatea proprie a fundației fiind mult mai mică decât încărcarea  $Q$ , se poate admite că rezultanta  $N$  acționează în dreptul axului peretelui (fig.4.3.a), adică:

$$c \approx \frac{b}{2},$$

respectiv:

$$e = \frac{B}{2} - c$$

Punând condiția ca sub talpa fundației să apară numai eforturi de compresiune ( $e < \frac{B}{6}$ ) rezultă:

$$B_{max} = 3c = 3 \cdot \frac{b}{2} = 1,5 \cdot b \quad (4.5)$$

din care se execută fundația.

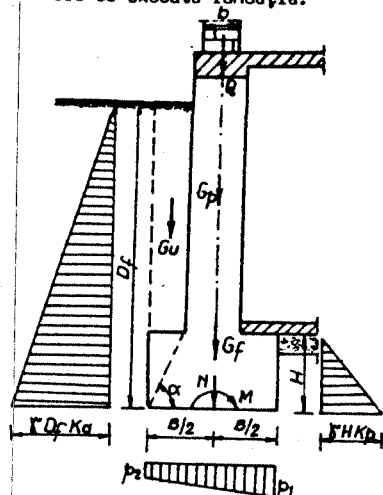


Fig. 4.4.

Lățimea tălpii fundației se calculează cu relația 4.2, în care se consideră  $G_f = 0,1 \cdot Q$ ,

$$B_{nec} = \frac{1,1 \cdot Q}{p_{conv}} = \frac{1,1 \times 185}{220} = 0,925 \text{ cm}$$

Se admite:  $B = 95 \text{ cm}$ .

Distanța de la perete până la marginea fundației este:

$$\frac{B-b}{2} = \frac{95-25}{2} = 35 \text{ cm},$$

Distanța fiind mai mare de 20 cm se recomandă fundație continuă cu o treaptă (fig. 4.5).

Înălțimea treptei se determină din condiția 4.3, valoarea minimă a  $\tan \alpha$  din tabelul 2.2, corespunzătoare betonului Bc 3,5 și presiunii maxime de 250 kPa (valoarea imediat superioară celei reale), fiind 1,5.

$$\tan \alpha = \frac{H}{\ell} = 1,5, \text{ adică}$$

$$H = 1,5 \times 30 = 45 \text{ cm}$$

Cunoscând elementele geometrice ale secțiunii transversale a fundației se

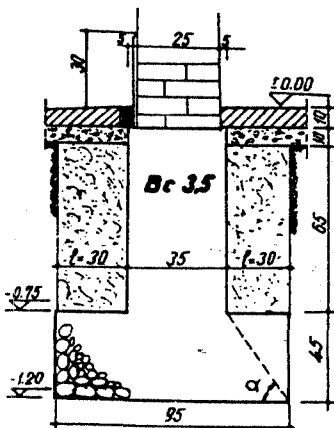


Fig. 4.5.

calculează greutatea  $G_f$ , considerând:

- coeficientul de supraîncărcare,  $n=1,2$ ;
- greutatea volumică a betonului,  $\gamma_b = 24 \text{ kN/m}^3$ ;
- greutatea volumică a umpluturii,  $\gamma_u = 18 \text{ kN/m}^3$ .

$$G_f = 1,2 \cdot (0,95 \times 0,45 \times 24 + 0,35 \times 0,65 \times 24 + 2 \times 0,65 \times 0,30 \times 18) = 27,27 \text{ kN/m}$$

Presiunea pe teren la nivelul tălpii fundației conform relației 4.1, este:

$$p = \frac{Q + G_f}{B \times 1,0} = \frac{185 + 27,27}{0,95 \times 1,0} = 223,46 \text{ kPa} \approx p_{conv} = 220 \text{ kPa}$$

#### Exemplul 4.2.

Să se dimensioneze fundația unui zid de calcan (fig. 4.6) cu lățimea 37,5 cm, care transmite încărcarea  $Q=130 \text{ kN/m}$ .

Adâncimea de fundare este la  $-1,40 \text{ m}$  față de cota  $\pm 0,00$  (suprafața finită a pardoselii), iar presiunea convențională la nivelul tălpii fundației,  $p_{conv} = 300 \text{ kPa}$ .

#### Rezolvare

Se calculează lățimea maximă a tălpii fundației cu relația 4.5.

$$B_{max} = 1,5 \times 37,5 \text{ cm} = 56,25 \text{ cm}$$

Se admite:  $B = 60 \text{ cm}$ .

Greutatea proprie a fundației este:

$$G_f = 1,2 \times 0,6 \times 1,30 \times 24 = 22,46 \text{ kN/m}$$

Se calculează excentricitatea:

$$e = \frac{B}{2} - \left( \frac{b}{2} + 2,5 \right) = 30 - (18,75 + 2,5) = 8,75 \text{ cm} = 0,0875 \text{ m}$$

Fig. 4.6.

Presiunea sub talpa fundației se calculează cu relația 4.4.:

$$p_{1,2} = \frac{130 + 22,46}{0,6 \times 1,0} \cdot \left( 1 \pm \frac{6 \times 0,0875}{0,60} \right)$$

$$p_1 = 476,44 \text{ kPa} > 1,2 \cdot p_{conv} = 360 \text{ kPa}$$

$$p_2 = 31,76 \text{ kPa} > 0$$

Fiind depășită presiunea maximă pe teren și considerând îndeplinite condițiile constructive referitoare la structura de rezistență, menționate la punctul 4.1.1, se acceptă lățimea maximă a fundației, rezultată din relația 4.6:

$$B_{\max} = 2,25 \times 37,5 = 84,375 \text{ cm} \approx 85 \text{ cm}$$

Greutatea proprie a fundației este:

$$G_f = 1,2 \times 0,85 \times 1,30 \times 24 = 31,82 \text{ kN/m}$$

Excentricitatea  $e$  se calculează cu relația:

$$e = \frac{B}{2} - \left( \frac{3}{4} \cdot b + 2,5 \right) = 42,5 - (28,125 + 2,5) = 11,875 \text{ cm}$$

Presiunea sub talpa fundației, în baza relației 4.4. este:

$$p_{1,2} = \frac{130 + 31,82}{0,85 \times 1,0} \cdot \left( 1 \pm \frac{6 \times 0,11875}{0,85} \right),$$

$$p_1 = 349,95 \text{ kPa} < 1,2 \cdot p_{\text{conv}} = 360 \text{ kPa}$$

$$p_2 = 30,80 \text{ kPa} > 0.$$

#### Exemplul 4.3.

Să se dimensioneze fundația unui zid de subsol din beton la care adâncimea de fundare este la -3,00 m față de nivelul terenului (fig.4.7) și încărcarea transmisă prin perete este  $Q=250 \text{ kN/m}$ . Până la adâncimea de -4,00 m terenul este format dintr-un strat omogen de nisip argilos având caracteristicile geotehnice de calcul:  $\gamma=18 \text{ kN/m}^3$  și  $\phi = 25^\circ$ .

Presiunea convențională la nivelul tălpii fundației este de 320 kPa.

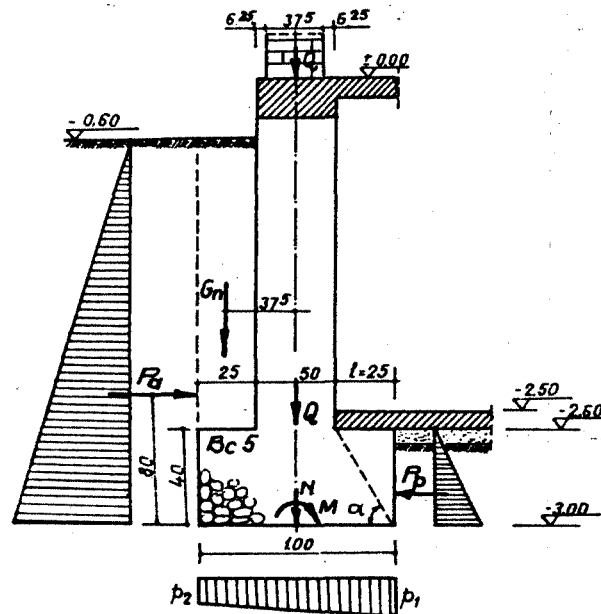


Fig. 4.7.

#### Rezolvare

Asupra fundației acționează următoarele forțe:

- forța axială  $Q=250 \text{ kN/m}$ ;
- greutatea proprie a fundației,  $G_f$ ;
- greutatea umpluturii,  $G_u$ ;
- forța de împingere activă a pământului,  $P_a$ ;
- forța de rezistență pasivă a pământului  $P_p$ .

Pentru calculul încărcărilor trebuie să se impună lățimea tălpii fundației; se consideră  $B=1,0$ .

Înălțimea  $H$  se determină din condiția 4.3, valoarea minimă a  $\tan \alpha$ , fiind 1,5 conform tabelului 2.2.

$$\tan \alpha = \frac{H}{l} = 1,5, \text{ rezultă}$$

$$H = 1,5 \cdot l = 1,5 \times 0,25 = 0,375 \text{ m}$$

Se ia  $H = 40 \text{ cm}$ .

Greutatea proprie a fundației este:

$$G_f = 1,2 \times 1,0 \times 0,4 \times 24 = 11,52 \text{ kN/m}$$

Greutatea umpluturii:

$$G_u = 0,25 \times 1,0 \times 2,0 \times 18 = 9,0 \text{ kN/m}$$

Forța de împingere activă se determină în ipoteza neglijării frecării dintre peretele subsolului și pământ, respectiv  $\delta=0$ .

În acest caz:

$$P_a = \frac{\gamma \cdot h^2}{2} \cdot \tan^2(45^\circ - \frac{\phi}{2}) = \frac{18 \times 2,40^2}{2} \cdot \tan^2(45^\circ - \frac{25^\circ}{2}) = 21,04 \text{ kN/m}$$

$$P_p = \frac{\gamma \cdot h^2}{2} \cdot \tan^2(45^\circ + \frac{\phi}{2}) = \frac{18 \times 0,4^2}{2} \cdot \tan^2(45^\circ + \frac{25^\circ}{2}) = 3,55 \text{ kN/m}$$

Încărcările care acționează asupra fundației se reduc în raport cu centrul de greutate a tălpii fundației, rezultând:

$$N = Q + G_f + G_u = 250 + 11,52 + 9,0 = 270,52 \text{ kN/m}$$

$$M = -G_u \times 0,375 + P_a \times \frac{2,40}{3} - P_p \times \frac{0,40}{3} = -11,52 \times 0,375 + 21,04 \times 0,80 - 3,55 \times 0,13 = 12,05 \text{ kNm}$$

Excentricitatea "e" se calculează cu relația:

$$e = \frac{M}{N} = \frac{12,05}{270,52} = 0,044 \text{ m}$$

Cu relația 4.4. se verifică presiunea pe teren sub talpa fundației:



$$P_1 = \frac{270,52}{1,0 \times 1,0} \cdot \left(1 + \frac{6 \times 0,044}{1,0}\right) = 341,94 \text{ kPa} < 1,2 \times 3,20 = 360 \text{ kPa}$$

$$P_2 = \frac{270,52}{1,0 \times 1,0} \cdot \left(1 - \frac{6 \times 0,044}{1,0}\right) = 199,10 \text{ kPa} > 0$$

În concluzie, lăţimea de 1,0 m impusă tălpilor fundaţiei este satisfăcătoare, presiunea maximă nedeşăşind valoarea maximă acceptată ( $1,2 \cdot p_{conv}$ ), iar diferenţa faţă de această valoare fiind redusă (cca 5 %) confirmă o dimensionare economică.

#### 4.2. Fundaţii continue din beton armat

Acest tip de fundaţie se recomandă în cazul unor terenuri de fundare slabe şi susceptibile la producerea unor tasări mari şi neuniforme în lungul fundaţiei. De asemenea, folosirea lor poate fi impusă de cerinţa limitării înălţimii fundaţiei şi prin aceasta reducerea adâncimii de fundare.

Fundaţiile continue din beton armat se pot realiza în mai multe variante constructive (fig.4.8).

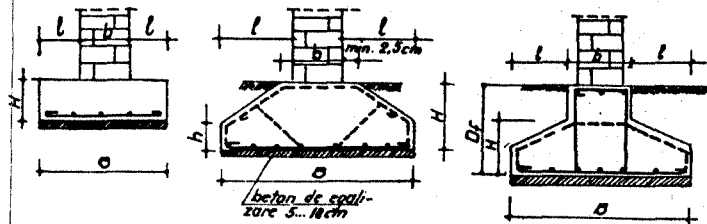


Fig. 4.8.

Varianta din figura 4.8.a poate fi utilizată la lăţimi mici ale tălpilor fundaţiei, iar varianta cu grindă (fig.4.8.c) în cazul unor pământuri neuniforme în lungul fundaţiei şi puternic compresibile. Varianta constructivă utilizată frecvent este cea cu faţa superioară în pantă (fig.4.8.b).

Înălţimea  $H$  a fundaţiei se ia de minimum 30 cm, iar înălţimea de la margine este:  $h = \left(\frac{1}{3} \dots \frac{1}{2}\right) \cdot H$ , dar nu mai mică de 15 cm. Se recomandă ca raportul  $H/b$  să aibă valori mai mari decât cele date în tabelul 2.1.

Talpa fundaţiei se armează la partea inferioară în sens transversal cu armătură de rezistenţă alcătuită din bare drepte dispuse la distanţa maximă de 25 cm. Procentul minim de armare este 0,05 %. În sens longitudinal se prevede armătură de repartiţie care trebuie să reprezinte minim 10 % din armătura de rezistenţă transversală. Armătura înclinată se prevede numai dacă rezultă din calculul de dimensionare a fundaţiei. La fundaţiile cu faţa superioară în pantă, în cazul în care nu rezultă din calcul armătură dispusă transversal la partea superioară a fundaţiei, se prevede constructiv armătură din bare  $\Phi 8 \dots$

10 mm dispuse la 40 cm distanţă.

#### 4.2.1. Stabilirea dimensiunilor fundaţiei

Dimensionarea fundaţiilor continue din beton armat sub pereţi constă în determinarea lăţimii tălpilor şi a armăturii transversale de rezistenţă.

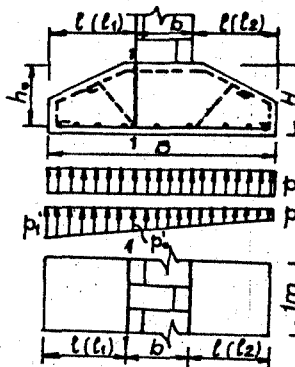


Fig. 4.9.

În funcţie de lăţimea fundaţiei, rezultat din calcul, se impune înălţimea acesteia după prescripţiile constructive menţionate anterior.

Lăţimea tălpilor fundaţiei se determină din condiţia ca presiunea transmisă terenului să nu depăşească presiunea maximă acceptată, calculul fiind acelaşi ca la fundaţiile continue din beton simplu (punctul 4.1.1).

Armătura transversală de rezistenţă se determină cu ajutorul momentului încovoietor calculat în secţiunea de la marginea peretelui (1-1) considerând talpa fundaţiei ca o consolă încastată în secţiunea respectivă. Încărcarea  $p'$

care acţionează asupra consolei este echivalentă cu presiunea pe teren din care s-a scăzut presiunea uniform distribuită dată de greutatea proprie a fundaţiei.

Momentul încovoietor în secţiunea (1-1) se calculează după cum urmează:

- pentru încărcare centrică cu relaţia:

$$M = p' \cdot \frac{(B-b)^2}{8} \quad (4.7)$$

- pentru încărcare excentrică:

$$M = \frac{2p'_1 + p'_0}{6} \cdot l_1^2 \quad (4.8)$$

Aria de armătură necesară preluării eforturilor de întindere din încovoiere, se poate calcula cu următoarea relaţie simplificată:

$$A_a = \frac{M}{0,875 \times h_0 \times R_a} \quad (4.9)$$

în care  $h_0$  are semnificaţia din figura 4.9, iar  $R_a$  reprezintă rezistenţa de calcul a armăturii.

#### Exemplul 4.4.

Să se dimensioneze fundaţia continuă din beton armat pentru un perete portant cu grosime de 37,5 cm (fig.4.10), care transmite fundaţiei o încărcare centrică  $Q=350 \text{ kN/m}$ . Adâncimea de fundare este de 1,10 m faţă de nivelul

pardosellii, iar presiunea convențională este de 240 kPa.

### Rezolvare

#### Determinarea lății tălpii fundației

Pentru determinarea lății tălpii fundației, în faza de presimensio-nare, se admite:

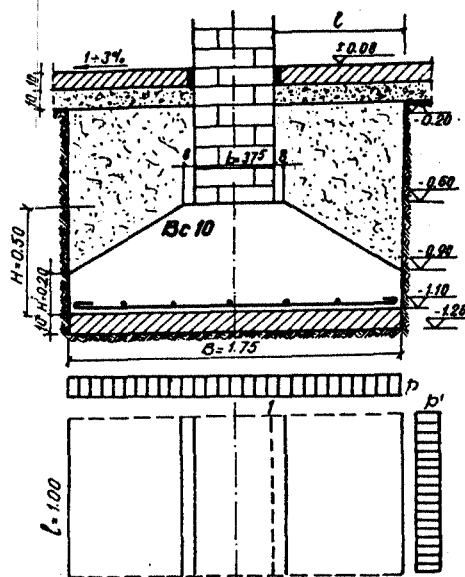


Fig. 4.10.

tea proprie a fundației în care s-a inclus și greutatea umpluturii:

$$\begin{aligned} G_f &= n \times B \times H \times \gamma_b - \ell(H-H') \cdot (n \cdot \gamma_b - \gamma) + 2 \times \ell \times 0,60 \times \gamma = \\ &= 1,20 \times 1,60 \times 0,50 \times 2,50 - 0,61 \times 0,30 \times 12 + 2 \times 0,61 \times 0,60 \times 18 = \\ &= 34,93 \text{ kN/m} \end{aligned}$$

Presiunea transmisă terenului la nivelul tălpii fundației se determină cu relația 4.1.a:

$$p = \frac{350 + 34,98}{1,60 \times 1,0} = 240,61 \text{ kPa} \approx p_{\text{conv}} = 240 \text{ kPa}$$

#### Armarea fundației

Pentru determinarea armăturii transversale de rezistență se calculează presiunea  $p'$  sub talpa fundației fără greutatea proprie a acesteia (inclusiv umplutura),  $G_f$ , astfel:

$$G_f = 0,1 \times 350 = 35,0 \text{ kN/m}$$

Lățimea tălpii fundației rezultă din relația 4.1.a:

$$B = \frac{350 + 35}{240} = 1,604 \approx 1,60 \text{ m}$$

Înălțimea  $H$  a fundației se determină din raportul  $\frac{H}{B}$  pentru care nu mai este necesară verificarea la forțe tăietoare (tabelul 2.1), corespunzătoare presiunii maxime pe teren de 250 kPa:

$$\frac{H}{B} = 0,30, \text{ de unde:}$$

$$H = 0,30 \cdot B = 0,30 \times 1,60 = 0,48 \approx 0,50 \text{ m}$$

$$H' = \left(\frac{1}{3} \dots \frac{1}{2}\right) \cdot H = 0,15 \dots 0,25 \text{ m}$$

$$\text{Se impune: } H' = 0,20 \text{ m.}$$

Cunoscând elementele geometrice ale secțiunii transversale (v. notații fig. 4.10) se determină greuta-

$$p' = \frac{0}{B \times 1,0} = \frac{350}{1,60 \times 1,0} = 218,75 \text{ kPa}$$

Fundația fiind încărcată centric, momentul încovoietor se calculează cu relația 4.7:

$$M = 218,75 \cdot \frac{(1,60 - 0,375)^2}{8} = 41,03 \text{ kN} \cdot \text{m} = 41,03 \times 10^4 \text{ daN} \cdot \text{cm}$$

Înălțimea secțiunii utile  $h_0$  este:

$$h_0 = 50 - 3,5 = 46,5 \text{ cm}$$

Aria armăturii transversale de rezistență se determină cu relația 4.9:

$$A_a = \frac{41,03 \times 10^4}{0,875 \times 46,5 \times 2.900} = 3,48 \text{ cm}^2$$

Se aleg 5  $\phi$  10 mm având suprafața  $3,92 \text{ cm}^2$  și distanța dintre bare 20 cm.

Se verifică procentul de armare:

$$p\% = \frac{3,92}{100 \times 46,5} \times 100 = 0,084\% > p_{\text{min}} = 0,05\%$$

Armătura longitudinală de repartiție se ia 6  $\phi$  6 mm la 31 cm distanță, având aria  $1,70 \text{ cm}^2$ , reprezentând 43 % din aria armăturii transversale de rezistență, fiind mai mare decât procentul minim (10 %).

#### 4.3. Fundații continue cu descărcări pe reazeme izolate

Aceste tipuri de fundații se utilizează în cazul zidurilor ce transmit încărcări mici la fundații sau atunci când terenul de fundare se găsește la o adâncime mai mare de cca 2 m, și sunt alcătuite din:

- blocuri de fundație ce constituie reazemele izolate;
- elemente de descărcare a încărcărilor transmise de pereți la aceste reazeme.

Fundațiile cu descărcări pe reazeme izolate nu sunt indicate în cazul când sunt de așteptat tasări inegale ale acestora. De asemenea, ele se vor evita în regiunile cu seismicitate mare ( $> 7 \text{ MSK}$ ).

Reazemele izolate se prevăd de-a lungul pereților, în punctele de întretăiere a pereților sau în acelea în care sunt încărcări importante. De regulă, aceste reazeme se dispun în conformitate cu traveile construcției și în dreptul plinurilor (spaleți de zidărie)

Distanța optimă între reazeme se stabilește pe baza unui calcul tehnico-economic.

Alegerea materialului și stabilirea adâncimii de fundare a reazemelor izolate se fac analog fundațiilor continue din beton simplu.

Elementele de descărcare sunt alcătuite din grinzi (cu sau fără vute) sau bolți, care constituie suportul pereților și care transmit încărcările la blocurile de fundație.

Alcătuirea constructivă a blocurilor de fundație și a elementelor de descărcare se face în conformitate cu prescripțiile din normativul P 10-86[11].

În cazul obișnuit al construcțiilor fără subsol, elementele de descărcare alcătuiesc și soclul peretelui, depășind cu cel puțin 25 cm cota trotuarului construcției.

Fața superioară a elementelor de descărcare se așază la cel puțin 10 cm sub nivelul trotuarului.

Grinzile sau bolțile se fac de regulă mai late decât peretele de deasupra cu cca 5 cm de fiecare parte.

În mod obișnuit acest sistem de fundare este folosit în cazul construcțiilor în cadre (fig.4.11), unde zidăria de umplutură (nepoartantă) se descarcă prin intermediul unei grinzi de fundație din beton armat, la fundațiile izolate ale stâlpilor cadrelor (care constituie reazemele izolate).

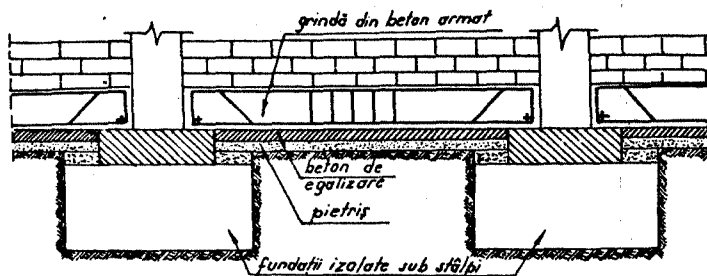


Fig. 4.11.

#### 4.3.1. Stabilirea dimensiunilor fundației

Dimensionarea fundațiilor continue cu descărcări pe reazeme izolate constă în:

- stabilirea dimensiunilor blocului de fundație, care frecvent este fundația izolată a stâlpului cadrului;
- dimensionarea elementului de descărcare (grindă sau boltă).

Suprafața în plan a blocului de fundație, ce constituie reazemul izolat se determină din condiția (1.2), de nedepășire a presiunii maxime acceptate pe teren, aplicând relațiile de la blocul de beton simplu a fundației izolate cu cuzinet.

Se consideră fundația încărcată centric cu forța  $N$  care acționează asupra reazemului, fiind dată de greutatea zidului  $G_z$  a elementului de des-

cărcare  $G_g$ , aferente reazemului și de greutatea proprie  $G_f$ :

$$N = G_z + G_g + G_f \quad (4.10)$$

Dimensionarea elementelor de descărcare constă în calculul unei grinzi din beton armat, considerată de regulă simplu rezemată pe reazemele de descărcare (mai rar continuă pe reazeme late) și încărcată cu zidăria de deasupra.

#### Exemplul 4.5.

Să se dimensioneze fundația continuă - în varianta grinzii de fundație - sub peretele de umplutură (fig.4.12) a unei hale industriale cu cadre din elemente prefabricate și fundații izolate tip pahar.

#### Rezolvare

Grinda de fundație se consideră simplu rezemată pe fundațiile tip pahar corespunzătoare cadrelor adiacente.

#### Evaluarea încărcărilor de calcul

Se face pe un metru de lungime a grinzii:

- zidăria de cărămidă eficientă:

$$1,2 \times 0,30 \text{ m} \times 2,16 \text{ m} \times 16 \text{ kN/m}^3 = 12,44 \text{ kN/m}$$

- tencuială:

$$1,2 \times 2 \times 2,16 \times 0,19 \text{ kN/m}^2 = 0,98 \text{ kN/m}$$

- greutatea proprie a grinzii cu secțiunea transversală  $35 \times 50 \text{ cm}^2$

$$1,2 \times 0,35 \text{ m} \times 0,50 \text{ m} \times 25 \text{ kN/m}^3 = 5,25 \text{ kN/m}$$

Încărcarea uniform distribuită  $q$  care acționează pe grinda de fundație este:

$$q = 12,44 + 0,98 + 5,25 = 18,67 \text{ kN/m}$$

#### Calculul solicitărilor

Cunoscând încărcarea ce acționează pe grinda de fundație se pot determina solicitările (fig.4.13).

$$V_A = V_B = \frac{q \cdot l_0}{2} = \frac{18,67 \times 5,60}{2} = 52,28 \text{ kN}$$

$$M = \frac{q \cdot l_0^2}{8} = \frac{18,67 \times 5,60^2}{8} = 73,19 \text{ kN.m}$$

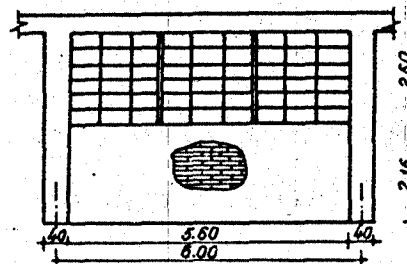


Fig. 4.12.

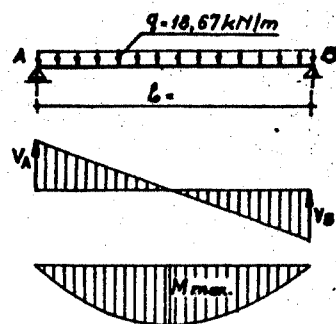


Fig. 4.13

$$\rho \% = \frac{A_a}{b \times h_0} \times 100 = \frac{11,12}{35 \times 45,5} \times 100 = 0,70 \%$$

Din verificarea la forța tăietoare rezultă armătura înclinată constructiv.

În figura 4.14 se dă modul de armare a grinzii de fundație.

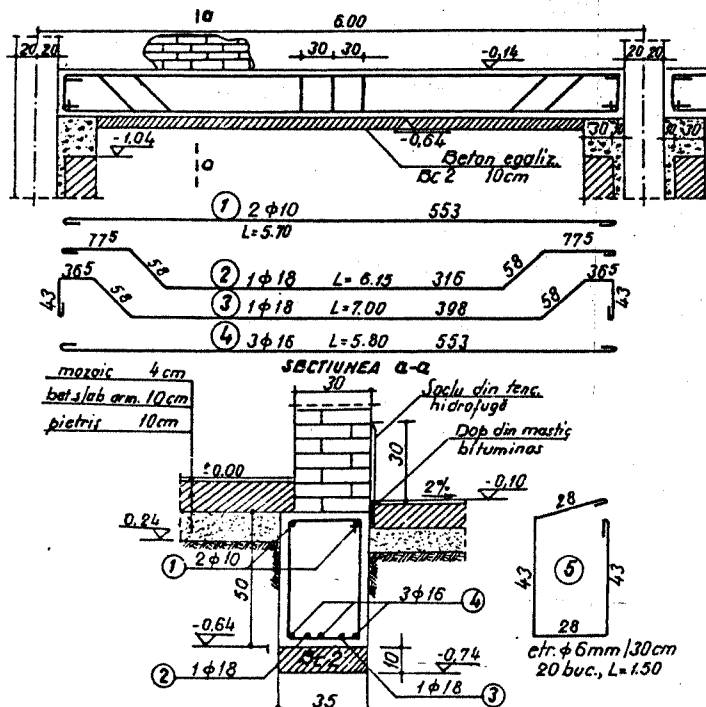


Fig. 4.14.

La dimensionarea reazemelor izolate, respectiv a fundațiilor tip par-brar se vor lua în considerare și reacțiunile din grinzile de fundație.

## CAPITOLUL 5

### 5. RADIERE GENERALE TIP PLACĂ

#### 5.1. Aspecte generale

Radierile generale se utilizează la unele construcții subterane cum sunt: ecluze, rezervoare, bazine, depozite subterane, stații de pompare etc., precum și ca sistem de fundare la construcții cu încărcări mari (clădiri multietajate, silozuri, buncăre, coșuri de fum etc.).

Din punct de vedere constructiv și a rolului pe care-l îndeplinesc în raport cu transmiterea încărcărilor de la construcție la terenul de fundare, radierele pot fi:

- radiere generale de greutate;
- radiere generale de rezistență, sau care lucrează la încovoiere.

Radierile generale de greutate au rolul de a echilibra subpresiunea apei [3], dimensionarea unui astfel de radier fiind redusă la determinarea grosimii radierului care să asigure greutatea necesară echilibrării supresiei apei majorată cu un coeficient de siguranță supraunitar.

Radierile generale de rezistență sunt analoge unor planșee întoarse la care ca încărcare activă se consideră presiunea reactivă a terenului, iar ca reazeme, elementele verticale de rezistență ale construcției respective (stâlpi, pereți).

În raport cu elementele de rezistență ale structurii, radierele generale se pot grupa astfel:

- radiere generale pentru structuri în cadre;
- alte tipuri de radiere generale de rezistență.

La structurile în cadre se folosesc, în special, radiere generale cu placă și grinzi.

La structurile cu pereți portanți din zidărie sau diafragme din beton armat, la care distanța dintre axele lor nu depășesc 4,0 m, se pot folosi radiere tip placă, armată după o direcție. De asemenea, radiere tip placă se folosesc la ecluze, docuri uscate, stații de pompare etc.

La rezervoare îngropate, depozite subterane etc se folosesc radiere generale tip planșeu ciupercă, alcătuite dintr-o placă pe care reazemă stâlpii prin intermediul unor capiteliuri.

Fundațiile unor construcții înalte sistem turn, cum sunt: coșurile de fum, turnurile de telecomunicații, castele de apă de mare capacitate etc sunt radiere generale speciale, cu forma în plan circulară sau inelară [3].

Pentru calculul de dimensionare a radierelor generale de rezistență este necesară cunoașterea mărimii și distribuției presiunii reactive a terenului, care așa cum s-a menționat anterior, reprezintă încărcarea activă care acționează asupra radierului.

În mod simplificat se poate considera radierul element rigid, sub care se admite repartizarea plan-liniară a presiunii pe teren, radierul fiind supus, de regulă, la compresiune excentrică.

Atunci când se impune efectuarea unui calcul mai exact, mai ales la radierele tip placă, acestea se consideră ca fiind plăci elastice pe mediu elastic. Legea reală de distribuție a presiunii la suprafața de contact radier-teren se determină prin aplicarea unor metode de calcul bazate pe teoria elasticității sau modelul winklerian.

În funcție de forma în plan și natura încărcărilor, calculul radiereilor, considerate ca plăci elastice rezemate pe mediu elastic, poate fi făcută pe baza uneia din cele trei probleme ale teoriei elasticității: problema plană, problema simetriei axiale și problema spațială.

Se poate considera că terenul lucrează în condițiile problemei plane de deformare, atunci când lungimea  $L$  a fundației este mult mai mare decât lățimea  $B$ , iar condițiile de încărcare și rigiditate nu variază pe lungimea fundației. În acest caz, izolând în sens transversal o fâșie cu lățime unitară, aceasta lucrează în condiții identice cu oricare fâșie analogă. Se consideră că ipoteza deformăției plane poate fi admisă dacă  $L > 3B$ , condiție îndeplinită la majoritatea radiereilor construcțiilor hidrotehnice cum sunt: ecluzele, docurile uscate, stațiile de pompare etc.

Fâșia izolată de lățime unitară și cu lungimea egală cu lățimea  $B$  a radierului se asimilează cu o grindă de fundare elastică pe mediu elastic, care poate fi calculată cu una din metodele de calcul a acestor grinzi.

O metodă larg răspândită pentru calculul fâșiilor elastice rezemate pe mediu elastic este metoda Gorbunov-Posadov, a cărei aplicare este simplă prin utilizarea unor coeficienți intabulați.

## 5.2. Calculul radiereilor de rezistență, în condițiile

### problemei plane, prin metoda Gorbunov-Posadov

Fâșia izolată din radier, de lățime  $b' = 1,0$  m și lungime  $2l = B$  se consideră elastică și rezemată continuu pe mediu elastic.

Pentru dimensionarea fâșiei, respectiv a radierului, ca element din beton armat, este necesară cunoașterea diagramelor de momente și forțe tăietoare în lungul fâșiei.

Presiunea de contact  $p$ , forța tăietoare  $T$  și momentul încovoietor  $M$ , în diferite secțiuni transversale ale fâșiei se calculează cu ajutorul unor

coeficienți adimensionali  $\bar{p}$ ,  $\bar{T}$ ,  $\bar{M}$  dependenți de modul de încărcare a fâșiei și de flexibilitatea ei, exprimată prin indicele de flexibilitate calculat cu relația:

$$t \approx 10 \frac{E}{E_b} \cdot \frac{l^3}{h^3} \quad (5.1)$$

în care:

$E$  - modulul de deformare liniară a terenului de fundare;

$E_b$  - modulul de elasticitate corespunzător clasei de beton din care se execută radierul;

$l$  - semilungimea fâșiei;

$h$  - grosimea fâșiei.

După valoarea indicelui de flexibilitate, fâșiile pot fi:

$t < 1,0$  - fâșii rigide;

$1,0 < t < 10$  - fâșii scurte cu lungime și rigiditate finite;

$t > 10$  - fâșii lungi cu lungime infinită.

În prezentul paragraf se tratează calculul fâșiilor rigide și a celor scurte, întâlnite frecvent pentru care sunt date tabelele 5.1...5.28, prezentate în Anexă, conținând coeficienții adimensionali  $\bar{p}$ ,  $\bar{T}$  și  $\bar{M}$  pentru diferite valori ale indicelui de flexibilitate și diverse tipuri de încărcări care pot acționa pe fâșia unitară.

În mod asemănător se calculează fâșiile lungi pentru care relațiile de calcul și coeficienții adimensionali se iau din literatură [2].

Relațiile de calcul pentru presiune, forță tăietoare și moment încovoietor în secțiuni ale fâșiei situate la echidistanțe  $0,1l$ , pentru diverse încărcări sunt:

- încărcare uniform repartizată,  $q$  [kN/m<sup>2</sup>]:

$$p = \bar{p} \cdot q \quad (5.2)$$

$$T = \bar{T} \cdot b' \cdot l \cdot q \quad (5.3)$$

$$M = \bar{M} \cdot b' \cdot l^2 \cdot q \quad (5.4)$$

- încărcare cu forță concentrată,  $P$  [kN]:

$$p = \bar{p} \cdot \frac{P}{b' \cdot l} \quad (5.5)$$

$$T = \pm \bar{T} \cdot P \quad (5.6)$$

$$M = \bar{M} \cdot l \cdot P \quad (5.7)$$

- încărcare cu moment încovoietor,  $m$  [kNm]:

$$p = \pm \bar{p} \cdot \frac{m}{b' \cdot l^2} \quad (5.8)$$

$$T = T \cdot \frac{M}{I} \quad (5.9)$$

$$M = \pm M \cdot m \quad (5.10)$$

Coefficienții adimensionali  $\bar{p}$ ,  $T$  și  $M$  dependenți de indicele de flexibilitate și încărcarea care acționează pe fâșie, mai depind și de abscisa redusă  $\xi_1$  corespunzătoare echidistanțelor  $0,1l$  și de distanța redusă,  $\alpha_1$  a încărcării (forță sau moment) care au semnificația din figura 5.1 și se calculează cu relațiile:

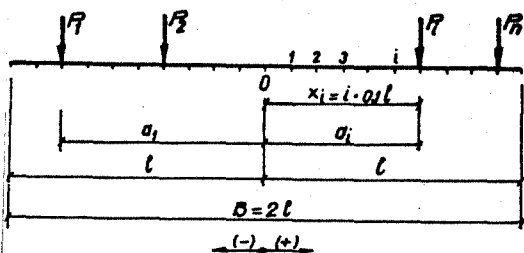


Fig. 5.1.

$a_1$  - distanța de la mijlocul fâșiei până la punctul de aplicare a încărcării, rotunjită la multiplu de  $0,1l$ ;

$l$  - semilungimea fâșiei.

$\xi_1$  și  $\alpha_1$  au semnul (+) pentru jumătatea din dreapta a fâșiei și semnul (-) pentru cea din stânga.

Încărcarea uniform distribuită fiind simetrică, relațiile (5.2...5.4) și coeficienții din tabelele 5.1.a, b și c corespund semilungimii din dreapta a fâșiei. Pentru semilungimea din stânga valorile presiunilor și a momentelor din secțiunile situate la echidistanțe  $0,1l$  sunt simetrice și egale cu cele din dreapta; pentru forța tăietoare valorile sunt egale, dar cu semn schimbat.

În mod asemănător se procedează în cazul fâșiilor încărcate simetric cu forțe concentrate sau momente încovoietoare. Astfel, pentru încărcarea cu forțe concentrate sunt tabelele 5.9 ... 5.10, iar pentru momente încovoietoare, tabelele 5.23 ... 5.28.

În relațiile 5.6, 5.8 și 5.10 semnul (+) se referă la încărcări aplicate pe porțiunea din dreapta a fâșiei, iar semnul (-) la cele din stânga.

Momentul "m" se consideră pozitiv dacă rotește în sens orar.

În punctul de aplicare a forței  $P$ , adică pentru  $\xi = \alpha$ , forța tăietoare are două valori; în tabelele coeficienților adimensionali,  $T$  corespunzător este însemnat cu semnul (\*).  $T^*$  este coeficientul cu care se calculează forța tăietoare imediat în stânga punctului de aplicare a forței concentrate,

$$\xi_1 = \pm \frac{x_1}{l} \quad (5.11)$$

$$\alpha_1 = \pm \frac{a_1}{l} \quad (5.12)$$

în care:

$x_1$  - reprezintă distanța de la mijlocul fâșiei până la punctul corespunzător secțiunii de calcul;

forța fiind considerată în jumătatea din dreapta a fâșiei. Pentru determinarea valorii forței tăietoare din dreapta punctului de aplicare a forței concentrate, din valoarea  $T^*$  dată în tabele se scade o unitate.

Când forța  $P$  este aplicată în jumătatea din stânga a fâșiei, regula de mai sus rămâne valabilă cu mențiunea că pe baza coeficientului  $T^*$ , din tabel, se calculează forța tăietoare din stânga punctului de aplicare a forței.

Aceeași regulă se păstrează și pentru încărcarea cu moment încovoietor, la care în diagrama de momente în dreptul punctului de aplicare a acestuia apar două valori, cu mențiunea că la valoarea  $M^*$  dată în tabel se adună o unitate.

Pentru fiecare încărcare care acționează asupra fâșiei se scot din tabelele corespunzătoare indicelui de flexibilitate aproximativ cu una din următoarele valori: 0, 1, 2, 3, 5, 7, 10 și în funcție de distanțele relative  $\alpha_1$ , coeficienții adimensionali  $\bar{p}$ ,  $T$ ,  $M$  cu care se calculează, în punctele situate la echidistanțe  $0,1l$ , presiunea, forța tăietoare și momentul încovoietor.

În cazul în care pe fâșie acționează mai multe încărcări valoarea finală a presiunii, forței tăietoare și momentului rezultă din suprapunere de efecte (însușire algebrică).

Intrucât calculul fâșiilor prin metoda Gorbunov-Posadov se face pe bază de coeficienți corespunzători punctelor situate la echidistanțe  $0,1l$  este recomandabilă prezentarea tabelară a calculului.

În exemplele 5.1 și 5.2 se tratează cazul fâșiei elastice pe mediu elastic, de lățime unitară asupra căreia acționează încărcări nesimetrice, respectiv simetrice, fiind prezentate și tabelele de calcul corespunzătoare.

#### Exemplul 5.1

Să se determine prin metoda Gorbunov-Posadov diagramele presiunilor, forțelor tăietoare și momentelor încovoietoare pentru radierul cuvei stației de pompare încărcată conform schemei din fig. 5.2, fiind cunoscute următoarele date:

- dimensiunile radierului,  $L=35$  m;  $B=10$  m;
- grosimea radierului,  $h=50$  cm;
- modulul de elasticitate a betonului,  $E_b=2,4 \times 10^7$  kPa;
- modulul de deformare liniară a terenului - nisip prăfos cu indicele porilor,  $e = 0,65$  -  $E=1,8 \times 10^4$  kPa;
- încărcările care acționează asupra radierului.

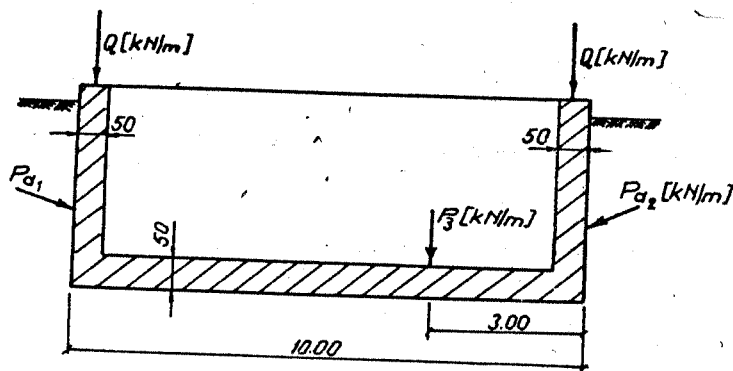


Fig. 5.2.

**Rezolvare:** Radierul fiind încărcat uniform în sens longitudinal și raportul laturilor  $\frac{l}{b} > 3$ , calculul static se execută pentru o fâșie de lățime,  $b' = 1,0$  m și lungimea  $B = 10,0$  m, încărcată conform schemei din figura 5.3.a.  $P_1$ ,  $P_2$ ,  $m_1$  și  $m_2$  sunt forțele axiale rezultante și momentele încovoietoare transmise radierului prin pereții cuvei.

Încărcarea uniform distribuită de calcul  $q$  rezultă din greutatea proprie a radierului multiplicată cu coeficientul de supraîncărcare,  $n = 1,2$ ,

$$q = n \cdot 100 \cdot b' \cdot h \cdot \gamma_b = 1,2 \cdot 1,00 \cdot 1,00 \cdot 0,50 \cdot 25 = 15 \text{ kN/m}^2$$

Calculul static al radierului comportă etapele prezentate în continuare:

1. Se stabilește poziția punctelor situate la echidistanțe  $0,1\ell$ , față de mijlocul fâșiei, rezultând distanțele  $x_i$  (v.fig.5.1) și distanțele reduse  $\xi_i$  calculate cu 5.11.
2. Se stabilește categoria în care se încadrează fâșia pe baza indicelui de flexibilitate "t" calculat cu relația 5.1,

$$t \approx 10 \cdot \frac{1,8 \times 10^4}{2,4 \times 10^7} \cdot \frac{5,0^3}{0,5^3} \approx 7,5$$

Indicele de flexibilitate fiind 7,5 fâșia este cu lungime și rigiditate finite.

3. Se stabilesc tabelele coeficienților  $\bar{p}$ ,  $\bar{T}$  și  $\bar{M}$ , corespunzătoare tipului de încărcare (uniform distribuită, forță concentrată, moment încovoietor), în funcție de indicele de flexibilitate calculat în etapa anterioară și aproximat la valoarea 7, care este cea mai apropiată de valoarea indicelui de flexibilitate calculat.

4. Se calculează cu relația 5.12 distanțele absolute  $\alpha_i$  față de mijlocul fâșiei și se rotunjesc la multiplu de  $0,1\ell$ ,

$$\alpha_1 = \alpha_2 = \pm \frac{4,75}{5,00} = \pm 0,95 \approx \pm 1,0$$

$$\alpha_3 = + \frac{2,00}{5,00} = + 0,4$$

5. Pentru fiecare încărcare care acționează pe fâșia unitară se scot din tabelele stabilite în conformitate cu punctul 3, și în funcție de distanțele absolute calculate la punctul anterior, coeficienții adimensionali  $\bar{p}$ ,  $\bar{T}$ ,  $\bar{M}$ , după cum urmează:

- pentru încărcarea uniform distribuită  $q$  - tabelele 5.1.a,b și c;
- pentru încărcările cu forțe concentrate  $P_1 \dots P_3$  - tabelele 5.7.a, b și c;
- pentru încărcările cu momentele încovoietoare  $m_1$  și  $m_2$  - tabelele 5.21.a,b și c.

Coeficienții adimensionali  $\bar{p}$ ,  $\bar{T}$ ,  $\bar{M}$  rezultați din tabelele sus-menționate sunt înscrși în tabelele 5.29.a,b și c, coloanele 3...8.

6. Cu relațiile 5.2...5.10 se calculează presiunea, forța tăietoare și momentul încovoietor în secțiunile situate la echidistanțele  $0,1\ell$  - poziționate prin abscisa redusă  $\xi_i$  - pentru fiecare încărcare, valori care se trec în tabelele 5.29.a,b și c, coloanele 9...14.

7. Prin însumarea efectelor tuturor încărcărilor care acționează pe fâșia unitară, adică prin însumarea algebrică a presiunii, forței tăietoare și momentelor încovoietoare corespunzătoare acestora, se obțin valorile din coloana 15 din tabelele 5.29.a,b și c cu care se reprezintă diagramele de presiune, forța tăietoare și moment încovoietor, fig.5.3.b,c și d.

**Exemplul 5.2.** Considerând radierul din exemplul 5.1, încărcat simetric, conform schemei din fig.5.4.a, se cere determinarea diagramei de presiune, forțe tăietoare și momente încovoietoare prin metoda Gorbunov-Posadov.

**Rezolvare:** Radierul fiind încărcat simetric, calculul static se execută pentru jumătatea din dreapta a fâșiei de lățime unitară, parcurgând aceleași etape prezentate în exemplul 5.1.

Etapile 1...3 sunt identice, ele fiind independente de modul de acțiune a încărcărilor.

4. Distanța absolută la care acționează forța  $P_1$  și momentul încovoietor  $m_1$ , se calculează cu relația 5.12,

$$\alpha_1 = + \frac{4,75}{5,00} = + 0,95 \approx 1,0$$



Tabel centralizator pentru diagrama de presiuni

Tabelul 5.29.a.

x [m]	$\xi$	$\bar{p}$ [q]	$\bar{p}$ [P <sub>1</sub> ]	$\bar{p}$ [P <sub>2</sub> ]	$\bar{p}$ [P <sub>3</sub> ]	$\bar{p}$ [m <sub>1</sub> ]	$\bar{p}$ [m <sub>2</sub> ]	p [q]	p [P <sub>1</sub> ]	p [P <sub>2</sub> ]	p [P <sub>3</sub> ]	p [m <sub>1</sub> ]	p [m <sub>2</sub> ]	$\Sigma p$ [kPa]
1	2	3	4	5	6	7	8	9	10	11	12	13	14	15
5,0	-1,0	-	-	-	-	-	-	-	-	-	-	-	-	-
4,5	-0,9	1,50	3,09	-0,43	-0,01	3,45	-0,65	22,50	123,60	-21,50	-0,14	-12,42	2,86	114,90
4,0	-0,8	1,13	1,96	-0,29	0,06	1,62	-0,56	16,95	78,40	-14,50	0,84	-5,83	2,46	78,32
3,5	-0,7	0,96	1,31	-0,20	0,12	0,61	-0,51	14,40	52,40	-10,00	1,68	-2,19	2,24	58,53
3,0	-0,6	0,88	0,91	-0,14	0,17	0,04	-0,50	13,20	36,40	-7,00	2,38	-0,14	2,20	47,04
2,5	-0,5	0,84	0,65	-0,10	0,22	-0,29	-0,51	12,60	26,00	-5,00	3,08	1,04	2,24	39,96
2,0	-0,4	0,82	0,46	-0,06	0,27	-0,49	-0,53	12,30	18,40	-3,00	3,78	1,76	2,33	35,57
1,5	-0,3	0,81	0,33	-0,03	0,32	-0,59	-0,57	12,15	13,20	-1,50	4,48	2,12	2,50	32,95
1,0	-0,2	0,81	0,22	0,00	0,37	-0,64	-0,61	12,15	8,00	0,00	5,18	2,30	2,68	31,11
0,5	-0,1	0,80	0,14	0,04	0,42	-0,67	-0,63	12,00	5,60	2,00	5,88	2,41	2,77	30,66
0	0,0	0,80	0,08	0,08	0,48	-0,66	-0,66	12,00	3,20	4,00	6,72	2,37	2,90	31,19
0,5	0,1	0,80	0,04	0,14	0,53	-0,63	-0,67	12,00	1,60	7,00	7,42	2,26	2,94	33,22
1,0	0,2	0,81	0,00	0,22	0,59	-0,61	-0,64	12,15	0,00	11,00	8,26	2,19	2,81	36,41
1,5	0,3	0,81	-0,03	0,33	0,65	-0,57	-0,59	12,15	-1,20	16,50	9,10	2,05	2,59	41,90
2,0	0,4	0,82	-0,06	0,46	0,69	-0,53	-0,49	12,30	-2,40	23,00	9,66	1,90	2,15	46,61
2,5	0,5	0,84	-0,10	0,65	0,71	-0,51	-0,29	12,60	-4,00	32,50	9,94	1,83	1,27	54,14
3,0	0,6	0,88	-0,14	0,91	0,72	-0,50	0,04	13,20	-5,60	45,50	10,08	1,80	-0,17	64,81
3,5	0,7	0,96	-0,20	1,31	0,75	-0,51	0,61	14,40	-8,00	65,50	10,50	1,83	-2,68	81,55
4,0	0,8	1,13	-0,29	1,96	0,86	-0,56	1,62	16,95	-11,60	98,00	12,04	2,01	-7,12	110,28
4,5	0,9	1,50	-0,43	3,09	1,20	-0,65	3,45	22,50	-17,20	154,50	16,80	2,34	-15,18	163,76
5,0	1,0	-	-	-	-	-	-	-	-	-	-	-	-	-

Tabel centralizator pentru diagrame de forțe tăietoare

Tabelul 5.29.b.

x [m]	$\xi$	T [q]	T [P <sub>1</sub> ]	T [P <sub>2</sub> ]	T [P <sub>3</sub> ]	T [m <sub>1</sub> ]	T [m <sub>2</sub> ]	T [q]	T [P <sub>1</sub> ]	T [P <sub>2</sub> ]	T [P <sub>3</sub> ]	T [m <sub>1</sub> ]	T [m <sub>2</sub> ]	$\Sigma T$ [kN]
1	2	3	4	5	6	7	8	9	10	11	12	13	14	15
5,0	-1,0	0	1	0	0	0	0	0	-200,0	0	0	0	0	-200,00
4,5	-0,9	0,084	0,60	-0,05	0,00	-0,50	-0,07	6,30	-120,0	-12,50	0,00	-9,00	-1,54	-136,74
4,0	-0,8	0,113	0,35	-0,09	0,00	-0,74	-0,13	8,47	-70,0	-22,50	0,00	-13,32	-2,86	-100,21
3,5	-0,7	0,117	0,19	-0,11	0,01	-0,85	-0,18	8,77	-38,0	-27,50	0,70	-15,30	-3,96	-75,29
3,0	-0,6	0,108	0,08	-0,13	0,03	-0,88	-0,23	8,10	-16,0	-32,50	2,10	-15,84	-5,06	-59,20
2,5	-0,5	0,094	0,01	-0,14	0,04	-0,86	-0,28	7,05	-2,0	-35,00	2,80	-15,48	-6,16	-48,79
2,0	-0,4	0,077	-0,05	-0,15	0,07	-0,82	-0,33	5,77	10,0	-37,50	4,90	-14,76	-7,26	-38,85
1,5	-0,3	0,058	-0,09	-0,15	0,09	-0,77	-0,39	4,35	18,0	-37,50	5,60	-13,86	-8,58	-31,99
1,0	-0,2	0,039	-0,12	-0,16	0,13	-0,71	-0,45	2,92	24,0	-40,00	9,10	-12,78	-9,90	-26,66
0,5	-0,1	0,020	-0,14	-0,15	0,17	-0,64	-0,51	1,50	28,0	-37,50	11,90	-11,52	-11,22	-18,84
0	0,0	0,0	-0,15	-0,15	0,21	-0,58	-0,58	0	30,0	-37,50	14,70	-10,44	-12,76	-16,00
0,5	0,1	-0,020	-0,15	-0,14	0,26	-0,51	-0,64	-1,50	30,0	-35,00	18,20	-9,18	-14,08	-11,56
1,0	0,2	-0,039	-0,16	-0,12	0,32	-0,45	-0,71	-2,92	32,0	-30,00	22,40	-8,10	-15,62	-2,24
1,5	0,3	-0,058	-0,15	-0,09	0,38	-0,39	-0,77	-4,35	30,0	-22,50	26,60	-7,02	-16,94	5,79
2,0	0,4	-0,077	-0,15	-0,05	0,45	-0,33	-0,82	-5,77	30,0	-12,50	31,50	-5,94	-18,04	19,25
					-0,55						-38,50			-50,75
2,5	0,5	-0,094	-0,14	0,01	-0,48	-0,28	-0,86	-7,05	28,0	2,50	-33,60	-5,04	-18,92	-34,11
3,0	0,6	-0,108	-0,13	0,08	-0,40	-0,23	-0,88	-8,10	26,0	20,00	-28,00	-4,14	-19,36	-13,60
3,5	0,7	-0,117	-0,11	0,19	-0,34	-0,18	-0,85	-8,77	22,0	47,50	-23,80	-3,24	-18,70	14,99
4,0	0,8	-0,113	-0,09	0,35	-0,26	-0,13	-0,74	-8,47	18,0	87,50	-18,23	-2,34	-16,28	-60,21
4,5	0,9	-0,084	-0,05	0,60	-0,16	-0,07	-0,50	-6,30	10,0	150,00	-11,20	-1,26	-11,00	130,24
5,0	1,0	0	0	1	0	0	0	0	0	250,00	0	0	0	250,00



Tabelul 5.29.c.

Tabel centralizator pentru diagrama de momente încovoietoare

x	$\xi$	$\bar{M}$	$\bar{M}$	$\bar{M}$	$\bar{M}$	$\bar{M}$	$\bar{M}$	M	M	M	M	M	M	$\Sigma M$
[m]		[q]	[P <sub>1</sub> ]	[P <sub>2</sub> ]	[P <sub>3</sub> ]	[m <sub>1</sub> ]	[m <sub>2</sub> ]	[q]	[P <sub>1</sub> ]	[P <sub>2</sub> ]	[P <sub>3</sub> ]	[m <sub>1</sub> ]	[m <sub>2</sub> ]	[kNm]
1	2	3	4	5	6	7	8	9	10	11	12	13	14	15
5,0	-1,0	0	0	0	0	-1	0	0	0	0	0	90	0	90
4,5	-0,9	0,005	-0,08	0,00	0,00	-0,97	0,00	1,87	-80	0,00	0,00	87,30	0	9,17
4,0	-0,8	0,015	-0,12	-0,01	0,00	-0,91	-0,01	5,62	-120	-12,50	0,00	81,90	1,10	-43,88
3,5	-0,7	0,027	-0,15	-0,02	0,00	-0,83	-0,03	10,12	-150	-25,00	0,00	74,70	3,30	-86,88
3,0	-0,6	0,038	-0,16	-0,03	0,00	-0,74	-0,05	14,25	-160	-37,50	0,00	66,60	5,50	-111,15
2,5	-0,5	0,048	-0,17	-0,05	0,00	-0,65	-0,08	18,00	-170	-62,50	0,00	58,50	8,80	-147,20
2,0	-0,4	0,057	-0,17	-0,06	0,01	-0,57	-0,11	21,37	-170	-75,00	3,50	51,30	12,10	-156,73
1,5	-0,3	0,063	-0,16	-0,07	0,02	-0,49	-0,14	23,62	-160	-87,50	7,00	44,10	15,40	-157,38
1,0	-0,2	0,068	-0,15	-0,09	0,03	-0,42	-0,18	25,50	-150	-112,50	10,50	37,80	19,80	-168,90
0,5	-0,1	0,071	-0,13	-0,11	0,04	-0,35	-0,23	26,62	-130	-137,50	14,00	31,50	25,30	-170,08
0	0	0,072	-0,12	-0,12	0,06	-0,29	-0,29	27,00	-120	-150,00	21,00	26,10	31,90	-164,00
0,5	0,1	0,071	-0,11	-0,13	0,09	-0,23	-0,35	26,62	-110	-162,50	31,50	20,70	38,50	-155,18
1,0	0,2	0,068	-0,09	-0,15	0,12	-0,18	-0,42	25,50	-90	-187,50	42,00	16,20	46,20	-147,60
1,5	0,3	0,063	-0,07	-0,16	0,15	-0,14	-0,49	23,62	-70	-200,00	52,50	12,60	53,90	-127,38
2,0	0,4	0,057	-0,06	-0,17	0,19	-0,11	-0,57	21,37	-60	-212,50	66,50	9,90	62,70	-112,03
2,5	0,5	0,048	-0,05	-0,17	0,14	-0,08	-0,65	18,00	-50	-212,50	49,00	7,20	71,50	-116,80
3,0	0,6	0,038	-0,03	-0,16	0,10	-0,05	-0,74	14,25	-30	-200,00	35,00	4,50	81,40	-94,85
3,5	0,7	0,027	-0,02	-0,15	0,06	-0,03	-0,83	10,12	-20	-187,50	21,00	2,70	91,30	-82,38
4,0	0,8	0,015	-0,01	-0,12	0,03	-0,01	-0,91	5,62	-10	-150,00	10,50	0,90	100,10	-42,88
4,5	0,9	0,005	0,00	-0,08	0,01	0,00	-0,97	0,00	0,00	-100,00	3,50	0,00	106,70	12,07
5,0	1,0	0	0	0	0	0	1*	0	0	0	0	0	110,00	110,00

- 130 -

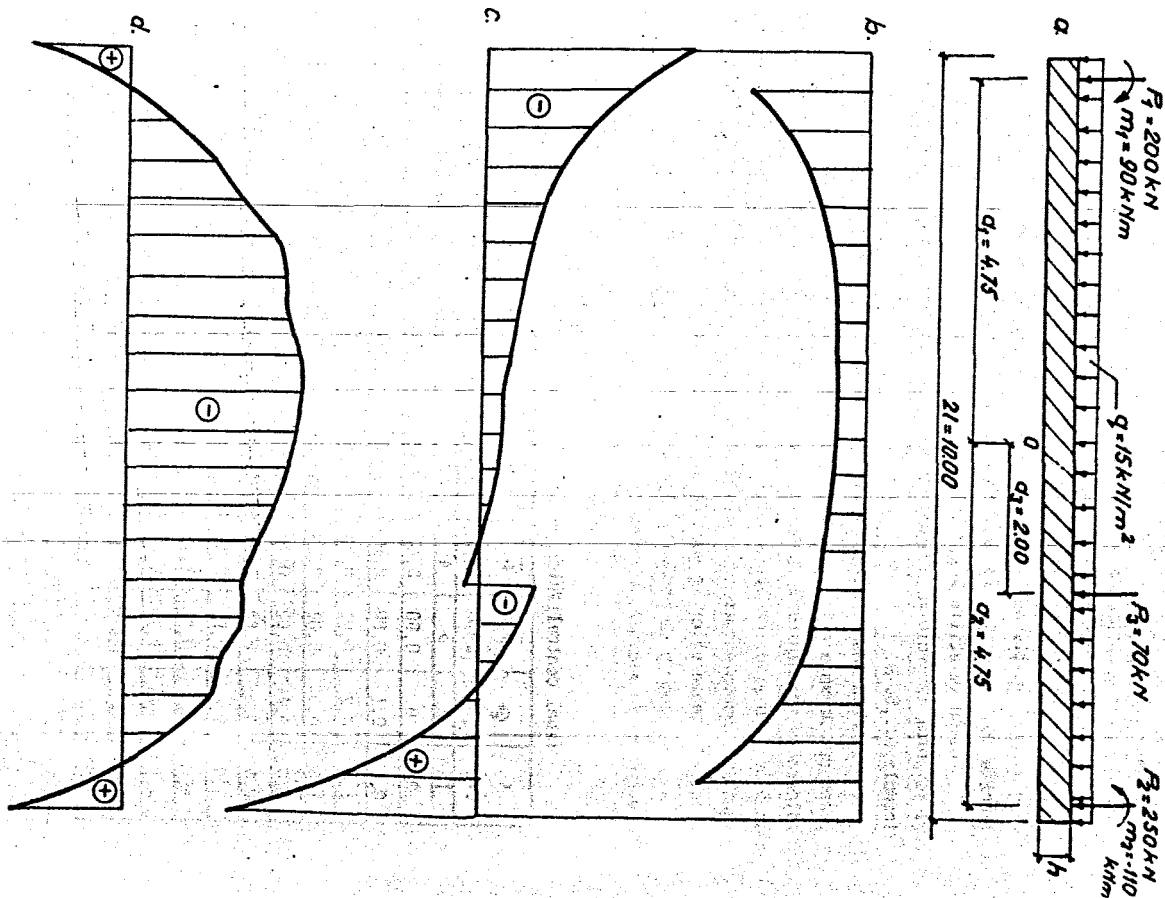


Fig. 5.3 - Fâșie elastică pe mediu elastic  
 a - schema de încărcare; b - diagrama de presiune;  
 c - diagrama de forțe tăietoare; d - diagrama de  
 momente încovoietoare.

- 131 -

5. Coeficienții adimensionali  $\bar{p}$ ,  $\bar{T}$  și  $\bar{M}$  se scot din tabele, după cum urmează:

- pentru încărcarea uniform distribuită  $q$  - tabelele 5.1.a,b și c;
- pentru încărcarea cu forța concentrată  $P_1$  - tabelele 5.14 a,b și c;
- pentru încărcarea cu moment incovoietor  $m_1$  - tabelele 5.27,a,b și c.

Coeficienții adimensionali  $\bar{p}$ ,  $\bar{T}$  și  $\bar{M}$ , rezultați din tabelele sus-menționate, sunt înscrși în tabelele 5.30 a, b și c, coloanele 3...5.

6. Cu relațiile 5.2...5.10 se calculează presiunea, forța tăietoare și momentul incovoietor, valori care se trec în tabelele 5.30 a, b și c, coloanele 6...8.

7. Prin însumarea efectelor încărcărilor care acționează pe semilungimea din dreapta a fâșiei unitare, se obțin valorile presiunii, forței tăietoare și momentului incovoietor, valori prezentate în coloana 9 din tabelele 5.30 a, b și c. Pentru semilungimea din stânga, valorile presiunilor și momentelor incovoietoare sunt simetrice și egale cu cele din dreapta; pentru forța tăietoare valorile sunt egale, dar cu semn schimbat.

Diagramele de presiuni, forțe tăietoare și momente incovoietoare sunt prezentate în fig.5.4. b, c și d.

Tabel 5.30.a.

Tabel centralizator pentru diagrama de presiuni

x [m]	$\xi$	$\bar{p}$ [q]	$\bar{p}$ [P <sub>1</sub> ]	$\bar{p}$ [m <sub>1</sub> ]	$\bar{p}$ [q]	$\bar{p}$ [P <sub>1</sub> ]	$\bar{p}$ [m <sub>1</sub> ]	$\Sigma p$ [kPa]
1	2	3	4	5	6	7	8	9
0	0	0,80	0,17	-1,32	12,00	8,50	4,75	25,25
0,5	0,1	0,80	0,18	-1,30	12,00	9,00	4,68	25,68
1,0	0,2	0,81	0,22	-1,25	12,15	11,00	4,50	27,65
1,5	0,3	0,81	0,29	-1,16	12,15	14,50	4,17	30,82
2,0	0,4	0,82	0,40	-1,02	12,30	20,00	3,67	35,97
2,5	0,5	0,84	0,55	-0,80	12,60	27,50	2,88	42,98
3,0	0,6	0,88	0,77	-0,46	13,20	38,50	1,65	53,35
3,5	0,7	0,96	1,11	0,11	14,40	55,50	-0,39	69,51
4,0	0,8	1,13	1,67	1,06	16,95	83,50	-3,81	96,64
4,5	0,9	1,50	2,66	2,81	22,50	133,00	-10,11	145,39
5,0	1,0	-	-	-	-	-	-	-

Tabel 5.30.b.

Tabel centralizator pentru diagrama de forțe tăietoare

x [m]	$\xi$	$\bar{T}$ [q]	$\bar{T}$ [P <sub>1</sub> ]	$\bar{T}$ [m <sub>1</sub> ]	$\bar{T}$ [q]	$\bar{T}$ [P <sub>1</sub> ]	$\bar{T}$ [m <sub>1</sub> ]	$\Sigma T$ [kN]
1	2	3	4	5	6	7	8	9
0	0	0	0	0	0	0	0	0
0,5	0,1	-0,020	0,02	-0,13	-1,50	5,00	2,34	5,84
1,0	0,2	-0,039	0,04	-0,26	-2,92	10,00	4,68	11,76
1,5	0,3	-0,058	0,06	-0,38	-4,35	15,00	6,84	17,49
2,0	0,4	-0,077	0,10	-0,49	-5,77	25,00	8,82	28,05
2,5	0,5	-0,094	0,15	-0,58	-7,05	37,50	10,44	40,94
3,0	0,6	-0,108	0,21	-0,65	-8,10	52,50	11,70	56,10
3,5	0,7	-0,117	0,30	-0,67	-8,77	75,00	12,06	78,29
4,0	0,8	-0,113	0,44	-0,61	-8,47	110,00	10,98	112,51
4,5	0,9	-0,084	0,65	-0,43	-6,30	162,50	7,74	163,94
5,0	1,0	0	1*	0	0	250,00	0	250,00

Tabelul 5.30.c.

Tabel centralizator pentru diagrama de momente incovoietoare

x [m]	$\xi$	$\bar{M}$ [q]	$\bar{M}$ [P <sub>1</sub> ]	$\bar{M}$ [m <sub>1</sub> ]	$\bar{M}$ [q]	$\bar{M}$ [P <sub>1</sub> ]	$\bar{M}$ [m <sub>1</sub> ]	$\Sigma M$ [kNm]
1	2	3	4	5	6	7	8	9
0	0	0,072	-0,24	-0,57	27,00	-300,00	51,30	-221,70
0,5	0,1	0,071	-0,24	-0,58	26,62	-300,00	52,20	-221,18
1,0	0,2	0,068	-0,24	-0,60	25,50	-300,00	54,00	-220,50
1,5	0,3	0,063	-0,23	-0,63	23,62	-287,50	56,70	-207,18
2,0	0,4	0,057	-0,23	-0,68	21,37	-287,50	61,29	-204,93
2,5	0,5	0,048	-0,21	-0,73	18,00	-262,50	65,70	-178,80
3,0	0,6	0,038	-0,20	-0,79	14,25	-250,00	71,10	-164,65
3,5	0,7	0,027	-0,17	-0,86	10,12	-212,50	77,40	-124,98
4,0	0,8	0,012	-0,13	-0,92	5,62	-162,50	82,80	-74,08
4,5	0,9	0,005	-0,08	-0,98	1,87	-100,00	88,20	-9,93
5,0	1,0	0	0	-1*	0	0	90,00	90,00

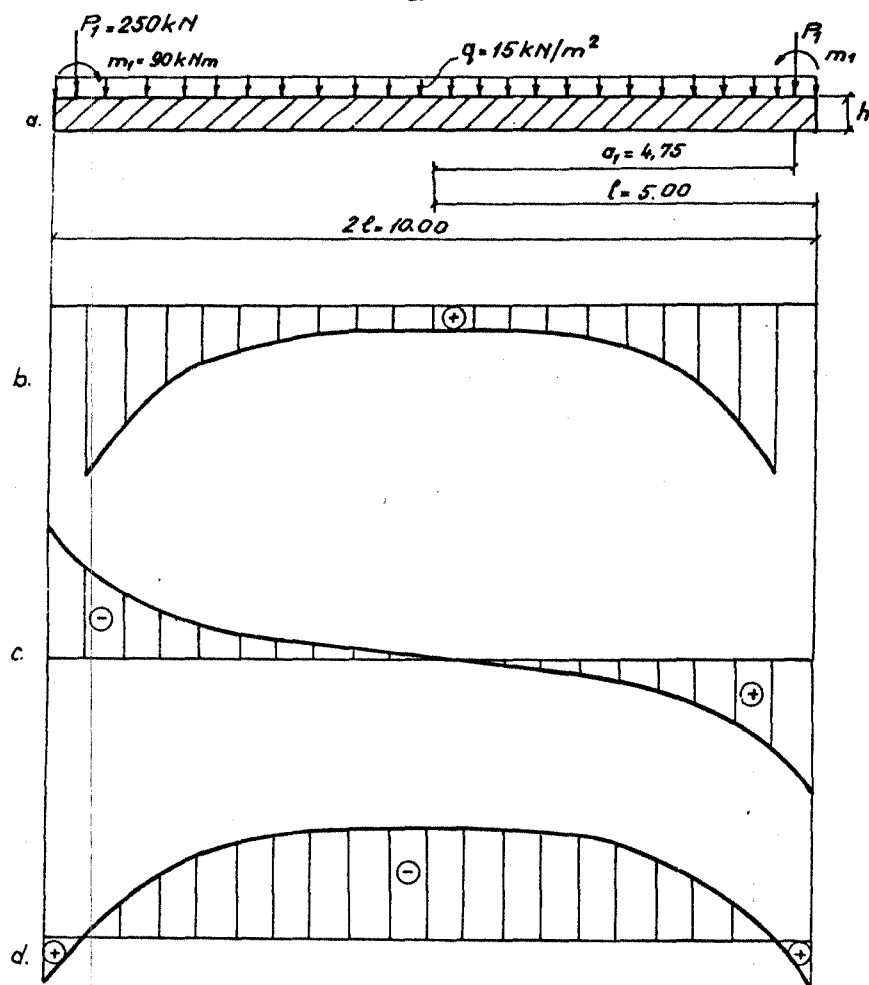
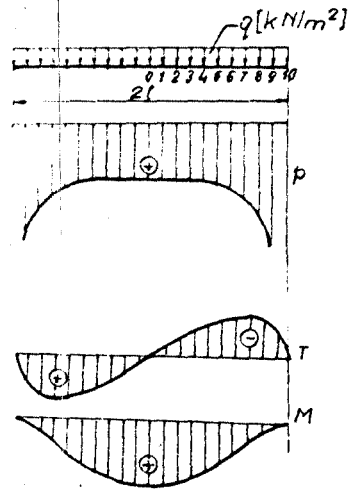


Fig. 5.4- Fâșie elastică pe mediu elastic încărcată simetric  
 a- schema de încărcare; b- diagrama de presiune;  
 c- diagrama de forțe tăietoare; d- diagrama de momente.

ANEXA 5.1.

Tabelele 5.1. ... 5.28.

TABELE PENTRU FÂSIA DE LĂȚIME UNITARĂ ÎNCĂRCATĂ CU O SARCINĂ UNIFORM DISTRIBUITĂ



Formule de calcul

$$p = \bar{p} q \quad [\text{kN/m}^2]$$

$$T = \bar{T} l q \quad [\text{kN}]$$

$$M = \bar{M} b' l^2 q \quad [\text{kNm}]$$

$$b' = 1.0 \text{ m}$$

$\bar{p}$

Tabelul 5.1a

$t$ \ $\xi$	0.0	0.1	0.2	0.3	0.4	0.5	0.6	0.7	0.8	0.9	1.0
0	0.64	0.64	0.65	0.67	0.69	0.74	0.80	0.89	1.06	1.46	—
1	0.69	0.70	0.71	0.72	0.75	0.80	0.87	0.99	1.23	1.69	—
2	0.72	0.72	0.74	0.74	0.77	0.81	0.87	0.99	1.21	1.65	—
3	0.74	0.74	0.75	0.76	0.78	0.81	0.87	0.99	1.19	1.61	—
5	0.77	0.78	0.78	0.79	0.80	0.83	0.88	0.97	1.16	1.55	—
7	0.80	0.80	0.81	0.81	0.82	0.84	0.88	0.96	1.13	1.50	—
10	0.84	0.84	0.84	0.84	0.84	0.85	0.88	0.95	1.11	1.44	—
15	0.88	0.88	0.87	0.87	0.87	0.87	0.89	0.94	1.07	1.37	—
20	0.90	0.90	0.90	0.89	0.89	0.88	0.89	0.93	1.05	1.32	—
30	0.94	0.94	0.93	0.92	0.91	0.90	0.90	0.92	1.01	1.26	—
50	0.97	0.97	0.96	0.95	0.94	0.92	0.91	0.92	0.99	1.18	—

Tabelul 5.1b

$\bar{T}$

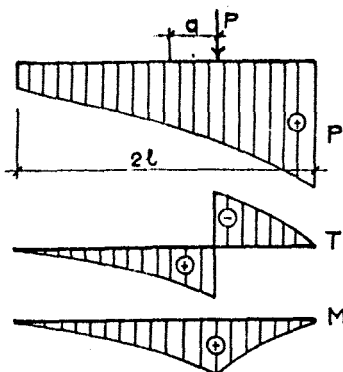
$t$ \ $\xi$	0.0	0.1	0.2	0.3	0.4	0.5	0.6	0.7	0.8	0.9	1.0
0	0	-0.036	-0.072	-0.106	-0.138	-0.167	-0.190	-0.206	-0.210	-0.197	0
1	0	-0.030	-0.060	-0.089	-0.115	-0.138	-0.155	-0.163	-0.153	-0.110	0
2	0	-0.028	-0.056	-0.082	-0.107	-0.128	-0.145	-0.153	-0.144	-0.104	0
3	0	-0.026	-0.052	-0.076	-0.099	-0.120	-0.136	-0.144	-0.136	-0.099	0
5	0	-0.022	-0.045	-0.066	-0.087	-0.105	-0.121	-0.129	-0.124	-0.090	0
7	0	-0.020	-0.039	-0.058	-0.077	-0.094	-0.108	-0.117	-0.113	-0.084	0
10	0	-0.016	-0.033	-0.049	-0.065	-0.080	-0.094	-0.103	-0.101	-0.075	0
15	0	-0.012	-0.025	-0.038	-0.051	-0.064	-0.076	-0.085	-0.085	-0.065	0
20	0	-0.010	-0.019	-0.030	-0.041	-0.053	-0.064	-0.073	-0.075	-0.060	0
30	0	-0.006	-0.012	-0.020	-0.026	-0.038	-0.048	-0.057	-0.061	-0.050	0
50	0	-0.003	-0.006	-0.010	-0.015	-0.022	-0.031	-0.040	-0.045	-0.039	0

Tabelul 5.1c

$\bar{M}$

$t$ \ $\xi$	0.0	0.1	0.2	0.3	0.4	0.5	0.6	0.7	0.8	0.9	1.0
0	0.137	0.115	0.129	0.120	0.108	0.093	0.075	0.055	0.034	0.014	0
1	0.103	0.101	0.097	0.089	0.079	0.066	0.052	0.036	0.020	0.006	0
2	0.096	0.095	0.091	0.084	0.074	0.063	0.049	0.034	0.019	0.005	0
3	0.090	0.089	0.085	0.079	0.070	0.059	0.046	0.032	0.018	0.005	0
5	0.080	0.079	0.076	0.070	0.063	0.053	0.042	0.029	0.016	0.005	0
7	0.072	0.071	0.068	0.063	0.057	0.048	0.038	0.027	0.015	0.005	0
10	0.063	0.062	0.059	0.055	0.050	0.042	0.034	0.024	0.013	0.004	0
15	0.051	0.050	0.049	0.046	0.041	0.036	0.028	0.020	0.011	0.004	0
20	0.043	0.043	0.041	0.039	0.035	0.031	0.025	0.018	0.010	0.003	0
30	0.033	0.033	0.032	0.030	0.028	0.024	0.020	0.015	0.009	0.003	0
50	0.022	0.021	0.021	0.020	0.019	0.017	0.014	0.011	0.007	0.002	0

# TABELE PENTRU FIȘII DE LUNGIME FINITĂ, DE LĂȚIME UNITARĂ INCĂRCATE CU O FORȚĂ CONCENTRATĂ



Formule de calcul

$$p = \bar{p} \frac{P}{b \cdot l} \text{ [kN/m]}$$

$$T = \pm \bar{T} P \text{ [kN]}$$

$$M = \bar{M} l P \text{ [kNm]}$$

$$b = 1.0 \text{ m}$$

$$\alpha = \frac{a}{l}$$

NOTĂ:

Semnul + din relația forței tăietoare corespunde cazului cind forța P se găsește în jumătatea din dreapta a fișei.

t = 0,  $\bar{p}$

tabelul 5.2a

$\alpha \backslash \xi$	-1,0	-0,9	-0,8	-0,7	-0,6	-0,5	-0,4	-0,3	-0,2	-0,1	0,0	0,1	0,2	0,3	0,4	0,5	0,6	0,7	0,8	0,9	1,0	
0,0	$\infty$	0,73	0,53	0,46	0,40	0,37	0,35	0,33	0,32	0,32	0,32	0,32	0,32	0,33	0,35	0,37	0,40	0,45	0,53	0,73	$\infty$	0,0
0,1	$\infty$	0,60	0,45	0,38	0,35	0,33	0,32	0,31	0,31	0,31	0,32	0,33	0,34	0,35	0,37	0,40	0,45	0,51	0,61	0,86	$\infty$	-0,1
0,2	$\infty$	0,47	0,36	0,32	0,30	0,29	0,29	0,29	0,30	0,31	0,32	0,33	0,35	0,37	0,40	0,44	0,49	0,57	0,70	0,99	$\infty$	-0,2
0,3	$\infty$	0,34	0,28	0,26	0,25	0,26	0,26	0,27	0,29	0,30	0,32	0,34	0,36	0,39	0,43	0,48	0,54	0,63	0,78	1,12	$\infty$	-0,3
0,4	$\infty$	0,20	0,19	0,20	0,21	0,22	0,24	0,25	0,27	0,29	0,32	0,35	0,38	0,41	0,46	0,51	0,59	0,69	0,87	1,26	$\infty$	-0,4
0,5	0	0,07	0,11	0,13	0,16	0,18	0,21	0,23	0,26	0,29	0,32	0,35	0,39	0,43	0,49	0,55	0,64	0,76	0,95	1,39	$\infty$	-0,5
0,6	$-\infty$	-0,06	0,02	0,07	0,11	0,15	0,18	0,21	0,25	0,28	0,32	0,36	0,40	0,45	0,51	0,59	0,68	0,82	1,04	1,52	$\infty$	-0,6
0,7	$-\infty$	-0,19	-0,06	-0,01	0,06	0,11	0,15	0,19	0,23	0,27	0,32	0,36	0,42	0,47	0,54	0,62	0,73	0,88	1,12	1,65	$\infty$	-0,7
0,8	$-\infty$	-0,32	-0,15	-0,05	0,02	0,07	0,12	0,17	0,22	0,27	0,32	0,37	0,43	0,49	0,57	0,66	0,78	0,94	1,21	1,78	$\infty$	-0,8
0,9	$-\infty$	-0,45	-0,23	-0,12	-0,03	0,04	0,10	0,15	0,21	0,26	0,32	0,38	0,44	0,51	0,60	0,70	0,83	1,01	1,29	1,91	$\infty$	-0,9
1,0	$-\infty$	-0,58	-0,32	-0,18	-0,08	0	0,07	0,13	0,19	0,26	0,32	0,38	0,45	0,53	0,63	0,73	0,87	1,07	1,38	2,04	$\infty$	-1,0
	1,0	0,9	0,8	0,7	0,6	0,5	0,4	0,3	0,2	0,1	0,0	-0,1	-0,2	-0,3	-0,4	-0,5	-0,6	-0,7	-0,8	-0,9	1,0	$\alpha$

- 138 -

$\bar{T}$

t = 0

tab. 5.2b

$\alpha \backslash \xi$	-1,0	-0,9	-0,8	-0,7	-0,6	-0,5	-0,4	-0,3	-0,2	-0,1	0,0	0,1	0,2	0,3	0,4	0,5	0,6	0,7	0,8	0,9	1,0	
0,0	0	0,14	0,20	0,25	0,29	0,33	0,37	0,40	0,44	0,47	0,50	-0,47	-0,44	-0,40	-0,37	-0,33	-0,29	-0,25	-0,20	-0,14	0	0,0
0,1	0	0,12	0,17	0,21	0,24	0,28	0,31	0,34	0,37	0,40	0,44	0,47	-0,50	-0,46	-0,43	-0,39	-0,35	-0,30	-0,24	-0,17	0	0,1
0,2	0	0,09	0,13	0,16	0,19	0,22	0,25	0,28	0,31	0,34	0,37	0,40	0,44*	-0,52	-0,49	-0,44	-0,40	-0,34	-0,28	-0,20	0	0,2
0,3	0	0,06	0,09	0,12	0,14	0,17	0,19	0,22	0,25	0,28	0,31	0,34	0,38	0,42*	-0,54	-0,50	-0,45	-0,39	-0,32	-0,23	0	0,3
0,4	0	0,03	0,05	0,07	0,09	0,11	0,14	0,17	0,19	0,21	0,24	0,28	0,31	0,35	0,40*	-0,55	-0,50	-0,43	-0,36	-0,26	0	0,4
0,5	0	0,00	0,01	0,03	-0,04	0,06	0,08	0,10	0,12	0,15	0,18	0,21	0,25	0,29	0,34	0,39*	-0,55	-0,48	-0,40	-0,28	0	0,5
0,6	0	-0,02	-0,02	-0,02	-0,01	0,00	0,02	0,04	0,06	0,09	0,12	0,15	0,19	0,23	0,28	0,34	0,40*	-0,53	-0,43	-0,31	0	0,6
0,7	0	-0,05	-0,06	-0,06	-0,06	-0,05	-0,04	-0,02	0,00	0,02	0,05	0,09	0,13	0,17	0,22	0,28	0,35	0,43*	-0,47	-0,34	0	0,7
0,8	0	-0,08	-0,10	-0,11	-0,11	-0,11	-0,10	-0,08	-0,06	-0,04	-0,01	-0,02	0,00	0,11	0,16	0,23	0,30	0,36	0,45*	-0,37	0	0,8
0,9	0	-0,11	-0,14	-0,16	-0,16	-0,16	-0,16	-0,14	-0,13	-0,10	-0,07	-0,04	0,00	0,05	0,11	0,17	0,25	0,34	0,45	0,61*	0	0,9
1,0	0	-0,13	-0,18	-0,20	-0,21	-0,22	-0,21	-0,20	-0,19	-0,16	-0,14	-0,10	-0,06	-0,01	0,05	0,11	0,20	0,29	0,41	0,58	1 *	1,0
	1,0	0,9	0,8	0,7	0,6	0,5	0,4	0,3	0,2	0,1	0,0	-0,1	-0,2	-0,3	-0,4	-0,5	-0,6	-0,7	-0,8	-0,9	-1,0	$\xi \backslash \alpha$

- 139 -

$\bar{M}$

t = 0

tab. 5.2c

$\alpha \backslash \xi$	-1,0	-0,9	-0,8	-0,7	-0,6	-0,5	-0,4	-0,3	-0,2	-0,1	0,0	0,1	0,2	0,3	0,4	0,5	0,6	0,7	0,8	0,9	1,0	
0,0	0	0,01	0,03	0,05	0,08	0,11	0,14	0,18	0,22	0,27	0,32	0,27	0,22	0,18	0,14	0,11	0,08	0,05	0,03	0,01	0	0,0
0,1	0	0,01	0,02	0,04	0,06	0,09	0,12	0,15	0,19	0,23	0,27	0,31	0,26	0,21	0,17	0,13	0,09	0,06	0,03	0,01	0	0,1
0,2	0	0,01	0,02	0,03	0,05	0,07	0,09	0,12	0,15	0,18	0,22	0,26	0,30	0,24	0,19	0,15	0,11	0,07	0,04	0,01	0	0,2
0,3	0	0,00	0,01	0,02	0,03	0,05	0,07	0,09	0,11	0,14	0,17	0,20	0,24	0,28	0,22	0,17	0,12	0,08	0,04	0,01	0	0,3
0,4	0	0,00	0,01	0,01	0,02	0,03	0,04	0,06	0,07	0,09	0,12	0,14	0,17	0,21	0,24	0,19	0,13	0,09	0,05	0,01	0	0,4
0,5	0	0,00	0,00	0,00	0,01	0,01	0,02	0,03	0,04	0,05	0,07	0,09	0,11	0,14	0,17	0,21	0,15	0,10	0,05	0,02	0	0,5
0,6	0	0,00	0,00	-0,01	-0,01	-0,01	-0,01	-0,01	0,00	0,01	0,02	0,03	0,05	0,07	0,09	0,13	0,16	0,11	0,06	0,02	0	0,6
0,7	0	0,00	-0,01	-0,02	-0,02	-0,03	-0,03	-0,04	-0,04	-0,04	-0,03	-0,02	-0,01	0,00	0,02	0,05	0,08	0,12	0,06	0,02	0	0,7
0,8	0	-0,01	-0,01	-0,02	-0,03	-0,05	-0,06	-0,07	-0,07	-0,08	-0,08	-0,08	-0,08	-0,07	-0,05	-0,03	-0,01	-0,02	0,07	0,02	0	0,8
0,9	0	-0,01	-0,02	-0,03	-0,05	-0,07	-0,08	-0,10	-0,11	-0,12	-0,13	-0,14	-0,14	-0,14	-0,13	-0,11	-0,09	-0,06	-0,03	0,03	0	0,9
1,0	0	-0,01	-0,02	-0,04	-0,06	-0,09	-0,11	-0,13	-0,15	-0,17	-0,18	-0,19	-0,20	-0,20	-0,20	-0,20	-0,18	-0,16	-0,12	-0,07	0	1,0
	1,0	0,9	0,8	0,7	0,6	0,5	0,4	0,3	0,2	0,1	0,0	-0,1	-0,2	-0,3	-0,4	-0,5	-0,6	-0,7	-0,8	-0,9	-1,0	$\alpha$

t.1 $\bar{p}$																						tab.5.3a	
$\alpha \backslash \bar{p}$	-1.0	-0.9	-0.8	-0.7	-0.6	-0.5	-0.4	-0.3	-0.2	-0.1	0.0	0.1	0.2	0.3	0.4	0.5	0.6	0.7	0.8	0.9	1.0		
0.0	-	0.76	0.57	0.47	0.43	0.41	0.39	0.39	0.39	0.39	0.39	0.39	0.39	0.39	0.41	0.43	0.47	0.57	0.76	-	0.0		
0.1	-	0.62	0.46	0.40	0.37	0.36	0.36	0.36	0.37	0.38	0.39	0.40	0.41	0.42	0.43	0.46	0.49	0.56	0.69	1.04	-	-0.1	
0.2	-	0.45	0.37	0.33	0.31	0.31	0.32	0.33	0.35	0.37	0.38	0.40	0.43	0.45	0.47	0.50	0.56	0.65	0.82	1.41	-	-0.2	
0.3	-	0.30	0.26	0.25	0.25	0.27	0.28	0.30	0.32	0.35	0.37	0.40	0.44	0.48	0.53	0.59	0.68	0.80	1.03	1.48	-	-0.3	
0.4	-	0.15	0.15	0.17	0.20	0.22	0.24	0.27	0.30	0.33	0.36	0.40	0.44	0.48	0.53	0.59	0.68	0.80	1.03	1.48	-	-0.4	
0.5	-	0.00	0.05	0.09	0.14	0.17	0.21	0.24	0.27	0.31	0.35	0.39	0.44	0.49	0.56	0.63	0.74	0.89	1.16	1.66	-	-0.5	
0.6	-	-0.15	-0.04	0.02	0.08	0.12	0.17	0.21	0.25	0.29	0.34	0.39	0.44	0.50	0.58	0.67	0.80	0.98	1.29	1.85	-	-0.6	
0.7	-	-0.30	-0.15	-0.05	0.02	0.08	0.13	0.16	0.22	0.27	0.32	0.38	0.44	0.51	0.60	0.70	0.85	1.07	1.42	2.05	-	-0.7	
0.8	-	-0.45	-0.25	-0.13	-0.04	0.03	0.09	0.15	0.20	0.25	0.31	0.37	0.44	0.52	0.63	0.74	0.90	1.14	1.54	2.25	-	-0.8	
0.9	-	-0.59	-0.32	-0.20	-0.09	-0.01	0.05	0.11	0.17	0.23	0.30	0.36	0.44	0.53	0.63	0.77	0.95	1.22	1.64	2.46	-	-0.9	
1.0	-	-0.73	-0.45	-0.27	-0.15	-0.06	0.02	0.08	0.15	0.21	0.28	0.36	0.44	0.54	0.65	0.80	1.00	1.30	1.79	2.66	-	-1.0	
	1.0	0.9	0.8	0.7	0.6	0.5	0.4	0.3	0.2	0.1	0.0	-0.1	-0.2	-0.3	-0.4	-0.5	-0.6	-0.7	-0.8	-0.9	-1.0	$\alpha$	

$\alpha$

$t = 1$

$\bar{T}$

tab. 5.3b

$\alpha \backslash \bar{T}$	-1.0	-0.9	-0.8	-0.7	-0.6	-0.5	-0.4	-0.3	-0.2	-0.1	0.0	0.1	0.2	0.3	0.4	0.5	0.6	0.7	0.8	0.9	1.0	
0.0	0	0.10	0.16	0.22	0.26	0.30	0.34	0.38	0.42	0.46	0.50	-0.46	-0.42	-0.38	-0.34	-0.30	-0.26	-0.22	-0.16	-0.10	0	0.0
0.1	0	0.08	0.13	0.17	0.21	0.25	0.28	0.32	0.35	0.39	0.43	0.47	-0.49	-0.45	-0.40	-0.36	-0.31	-0.26	-0.20	-0.11	0	-0.1
0.2	0	0.05	0.09	0.13	0.16	0.19	0.22	0.25	0.29	0.33	0.36	0.40	0.45	-0.51	-0.47	-0.42	-0.36	-0.30	-0.23	-0.14	0	-0.2
0.3	0	0.03	0.06	0.08	0.10	0.14	0.17	0.20	0.23	0.26	0.30	0.34	0.38	-0.42	-0.33	-0.48	-0.42	-0.35	-0.27	-0.16	0	-0.3
0.4	0	0.02	0.03	0.05	0.07	0.09	0.11	0.14	0.16	0.20	0.23	0.27	0.31	0.36	0.41	-0.34	-0.47	-0.40	-0.31	-0.19	0	-0.4
0.5	0	0.00	0.00	0.01	0.02	0.03	0.05	0.08	0.10	0.13	0.16	0.20	0.24	0.29	0.34	0.40	0.53	-0.45	-0.35	-0.21	0	-0.5
0.6	0	-0.02	-0.03	-0.03	-0.03	-0.02	0.00	0.02	0.04	0.07	0.10	0.13	0.17	0.22	0.28	0.34	0.41	-0.50	-0.39	-0.23	0	-0.6
0.7	0	-0.04	-0.06	-0.07	-0.07	-0.07	-0.06	-0.04	-0.02	0.00	0.03	0.07	0.11	0.16	0.21	0.28	0.35	0.45	-0.42	-0.26	0	-0.7
0.8	0	-0.06	-0.09	-0.11	-0.12	-0.12	-0.11	-0.10	-0.08	-0.06	-0.03	0.00	0.04	0.09	0.15	0.21	0.30	0.40	0.53	0.28	0	-0.8
0.9	0	-0.08	-0.12	-0.15	-0.17	-0.17	-0.17	-0.16	-0.14	-0.12	-0.10	-0.07	-0.02	0.02	0.08	0.15	0.24	0.34	0.49	0.69	0	-0.9
1.0	0	-0.10	-0.15	-0.19	-0.21	-0.22	-0.22	-0.22	-0.21	-0.19	-0.16	-0.13	-0.09	-0.04	0.02	0.09	0.18	0.29	0.44	0.66	1.0	-1.0
	1.0	0.9	0.8	0.7	0.6	0.5	0.4	0.3	0.2	0.1	0.0	-0.1	-0.2	-0.3	-0.4	-0.5	-0.6	-0.7	-0.8	-0.9	-1.0	$\alpha$

t.1  $\bar{M}$

tab.5.3c

$\alpha \backslash \bar{M}$	-1.0	-0.9	-0.8	-0.7	-0.6	-0.5	-0.4	-0.3	-0.2	-0.1	0.0	0.1	0.2	0.3	0.4	0.5	0.6	0.7	0.8	0.9	1.0	
0.0	0	0.01	0.02	0.04	0.06	0.09	0.12	0.16	0.20	0.24	0.29	0.24	0.20	0.16	0.12	0.09	0.06	0.04	0.02	0.01	0	0.0
0.1	0	0.00	0.01	0.03	0.05	0.07	0.10	0.13	0.16	0.20	0.24	0.29	0.23	0.19	0.15	0.11	0.07	0.04	0.02	0.01	0	-0.1
0.2	0	0.00	0.01	0.02	0.04	0.05	0.08	0.10	0.13	0.16	0.19	0.23	0.27	0.22	0.17	0.12	0.09	0.05	0.03	0.01	0	-0.2
0.3	0	0.00	0.01	0.01	0.02	0.04	0.05	0.07	0.09	0.11	0.14	0.17	0.21	0.25	0.19	0.14	0.10	0.06	0.03	0.01	0	-0.3
0.4	0	0.00	0.00	0.01	0.00	0.02	0.03	0.01	0.06	0.07	0.10	0.12	0.15	0.18	0.22	0.16	0.11	0.07	0.03	0.01	0	-0.4
0.5	0	0.00	0.00	0.00	-0.01	0.00	0.01	0.01	0.02	0.03	0.05	0.07	0.09	0.12	0.15	0.18	0.13	0.08	0.04	0.01	0	-0.5
0.6	0	0.00	-0.01	-0.01	-0.02	-0.01	-0.01	-0.01	0.00	0.00	0.01	0.03	0.05	0.07	0.11	0.14	0.09	0.04	0.01	0	-0.6	
0.7	0	0.00	-0.01	-0.01	-0.02	-0.03	-0.03	-0.04	-0.04	-0.04	-0.04	-0.04	-0.04	-0.02	0.00	0.03	0.06	0.10	0.05	0.01	0	-0.7
0.8	0	0.00	-0.01	-0.02	-0.03	-0.04	-0.06	-0.07	-0.08	-0.08	-0.09	-0.09	-0.09	-0.08	-0.07	-0.05	-0.03	0.01	0.05	0.02	0	-0.8
0.9	0	0.00	-0.01	-0.03	-0.04	-0.06	-0.08	-0.09	-0.11	-0.12	-0.13	-0.14	-0.14	-0.15	-0.14	-0.13	-0.11	-0.08	-0.04	0.02	0	-0.9
1.0	0	0.00	-0.02	-0.03	-0.05	-0.08	-0.10	-0.12	-0.14	-0.16	-0.18	-0.20	-0.20	-0.21	-0.21	-0.21	-0.20	-0.17	-0.14	-0.08	0	-1.0
	1.0	0.9	0.8	0.7	0.6	0.5	0.4	0.3	0.2	0.1	0.0	-0.1	-0.2	-0.3	-0.4	-0.5	-0.6	-0.7	-0.8	-0.9	-1.0	$\alpha$

t.2  $\bar{p}$  tab.5.4a

$\alpha \backslash \bar{p}$	-1.0	-0.9	-0.8	-0.7	-0.6	-0.5	-0.4	-0.3	-0.2	-0.1	0.0	0.1	0.2	0.3	0.4	0.5	0.6	0.7	0.8	0.9	1.0	
0.0	-	0.71	0.51	0.45	0.43	0.42	0.42	0.43	0.43	0.44	0.45	0.44	0.43	0.43	0.42	0.42	0.43	0.45	0.51	0.71	-	0.0
0.1	-	0.55	0.42	0.38	0.37	0.37	0.38	0.39	0.41	0.43	0.44	0.45	0.46	0.46	0.46	0.47	0.50	0.55	0.65	0.87	-	-0.1
0.2	-	0.39	0.34	0.32	0.31	0.32	0.34	0.36	0.38	0.40	0.43	0.45	0.47	0.49	0.51	0.53	0.57	0.63	0.73	1.03	-	-0.2
0.3	-	0.25	0.24	0.24	0.25	0.27	0.30	0.32	0.35	0.38	0.41	0.44	0.48	0.51	0.54	0.57	0.63	0.72	0.90	1.22	-	-0.3
0.4	-	0.10	0.14	0.17	0.20	0.23	0.26	0.29	0.32	0.35	0.39	0.43	0.47	0.52	0.56	0.62	0.69	0.80	1.01	1.41	-	-0.4
0.5	-	-0.03	0.04	0.09	0.14	0.18	0.21	0.25	0.28	0.32	0.37	0.41	0.46	0.52	0.58	0.66	0.76	0.90	1.14	1.61	-	-0.5
0.6	-	-0.16	-0.06	0.01	0.07	0.12	0.17	0.21	0.25	0.29	0.34	0.39	0.45	0.52	0.59	0.69	0.81	0.99	1.23	1.83	-	-0.6
0.7	-	-0.29	-0.15	-0.05	0.02	0.07	0.12	0.17	0.22	0.26	0.32	0.37	0.44	0.51	0.60	0.71	0.86	1.08	1.43	2.05	-	-0.7
0.8	-	-0.42	-0.24	-0.12	-0.04	0.03	0.08	0.13	0.18	0.23	0.29	0.35	0.42	0.50	0.60	0.73	0.90	1.15	1.56	2.29	-	-0.8
0.9	-	-0.54	-0.33	-0.19	-0.09	-0.02	0.04	0.09	0.15	0.20	0.26	0.33	0.41	0.50	0.61	0.75	0.94	1.23	1.70	2.52	-	-0.9
1.0	-	-0.67	-0.42	-0.26	-0.15	-0.07	0.00	0.06	0.11	0.17	0.24	0.31	0.39	0.49	0.61	0.77	0.96	1.30	1.83	2.75	-	-1.0
	1.0	0.9	0.8	0.7	0.6	0.5	0.4	0.3	0.2	0.1	0.0	-0.1	-0.2	-0.3	-0.4	-0.5	-0.6	-0.7	-0.8	-0.9	-1.0	$\alpha$

tab. 54b

$\alpha \backslash \bar{t}$	-1.0	-0.9	-0.8	-0.7	-0.6	-0.5	-0.4	-0.3	-0.2	-0.1	0.0	0.1	0.2	0.3	0.4	0.5	0.6	0.7	0.8	0.9	1.0	
0.0	0	0.09	0.15	0.20	0.24	0.28	0.33	0.37	0.41	0.45	0.50	0.45	0.41	0.37	0.33	0.28	0.24	0.20	0.15	0.09	0	0.0
0.1	0	0.07	0.12	0.15	0.19	0.23	0.27	0.30	0.34	0.39	0.43	0.47	0.48	0.43	0.39	0.34	0.29	0.24	0.18	0.10	0	-0.1
0.2	0	0.04	0.08	0.11	0.14	0.17	0.21	0.24	0.28	0.32	0.36	0.40	0.45	0.50	0.45	0.40	0.34	0.28	0.21	0.12	0	-0.2
0.3	0	0.03	0.05	0.07	0.10	0.13	0.15	0.18	0.22	0.25	0.29	0.33	0.38	0.43	0.52	0.46	0.40	0.33	0.25	0.15	0	-0.3
0.4	0	0.01	0.02	0.04	0.05	0.07	0.10	0.13	0.16	0.19	0.23	0.27	0.31	0.36	0.42	0.52	0.46	0.38	0.30	0.18	0	-0.4
0.5	0	-0.01	-0.01	-0.00	-0.01	0.03	0.05	0.07	0.10	0.13	0.16	0.20	0.24	0.29	0.39	0.41	0.52	0.46	0.38	0.30	0	-0.5
0.6	0	-0.02	-0.03	-0.03	-0.02	0.00	0.01	0.04	0.06	0.09	0.13	0.17	0.22	0.28	0.34	0.42	0.49	0.38	0.23	0	0	-0.6
0.7	0	-0.04	-0.06	-0.07	-0.07	-0.06	-0.04	-0.02	0.00	0.03	0.06	0.11	0.15	0.21	0.27	0.35	0.45	0.43	0.26	0	0	-0.7
0.8	0	-0.05	-0.09	-0.10	-0.11	-0.11	-0.11	-0.10	-0.08	0.06	-0.03	0.00	0.04	0.08	0.14	0.21	0.29	0.39	0.52	0.29	0	-0.8
0.9	0	-0.07	-0.11	-0.14	-0.15	-0.16	-0.16	-0.15	-0.14	-0.12	-0.10	-0.07	-0.03	0.01	0.07	0.14	0.22	0.33	0.17	0.66	0	-0.9
1.0	0	-0.09	-0.14	-0.17	-0.19	-0.20	-0.21	-0.20	-0.20	-0.18	-0.16	-0.13	-0.10	-0.05	0.00	0.07	0.16	0.27	0.42	0.70	1*	-1.0
	1.0	0.9	0.8	0.7	0.6	0.5	0.4	0.3	0.2	0.1	0.0	-0.1	-0.2	-0.3	-0.4	-0.5	-0.6	-0.7	-0.8	-0.9	-1.0	$\alpha$

tab. 54c

$\alpha \backslash \bar{t}$	-1.0	-0.9	-0.8	-0.7	-0.6	-0.5	-0.4	-0.3	-0.2	-0.1	0.0	0.1	0.2	0.3	0.4	0.5	0.6	0.7	0.8	0.9	1.0	
0.0	0	0.00	0.02	0.03	0.06	0.08	0.11	0.15	0.18	0.23	0.28	0.23	0.18	0.15	0.11	0.08	0.06	0.03	0.02	0.00	0	0.0
0.1	0	0.00	0.01	0.03	0.04	0.06	0.09	0.12	0.15	0.19	0.23	0.27	0.22	0.18	0.14	0.10	0.07	0.04	0.02	0.00	0	-0.1
0.2	0	0.00	0.01	0.02	0.03	0.05	0.07	0.09	0.11	0.14	0.18	0.22	0.26	0.21	0.16	0.12	0.08	0.05	0.02	0.01	0	-0.2
0.3	0	0.00	0.00	0.01	0.02	0.03	0.04	0.06	0.08	0.10	0.13	0.16	0.20	0.24	0.19	0.14	0.09	0.06	0.03	0.01	0	-0.3
0.4	0	0.00	0.00	0.00	0.01	0.02	0.02	0.04	0.05	0.07	0.09	0.11	0.14	0.18	0.21	0.16	0.11	0.07	0.03	0.01	0	-0.4
0.5	0	0.00	0.00	0.01	0.00	0.00	0.00	0.01	0.02	0.03	0.04	0.06	0.08	0.11	0.14	0.18	0.12	0.08	0.04	0.01	0	-0.5
0.6	0	0.00	0.00	0.01	-0.01	-0.01	-0.01	-0.01	-0.01	0.00	0.01	0.03	0.05	0.07	0.10	0.14	0.09	0.04	0.01	0	0	-0.6
0.7	0	0.00	-0.01	0.01	-0.02	-0.03	-0.03	-0.04	-0.04	-0.04	-0.04	-0.03	-0.01	0.00	0.03	0.06	0.10	0.05	0.01	0	0	-0.7
0.8	0	0.00	-0.01	0.02	-0.03	-0.04	-0.05	-0.06	-0.07	-0.08	-0.08	-0.08	-0.08	-0.07	-0.05	-0.02	-0.02	0.06	0.02	0	0	-0.8
0.9	0	0.00	-0.01	0.03	-0.04	-0.06	-0.07	-0.09	-0.10	-0.11	-0.12	-0.13	-0.14	-0.14	-0.13	-0.12	-0.11	-0.08	-0.04	0.02	0	-0.9
1.0	0	0.00	-0.02	0.03	-0.05	-0.07	-0.09	-0.11	-0.13	-0.15	-0.17	-0.18	-0.19	-0.20	-0.20	-0.20	-0.19	-0.17	-0.13	0.08	0	-1.0
	1.0	0.9	0.8	0.7	0.6	0.5	0.4	0.3	0.2	0.1	0.0	-0.1	-0.2	-0.3	-0.4	-0.5	-0.6	-0.7	-0.8	-0.9	-1.0	$\alpha$

tab. 55a

$\alpha \backslash \bar{t}$	-1.0	-0.9	-0.8	-0.7	-0.6	-0.5	-0.4	-0.3	-0.2	-0.1	0.0	0.1	0.2	0.3	0.4	0.5	0.6	0.7	0.8	0.9	1.0	
0.0	-	0.54	0.47	0.42	0.42	0.43	0.44	0.46	0.47	0.49	0.50	0.49	0.47	0.46	0.44	0.43	0.42	0.42	0.47	0.64	-	0.0
0.1	-	0.48	0.38	0.35	0.36	0.38	0.39	0.42	0.44	0.47	0.49	0.50	0.50	0.50	0.49	0.49	0.50	0.54	0.62	0.80	-	-0.1
0.2	-	0.33	0.31	0.30	0.31	0.33	0.35	0.38	0.41	0.44	0.47	0.50	0.52	0.53	0.54	0.55	0.58	0.65	0.81	0.96	-	-0.2
0.3	-	0.20	0.22	0.23	0.25	0.28	0.31	0.34	0.37	0.41	0.44	0.48	0.52	0.54	0.57	0.60	0.64	0.72	0.87	1.16	-	-0.3
0.4	-	0.06	0.11	0.15	0.19	0.22	0.26	0.29	0.33	0.37	0.41	0.45	0.50	0.54	0.59	0.64	0.69	0.78	0.97	1.37	-	-0.4
0.5	-	-0.04	0.02	0.07	0.13	0.17	0.21	0.25	0.29	0.33	0.38	0.43	0.48	0.54	0.60	0.67	0.76	0.89	1.12	1.58	-	-0.5
0.6	-	-0.16	-0.06	0.01	0.07	0.12	0.16	0.21	0.25	0.29	0.34	0.40	0.46	0.53	0.61	0.70	0.82	1.00	1.28	1.81	-	-0.6
0.7	-	-0.28	-0.14	-0.05	0.02	0.07	0.12	0.16	0.21	0.26	0.31	0.37	0.43	0.51	0.60	0.72	0.87	1.09	1.44	2.05	-	-0.7
0.8	-	-0.39	-0.22	-0.11	-0.04	0.02	0.07	0.12	0.17	0.22	0.27	0.33	0.40	0.49	0.59	0.72	0.90	1.16	1.58	2.31	-	-0.8
0.9	-	-0.50	-0.30	-0.18	-0.09	-0.03	0.03	0.08	0.12	0.16	0.23	0.30	0.38	0.47	0.58	0.73	0.93	1.23	1.72	2.57	-	-0.9
1.0	-	-0.61	-0.39	-0.24	-0.15	-0.08	-0.02	0.03	0.08	0.14	0.20	0.27	0.35	0.45	0.56	0.74	0.97	1.31	1.86	2.83	-	-1.0
	1.0	0.9	0.8	0.7	0.6	0.5	0.4	0.3	0.2	0.1	0.0	-0.1	-0.2	-0.3	-0.4	-0.5	-0.6	-0.7	-0.8	-0.9	-1.0	$\alpha$

tab. 55b

$\alpha \backslash \bar{t}$	-1.0	-0.9	-0.8	-0.7	-0.6	-0.5	-0.4	-0.3	-0.2	-0.1	0.0	0.1	0.2	0.3	0.4	0.5	0.6	0.7	0.8	0.9	1.0	
0.0	0	0.09	0.14	0.18	0.22	0.27	0.31	0.36	0.40	0.45	0.50	0.45	0.40	0.36	0.31	0.27	0.22	0.18	0.14	0.09	0	0.0
0.1	0	0.06	0.10	0.14	0.17	0.21	0.25	0.29	0.33	0.38	0.43	0.48	0.47	0.42	0.37	0.32	0.27	0.20	0.17	0.10	0	-0.1
0.2	0	0.03	0.07	0.10	0.13	0.16	0.19	0.23	0.27	0.31	0.36	0.41	0.46	0.49	0.44	0.38	0.33	0.26	0.19	0.11	0	-0.2
0.3	0	0.02	0.04	0.06	0.09	0.11	0.14	0.17	0.21	0.25	0.29	0.34	0.39	0.44	0.50	0.45	0.39	0.32	0.24	0.14	0	-0.3
0.4	0	0.01	0.02	0.03	0.05	0.07	0.09	0.12	0.15	0.18	0.22	0.27	0.31	0.37	0.42	0.51	0.45	0.37	0.29	0.17	0	-0.4
0.5	0	-0.01	-0.01	0.00	0.01	0.02	0.04	0.06	0.09	0.12	0.16	0.20	0.24	0.29	0.35	0.41	0.51	0.43	0.33	0.20	0	-0.5
0.6	0	-0.02	-0.03	-0.03	-0.02	-0.01	0.01	0.03	0.05	0.09	0.13	0.17	0.22	0.26	0.34	0.42	0.49	0.38	0.23	0	0	-0.6
0.7	0	-0.04	-0.06	-0.07	-0.07	-0.06	-0.05	-0.04	-0.02	0.00	0.03	0.06	0.10	0.15	0.20	0.27	0.35	0.45	0.43	0.26	0	-0.7
0.8	0	-0.05	-0.08	-0.10	-0.10	-0.10	-0.10	-0.09	-0.08	-0.06	-0.03	-0.00	0.03	0.08	0.13	0.20	0.28	0.38	0.52	0.29	0	-0.8
0.9	0	-0.06	-0.10	-0.13	-0.14	-0.15	-0.15	-0.14	-0.13	-0.12	-0.09	-0.07	-0.03	0.01	0.06	0.13	0.21	0.32	0.46	0.67	0	-0.9
1.0	0	-0.08	-0.13	-0.17	-0.18	-0.19	-0.19	-0.19	-0.19	-0.17	-0.16	-0.13	-0.10	-0.06	-0.01	0.05	0.14	0.24	0.41	0.64	1*	-1.0
	1.0	0.9	0.8	0.7	0.6	0.5	0.4	0.3	0.2	0.1	0.0	-0.1	-0.2	-0.3	-0.4	-0.5	-0.6	-0.7	-0.8	-0.9	-1.0	$\alpha$



t · 3 M

tab. 5.5c

$\alpha \backslash \beta$	-1.0	-0.9	-0.8	-0.7	-0.6	-0.5	-0.4	-0.3	-0.2	-0.1	0.0	0.1	0.2	0.3	0.4	0.5	0.6	0.7	0.8	0.9	1.0	
0.0	0	0.01	0.02	0.03	0.05	0.06	0.11	0.14	0.18	0.22	0.27	0.22	0.18	0.14	0.11	0.08	0.05	0.03	0.02	0.00	0	0.0
0.1	0	0.00	0.01	0.02	0.04	0.06	0.08	0.11	0.14	0.18	0.22	0.26	0.21	0.17	0.13	0.09	0.06	0.04	0.02	0.00	0	-0.1
0.2	0	0.00	0.01	0.01	0.02	0.04	0.06	0.08	0.10	0.13	0.17	0.20	0.25	0.20	0.15	0.11	0.07	0.04	0.02	0.01	0	-0.2
0.3	0	0.00	0.00	0.01	0.02	0.03	0.04	0.05	0.07	0.10	0.12	0.15	0.19	0.23	0.18	0.13	0.09	0.05	0.03	0.01	0	-0.3
0.4	0	0.00	0.00	0.00	0.01	0.01	0.02	0.03	0.04	0.06	0.08	0.11	0.14	0.17	0.21	0.15	0.11	0.07	0.03	0.01	0	-0.4
0.5	0	0.00	0.00	0.00	0.00	0.00	0.00	0.01	0.02	0.03	0.04	0.06	0.08	0.11	0.14	0.16	0.12	0.08	0.04	0.01	0	-0.5
0.6	0	0.00	0.00	-0.01	-0.01	-0.01	-0.01	-0.01	-0.01	-0.01	0.00	0.01	0.03	0.05	0.07	0.10	0.14	0.09	0.04	0.01	0	-0.6
0.7	0	0.00	-0.01	-0.01	-0.02	-0.03	-0.03	-0.04	-0.04	-0.04	-0.04	-0.03	-0.03	-0.01	0.00	0.03	0.06	0.10	0.05	0.01	0	-0.7
0.8	0	0.00	-0.01	-0.02	-0.03	-0.04	-0.05	-0.06	-0.06	-0.07	-0.06	-0.05	-0.03	-0.02	-0.01	-0.01	-0.02	0.01	0.05	0.02	0	-0.8
0.9	0	0.00	-0.01	-0.02	-0.04	-0.05	-0.07	-0.08	-0.09	-0.11	-0.12	-0.12	-0.13	-0.13	-0.13	-0.12	-0.10	-0.06	-0.04	0.02	0	-0.9
1.0	0	0.00	-0.01	-0.03	-0.05	-0.06	-0.08	-0.10	-0.12	-0.14	-0.16	-0.17	-0.18	-0.19	-0.19	-0.19	-0.16	-0.13	-0.08	0	-1.0	
	1.0	0.9	0.8	0.7	0.6	0.5	0.4	0.3	0.2	0.1	0.0	-0.1	-0.2	-0.3	-0.4	-0.5	-0.6	-0.7	-0.8	-0.9	-1.0	$\alpha$

- 144 -

t · 5 p

tab. 5.6a

$\alpha \backslash \beta$	-1.0	-0.9	-0.8	-0.7	-0.6	-0.5	-0.4	-0.3	-0.2	-0.1	0.0	0.1	0.2	0.3	0.4	0.5	0.6	0.7	0.8	0.9	1.0	
0.0	-	0.53	0.38	0.38	0.41	0.44	0.47	0.51	0.54	0.57	0.58	0.57	0.54	0.51	0.47	0.44	0.41	0.38	0.38	0.53	-	0.0
0.1	-	0.38	0.31	0.32	0.35	0.39	0.42	0.46	0.50	0.54	0.57	0.58	0.58	0.56	0.53	0.51	0.50	0.51	0.56	0.68	-	-0.1
0.2	-	0.24	0.27	0.29	0.30	0.33	0.37	0.41	0.45	0.49	0.54	0.57	0.59	0.60	0.59	0.58	0.59	0.65	0.74	0.85	-	-0.2
0.3	-	0.13	0.19	0.22	0.24	0.28	0.32	0.36	0.40	0.45	0.49	0.54	0.58	0.61	0.62	0.63	0.65	0.71	0.84	1.05	-	-0.3
0.4	-	0.03	0.08	0.13	0.18	0.22	0.26	0.31	0.35	0.40	0.45	0.50	0.55	0.60	0.64	0.68	0.71	0.76	0.91	1.28	-	-0.4
0.5	-	-0.07	-0.01	0.06	0.12	0.17	0.21	0.25	0.30	0.35	0.40	0.45	0.51	0.56	0.64	0.71	0.78	0.89	1.08	1.51	-	-0.5
0.6	-	-0.16	-0.07	0.00	0.06	0.11	0.16	0.20	0.25	0.29	0.35	0.40	0.47	0.54	0.63	0.73	0.85	1.02	1.28	1.76	-	-0.6
0.7	-	-0.25	-0.13	-0.05	0.01	0.06	0.11	0.15	0.19	0.24	0.29	0.35	0.42	0.51	0.60	0.73	0.88	1.11	1.41	2.36	-	-0.7
0.8	-	-0.34	-0.20	-0.10	-0.04	0.01	0.06	0.10	0.14	0.19	0.24	0.30	0.37	0.46	0.57	0.71	0.90	1.17	1.61	2.97	-	-0.8
0.9	-	-0.42	-0.27	-0.16	-0.09	-0.04	0.01	0.05	0.09	0.13	0.19	0.25	0.33	0.42	0.54	0.70	0.92	1.24	1.76	2.67	-	-0.9
1.0	-	-0.51	-0.33	-0.22	-0.14	-0.09	-0.04	0.00	0.04	0.08	0.13	0.20	0.28	0.36	0.52	0.69	0.94	1.31	1.91	2.97	-	-1.0
	1.0	0.9	0.8	0.7	0.6	0.5	0.4	0.3	0.2	0.1	0.0	-0.1	-0.2	-0.3	-0.4	-0.5	-0.6	-0.7	-0.8	-0.9	-1.0	$\alpha$

t · 5 T

tab. 5.6b

$\alpha \backslash \beta$	-1.0	-0.9	-0.8	-0.7	-0.6	-0.5	-0.4	-0.3	-0.2	-0.1	0.0	0.1	0.2	0.3	0.4	0.5	0.6	0.7	0.8	0.9	1.0	
0.0	0	0.05	0.12	0.16	0.20	0.24	0.28	0.33	0.35	0.44	0.50*	0.44	-0.39	-0.33	-0.28	-0.24	-0.20	-0.16	-0.12	-0.05	0	0.0
0.1	0	0.05	0.08	0.11	0.15	0.18	0.22	0.27	0.32	0.37	0.42	0.48*	-0.46	-0.40	-0.35	-0.30	-0.24	-0.19	-0.14	-0.09	0	-0.1
0.2	0	0.02	0.05	0.07	0.10	0.14	0.17	0.21	0.25	0.30	0.35	0.41	0.47*	-0.47	-0.41	-0.36	-0.30	-0.24	-0.17	-0.09	0	-0.2
0.3	0	0.01	0.02	0.04	0.07	0.09	0.12	0.16	0.19	0.24	0.28	0.34	0.39	0.45*	-0.49	-0.42	-0.36	-0.29	-0.21	-0.12	0	-0.3
0.4	0	0.00	0.01	0.02	0.03	0.05	0.08	0.11	0.14	0.18	0.22	0.27	0.32	0.38	0.44*	-0.50	-0.43	-0.35	-0.27	-0.16	0	-0.4
0.5	0	-0.04	-0.01	-0.01	0.00	0.01	0.03	0.06	0.08	0.11	0.15	0.19	0.24	0.30	0.36	0.43*	-0.50	-0.42	-0.32	-0.19	0	-0.5
0.6	0	-0.02	-0.03	-0.04	-0.03	-0.02	-0.01	0.01	0.03	0.06	0.09	0.13	0.17	0.22	0.28	0.35	0.43*	-0.48	-0.37	-0.22	0	-0.6
0.7	0	-0.03	-0.05	-0.06	-0.06	-0.06	-0.05	-0.04	-0.02	0.00	0.03	0.06	0.10	0.14	0.20	0.27	0.35	0.45*	-0.43	-0.26	0	-0.7
0.8	0	-0.06	-0.07	-0.09	-0.09	-0.09	-0.09	-0.08	-0.07	-0.05	-0.03	0.00	0.02	0.07	0.12	0.19	0.27	0.37	0.51*	-0.30	0	-0.8
0.9	0	-0.05	-0.09	-0.11	-0.12	-0.13	-0.13	-0.13	-0.12	-0.11	-0.09	-0.07	-0.04	0.00	0.04	0.11	0.19	0.29	0.44	0.66*	0	-0.9
1.0	0	-0.05	-0.11	-0.13	-0.15	-0.16	-0.17	-0.17	-0.17	-0.16	-0.15	-0.14	-0.14	-0.08	-0.03	-0.03	-0.11	0.22	0.36	0.62	1.0*	-1.0
	1.0	0.9	0.8	0.7	0.6	0.5	0.4	0.3	0.2	0.1	0.0	-0.1	-0.2	-0.3	-0.4	-0.5	-0.6	-0.7	-0.8	-0.9	-1.0	$\alpha$

- 145 -

t · 5 M

tab. 5.6c

$\alpha \backslash \beta$	-1.0	-0.9	-0.8	-0.7	-0.6	-0.5	-0.4	-0.3	-0.2	-0.1	0.0	0.1	0.2	0.3	0.4	0.5	0.6	0.7	0.8	0.9	1.0	
0.0	0	0.00	0.01	0.03	0.05	0.07	0.09	0.12	0.16	0.20	0.25	0.20	0.16	0.12	0.09	0.07	0.05	0.03	0.01	0.00	0	0.0
0.1	0	0.00	0.01	0.02	0.03	0.05	0.07	0.09	0.12	0.16	0.20	0.24	0.19	0.15	0.11	0.08	0.05	0.03	0.02	0.00	0	-0.1
0.2	0	0.00	0.00	0.01	0.02	0.03	0.05	0.06	0.08	0.12	0.15	0.19	0.23	0.18	0.13	0.10	0.06	0.04	0.02	0.00	0	-0.2
0.3	0	0.00	0.00	0.00	0.01	0.02	0.03	0.04	0.06	0.08	0.11	0.14	0.17	0.22	0.16	0.12	0.08	0.05	0.02	0.01	0	-0.3
0.4	0	0.00	0.00	0.00	0.00	0.01	0.01	0.02	0.04	0.05	0.07	0.10	0.12	0.16	0.20	0.15	0.10	0.06	0.03	0.01	0	-0.4
0.5	0	0.00	0.00	0.00	0.00	0.00	0.00	0.00	0.01	0.02	0.03	0.05	0.07	0.10	0.13	0.17	0.12	0.07	0.04	0.01	0	-0.5
0.6	0	0.00	0.00	0.01	-0.01	-0.01	-0.02	-0.02	-0.01	-0.01	0.00	0.01	0.02	0.04	0.07	0.10	0.14	0.08	0.04	0.01	0	-0.6
0.7	0	0.00	-0.01	-0.01	-0.02	-0.02	-0.03	-0.03	-0.04	-0.04	-0.03	-0.02	-0.01	0.00	0.03	0.06	0.10	0.05	0.01	0	-0.7	
0.8	0	0.00	-0.01	-0.02	-0.02	-0.03	-0.04	-0.05	-0.06	-0.07	-0.07	-0.07	-0.07	-0.07	-0.06	-0.04	-0.02	0.01	0.06	0.02	0	-0.8
0.9	0	0.00	-0.01	-0.02	-0.03	-0.04	-0.06	-0.07	-0.08	-0.09	-0.10	-0.11	-0.12	-0.12	-0.12	-0.11	-0.10	-0.07	-0.04	0.02	0	-0.9
1.0	0	0.00	-0.01	-0.02	-0.04	-0.05	-0.07	-0.08	-0.10	-0.12	-0.14	-0.15	-0.16	-0.17	-0.18	-0.18	-0.17	-0.16	-0.13	-0.08	0	-1.0
	1.0	0.9	0.8	0.7	0.6	0.5	0.4	0.3	0.2	0.1	0.0	-0.1	-0.2	-0.3	-0.4	-0.5	-0.6	-0.7	-0.8	-0.9	-1.0	$\beta$



t.7 $\bar{p}$																						ab. 5.7a	
$\alpha \backslash \bar{p}$	-1.0	-0.9	-0.8	-0.7	-0.6	-0.5	-0.4	-0.3	-0.2	-0.1	0.0	0.1	0.2	0.3	0.4	0.5	0.6	0.7	0.8	0.9	1.0		
0.0	-	0.44	0.30	0.34	0.40	0.46	0.50	0.55	0.60	0.64	0.65	0.64	0.60	0.55	0.50	0.46	0.40	0.34	0.30	0.44	-	0.0	
0.1	-	0.30	0.27	0.29	0.34	0.39	0.44	0.49	0.56	0.59	0.63	0.65	0.66	0.61	0.57	0.53	0.50	0.51	0.56	-	-0.1		
0.2	-	0.17	0.25	0.27	0.30	0.34	0.39	0.44	0.49	0.54	0.59	0.63	0.66	0.66	0.63	0.60	0.60	0.65	0.73	0.75	-	-0.2	
0.3	-	0.07	0.17	0.21	0.24	0.28	0.33	0.38	0.43	0.48	0.54	0.59	0.64	0.67	0.67	0.67	0.67	0.71	0.80	0.96	-	-0.3	
0.4	-	-0.01	0.06	0.12	0.17	0.22	0.27	0.32	0.37	0.42	0.48	0.53	0.59	0.65	0.69	0.71	0.72	0.75	0.86	1.20	-	-0.4	
0.5	-	-0.08	-0.03	0.04	0.11	0.16	0.21	0.25	0.30	0.36	0.41	0.47	0.54	0.61	0.68	0.74	0.81	0.89	1.05	1.45	-	-0.5	
0.6	-	-0.16	-0.08	-0.01	0.05	0.10	0.15	0.19	0.24	0.29	0.35	0.41	0.48	0.56	0.63	0.75	0.87	1.03	1.28	1.72	-	-0.6	
0.7	-	-0.24	-0.12	-0.05	0.01	0.06	0.10	0.14	0.18	0.23	0.28	0.34	0.42	0.50	0.61	0.74	0.90	1.12	1.47	2.05	-	-0.7	
0.8	-	-0.30	-0.18	-0.10	-0.04	0.01	0.04	0.08	0.12	0.16	0.22	0.28	0.35	0.45	0.56	0.71	0.90	1.19	1.63	2.40	-	-0.8	
0.9	-	-0.37	-0.23	-0.15	-0.09	-0.04	-0.01	0.02	0.06	0.10	0.15	0.21	0.29	0.39	0.51	0.68	0.91	1.25	1.79	2.75	-	-0.9	
1.0	-	-0.43	-0.29	-0.20	-0.14	-0.10	-0.06	-0.03	0.00	0.04	0.08	0.14	0.22	0.33	0.46	0.65	0.91	1.31	1.96	3.09	-	-1.0	
	1.0	0.9	0.8	0.7	0.6	0.5	0.4	0.3	0.2	0.1	0.0	-0.1	-0.2	-0.3	-0.4	-0.5	-0.6	-0.7	-0.8	-0.9	-1.0	$\alpha$	

		t.7 $\bar{r}$																					tab. 5.7b	
$\alpha \backslash \bar{r}$	$\bar{r}$	-1.0	-0.9	-0.8	-0.7	-0.6	-0.5	-0.4	-0.3	-0.2	-0.1	0.0	0.1	0.2	0.3	0.4	0.5	0.6	0.7	0.8	0.9	1.0		
0.0	0	0.07	0.10	0.13	0.17	0.22	0.26	0.32	0.37	0.43	0.50*	-0.43	-0.37	-0.32	-0.26	-0.22	-0.17	-0.13	-0.10	-0.07	0	0.0		
0.1	0	0.05	0.07	0.10	0.13	0.16	0.20	0.25	0.30	0.36	0.42	-0.49*	-0.45	-0.39	-0.33	-0.27	-0.22	-0.17	-0.12	-0.07	0	-0.1		
0.2	0	0.01	0.02	0.06	0.08	0.12	0.15	0.19	0.24	0.29	0.35	0.41	-0.47*	-0.46	-0.40	-0.33	-0.27	-0.21	-0.13	-0.07	0	-0.2		
0.3	0	0.00	0.01	0.03	0.05	0.08	0.11	0.14	0.18	0.23	0.28	0.33	0.40	0.46*	-0.47	-0.40	-0.34	-0.27	-0.19	-0.11	0	-0.3		
0.4	0	0.00	0.00	0.01	0.03	0.04	0.07	0.09	0.13	0.17	0.21	0.26	0.32	0.38	0.45*	-0.48	-0.40	-0.34	-0.26	-0.16	0	-0.4		
0.5	0	-0.01	-0.01	-0.01	-0.01	0.01	0.02	0.05	0.08	0.11	0.15	0.19	0.24	0.30	0.36	0.44*	-0.49	-0.40	-0.31	-0.18	0	-0.5		
0.6	0	-0.02	-0.04	-0.04	-0.03	-0.03	-0.01	0.00	0.03	0.05	0.08	0.12	0.17	0.22	0.28	0.35	0.43*	-0.47	-0.36	-0.21	0	-0.6		
0.7	0	-0.03	-0.05	-0.06	-0.06	-0.06	-0.05	-0.04	-0.02	0.00	0.02	0.06	0.09	0.14	0.20	0.26	0.34	0.45*	-0.43	-0.25	0	-0.7		
0.8	0	-0.03	-0.06	-0.08	-0.08	-0.08	-0.08	-0.08	-0.07	-0.05	-0.03	-0.01	0.02	0.06	0.11	0.18	0.26	0.36	0.50*	-0.30	0	-0.8		
0.9	0	-0.04	-0.07	-0.09	-0.11	-0.11	-0.11	-0.11	-0.11	-0.10	-0.09	-0.07	-0.05	-0.01	0.03	0.09	0.17	0.27	0.43	0.65	0	-0.9		
1.0	0	-0.05	-0.09	-0.11	-0.13	-0.14	-0.15	-0.15	-0.16	-0.15	-0.15	-0.14	-0.12	-0.09	-0.05	0.01	0.08	0.19	0.35	0.60	1.0*	-1.0		
	1.0	0.9	0.8	0.7	0.6	0.5	0.4	0.3	0.2	0.1	0.0	-0.1	-0.2	-0.3	-0.4	-0.5	-0.6	-0.7	-0.8	-0.9	-1.0	$\alpha$		

t.7 $\bar{m}$																							tab. 5.7c		
$\alpha \backslash \bar{m}$	-1.0	-0.9	-0.8	-0.7	-0.6	-0.5	-0.4	-0.3	-0.2	-0.1	0.0	0.1	0.2	0.3	0.4	0.5	0.6	0.7	0.8	0.9	1.0				
0.0	0	0.00	0.01	0.03	0.04	0.06	0.08	0.11	0.15	0.19	0.23	0.19	0.15	0.11	0.08	0.06	0.04	0.03	0.01	0.00	0	0.0			
0.1	0	0.00	0.01	0.02	0.03	0.04	0.06	0.08	0.11	0.14	0.18	0.23	0.18	0.14	0.10	0.07	0.05	0.03	0.01	0.00	0	-0.1			
0.2	0	0.00	0.00	0.01	0.01	0.02	0.04	0.05	0.07	0.10	0.13	0.17	0.21	0.17	0.12	0.09	0.06	0.03	0.01	0.00	0	-0.2			
0.3	0	0.00	0.00	0.00	0.00	0.01	0.02	0.03	0.05	0.07	0.09	0.13	0.16	0.20	0.15	0.11	0.07	0.04	0.02	0.00	0	-0.3			
0.4	0	0.00	0.00	0.00	0.00	0.00	0.01	0.02	0.03	0.04	0.06	0.09	0.12	0.15	0.19	0.14	0.10	0.06	0.03	0.01	0	-0.4			
0.5	0	0.00	0.00	0.00	0.00	0.00	0.00	0.01	0.02	0.03	0.05	0.07	0.09	0.13	0.17	0.11	0.07	0.03	0.01	0	-0.5				
0.6	0	0.00	0.00	-0.01	-0.01	-0.01	-0.02	-0.02	-0.01	-0.01	0.00	0.01	0.02	0.04	0.06	0.10	0.13	0.08	0.04	0.01	0	-0.6			
0.7	0	0.00	-0.01	-0.01	-0.02	-0.02	-0.03	-0.03	-0.04	-0.03	-0.03	-0.02	-0.01	0.00	0.03	0.06	0.10	0.05	0.01	0	-0.7				
0.8	0	0.00	-0.01	-0.02	-0.03	-0.04	-0.05	-0.05	-0.06	-0.06	-0.07	-0.06	-0.06	-0.05	-0.04	-0.02	0.01	0.05	0.02	0	-0.8				
0.9	0	0.00	-0.01	-0.02	-0.03	-0.04	-0.05	-0.06	-0.07	-0.08	-0.09	-0.10	-0.11	-0.11	-0.10	-0.09	-0.07	-0.03	0.02	0	-0.9				
1.0	0	0.00	-0.01	-0.02	-0.03	-0.05	-0.06	-0.07	-0.09	-0.11	-0.12	-0.13	-0.15	-0.16	-0.17	-0.17	-0.16	-0.15	-0.12	-0.08	0	-1.0			
	1.0	0.9	0.8	0.7	0.6	0.5	0.4	0.3	0.2	0.1	0.0	-0.1	-0.2	-0.3	-0.4	-0.5	-0.6	-0.7	-0.8	-0.9	-1.0	$\alpha$			

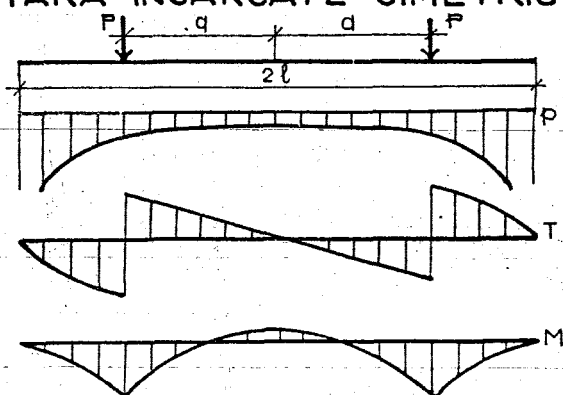
t.10  $\bar{p}$  tabelul 5.8a

$\alpha \backslash \bar{p}$	-1.0	-0.9	-0.8	-0.7	-0.6	-0.5	-0.4	-0.3	-0.2	-0.1	0.0	0.1	0.2	0.3	0.4	0.5	0.6	0.7	0.8	0.9	1.0	
0.0	-	0.34	0.21	0.29	0.39	0.47	0.53	0.60	0.66	0.72	0.74	0.72	0.66	0.60	0.53	0.47	0.39	0.29	0.21	0.34	-	0.0
0.1	-	0.21	0.17	0.24	0.33	0.40	0.46	0.53	0.60	0.66	0.71	0.73	0.72	0.67	0.61	0.55	0.51	0.48	0.46	0.47	-	-0.1
0.2	-	0.09	0.22	0.26	0.29	0.33	0.39	0.46	0.52	0.59	0.65	0.71	0.74	0.73	0.69	0.65	0.62	0.68	0.72	0.64	-	-0.2
0.3	-	0.01	0.15	0.20	0.23	0.26	0.33	0.39	0.45	0.51	0.58	0.65	0.71	0.74	0.74	0.71	0.69	0.70	0.77	0.86	-	-0.3
0.4	-	-0.05	0.03	0.10	0.16	0.21	0.27	0.32	0.38	0.44	0.51	0.58	0.65	0.71	0.75	0.76	0.74	0.73	0.79	1.11	-	-0.4
0.5	-	-0.11	-0.08	0.02	0.09	0.15	0.20	0.25	0.31	0.37	0.43	0.50	0.57	0.63	0.73	0.79	0.84	0.89	0.98	1.37	-	-0.5
0.6	-	-0.15	-0.09	-0.02	0.04	0.09	0.14	0.18	0.23	0.29	0.35	0.42	0.50	0.58	0.68	0.79	0.91	1.06	1.27	1.68	-	-0.6
0.7	-	-0.22	-0.11	-0.04	0.01	0.05	0.08	0.12	0.16	0.21	0.27	0.33	0.41	0.50	0.62	0.75	0.92	1.15	1.49	2.04	-	-0.7
0.8	-	-0.26	-0.16	-0.09	-0.04	0.00	0.03	0.06	0.10	0.14	0.19	0.25	0.32	0.42	0.54	0.70	0.91	1.20	1.66	2.44	-	-0.8
0.9	-	-0.28	-0.21	-0.15	-0.10	-0.06	-0.03	0.00	0.03	0.06	0.11	0.16	0.24	0.34	0.46	0.63	0.87	1.24	1.83	2.86	-	-0.9
1.0	-	-0.34	-0.24	-0.17	-0.13	-0.10	-0.08	-0.06	-0.04	-0.01	0.03	0.08	0.15	0.26	0.39	0.59	0.87	1.30	2.01	3.24	-	-1.0
	1.0	0.9	0.8	0.7	0.6	0.5	0.4	0.3	0.2	0.1	0.0	-0.1	-0.2	-0.3	-0.4	-0.5	-0.6	-0.7	-0.8	-0.9	-1.0	$\alpha$

t		t · 10 T																				tabel 5.8 b	
α \ f	f	-1,0	-0,9	-0,8	-0,7	-0,6	-0,5	-0,4	-0,3	-0,2	-0,1	0,0	0,1	0,2	0,3	0,4	0,5	0,6	0,7	0,8	0,9	1,0	
0,0	0	0	0,06	0,09	0,11	0,14	0,19	0,24	0,29	0,36	0,43	0,50	-0,43	-0,36	-0,29	-0,24	-0,19	-0,14	-0,11	-0,09	-0,06	0	0,0
0,1	0	0	0,03	0,05	0,07	0,10	0,14	0,18	0,23	0,28	0,35	0,42	0,49	-0,44	-0,37	-0,30	-0,24	-0,19	-0,14	-0,10	-0,05	0	-0,1
0,2	0	0	-0,01	0,01	0,04	0,06	0,09	0,13	0,17	0,22	0,28	0,34	0,41	0,48	-0,45	-0,37	-0,31	-0,25	-0,18	-0,11	-0,04	0	-0,2
0,3	0	0	-0,02	-0,01	0,01	0,03	0,05	0,09	0,12	0,17	0,21	0,27	0,33	0,40	0,47	-0,45	-0,38	-0,31	-0,24	-0,17	-0,09	0	-0,3
0,4	0	0	-0,01	-0,01	0,00	0,01	0,03	0,05	0,08	0,12	0,16	0,21	0,26	0,32	0,39	0,46	-0,46	-0,39	-0,31	-0,24	-0,15	0	-0,4
0,5	0	0	-0,01	-0,02	-0,02	-0,01	0,00	0,02	0,04	0,07	0,10	0,14	0,19	0,24	0,30	0,37	0,45	-0,47	-0,39	-0,29	-0,18	0	-0,5
0,6	0	0	-0,02	-0,03	-0,04	-0,04	-0,03	-0,02	0,00	0,02	0,05	0,08	0,12	0,16	0,21	0,28	0,35	0,44	-0,46	-0,35	-0,20	0	-0,6
0,7	0	0	-0,03	-0,05	-0,05	-0,05	-0,04	-0,03	-0,02	0,00	0,02	0,05	0,09	0,13	0,19	0,26	0,34	0,43	-0,42	-0,25	0	-0,7	
0,8	0	0	-0,03	-0,05	-0,05	-0,07	-0,07	-0,07	-0,07	-0,06	-0,05	-0,03	-0,01	0,02	0,05	0,10	0,16	0,24	0,33	0,43	-0,31	0	-0,8
0,9	0	0	-0,03	-0,06	-0,07	-0,09	-0,09	-0,10	-0,10	-0,10	-0,09	-0,09	-0,07	-0,05	-0,02	0,01	0,07	0,14	0,23	0,40	0,63	0	-0,9
1,0	0	0	-0,04	-0,07	-0,09	-0,10	-0,12	-0,13	-0,13	-0,14	-0,14	-0,14	-0,13	-0,12	-0,10	-0,07	-0,02	0,03	0,16	0,32	0,58	1,0*	-1,0
	1,0	0,9	0,8	0,7	0,6	0,5	0,4	0,3	0,2	0,1	0,0	-0,1	-0,2	-0,3	-0,4	-0,5	-0,6	-0,7	-0,8	-0,9	-1,0	α	

$\alpha \backslash \bar{f}$	-1,0	-0,9	-0,8	-0,7	-0,6	-0,5	-0,4	-0,3	-0,2	-0,1	0,0	0,1	0,2	0,3	0,4	0,5	0,6	0,7	0,8	0,9	1,0	
0,0	0	0,00	0,01	0,02	0,03	0,05	0,07	0,10	0,13	0,17	0,22	0,17	0,13	0,10	0,07	0,05	0,03	0,02	0,01	0,00	0	0,0
0,1	0	0,00	0,01	0,01	0,02	0,03	0,05	0,07	0,09	0,13	0,16	0,21	0,16	0,12	0,09	0,06	0,04	0,02	0,01	0,00	0	-0,1
0,2	0	0,00	0,00	0,00	0,00	0,01	0,02	0,04	0,06	0,08	0,11	0,15	0,20	0,15	0,11	0,07	0,04	0,02	0,01	0,00	0	-0,2
0,3	0	0,00	0,00	0,00	0,00	0,00	0,01	0,02	0,04	0,06	0,08	0,11	0,15	0,19	0,14	0,10	0,06	0,04	0,02	0,00	0	-0,3
0,4	0	0,00	0,00	0,00	0,00	0,00	0,00	0,01	0,02	0,03	0,05	0,08	0,10	0,14	0,18	0,13	0,09	0,05	0,03	0,00	0	-0,4
0,5	0	0,00	0,00	-0,01	0,00	0,00	0,00	0,00	0,00	0,01	0,02	0,04	0,06	0,09	0,12	0,16	0,11	0,07	0,03	0,01	0	-0,5
0,6	0	0,00	0,00	-0,01	-0,01	-0,01	-0,01	-0,02	-0,01	-0,01	-0,01	0,00	0,02	0,04	0,07	0,09	0,13	0,08	0,04	0,01	0	-0,6
0,7	0	0,00	-0,01	-0,01	-0,02	-0,02	-0,03	-0,03	-0,03	-0,03	-0,03	-0,02	-0,01	0,00	0,03	0,06	0,10	0,05	0,01	0	-0,7	
0,8	0	0,00	-0,01	-0,01	-0,02	-0,03	-0,03	-0,04	-0,05	-0,05	-0,06	-0,06	-0,06	-0,05	-0,03	-0,01	0,02	0,06	0,02	0	-0,8	
0,9	0	0,00	-0,01	-0,01	-0,02	-0,03	-0,04	-0,05	-0,06	-0,07	-0,08	-0,09	-0,09	-0,10	-0,10	-0,09	-0,06	-0,03	0,02	0	-0,9	
1,0	0	0,00	-0,01	-0,02	-0,03	-0,04	-0,05	-0,06	-0,07	-0,09	-0,10	-0,12	-0,13	-0,14	-0,15	-0,15	-0,14	-0,12	-0,08	0	-1,0	
	1,0	0,9	0,8	0,7	0,6	0,5	0,4	0,3	0,2	0,1	0,0	-0,1	-0,2	-0,3	-0,4	-0,5	-0,6	-0,7	-0,8	-0,9	-1,0	$\alpha$

**TABELE PENTRU FIȘILE DE LUNGIME FINITĂ, DE LĂȚIME UNITARĂ ÎNCĂRCATE SIMETRIC CU DOUĂ FORȚE CONCENTRATE**



Formule de calcul

$$p = \bar{p} \frac{P}{b\ell} \text{ [kN/m]}^3$$

$$T = \pm \bar{T} P \text{ [kN]}$$

$$M = \bar{M} \ell P \text{ [kNm]}$$

$$b' = 1,0 \text{ m} ; \alpha = \frac{a}{\ell}$$

NOTĂ: Semnul (+) din relația forței tăietoare corespunde jumătății din dreapta a fișii.

tab. 5.9 a

$t = 0, \bar{p}$

$\bar{f}$	0,0	0,1	0,2	0,3	0,4	0,5	0,6	0,7	0,8	0,9	1,0
$\bar{p}$	0,64	0,64	0,65	0,67	0,70	0,74	0,80	0,89	1,06	1,46	$\infty$

tab. 5.9 b

pentru secțiunile situate între punctele de aplicare ale forțelor \*

$\bar{f}$	0,0	0,1	0,2	0,3	0,4	0,5	0,6	0,7	0,8	0,9	1,0
$\bar{T}$	0	0,06	0,13	0,19	0,26	0,33	0,41	0,49	0,59	0,71	1

\* pentru secțiunile situate dincolo de punctele de aplicare ale forțelor, la valoarea dată în tabel se va adăuga -1.

$t = 0, \bar{M}$ 

tab. 5.9c

$\alpha \backslash \bar{F}$	0,0	0,1	0,2	0,3	0,4	0,5	0,6	0,7	0,8	0,9	1,0
0,0	0,64	0,54	0,45	0,37	0,29	0,22	0,16	0,10	0,05	0,02	0
0,1	0,54	0,54	0,45	0,37	0,29	0,22	0,16	0,10	0,05	0,02	0
0,2	0,44	0,44	0,45	0,37	0,29	0,22	0,16	0,10	0,05	0,02	0
0,3	0,34	0,34	0,35	0,37	0,29	0,22	0,16	0,10	0,05	0,02	0
0,4	0,24	0,24	0,25	0,27	0,29	0,22	0,16	0,10	0,05	0,02	0
0,5	0,14	0,14	0,15	0,17	0,19	0,22	0,16	0,10	0,05	0,02	0
0,6	0,04	0,04	0,05	0,07	0,09	0,12	0,16	0,10	0,05	0,02	0
0,7	-0,06	-0,06	-0,05	-0,03	-0,01	-0,02	0,06	0,10	0,05	0,02	0
0,8	-0,16	-0,16	-0,15	-0,13	-0,11	-0,08	-0,04	0,00	0,05	0,02	0
0,9	-0,26	-0,26	-0,25	-0,23	-0,21	-0,18	-0,14	-0,10	-0,05	0,02	0
1,0	-0,36	-0,36	-0,35	-0,33	-0,31	-0,28	-0,24	-0,20	-0,15	-0,08	0

 $t = 1, \bar{p}$ 

tab. 510a

$\alpha \backslash \bar{F}$	0,0	0,1	0,2	0,3	0,4	0,5	0,6	0,7	0,8	0,9	1,0
0,1	0,78	0,78	0,78	0,78	0,79	0,82	0,87	0,96	1,15	1,66	-
0,2	0,77	0,77	0,77	0,78	0,79	0,82	0,87	0,98	1,18	1,57	-
0,3	0,75	0,75	0,76	0,77	0,79	0,82	0,87	0,98	1,19	1,53	-
0,4	0,73	0,73	0,74	0,75	0,78	0,81	0,87	0,98	1,19	1,63	-
0,5	0,70	0,70	0,71	0,73	0,76	0,81	0,87	0,99	1,21	1,66	-
0,6	0,67	0,68	0,69	0,71	0,75	0,80	0,88	1,00	1,25	1,70	-
0,7	0,65	0,65	0,67	0,69	0,73	0,78	0,87	1,01	1,27	1,75	-
0,8	0,62	0,62	0,64	0,67	0,71	0,77	0,86	1,02	1,29	1,81	-
0,9	0,59	0,60	0,61	0,64	0,69	0,76	0,86	1,02	1,31	1,86	-
1,0	0,56	0,57	0,59	0,62	0,67	0,74	0,85	1,03	1,34	1,93	-

 $t = 1, \bar{T}$ 

tab. 510b

$\alpha \backslash \bar{F}$	0,0	0,1	0,2	0,3	0,4	0,5	0,6	0,7	0,8	0,9	1,0
0,1	0	0,08*	-0,84	-0,77	-0,69	-0,62	-0,52	-0,43	-0,33	-0,18	0
0,2	0	0,08	0,15*	-0,77	-0,69	-0,61	-0,52	-0,43	-0,33	-0,19	0
0,3	0	0,07	0,15	0,23*	-0,69	-0,61	-0,53	-0,44	-0,33	-0,19	0
0,4	0	0,07	0,15	0,22	0,30*	-0,62	-0,54	-0,45	-0,34	-0,20	0
0,5	0	0,07	0,14	0,21	0,29	0,37*	-0,55	-0,46	-0,35	-0,21	0
0,6	0	0,07	0,14	0,21	0,28	0,36	0,44*	-0,47	-0,36	-0,21	0
0,7	0	0,06	0,13	0,20	0,27	0,34	0,42	0,52*	-0,37	-0,22	0
0,8	0	0,06	0,13	0,19	0,26	0,33	0,41	0,51	0,62*	-0,22	0
0,9	0	0,06	0,12	0,18	0,25	0,32	0,40	0,49	0,61	0,77*	0
1,0	0	0,06	0,11	0,17	0,24	0,31	0,39	0,48	0,60	0,76	1*

 $t = 1, \bar{M}$ 

tab. 510c

$\alpha \backslash \bar{F}$	0,0	0,1	0,2	0,3	0,4	0,5	0,6	0,7	0,8	0,9	1,0
0,0	0,36	0,49	0,40	0,32	0,25	0,18	0,12	0,08	0,04	0,01	0
0,1	0,48	0,49	0,40	0,32	0,24	0,18	0,12	0,08	0,04	0,01	0
0,2	0,38	0,38	0,40	0,32	0,25	0,18	0,12	0,08	0,04	0,01	0
0,3	0,29	0,29	0,30	0,32	0,25	0,18	0,12	0,08	0,04	0,01	0
0,4	0,19	0,20	0,21	0,23	0,25	0,18	0,13	0,08	0,04	0,01	0
0,5	0,10	0,10	0,11	0,13	0,16	0,19	0,13	0,08	0,04	0,01	0
0,6	0,01	0,01	0,02	0,04	0,06	0,09	0,13	0,08	0,04	0,01	0
0,7	-0,09	-0,08	-0,07	-0,06	-0,03	0,00	0,04	0,08	0,04	0,01	0
0,8	-0,18	-0,17	-0,17	-0,15	-0,13	-0,10	-0,06	-0,01	0,04	0,01	0
0,9	-0,27	-0,26	-0,26	-0,24	-0,22	-0,19	-0,16	-0,11	-0,06	0,01	0
1,0	-0,36	-0,36	-0,36	-0,33	-0,31	-0,29	-0,25	-0,21	-0,15	-0,09	0

t.2, p

tab. 5.11a

$\alpha \backslash \xi$	0,0	0,1	0,2	0,3	0,4	0,5	0,6	0,7	0,8	0,9	1,0
0,1	0,89	0,88	0,87	0,85	0,84	0,84	0,86	0,92	1,07	1,41	—
0,2	0,86	0,86	0,86	0,85	0,84	0,85	0,88	0,96	1,13	1,42	—
0,3	0,82	0,82	0,83	0,83	0,83	0,85	0,88	0,96	1,14	1,47	—
0,4	0,78	0,78	0,79	0,80	0,82	0,85	0,89	0,97	1,14	1,51	—
0,5	0,73	0,74	0,75	0,77	0,80	0,84	0,89	0,99	1,18	1,58	—
0,6	0,68	0,69	0,70	0,72	0,76	0,81	0,89	1,01	1,23	1,67	—
0,7	0,63	0,64	0,65	0,68	0,72	0,79	0,88	1,02	1,28	1,77	—
0,8	0,58	0,59	0,60	0,64	0,69	0,76	0,86	1,03	1,32	1,87	—
0,9	0,53	0,53	0,55	0,59	0,65	0,73	0,85	1,04	1,37	1,97	—
1,0	0,48	0,48	0,51	0,55	0,61	0,70	0,83	1,05	1,41	2,08	—

t.2, T

tab. 5.11b

$\alpha \backslash \xi$	0,0	0,1	0,2	0,3	0,4	0,5	0,6	0,7	0,8	0,9	1,0
0,1	0	0,09*	-0,82	-0,74	-0,65	-0,57	-0,48	-0,40	-0,30	-0,17	0
0,2	0	0,09	0,17*	-0,74	-0,66	-0,57	-0,49	-0,40	-0,29	-0,16	0
0,3	0	0,08	0,16	0,25*	-0,67	-0,59	-0,50	-0,41	-0,30	-0,17	0
0,4	0	0,08	0,16	0,24	0,32*	-0,60	-0,51	-0,42	-0,32	-0,19	0
0,5	0	0,07	0,15	0,22	0,30	0,38*	-0,53	-0,44	-0,33	-0,19	0
0,6	0	0,07	0,14	0,21	0,28	0,36	0,44*	-0,46	-0,35	-0,21	0
0,7	0	0,06	0,13	0,19	0,26	0,34	0,42	-0,52*	-0,37	-0,22	0
0,8	0	0,06	0,12	0,18	0,24	0,32	0,40	0,49	0,61*	-0,23	0
0,9	0	0,05	0,11	0,16	0,23	0,29	0,37	0,47	0,59	0,75*	0
1,0	0	0,05	0,10	0,15	0,21	0,27	0,35	0,44	0,56	0,73	1,0*

t.2, M

tab. 5.11c

$\alpha \backslash \xi$	0,0	0,1	0,2	0,3	0,4	0,5	0,6	0,7	0,8	0,9	1,0
0,1	0,46	0,46	0,37	0,29	0,23	0,16	0,11	0,07	0,03	0,01	0
0,2	0,36	0,36	0,37	0,29	0,22	0,16	0,11	0,07	0,03	0,01	0
0,3	0,27	0,27	0,28	0,30	0,23	0,17	0,11	0,07	0,03	0,01	0
0,4	0,18	0,18	0,19	0,21	0,24	0,17	0,12	0,07	0,03	0,01	0
0,5	0,09	0,09	0,10	0,12	0,15	0,18	0,12	0,08	0,04	0,01	0
0,6	0,00	0,01	0,02	0,03	0,06	0,09	0,13	0,08	0,04	0,01	0
0,7	-0,08	-0,08	-0,07	-0,05	-0,03	0,00	0,04	0,08	0,04	0,01	0
0,8	-0,17	-0,16	-0,16	-0,14	-0,12	-0,09	-0,05	0,00	0,04	0,01	0
0,9	-0,25	-0,25	-0,24	-0,23	-0,21	-0,18	-0,15	-0,11	-0,05	0,01	0
1,0	-0,33	-0,33	-0,32	-0,31	-0,29	-0,27	-0,24	-0,20	-0,15	-0,09	0

t.3, p

tab. 5.12a

$\alpha \backslash \xi$	0,0	0,1	0,2	0,3	0,4	0,5	0,6	0,7	0,8	0,9	1,0
0,1	0,98	0,97	0,95	0,91	0,88	0,87	0,86	0,89	1,00	1,28	—
0,2	0,94	0,94	0,93	0,92	0,89	0,88	0,89	0,95	1,12	1,28	—
0,3	0,88	0,89	0,89	0,88	0,88	0,87	0,89	0,95	1,09	1,36	—
0,4	0,82	0,82	0,83	0,84	0,85	0,86	0,88	0,94	1,08	1,45	—
0,5	0,76	0,76	0,77	0,79	0,81	0,84	0,89	0,97	1,14	1,54	—
0,6	0,69	0,69	0,71	0,73	0,77	0,82	0,89	1,01	1,22	1,65	—
0,7	0,62	0,62	0,64	0,67	0,72	0,79	0,88	1,04	1,30	1,78	—
0,8	0,54	0,55	0,57	0,61	0,66	0,75	0,86	1,05	1,36	1,93	—
0,9	0,47	0,48	0,50	0,55	0,61	0,71	0,84	1,06	1,42	2,08	—
1,0	0,40	0,41	0,43	0,49	0,56	0,67	0,82	1,06	1,47	2,22	—

t.3, T

tab. 5.12b

$\alpha \backslash \xi$	0,0	0,1	0,2	0,3	0,4	0,5	0,6	0,7	0,8	0,9	1,0
0,1	0	0,10*	-0,81	-0,71	-0,62	-0,54	-0,45	-0,34	-0,27	-0,16	0
0,2	0	0,09	0,19*	-0,72	-0,63	-0,54	-0,45	-0,35	-0,26	-0,14	0
0,3	0	0,09	0,18	0,27*	-0,65	-0,56	-0,47	-0,38	-0,28	-0,16	0
0,4	0	0,08	0,17	0,25	0,33*	-0,58	-0,49	-0,40	-0,30	-0,18	0
0,5	0	0,07	0,15	0,23	0,31	0,39*	-0,52	-0,43	-0,32	-0,19	0
0,6	0	0,07	0,14	0,21	0,29	0,36	0,45*	-0,45	-0,34	-0,20	0
0,7	0	0,06	0,12	0,19	0,26	0,33	0,42	0,51*	-0,37	-0,22	0
0,8	0	0,05	0,11	0,17	0,23	0,30	0,38	0,48	0,60*	-0,24	0
0,9	0	0,05	0,10	0,15	0,21	0,27	0,35	0,44	0,56	0,74*	0
1,0	0	0,04	0,08	0,13	0,18	0,24	0,31	0,41	0,53	0,71	1,0*

t.3, M

tab. 5.12c

$\alpha \backslash \xi$	0,0	0,1	0,2	0,3	0,4	0,5	0,6	0,7	0,8	0,9	1,0
0,1	0,43	0,44	0,35	0,28	0,21	0,15	0,10	0,06	0,03	0,01	0
0,2	0,33	0,33	0,35	0,27	0,21	0,15	0,09	0,06	0,03	0,01	0
0,3	0,25	0,25	0,26	0,29	0,22	0,16	0,10	0,06	0,03	0,01	0
0,4	0,17	0,17	0,18	0,20	0,23	0,17	0,11	0,07	0,03	0,01	0
0,5	0,08	0,09	0,10	0,12	0,14	0,18	0,12	0,07	0,04	0,01	0
0,6	0,00	0,00	0,01	0,03	0,06	0,09	0,13	0,08	0,04	0,01	0
0,7	-0,08	-0,08	-0,07	-0,05	-0,03	0,00	0,04	0,08	0,04	0,01	0
0,8	-0,16	-0,15	-0,15	-0,13	-0,11	-0,09	-0,05	-0,01	0,04	0,01	0
0,9	-0,23	-0,23	-0,23	-0,21	-0,19	-0,17	-0,14	-0,10	-0,05	0,01	0
1,0	-0,31	-0,31	-0,30	-0,29	-0,28	-0,26	-0,23	-0,19	-0,15	-0,08	0

t.5, M

tab. 5.13c

$\alpha \backslash \xi$	0,0	0,1	0,2	0,3	0,4	0,5	0,6	0,7	0,8	0,9	1,0
0,1	0,40	0,40	0,32	0,25	0,18	0,13	0,09	0,05	0,03	0,01	0
0,2	0,30	0,30	0,32	0,24	0,18	0,13	0,08	0,05	0,02	0,00	0
0,3	0,22	0,22	0,23	0,26	0,19	0,14	0,09	0,06	0,03	0,01	0
0,4	0,14	0,15	0,16	0,18	0,21	0,16	0,10	0,06	0,03	0,01	0
0,5	0,07	0,07	0,08	0,10	0,13	0,17	0,12	0,07	0,04	0,01	0
0,6	-0,01	0,00	0,01	0,03	0,05	0,08	0,13	0,08	0,04	0,01	0
0,7	-0,07	-0,07	-0,06	-0,05	-0,03	0,00	0,04	0,09	0,04	0,01	0
0,8	-0,14	-0,14	-0,13	-0,12	-0,10	-0,07	-0,04	0,00	0,05	0,01	0
0,9	-0,21	-0,21	-0,20	-0,19	-0,17	-0,15	-0,13	-0,09	-0,05	0,01	0
1,0	-0,27	-0,27	-0,27	-0,26	-0,25	-0,23	-0,21	-0,18	-0,14	-0,08	0

t.7, P

tab. 5.14a

$\alpha \backslash \xi$	0,0	0,1	0,2	0,3	0,4	0,5	0,6	0,7	0,8	0,9	1,0
0,1	1,27	1,24	1,22	1,10	1,01	0,93	0,85	0,79	0,76	0,89	-
0,2	1,18	1,17	1,15	1,09	1,02	0,94	0,90	0,92	0,97	0,92	-
0,3	1,07	1,07	1,07	1,04	1,00	0,95	0,91	0,91	0,98	1,36	-
0,4	0,95	0,95	0,96	0,96	0,95	0,93	0,90	0,87	0,92	1,20	-
0,5	0,83	0,83	0,84	0,86	0,89	0,91	0,91	0,93	1,02	1,36	-
0,6	0,90	0,70	0,72	0,76	0,80	0,86	0,93	1,03	1,20	1,56	-
0,7	0,56	0,57	0,60	0,64	0,71	0,79	0,91	1,08	1,34	1,81	-
0,8	0,43	0,44	0,47	0,53	0,60	0,71	0,87	1,09	1,45	2,10	-
0,9	0,30	0,31	0,35	0,41	0,50	0,63	0,82	1,10	1,56	2,38	-
1,0	0,17	0,18	0,22	0,29	0,40	0,53	0,77	1,11	1,67	2,66	-

t, 7,  $\bar{T}$ 

tab. 5.14b

$\alpha \backslash \bar{T}$	0,0	0,1	0,2	0,3	0,4	0,5	0,6	0,7	0,8	0,9	1,0
0,1	0	0,13*	-0,15	-0,64	-0,53	-0,43	-0,35	-0,27	-0,19	-0,12	0
0,2	0	0,12	0,23*	-0,65	-0,55	-0,45	-0,36	-0,27	-0,17	-0,08	0
0,3	0	0,11	0,21	0,32*	-0,56	-0,48	-0,39	-0,30	-0,20	-0,10	0
0,4	0	0,09	0,19	0,29	0,38*	-0,52	-0,43	-0,34	-0,25	-0,15	0
0,5	0	0,08	0,17	0,25	0,34	0,43*	-0,40	-0,39	-0,29	-0,18	0
0,6	0	0,07	0,14	0,21	0,29	0,38	0,46*	-0,44	-0,32	-0,19	0
0,7	0	0,06	0,12	0,18	0,24	0,32	0,40	0,50*	-0,38	-0,22	0
0,8	0	0,04	0,09	0,14	0,20	0,26	0,34	0,44	0,56*	-0,26	0
0,9	0	0,03	0,06	0,10	0,15	0,20	0,27	0,37	0,50	0,69*	0
1,0	0	0,02	0,04	0,06	0,10	0,15	0,21	0,30	0,44	0,65	1*

t, 7,  $\bar{M}$ 

tab. 5.14c

$\alpha \backslash \bar{M}$	0,0	0,1	0,2	0,3	0,4	0,5	0,6	0,7	0,8	0,9	1,0
0,1	0,36	0,37	0,29	0,22	0,16	0,11	0,07	0,04	0,02	0,01	0
0,2	0,27	0,27	0,29	0,22	0,16	0,11	0,07	0,04	0,01	0,00	0
0,3	0,19	0,20	0,21	0,24	0,18	0,12	0,08	0,04	0,02	0,00	0
0,4	0,13	0,13	0,14	0,17	0,20	0,14	0,10	0,06	0,03	0,01	0
0,5	0,06	0,06	0,07	0,10	0,12	0,16	0,11	0,07	0,03	0,01	0
0,6	-0,01	0,00	0,00	0,02	0,05	0,08	0,12	0,08	-0,04	0,01	0
0,7	-0,07	-0,07	-0,06	-0,04	-0,02	0,00	0,04	0,09	0,04	0,01	0
0,8	-0,13	-0,13	-0,12	-0,11	-0,09	-0,07	-0,04	0,00	0,05	0,01	0
0,9	-0,19	-0,18	-0,18	-0,17	-0,16	-0,14	-0,12	-0,09	-0,04	0,02	0
1,0	-0,24	-0,24	-0,24	-0,23	-0,23	-0,21	-0,20	-0,17	-0,13	-0,08	0

t, 10,  $\bar{p}$ 

tab. 5.15a

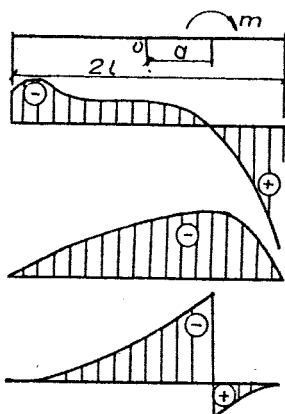
$\alpha \backslash \bar{p}$	0,0	0,1	0,2	0,3	0,4	0,5	0,6	0,7	0,8	0,9	1,0
0,1	1,43	1,40	1,31	1,20	1,04	0,85	0,84	0,72	0,63	0,68	-
0,2	1,30	1,29	1,26	1,19	1,09	0,98	0,91	0,92	0,94	0,73	-
0,3	1,17	1,17	1,16	1,13	1,07	0,99	0,92	0,90	0,93	0,87	-
0,4	1,02	1,02	1,03	1,03	1,02	0,97	0,91	0,83	0,83	1,06	-
0,5	0,86	0,87	0,88	0,91	0,93	0,94	0,93	0,91	0,90	1,26	-
0,6	0,70	0,70	0,73	0,77	0,82	0,88	0,95	1,04	1,19	1,53	-
0,7	0,54	0,55	0,58	0,63	0,70	0,80	0,93	1,11	1,37	1,83	-
0,8	0,37	0,38	0,42	0,48	0,57	0,69	0,87	1,12	1,51	2,18	-
0,9	0,21	0,22	0,27	0,33	0,43	0,57	0,78	1,03	1,62	2,58	-
1,0	0,05	0,07	0,11	0,19	0,31	0,49	0,74	1,13	1,76	2,89	-

t, 10,  $\bar{T}$ 

tab. 5.15b

$\alpha \backslash \bar{T}$	0,0	0,1	0,2	0,3	0,4	0,5	0,6	0,7	0,8	0,9	1,0
0,1	0	0,14*	-0,72	-0,60	-0,48	-0,38	-0,29	-0,21	-0,15	-0,08	0
0,2	0	0,13	0,26*	-0,62	-0,50	-0,40	-0,31	-0,22	-0,12	-0,03	0
0,3	0	0,12	0,23	0,35*	-0,54	-0,43	-0,34	-0,25	-0,16	-0,07	0
0,4	0	0,10	0,21	0,31	0,41*	-0,49	-0,40	-0,31	-0,23	-0,14	0
0,5	0	0,09	0,17	0,26	0,36	0,45*	-0,46	-0,37	-0,27	-0,17	0
0,6	0	0,07	0,14	0,22	0,30	0,38	0,47*	-0,43	-0,32	-0,18	0
0,7	0	0,05	0,11	0,17	0,24	0,31	0,39	0,50*	-0,38	-0,22	0
0,8	0	0,04	0,08	0,12	0,17	0,24	0,32	0,41	0,54*	-0,27	0
0,9	0	0,02	0,05	0,08	0,11	0,16	0,23	0,32	0,46	0,66*	0
1,0	0	0,00	0,01	0,03	0,05	0,09	0,16	0,25	0,39	0,62	1*

**TABELE PENTRU FIȘII DE LUNGIME FINITĂ, DE LĂȚIME UNITARĂ ÎNCĂRCATE  
CU MOMENT ÎNCOVOIETOR**



Formule de calcul

$$p = \pm \bar{p} \frac{m}{b'l} \text{ [kN/m}^2\text{]}$$

$$T = \bar{T} \frac{m}{l} \text{ [kN]}$$

$$M = \pm \bar{M} m \text{ [kN]}$$

$$b' = 10m; \alpha = \frac{a}{l}$$

**Notă:** Momentul  $m$  este pozitiv dacă este în sens orar.

În relațiile presiunii și a momentului, semnul (+) se referă la cazul când momentul este în jumătatea din dreapta a fișiei.

$\xi$	-1.0	-0.9	-0.8	-0.7	-0.6	-0.5	-0.4	-0.3	-0.2	-0.1	0.0	0.1	0.2	0.3	0.4	0.5	0.6	0.7	0.8	0.9	1.0
$\bar{p}$	$-\infty$	-1.31	-0.85	-0.62	-0.48	-0.37	-0.28	-0.20	-0.13	-0.06	0	0.06	0.13	0.20	0.28	0.37	0.48	0.62	0.85	1.31	$\infty$

$t=0, \bar{p}$

Tabelul 5.16a

$\xi$	-1.0	-0.9	-0.8	-0.7	-0.6	-0.5	-0.4	-0.3	-0.2	-0.1	0.0	0.1	0.2	0.3	0.4	0.5	0.6	0.7	0.8	0.9	1.0
$\bar{T}$	0	-0.27	-0.38	-0.45	-0.51	-0.55	-0.58	-0.61	-0.62	-0.63	-0.64	-0.63	-0.62	-0.61	-0.58	-0.55	-0.51	-0.45	-0.38	-0.27	0

$t=0, \bar{T}$

Tabelul 5.16b

$\xi$	-1.0	-0.9	-0.8	-0.7	-0.6	-0.5	-0.4	-0.3	-0.2	-0.1	0.0	0.1	0.2	0.3	0.4	0.5	0.6	0.7	0.8	0.9	1.0
$\bar{M}$	0	-0.02	-0.05	-0.09	-0.14	-0.20	-0.25	-0.31	-0.37	-0.44	-0.50	-0.56	-0.63	-0.69	-0.75	-0.80	-0.86	-0.91	-0.95	-0.98	-1.00

$t=0, \bar{M}$  (pentru secțiunile din stînga punctului de aplicare al momentului)

Tabelul 5.16c

$\alpha \backslash \xi$	-1.0	-0.9	-0.8	-0.7	-0.6	-0.5	-0.4	-0.3	-0.2	-0.1	0.0	0.1	0.2	0.3	0.4	0.5	0.6	0.7	0.8	0.9	1.0	$\alpha$
0.0	—	-1.64	-1.24	-0.83	-0.62	-0.48	-0.38	-0.29	-0.21	-0.11	0	0.11	0.21	0.29	0.38	0.48	0.62	0.83	1.24	1.64	—	0.0
0.1	—	-1.49	-0.96	-0.70	-0.57	-0.46	-0.36	-0.28	-0.20	-0.13	0.04	0.07	0.19	0.29	0.39	0.50	0.66	0.93	1.30	1.81	—	-0.1
0.2	—	-1.59	-1.00	-0.73	-0.57	-0.47	-0.37	-0.30	-0.22	-0.16	-0.08	0.01	0.12	0.22	0.35	0.47	0.62	0.83	1.18	1.73	—	-0.2
0.3	—	-1.52	-1.08	-0.81	-0.59	-0.47	-0.38	-0.31	-0.24	-0.18	-0.11	-0.04	0.05	0.16	0.30	0.44	0.57	0.75	1.04	1.84	—	-0.3
0.4	—	-1.50	-1.08	-0.79	-0.59	-0.47	-0.39	-0.32	-0.25	-0.19	-0.12	-0.06	0.02	0.13	0.26	0.42	0.59	0.81	1.15	1.86	—	-0.4
0.5	—	-1.48	-1.08	-0.79	-0.60	-0.47	-0.39	-0.32	-0.26	-0.19	-0.13	-0.06	0.01	0.11	0.23	0.39	0.60	0.87	1.25	1.89	—	-0.5
0.6	—	-1.49	-1.00	-0.74	-0.58	-0.47	-0.38	-0.31	-0.25	-0.20	-0.14	-0.07	0.01	0.10	0.21	0.36	0.57	0.88	1.31	1.94	—	-0.6
0.7	—	-1.47	-1.00	-0.72	-0.57	-0.46	-0.38	-0.31	-0.25	-0.20	-0.14	-0.07	0.00	0.08	0.19	0.32	0.51	0.78	1.25	2.01	—	-0.7
0.8	—	-1.47	-1.00	-0.74	-0.57	-0.46	-0.38	-0.31	-0.25	-0.20	-0.14	-0.08	0.01	0.08	0.19	0.31	0.50	0.78	1.23	2.03	—	-0.8
0.9	—	-1.47	-1.00	-0.74	-0.57	-0.46	-0.38	-0.31	-0.25	-0.20	-0.14	-0.08	-0.01	0.08	0.18	0.31	0.50	0.78	1.23	2.03	—	-0.9
1.0	—	-1.47	-1.00	-0.74	-0.57	-0.46	-0.38	-0.31	-0.25	-0.20	-0.14	-0.08	-0.01	0.08	0.18	0.31	0.50	0.78	1.23	2.03	—	-1.0
	1.0	0.9	0.8	0.7	0.6	0.5	0.4	0.3	0.2	0.1	0.0	-0.1	-0.2	-0.3	-0.4	-0.5	-0.6	-0.7	-0.8	-0.9	-1.0	$\xi \backslash \alpha$

$t=1, \bar{p}$

Tabelul 5.17a

$\alpha \backslash \xi$	-1.0	-0.9	-0.8	-0.7	-0.6	-0.5	-0.4	-0.3	-0.2	-0.1	0.0	0.1	0.2	0.3	0.4	0.5	0.6	0.7	0.8	0.9	1.0	$\alpha$
0.0	0	-0.20	-0.34	-0.44	-0.51	-0.56	-0.61	-0.64	-0.66	-0.68	-0.69	-0.68	-0.66	-0.64	-0.61	-0.56	-0.51	-0.44	-0.34	-0.20	0	0.0
0.1	0	-0.24	-0.38	-0.44	-0.51	-0.56	-0.60	-0.63	-0.66	-0.67	-0.68	-0.68	-0.67	-0.64	-0.61	-0.57	-0.51	-0.43	-0.34	-0.21	0	-0.1
0.2	0	-0.21	-0.34	-0.42	-0.49	-0.54	-0.58	-0.62	-0.64	-0.66	-0.67	-0.68	-0.67	-0.65	-0.62	-0.58	-0.53	-0.46	-0.36	-0.21	0	-0.2
0.3	0	-0.18	-0.31	-0.40	-0.47	-0.52	-0.56	-0.60	-0.63	-0.65	-0.66	-0.67	-0.67	-0.66	-0.64	-0.60	-0.55	-0.49	-0.40	-0.26	0	-0.3
0.4	0	-0.18	-0.31	-0.40	-0.47	-0.52	-0.56	-0.60	-0.63	-0.65	-0.66	-0.67	-0.67	-0.67	-0.65	-0.61	-0.56	-0.49	-0.40	-0.25	0	-0.4
0.5	0	-0.18	-0.31	-0.40	-0.46	-0.52	-0.56	-0.60	-0.62	-0.65	-0.66	-0.67	-0.67	-0.67	-0.65	-0.63	-0.57	-0.50	-0.40	-0.24	0	-0.5
0.6	0	-0.19	-0.31	-0.40	-0.46	-0.52	-0.56	-0.59	-0.62	-0.64	-0.66	-0.67	-0.67	-0.67	-0.65	-0.63	-0.58	-0.51	-0.40	-0.24	0	-0.6
0.7	0	-0.18	-0.31	-0.39	-0.46	-0.51	-0.55	-0.59	-0.61	-0.64	-0.65	-0.66	-0.67	-0.66	-0.65	-0.63	-0.58	-0.52	-0.42	-0.27	0	-0.7
0.8	0	-0.18	-0.30	-0.39	-0.46	-0.51	-0.55	-0.58	-0.61	-0.63	-0.65	-0.66	-0.67	-0.66	-0.65	-0.63	-0.59	-0.52	-0.43	-0.27	0	-0.8
0.9	0	-0.18	-0.30	-0.39	-0.46	-0.50	-0.55	-0.58	-0.61	-0.63	-0.65	-0.66	-0.67	-0.66	-0.65	-0.63	-0.59	-0.52	-0.43	-0.27	0	-0.9
1.0	0	-0.18	-0.30	-0.39	-0.46	-0.50	-0.55	-0.58	-0.61	-0.63	-0.65	-0.66	-0.67	-0.66	-0.65	-0.63	-0.59	-0.52	-0.43	-0.27	0	-1.0
	1.0	0.9	0.8	0.7	0.6	0.5	0.4	0.3	0.2	0.1	0.0	-0.1	-0.2	-0.3	-0.4	-0.5	-0.6	-0.7	-0.8	-0.9	-1.0	$\xi \backslash \alpha$

$t=1, \bar{T}$

Tabelul 5.17b



		$t=1 \quad \bar{M}$																				Tabelul 5.17c	
$\alpha \backslash \varphi$		-1.0	-0.9	-0.8	-0.7	-0.6	-0.5	-0.4	-0.3	-0.2	-0.1	0.0	0.1	0.2	0.3	0.4	0.5	0.6	0.7	0.8	0.9	1.0	
0.0	0	-0.01	-0.04	-0.08	-0.14	-0.18	-0.24	-0.30	-0.36	-0.43	-0.50	0.43	0.36	0.30	0.24	0.18	0.14	0.08	0.04	0.01	0	0	0.0
0.1	0	-0.01	-0.04	-0.08	-0.13	-0.19	-0.25	-0.31	-0.37	-0.44	-0.51	0.51	0.43	0.36	0.29	0.23	0.17	0.12	0.07	0.03	0.01	0	-0.1
0.2	0	-0.01	-0.04	-0.08	-0.12	-0.18	-0.23	-0.29	-0.36	-0.42	-0.49	0.53	0.45	0.38	0.31	0.25	0.19	0.13	0.08	0.04	0.01	0	-0.2
0.3	0	-0.01	-0.03	-0.07	-0.11	-0.16	-0.22	-0.28	-0.33	-0.40	-0.48	0.53	0.46	0.39	0.32	0.27	0.20	0.16	0.09	0.05	0.02	0	-0.3
0.4	0	-0.01	-0.03	-0.07	-0.11	-0.16	-0.22	-0.27	-0.34	-0.40	-0.46	0.53	0.46	0.39	0.32	0.27	0.20	0.16	0.09	0.05	0.01	0	-0.4
0.5	0	-0.01	-0.03	-0.07	-0.11	-0.16	-0.21	-0.27	-0.33	-0.40	-0.46	0.53	0.46	0.39	0.32	0.27	0.20	0.16	0.09	0.05	0.01	0	-0.5
0.6	0	-0.01	-0.03	-0.07	-0.11	-0.16	-0.22	-0.27	-0.34	-0.40	-0.46	0.53	0.46	0.39	0.32	0.27	0.20	0.16	0.09	0.05	0.01	0	-0.6
0.7	0	-0.01	-0.03	-0.07	-0.11	-0.16	-0.21	-0.27	-0.33	-0.39	-0.46	0.52	0.59	0.66	0.72	0.79	0.85	0.90	0.95	0.99	0.01	0	-0.7
0.8	0	-0.01	-0.03	-0.07	-0.11	-0.16	-0.21	-0.27	-0.33	-0.39	-0.46	0.52	0.59	0.66	0.72	0.79	0.85	0.90	0.95	0.99	0.01	0	-0.8
0.9	0	-0.01	-0.03	-0.07	-0.11	-0.16	-0.21	-0.27	-0.33	-0.39	-0.46	0.52	0.59	0.66	0.72	0.79	0.85	0.90	0.95	0.99	0.01	0	-0.9
1.0	0	-0.01	-0.03	-0.07	-0.11	-0.16	-0.21	-0.27	-0.33	-0.39	-0.46	0.52	0.59	0.66	0.72	0.79	0.85	0.90	0.95	0.99	0.01	0	-1.0
	1.0	0.9	0.8	0.7	0.6	0.5	0.4	0.3	0.2	0.1	0.0	-0.1	-0.2	-0.3	-0.4	-0.5	-0.6	-0.7	-0.8	-0.9	-1.0		$\alpha$

		$t=2 \quad \bar{P}$																				Tabelul 5.18a	
$\alpha \backslash \varphi$		-1.0	-0.9	-0.8	-0.7	-0.6	-0.5	-0.4	-0.3	-0.2	-0.1	0.0	0.1	0.2	0.3	0.4	0.5	0.6	0.7	0.8	0.9	1.0	
0.0	-	-1.60	-1.19	-0.87	-0.65	-0.52	-0.43	-0.35	-0.26	-0.14	0	0.14	0.26	0.35	0.43	0.52	0.65	0.87	1.19	1.60	-	0.0	
0.1	-	-1.63	-0.87	-0.54	-0.54	-0.48	-0.39	-0.32	-0.26	-0.19	-0.09	0.06	0.22	0.35	0.45	0.55	0.78	1.04	1.40	1.60	-	-0.1	
0.2	-	-1.50	-0.88	-0.56	-0.56	-0.48	-0.41	-0.34	-0.29	-0.24	-0.16	-0.05	0.09	0.24	0.38	0.51	0.65	0.87	1.23	1.77	-	-0.2	
0.3	-	-1.64	-1.06	-0.79	-0.61	-0.50	-0.44	-0.38	-0.33	-0.27	-0.22	-0.15	-0.04	0.10	0.28	0.44	0.56	0.66	0.95	1.70	-	-0.3	
0.4	-	-1.34	-1.03	-0.78	-0.60	-0.51	-0.44	-0.39	-0.34	-0.28	-0.23	-0.17	-0.09	0.04	0.21	0.40	0.60	0.82	1.17	2.01	-	-0.4	
0.5	-	-1.31	-1.05	-0.80	-0.61	-0.50	-0.44	-0.39	-0.35	-0.30	-0.24	-0.19	-0.11	-0.01	0.14	0.35	0.61	0.94	1.37	2.07	-	-0.5	
0.6	-	-1.32	-0.90	-0.69	-0.56	-0.48	-0.42	-0.38	-0.34	-0.29	-0.25	-0.19	-0.12	-0.03	0.09	0.28	0.56	0.95	1.38	2.16	-	-0.6	
0.7	-	-1.29	-0.90	-0.69	-0.56	-0.48	-0.42	-0.38	-0.34	-0.30	-0.26	-0.21	-0.14	-0.06	0.05	0.21	0.44	0.80	1.36	2.30	-	-0.7	
0.8	-	-1.28	-0.90	-0.69	-0.56	-0.48	-0.42	-0.38	-0.34	-0.30	-0.26	-0.21	-0.15	-0.06	0.04	0.19	0.41	0.76	1.33	2.33	-	-0.8	
0.9	-	-1.28	-0.90	-0.69	-0.56	-0.48	-0.42	-0.38	-0.34	-0.30	-0.26	-0.21	-0.15	-0.06	0.05	0.20	0.42	0.76	1.32	3.32	-	-0.9	
1.0	-	-1.28	-0.90	-0.69	-0.56	-0.48	-0.42	-0.38	-0.34	-0.30	-0.26	-0.21	-0.15	-0.06	0.05	0.20	0.42	0.76	1.32	3.32	-	-1.0	
	1.0	0.9	0.8	0.7	0.6	0.5	0.4	0.3	0.2	0.1	0.0	-0.1	-0.2	-0.3	-0.4	-0.5	-0.6	-0.7	-0.8	-0.9	-1.0	$\alpha$	

		$t=2 \quad \bar{T}$																				Tabelul 5.18b	
$\alpha \backslash \varphi$		-1.0	-0.9	-0.8	-0.7	-0.6	-0.5	-0.4	-0.3	-0.2	-0.1	0.0	0.1	0.2	0.3	0.4	0.5	0.6	0.7	0.8	0.9	1.0	
0.0	0	-0.19	-0.32	-0.43	-0.50	-0.56	-0.61	-0.65	-0.68	-0.70	-0.70	-0.70	-0.68	-0.65	-0.61	-0.56	-0.50	-0.43	-0.32	-0.19	0	0.0	
0.1	0	-0.27	-0.38	-0.44	-0.50	-0.55	-0.60	-0.63	-0.66	-0.68	-0.70	-0.70	-0.68	-0.65	-0.61	-0.56	-0.50	-0.41	-0.29	-0.13	0	-0.1	
0.2	0	-0.22	-0.33	-0.41	-0.47	-0.52	-0.56	-0.60	-0.63	-0.66	-0.68	-0.69	-0.69	-0.67	-0.64	-0.60	-0.54	-0.46	-0.36	-0.21	0	-0.2	
0.3	0	-0.15	-0.27	-0.36	-0.43	-0.49	-0.53	-0.57	-0.61	-0.64	-0.66	-0.68	-0.69	-0.69	-0.67	-0.63	-0.58	-0.52	-0.44	-0.31	0	-0.3	
0.4	0	-0.15	-0.27	-0.36	-0.42	-0.48	-0.53	-0.57	-0.60	-0.64	-0.66	-0.68	-0.70	-0.70	-0.69	-0.66	-0.61	-0.54	-0.44	-0.29	0	-0.4	
0.5	0	-0.14	-0.26	-0.35	-0.42	-0.48	-0.52	-0.56	-0.60	-0.63	-0.66	-0.68	-0.70	-0.70	-0.69	-0.67	-0.63	-0.55	-0.44	-0.27	0	-0.5	
0.6	0	-0.17	-0.28	-0.36	-0.42	-0.47	-0.52	-0.56	-0.59	-0.62	-0.65	-0.67	-0.69	-0.70	-0.69	-0.67	-0.63	-0.56	-0.44	-0.27	0	-0.6	
0.7	0	-0.16	-0.27	-0.35	-0.41	-0.46	-0.50	-0.54	-0.58	-0.61	-0.64	-0.66	-0.68	-0.69	-0.69	-0.68	-0.65	-0.59	-0.48	-0.30	0	-0.7	
0.8	0	-0.16	-0.26	-0.34	-0.40	-0.46	-0.50	-0.54	-0.58	-0.61	-0.64	-0.66	-0.68	-0.69	-0.69	-0.68	-0.65	-0.59	-0.49	-0.31	0	-0.8	
0.9	0	-0.16	-0.26	-0.34	-0.40	-0.46	-0.50	-0.54	-0.58	-0.61	-0.64	-0.66	-0.68	-0.69	-0.69	-0.68	-0.65	-0.59	-0.49	-0.31	0	-0.9	
1.0	0	-0.16	-0.26	-0.34	-0.40	-0.46	-0.50	-0.54	-0.58	-0.61	-0.64	-0.66	-0.68	-0.69	-0.69	-0.68	-0.65	-0.59	-0.49	-0.31	0	-1.0	
	1.0	0.9	0.8	0.7	0.6	0.5	0.4	0.3	0.2	0.1	0.0	-0.1	-0.2	-0.3	-0.4	-0.5	-0.6	-0.7	-0.8	-0.9	-1.0	$\varphi \backslash \alpha$	

		$t=2 \quad \bar{M}$																				Tabelul 5.18c	
$\alpha \backslash \varphi$		-1.0	-0.9	-0.8	-0.7	-0.6	-0.5	-0.4	-0.3	-0.2	-0.1	0.0	0.1	0.2	0.3	0.4	0.5	0.6	0.7	0.8	0.9	1.0	
0.0	0	-0.01	-0.04	-0.07	-0.12	-0.17	-0.23	-0.29	-0.36	-0.43	-0.50	0.43	0.36	0.29	0.23	0.17	0.12	0.07	0.04	0.01	0	0	0.0
0.1	0	-0.02	0.05	-0.09	-0.14	-0.19	-0.25	-0.31	-0.38	-0.44	-0.51	0.58	0.35	0.28	0.22	0.16	0.11	0.06	0.02	0.00	0	0	-0.1
0.2	0	-0.01	-0.04	-0.08	-0.12	-0.17	-0.23	-0.28	-0.35	-0.41	-0.48	0.55	0.32	0.25	0.19	0.13	0.08	0.04	0.01	0	0	0	-0.2
0.3	0	-0.01	-0.03	-0.06	-0.10	-0.14	-0.20	-0.25	-0.31	-0.37	-0.44	0.51	0.57	0.64	0.29	0.22	0.16	0.11	0.06	0.01	0	0	-0.3
0.4	0	-0.01	-0.02	-0.06	-0.10	-0.14	-0.19	-0.25	-0.31	-0.37	-0.43	0.50	0.57	0.64	0.71	0.22	0.16	0.10	0.05	0.01	0	0	-0.4
0.5	0	-0.01	-0.03	-0.06	-0.10	-0.14	-0.19	-0.25	-0.30	-0.37	-0.43	0.50	0.57	0.64	0.71	0.78	0.16	0.10	0.05	0.01	0	0	-0.5
0.6	0	-0.01	-0.03	-0.06	-0.10	-0.14	-0.20	-0.25	-0.31	-0.37	-0.43	0.50	0.57	0.64	0.71	0.78	0.64	0.10	0.05	0.01	0	0	-0.6
0.7	0	-0.01	-0.03	-0.06	-0.10	-0.14	-0.19	-0.24	-0.30	-0.36	-0.42	0.49	0.55	0.62	0.69	0.76	0.83	0.89	0.94	0.99	0	0	-0.7
0.8	0	-0.01	-0.03	-0.06	-0.10	-0.14	-0.19	-0.24	-0.30	-0.36	-0.42	0.48	0.55	0.62	0.69	0.76	0.82	0.89	0.94	0.99	0	0	-0.8
0.9	0	-0.01	-0.03	-0.06	-0.10	-0.14	-0.19	-0.24	-0.30	-0.36	-0.42	0.48	0.55	0.62	0.69	0.76	0.82	0.89	0.94	0.99	0	0	-0.9
1.0	0	-0.01	-0.03	-0.06	-0.10	-0.14	-0.19	-0.24	-0.30	-0.36	-0.42	0.48	0.55	0.62	0.69	0.76	0.82	0.89	0.94	0.99	0	0	-1.0
	1.0	0.9	0.8	0.7	0.6	0.5	0.4	0.3	0.2	0.1	0.0	-0.1	-0.2	-0.3	-0.4	-0.5	-0.6	-0.7	-0.8	-0.9	-1.0		$\alpha$



$t=3, \bar{p}$																							Tabelul 5.19a			
$\alpha \backslash \xi$	-1.0	-0.9	-0.8	-0.7	-0.6	-0.5	-0.4	-0.3	-0.2	-0.1	0.0	0.1	0.2	0.3	0.4	0.5	0.6	0.7	0.8	0.9	1.0					
0.0	-	1.55	1.22	0.91	0.69	-0.56	-0.48	-0.41	-0.31	-0.17	0	0.17	0.31	0.41	0.48	0.56	0.69	0.91	1.22	1.55	-	0.0				
0.1	-	1.59	1.26	0.94	0.71	-0.50	-0.42	-0.35	-0.25	-0.13	0.05	0.25	0.41	0.50	0.60	0.80	1.23	1.65	1.56	-	-0.1					
0.2	-	1.42	1.17	0.80	0.55	-0.50	-0.44	-0.39	-0.36	-0.31	-0.24	-0.11	0.06	0.24	0.41	0.54	0.69	0.91	1.28	1.80	-	-0.2				
0.3	-	1.24	1.05	0.76	0.62	-0.53	-0.48	-0.44	-0.40	-0.35	-0.30	-0.24	-0.12	0.05	0.26	0.45	0.55	0.58	0.84	2.07	-	-0.3				
0.4	-	1.20	1.01	0.77	0.61	-0.52	-0.48	-0.45	-0.41	-0.37	-0.33	0.28	-0.19	-0.05	0.16	0.39	0.61	0.82	1.17	2.13	-	-0.4				
0.5	-	1.16	1.03	0.81	0.63	-0.52	-0.48	-0.45	-0.43	-0.39	-0.35	-0.29	-0.22	-0.11	-0.06	0.31	0.63	1.00	1.47	2.22	-	-0.5				
0.6	-	1.18	0.81	0.64	0.56	-0.49	-0.46	-0.43	-0.41	-0.38	-0.35	-0.30	-0.23	-0.15	-0.01	0.20	0.55	1.03	1.64	2.36	-	-0.6				
0.7	-	1.13	0.81	0.64	0.55	-0.49	-0.46	-0.43	-0.41	-0.39	-0.36	-0.32	-0.26	-0.18	0.06	0.11	0.37	0.79	1.46	2.56	-	-0.7				
0.8	-	1.11	0.81	0.64	0.55	-0.49	-0.46	-0.43	-0.41	-0.39	-0.36	-0.32	-0.27	-0.19	0.08	0.08	0.33	0.73	1.41	2.60	-	-0.8				
0.9	-	1.11	0.81	0.64	0.55	-0.49	-0.46	-0.43	-0.41	-0.39	-0.36	-0.32	-0.27	-0.19	0.08	0.09	0.34	0.73	1.40	2.59	-	-0.9				
1.0	-	1.11	0.81	0.64	0.55	-0.49	-0.46	-0.43	-0.41	-0.39	-0.36	-0.32	-0.27	-0.19	-0.08	0.09	0.34	0.74	1.40	2.59	-	-1.0				
	1.0	0.9	0.8	0.7	0.6	0.5	0.4	0.3	0.2	0.1	0.0	-0.1	-0.2	-0.3	-0.4	-0.5	-0.6	-0.7	-0.8	-0.9	-1.0	$\xi \backslash \alpha$				

$t=3, \bar{T}$  Tabelul 5.19b

$\alpha \backslash \xi$	-1.0	-0.9	-0.8	-0.7	-0.6	-0.5	-0.4	-0.3	-0.2	-0.1	0.0	0.1	0.2	0.3	0.4	0.5	0.6	0.7	0.8	0.9	1.0	
0.0	0	-0.17	-0.31	-0.42	-0.50	-0.56	-0.61	-0.65	-0.69	-0.71	-0.72	-0.71	-0.69	-0.65	-0.61	-0.56	-0.50	-0.42	-0.31	-0.17	0	0.0
0.1	0	-0.29	-0.39	-0.44	-0.49	-0.54	-0.59	-0.63	-0.66	-0.69	-0.71	-0.72	-0.70	-0.67	-0.62	-0.57	-0.50	-0.40	-0.26	-0.09	0	-0.1
0.2	0	-0.22	-0.32	-0.39	-0.45	-0.50	-0.55	-0.59	-0.63	-0.66	-0.69	-0.70	-0.71	-0.69	-0.66	-0.61	-0.55	-0.47	-0.36	-0.21	0	-0.2
0.3	0	-0.12	-0.24	-0.33	-0.40	-0.45	-0.50	-0.55	-0.59	-0.63	-0.66	-0.69	-0.71	-0.71	-0.70	-0.66	-0.61	-0.55	-0.49	-0.35	0	-0.3
0.4	0	-0.12	-0.23	-0.32	-0.39	-0.44	-0.50	-0.54	-0.58	-0.62	-0.66	-0.69	-0.71	-0.73	-0.72	-0.69	-0.64	-0.57	-0.47	-0.32	0	-0.4
0.5	0	-0.11	-0.22	-0.33	-0.39	-0.44	-0.49	-0.54	-0.58	-0.62	-0.66	-0.69	-0.72	-0.73	-0.74	-0.72	-0.67	-0.61	-0.47	-0.29	0	-0.5
0.6	0	-0.15	-0.25	-0.32	-0.38	-0.43	-0.48	-0.52	-0.57	-0.61	-0.64	-0.68	-0.70	-0.72	-0.73	-0.72	-0.68	-0.61	-0.47	-0.28	0	-0.6
0.7	0	-0.14	-0.23	-0.31	-0.36	-0.42	-0.46	-0.51	-0.55	-0.59	-0.63	-0.66	-0.69	-0.71	-0.73	-0.73	-0.70	-0.65	-0.54	-0.34	0	-0.7
0.8	0	-0.13	-0.23	-0.30	-0.36	-0.41	-0.46	-0.50	-0.55	-0.59	-0.62	-0.66	-0.69	-0.71	-0.73	-0.73	-0.71	-0.65	-0.55	-0.36	0	-0.8
0.9	0	-0.13	-0.23	-0.30	-0.36	-0.41	-0.46	-0.50	-0.55	-0.59	-0.62	-0.66	-0.69	-0.71	-0.73	-0.73	-0.71	-0.65	-0.55	-0.36	0	-0.9
1.0	0	-0.13	-0.23	-0.30	-0.36	-0.41	-0.46	-0.50	-0.55	-0.59	-0.62	-0.66	-0.69	-0.71	-0.73	-0.73	-0.71	-0.65	-0.55	-0.36	0	-1.0
	1.0	0.9	0.8	0.7	0.6	0.5	0.4	0.3	0.2	0.1	0.0	-0.1	-0.2	-0.3	-0.4	-0.5	-0.6	-0.7	-0.8	-0.9	-1.0	$\alpha$

$t=3, \bar{M}$  Tabelul 5.19c

$\alpha \backslash \xi$	-1.0	-0.9	-0.8	-0.7	-0.6	-0.5	-0.4	-0.3	-0.2	-0.1	0.0	0.1	0.2	0.3	0.4	0.5	0.6	0.7	0.8	0.9	1.0	
0.0	0	-0.01	-0.03	-0.07	-0.12	-0.17	-0.23	-0.29	-0.36	-0.43	-0.50	0.43	0.36	0.29	0.23	0.17	0.12	0.07	0.03	0.01	0	0.0
0.1	0	-0.01	-0.05	-0.10	-0.14	-0.20	-0.25	-0.31	-0.38	-0.45	-0.52	-0.59	0.34	0.27	0.21	0.15	0.09	0.05	0.02	0.01	0	-0.1
0.2	0	-0.01	-0.04	-0.08	-0.12	-0.17	-0.22	-0.28	-0.34	-0.40	-0.46	-0.52	-0.54	0.32	0.25	0.19	0.13	0.08	0.04	0.01	0	-0.2
0.3	0	0.00	-0.02	-0.05	-0.09	-0.13	-0.18	-0.23	-0.29	-0.35	-0.41	-0.48	-0.55	-0.62	0.31	0.24	0.18	0.12	0.06	0.02	0	-0.3
0.4	0	0.00	-0.02	-0.05	-0.09	-0.13	-0.17	-0.23	-0.28	-0.34	-0.41	-0.47	-0.54	-0.62	-0.69	0.24	0.17	0.11	0.06	0.02	0	-0.4
0.5	0	-0.01	-0.02	-0.05	-0.09	-0.13	-0.17	-0.23	-0.28	-0.34	-0.40	-0.47	-0.54	-0.61	-0.69	-0.76	0.17	0.11	0.06	0.02	0	-0.5
0.6	0	-0.01	-0.03	-0.06	-0.09	-0.13	-0.18	-0.23	-0.28	-0.34	-0.41	-0.47	-0.54	-0.61	-0.68	-0.76	-0.83	0.11	0.05	0.01	0	-0.6
0.7	0	-0.01	-0.03	-0.05	-0.09	-0.13	-0.17	-0.22	-0.27	-0.33	-0.39	-0.45	-0.52	-0.59	-0.66	-0.74	-0.81	-0.88	0.06	0.02	0	-0.7
0.8	0	-0.01	-0.03	-0.05	-0.09	-0.12	-0.17	-0.22	-0.27	-0.32	-0.39	-0.45	-0.52	-0.59	-0.66	-0.73	-0.80	-0.87	-0.93	0.02	0	-0.8
0.9	0	-0.01	-0.03	-0.05	-0.09	-0.12	-0.17	-0.22	-0.27	-0.33	-0.39	-0.45	-0.52	-0.59	-0.66	-0.73	-0.80	-0.87	-0.93	0.02	0	-0.9
1.0	0	-0.01	-0.03	-0.05	-0.09	-0.12	-0.17	-0.22	-0.27	-0.33	-0.39	-0.45	-0.52	-0.59	-0.66	-0.73	-0.80	-0.87	-0.93	-0.98	-1.0	-1.0
	1.0	0.9	0.8	0.7	0.6	0.5	0.4	0.3	0.2	0.1	0.0	-0.1	-0.2	-0.3	-0.4	-0.5	-0.6	-0.7	-0.8	-0.9	-1.0	$\alpha$

$t=5, \bar{p}$  Tabelul 5.20a

$\alpha \backslash \xi$	-1.0	-0.9	-0.8	-0.7	-0.6	-0.5	-0.4	-0.3	-0.2	-0.1	0.0	0.1	0.2	0.3	0.4	0.5	0.6	0.7	0.8	0.9	1.0	
0.0	-	-1.48	-1.29	-0.99	-0.76	-0.62	-0.57	-0.51	-0.39	-0.23	0	0.23	0.39	0.51	0.57	0.62	0.76	0.99	1.29	1.48	-	0.0
0.1	-	-1.49	-0.28	-0.30	-0.49	-0.54	-0.50	-0.46	-0.43	-0.39	-0.24	0.00	0.29	0.49	0.60	0.68	0.93	1.47	2.03	1.53	-	-0.1
0.2	-	-1.27	-0.54	-0.48	-0.53	-0.54	-0.51	-0.49	-0.48	-0.46	-0.38	-0.21	0.02	0.26	0.47	0.61	0.76	0.99	1.38	1.86	-	-0.2
0.3	-	-1.04	-1.05	-0.81	-0.64	-0.56	-0.55	-0.53	-0.51	-0.48	-0.45	-0.38	-0.25	-0.02	0.26	0.49	0.53	0.43	0.61	2.22	-	-0.3
0.4	-	-0.98	-0.98	-0.78	-0.63	-0.56	-0.55	-0.54	-0.53	-0.50	-0.48	-0.45	-0.36	-0.18	0.08	0.38	0.64	0.82	1.15	2.31	-	-0.4
0.5	-	-0.91	-1.03	-0.84	-0.69	-0.55	-0.55	-0.55	-0.55	-0.54	-0.51	-0.48	-0.41	-0.29	-0.07	0.25	0.66	1.12	1.65	2.47	-	-0.5
0.6	-	-0.93	-0.65	-0.56	-0.53	-0.52	-0.52	-0.52	-0.53	-0.53	-0.53	-0.49	-0.44	-0.35	-0.20	0.08	0.53	1.17	1.94	2.70	-	-0.6
0.7	-	-0.87	-0.66	-0.56	-0.54	-0.51	-0.51	-0.51	-0.52	-0.53	-0.53	-0.51	-0.47	-0.40	-0.28	-0.08	0.24	0.77	1.62	3.01	-	-0.7
0.8	-	-0.85	-0.67	-0.57	-0.54	-0.50	-0.51	-0.51	-0.52	-0.53	-0.53	-0.51	-0.48	0.41	0.30	-0.12	0.17	0.67	1.54	3.09	-	-0.8
0.9	-	-0.85	-0.67	-0.57	-0.54	-0.51	-0.51	-0.51	-0.52	-0.53	-0.53	-0.51	-0.48	0.41	0.30	-0.11	0.18	0.68	1.53	3.06	-	-0.9
1.0	-	-0.85	-0.67	-0.57	-0.54	-0.51	-0.51	-0.51	-0.52	-0.53	-0.53	-0.51	-0.48	0.41	0.30	-0.11	0.19	0.68	1.53	3.05	-	-1.0
	1.0	0.9	0.8	0.7	0.6	0.5	0.4	0.3	0.2	0.1	0.0	-0.1	-0.2	-0.3	-0.4	-0.5	-0.6	-0.7	-0.8	-0.9	-1.0	$\alpha$

$t=5, \bar{T}$  Tabelul 5.20b

$\alpha \backslash \xi$	-1.0	-0.9	-0.8	-0.7	-0.6	-0.5	-0.4	-0.3	-0.2	-0.1	0.0	0.1	0.2	0.3	0.4	0.5	0.6	0.7	0.8	0.9	1.0	
0.0	0	-0.14	-0.28	-0.40	-0.48	-0.55	-0.61	-0.67	-0.71	-0.75	-0.76	-0.75	-0.71	-0.67	-0.61	-0.55	-0.48	-0.40	-0.28	-0.14	0	0.0
0.1	0	0.34	-0.40	-0.43	-0.47	-0.52	-0.57	-0.62	-0.67	-0.72	-0.74	-0.76	-0.73	-0.70	-0.64	-0.58	-0.50	-0.38	-0.20	-0.01	0	-0.1
0.2	0	-0.23	-0.31	-0.36	-0.41	-0.46	-0.51	-0.56	-0.61	-0.66	-0.70	-0.73	-0.74	-0.73	-0.69	-0.64	-0.57	-0.48	-0.36	-0.20	0	-0.2
0.3	0	-0.07	-0.18	-0.27	-0.34	-0.40	-0.46	-0.51	-0.57	-0.61	-0.66	-0.70	-0.74	-0.75	-0.74	-0.70	-0.65	-0.60	-0.55	-0.43	0	-0.3
0.4	0	-0.07	-0.17	-0.26	-0.33	-0.39	-0.45	-0.50	-0.55	-0.60	-0.65	-0.70	-0.74	-0.77	-0.78	-0.75	-0.70	-0.63	-0.53	-0.37	0	-0.4
0.5	0	-0.05	-0.15	-0.25	-0.32	-0.38	-0.44	-0.49	-0.54	-0.60	-0.65	-0.70	-0.75	-0.78	-0.80	-0.79	-0.75	-0.66	-0.52	-0.32	0	-0.5
0.6	0	-0.17	-0.20	-0.26	-0.31	-0.37	-0.42	-0.47	-0.52	-0.58	-0.63	-0.68	-0.73	-0.77	-0.79	-0.80	-0.77	-0.69	-0.53	-0.34	0	-0.6
0.7	0	-0.10	-0.18	-0.24	-0.29	-0.35	-0.40	-0.45	-0.50	-0.55	-0.60	-0.66	-0.71	-0.75	-0.78	-0.80	-0.80	-0.75	-0.63	-0.40	0	-0.7
0.8	0	-0.10	-0.17	-0.23	-0.29	-0.34	-0.39	-0.44	-0.49	-0.55	-0.60	-0.65	-0.70	-0.75	-0.78	-0.80	-0.80	-0.76	-0.65	-0.43	0	-0.8
0.9	0	-0.10	-0.17	-0.23	-0.29	-0.34	-0.39	-0.44	-0.49	-0.55	-0.60	-0.65	-0.70	-0.75	-0.78	-0.80	-0.80	-0.76	-0.65	-0.43	0	-0.9
1.0	0	-0.10	-0.17	-0.23	-0.29	-0.34	-0.39	-0.44	-0.49	-0.55	-0.60	-0.65	-0.70	-0.75	-0.78	-0.80	-0.80	-0.76	-0.65	-0.43	0	-1.0
	1.0	0.9	0.8	0.7	0.6	0.5	0.4	0.3	0.2	0.1	0.0	-0.1	-0.2	-0.3	-0.4	-0.5	-0.6	-0.7	-0.8	-0.9	-1.0	$\xi \backslash \alpha$

$t=5, \bar{M}$  Tabelul 5.20c

$\alpha \backslash \xi$	-1.0	-0.9	-0.8	-0.7	-0.6	-0.5	-0.4	-0.3	-0.2	-0.1	0.0	0.1	0.2	0.3	0.4	0.5	0.6	0.7	0.8	0.9	1.0	
0.0	0	-0.01	-0.03	-0.06	-0.11	-0.16	-0.22	-0.28	-0.35	-0.42	-0.50	-0.42	-0.35	-0.28	-0.22	-0.16	-0.11	-0.06	-0.03	-0.01	0	0.0
0.1	0	-0.02	-0.06	-0.11	-0.15	-0.20	-0.26	-0.32	-0.38	-0.45	-0.52	-0.60	-0.52	-0.45	-0.38	-0.32	-0.26	-0.20	-0.15	-0.11	0	-0.1
0.2	0	-0.01	-0.04	-0.08	-0.11	-0.16	-0.21	-0.26	-0.32	-0.38	-0.45	-0.52	-0.60	-0.52	-0.45	-0.38	-0.32	-0.26	-0.20	-0.15	0	-0.2
0.3	0	0.00	-0.01	-0.04	-0.06	-0.10	-0.15	-0.19	-0.25	-0.31	-0.37	-0.44	-0.51	-0.59	-0.52	-0.45	-0.38	-0.32	-0.26	-0.20	0	-0.3
0.4	0	0.00	-0.01	-0.03	-0.06	-0.10	-0.14	-0.19	-0.24	-0.30	-0.36	-0.43	-0.50	-0.58	-0.66	-0.57	-0.49	-0.42	-0.36	-0.30	0	-0.4
0.5	0	0.00	-0.01	-0.03	-0.06	-0.10	-0.14	-0.18	-0.23	-0.29	-0.35	-0.42	-0.49	-0.57	-0.65	-0.73	-0.81	-0.88	-0.92	-0.93	0	-0.5
0.6	0	-0.01	-0.02	-0.05	-0.07	-0.11	-0.15	-0.19	-0.24	-0.30	-0.36	-0.42	-0.49	-0.57	-0.65	-0.73	-0.81	-0.88	-0.92	-0.93	0	-0.6
0.7	0	0.00	-0.02	-0.04	-0.07	-0.10	-0.14	-0.18	-0.23	-0.28	-0.34	-0.40	-0.47	-0.54	-0.62	-0.70	-0.78	-0.86	-0.92	-0.93	0	-0.7
0.8	0	0.00	-0.02	-0.04	-0.07	-0.10	-0.13	-0.17	-0.22	-0.27	-0.33	-0.39	-0.46	-0.53	-0.61	-0.69	-0.77	-0.85	-0.92	-0.93	0	-0.8
0.9	0	0.00	-0.02	-0.04	-0.07	-0.10	-0.13	-0.17	-0.22	-0.27	-0.33	-0.39	-0.46	-0.53	-0.61	-0.69	-0.77	-0.85	-0.92	-0.93	0	-0.9
1.0	0	0.00	-0.02	-0.04	-0.07	-0.10	-0.13	-0.17	-0.22	-0.27	-0.33	-0.39	-0.46	-0.53	-0.61	-0.69	-0.77	-0.85	-0.92	-0.93	0	-1.0
	1.0	0.9	0.8	0.7	0.6	0.5	0.4	0.3	0.2	0.1	0.0	-0.1	-0.2	-0.3	-0.4	-0.5	-0.6	-0.7	-0.8	-0.9	-1.0	$\xi \backslash \alpha$

$t=7, \bar{M}$  Tabelul 5.21c

$\alpha \backslash \xi$	-1.0	-0.9	-0.8	-0.7	-0.6	-0.5	-0.4	-0.3	-0.2	-0.1	0.0	0.1	0.2	0.3	0.4	0.5	0.6	0.7	0.8	0.9	1.0	
0.0	0	-0.01	-0.02	-0.06	-0.10	-0.15	-0.21	-0.27	-0.35	-0.42	-0.50	-0.42	-0.35	-0.27	-0.21	-0.15	-0.10	-0.06	-0.02	-0.01	0	0.0
0.1	0	-0.03	-0.07	-0.12	-0.16	-0.21	-0.26	-0.32	-0.39	-0.46	-0.53	-0.61	-0.53	-0.46	-0.39	-0.32	-0.26	-0.21	-0.16	-0.12	0	-0.1
0.2	0	-0.01	-0.06	-0.08	-0.11	-0.15	-0.20	-0.25	-0.31	-0.37	-0.44	-0.51	-0.59	-0.52	-0.45	-0.38	-0.32	-0.26	-0.21	-0.16	0	-0.2
0.3	0	0.00	-0.02	-0.05	-0.08	-0.12	-0.16	-0.22	-0.27	-0.34	-0.40	-0.48	-0.56	-0.52	-0.45	-0.38	-0.32	-0.26	-0.21	-0.16	0	-0.3
0.4	0	0.00	-0.02	-0.05	-0.08	-0.12	-0.16	-0.22	-0.27	-0.34	-0.40	-0.48	-0.56	-0.52	-0.45	-0.38	-0.32	-0.26	-0.21	-0.16	0	-0.4
0.5	0	0.00	-0.02	-0.05	-0.08	-0.12	-0.16	-0.22	-0.27	-0.34	-0.40	-0.48	-0.56	-0.52	-0.45	-0.38	-0.32	-0.26	-0.21	-0.16	0	-0.5
0.6	0	-0.01	-0.02	-0.04	-0.07	-0.10	-0.15	-0.20	-0.25	-0.31	-0.38	-0.46	-0.54	-0.62	-0.71	-0.81	-0.91	-0.98	-0.99	-0.99	0	-0.6
0.7	0	0.00	-0.01	-0.03	-0.05	-0.08	-0.11	-0.15	-0.19	-0.24	-0.29	-0.36	-0.42	-0.50	-0.59	-0.66	-0.75	-0.84	-0.91	-0.97	0	-0.7
0.8	0	0.00	-0.01	-0.03	-0.05	-0.08	-0.11	-0.14	-0.18	-0.23	-0.29	-0.35	-0.41	-0.49	-0.57	-0.65	-0.74	-0.83	-0.91	-0.97	0	-0.8
0.9	0	0.00	-0.01	-0.03	-0.05	-0.08	-0.11	-0.14	-0.18	-0.23	-0.29	-0.35	-0.41	-0.49	-0.57	-0.65	-0.74	-0.83	-0.91	-0.97	0	-0.9
1.0	0	0.00	-0.01	-0.03	-0.05	-0.08	-0.11	-0.14	-0.18	-0.23	-0.29	-0.35	-0.42	-0.49	-0.57	-0.65	-0.74	-0.83	-0.91	-0.97	-1*	-1.0
	1.0	0.9	0.8	0.7	0.6	0.5	0.4	0.3	0.2	0.1	0.0	-0.1	-0.2	-0.3	-0.4	-0.5	-0.6	-0.7	-0.8	-0.9	-1.0	$\xi \backslash \alpha$

$t=10, \bar{p}$

Tabelul 5.22a

$\alpha \backslash \xi$	-1.0	-0.9	-0.8	-0.7	-0.6	-0.5	-0.4	-0.3	-0.2	-0.1	0.0	0.1	0.2	0.3	0.4	0.5	0.6	0.7	0.8	0.9	1.0	
0.0	-	-1.30	-1.47	-1.19	-0.91	-0.78	-0.77	-0.76	-0.63	-0.37	0	0.37	0.63	0.76	0.77	0.78	0.91	1.19	1.46	1.30	-	0.0
0.1	-	-1.26	-0.57	-0.19	-0.39	-0.64	-0.66	-0.68	-0.71	-0.70	-0.50	-0.09	0.39	0.71	0.83	0.88	1.25	2.14	2.97	1.44	-	-0.1
0.2	-	-0.98	-0.03	-0.19	-0.47	-0.60	-0.63	-0.67	-0.72	-0.75	-0.68	-0.42	-0.05	0.33	0.63	0.79	0.92	1.15	1.59	1.92	-	-0.2
0.3	-	-0.70	-1.14	-0.89	-0.67	-0.62	-0.65	-0.71	-0.70	-0.70	-0.71	-0.66	-0.49	-0.15	0.31	0.60	0.49	0.00	-0.07	2.43	-	-0.3
0.4	-	-0.61	-1.06	-0.83	-0.65	-0.57	-0.65	-0.69	-0.72	-0.74	-0.77	-0.78	-0.69	-0.44	-0.04	0.44	0.70	0.79	0.97	2.61	-	-0.4
0.5	-	-0.49	-1.11	-0.95	-0.70	-0.59	-0.62	-0.69	-0.76	-0.78	-0.80	-0.81	-0.78	-0.65	-0.35	0.14	0.75	1.38	2.00	2.89	-	-0.5
0.6	-	-0.52	-0.35	-0.40	-0.65	-0.54	-0.56	-0.65	-0.72	-0.78	-0.82	-0.83	-0.82	-0.75	-0.58	-0.19	0.66	1.48	2.58	3.34	-	-0.6
0.7	-	-0.45	-0.41	-0.42	-0.45	-0.50	-0.56	-0.62	-0.69	-0.75	-0.80	-0.84	-0.85	-0.81	-0.70	-0.48	-0.05	0.69	1.91	3.83	-	-0.7
0.8	-	-0.40	-0.45	-0.54	-0.46	-0.50	-0.56	-0.62	-0.68	-0.74	-0.80	-0.84	-0.86	-0.83	-0.75	-0.56	-0.20	0.47	1.74	4.03	-	-0.8
0.9	-	-0.42	-0.43	-0.43	-0.46	-0.50	-0.55	-0.62	-0.68	-0.74	-0.80	-0.84	-0.85	-0.82	-0.73	-0.54	-0.17	0.50	1.72	3.96	-	-0.9
1.0	-	-0.42	-0.43	-0.43	-0.46	-0.50	-0.55	-0.62	-0.68	-0.74	-0.80	-0.84	-0.85	-0.82	-0.73	-0.53	-0.16	0.50	1.71	3.95	-	-1.0
	1.0	0.9	0.8	0.7	0.6	0.5	0.4	0.3	0.2	0.1	0.0	-0.1	-0.2	-0.3	-0.4	-0.5	-0.6	-0.7	-0.8	-0.9	-1.0	$\xi \backslash \alpha$

$t=7 \quad \bar{D}$																						Tabel 5.21a	
$\alpha \backslash \xi$	-1,0	-0,9	-0,8	-0,7	-0,6	-0,5	-0,4	-0,3	-0,2	-0,1	0,0	0,1	0,2	0,3	0,4	0,5	0,6	0,7	0,8	0,9	1,0		
0,0	-	-1,40	-1,36	-1,07	-0,82	-0,69	-0,65	-0,61	-0,50	-0,28	0	0,28	0,50	0,61	0,65	0,69	0,82	1,07	1,36	1,40	-	0,0	
0,1	-	-1,41	-0,93	-0,11	-0,45	-0,57	-0,61	-0,54	-0,54	-0,51	-0,34	0,02	0,34	0,59	0,65	0,77	1,06	1,73	2,39	1,47	-	-0,1	
0,2	-	-1,14	-0,34	-0,36	0,50	-0,57	-0,56	-0,56	-0,58	-0,59	-0,50	-0,30	-0,01	0,29	0,53	0,69	0,83	1,06	1,47	1,89	-	-0,2	
0,3	-	-0,90	-1,00	0,44	-0,60	-0,59	-0,60	-0,61	-0,60	-0,57	-0,57	-0,53	-0,36	-0,08	0,27	0,53	0,51	0,26	0,42	2,35	-	-0,3	
0,4	-	-0,81	-0,28	-0,79	-0,64	-0,59	-0,60	-0,62	-0,62	-0,61	-0,61	-0,60	-0,51	-0,30	0,02	0,38	0,66	0,81	1,11	2,46	-	-0,4	
0,5	-	-0,66	-1,08	-0,91	-0,73	-0,62	-0,61	-0,64	-0,66	-0,66	-0,66	-0,64	-0,56	-0,42	-0,16	0,25	0,75	1,32	1,84	2,61	-	-0,5	
0,6	-	-0,56	-0,52	-0,49	-0,51	-0,53	-0,54	-0,58	-0,62	-0,65	-0,66	-0,66	-0,64	-0,61	-0,53	-0,35	-0,04	0,51	1,30	2,21	2,81	-	-0,6
0,7	-	-0,67	-0,55	-0,50	-0,49	-0,51	-0,54	-0,57	-0,61	-0,64	-0,66	-0,66	-0,64	-0,58	-0,46	-0,25	0,12	0,74	1,76	3,39	-	-0,7	
0,8	-	-0,64	-0,56	-0,51	-0,49	-0,50	-0,53	-0,57	-0,60	-0,63	-0,66	-0,67	-0,65	-0,60	-0,49	-0,31	0,02	0,60	1,63	3,49	-	-0,8	
0,9	-	-0,65	-0,56	-0,51	-0,50	-0,51	-0,53	-0,57	-0,60	-0,63	-0,66	-0,67	-0,65	-0,59	-0,49	-0,29	0,04	0,61	1,62	3,46	-	-0,9	
1,0	-	-0,65	-0,56	-0,51	-0,50	-0,51	-0,53	-0,57	-0,61	-0,63	-0,66	-0,67	-0,64	-0,59	-0,49	-0,29	0,04	0,61	1,62	3,45	-	-1,0	
	1,0	0,9	0,8	0,7	0,6	0,5	0,4	0,3	0,2	0,1	0,0	-0,1	-0,2	-0,3	-0,4	-0,5	-0,6	-0,7	-0,8	-0,9	-1,0	$\alpha$	

$t=7 \quad \bar{T}$  Tabelul 5.21b

$\alpha \backslash \xi$	1,0	-0,9	-0,8	-0,7	-0,6	-0,5	-0,4	-0,3	-0,2	-0,1	0,0	0,1	0,2	0,3	0,4	0,5	0,6	0,7	0,8	0,9	1,0	
0,0	0	-0,12	-0,26	-0,38	-0,47	-0,55	-0,62	-0,68	-0,74	-0,78	-0,79	-0,78	-0,74	-0,68	-0,62	-0,55	-0,47	-0,38	-0,26	-0,12	0	0,0
0,1	0	-0,40	-0,43	-0,43	-0,45	-0,50	-0,56	-0,62	-0,67	-0,72	-0,77	-0,78	-0,77	-0,72	-0,66	-0,58	-0,49	-0,36	-0,14	-0,08	0	-0,1
0,2	0	-0,24	-0,30	-0,33	-0,38	-0,43	-0,49	-0,54	-0,60	-0,66	-0,71	-0,76	-0,77	-0,76	-0,72	-0,65	-0,58	-0,49	-0,36	-0,19	0	-0,2
0,3	0	-0,02	-0,13	-0,23	-0,30	-0,36	-0,42	-0,48	-0,54	-0,60	-0,66	-0,71	-0,76	-0,78	-0,77	-0,73	-0,68	-0,64	-0,61	-0,51	0	-0,3
0,4	0	-0,03	-0,12	-0,21	-0,28	-0,34	-0,40	-0,46	-0,53	-0,59	-0,65	-0,71	-0,77	-0,81	-0,82	-0,80	-0,75	-0,67	-0,58	-0,42	0	-0,4
0,5	0	-0,01	-0,09	-0,18	-0,27	-0,34	-0,40	-0,46	-0,53	-0,59	-0,66	-0,72	-0,78	-0,83	-0,86	-0,86	-0,81	-0,71	-0,55	-0,33	0	-0,5
0,6	0	-0,10	-0,16	-0,21	-0,26	-0,31	-0,37	-0,43	-0,49	-0,55	-0,62	-0,68	-0,74	-0,80	-0,85	-0,87	-0,84	-0,76	-0,58	-0,32	0	-0,6
0,7	0	-0,08	-0,14	-0,19	-0,24	-0,29	-0,34	-0,40	-0,46	-0,52	-0,58	-0,65	-0,71	-0,78	-0,83	-0,87	-0,87	-0,83	-0,71	-0,47	0	-0,7
0,8	0	-0,07	-0,13	-0,18	-0,23	-0,28	-0,33	-0,39	-0,45	-0,51	-0,57	-0,64	-0,71	-0,77	-0,82	-0,86	-0,88	-0,85	-0,75	-0,50	0	-0,8
0,9	0	-0,07	-0,13	-0,18	-0,23	-0,28	-0,33	-0,39	-0,45	-0,51	-0,57	-0,64	-0,71	-0,77	-0,82	-0,86	-0,88	-0,85	-0,74	-0,50	0	-0,9
1,0	0	-0,07	-0,13	-0,18	-0,23	-0,28	-0,33	-0,39	-0,45	-0,51	-0,58	-0,64	-0,71	-0,77	-0,82	-0,86	-0,88	-0,85	-0,74	-0,50	0	-1,0
	1,0	0,9	0,8	0,7	0,6	0,5	0,4	0,3	0,2	0,1	0,0	-0,1	-0,2	-0,3	-0,4	-0,5	-0,6	-0,7	-0,8	-0,9	-1,0	$\alpha$

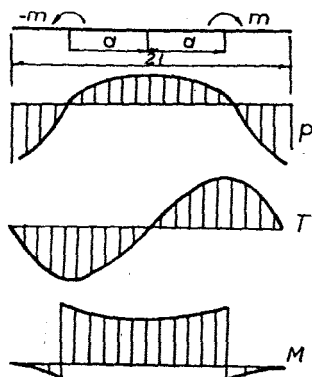
$t=10 \quad \bar{T}$  Tabelul 5.22b

$\alpha \backslash \xi$	-1,0	-0,9	-0,8	-0,7	-0,6	-0,5	-0,4	-0,3	-0,2	-0,1	0,0	0,1	0,2	0,3	0,4	0,5	0,6	0,7	0,8	0,9	1,0	
0,0	0	-0,08	-0,22	-0,36	-0,46	-0,54	-0,62	-0,70	-0,77	-0,82	-0,84	-0,82	-0,77	-0,70	-0,62	-0,54	-0,46	-0,36	-0,22	-0,08	0	0,0
0,1	0	-0,46	-0,46	-0,41	-0,42	-0,47	-0,54	-0,60	-0,67	-0,74	-0,81	-0,84	-0,82	-0,76	-0,69	-0,60	-0,50	-0,33	-0,06	-0,19	0	-0,1
0,2	0	-0,28	-0,29	-0,30	-0,33	-0,39	-0,46	-0,51	-0,58	-0,66	-0,73	-0,79	-0,81	-0,80	-0,75	-0,68	-0,59	-0,49	-0,35	-0,19	0	-0,2
0,3	0	-0,03	-0,07	-0,17	-0,25	-0,31	-0,38	-0,45	-0,52	-0,59	-0,66	-0,72	-0,78	-0,82	-0,81	-0,76	-0,70	-0,68	-0,69	-0,61	0	-0,3
0,4	0	-0,03	-0,06	-0,16	-0,23	-0,29	-0,36	-0,42	-0,49	-0,57	-0,64	-0,72	-0,79	-0,85	-0,88	-0,86	-0,80	-0,73	-0,64	-0,58	0	-0,4
0,5	0	-0,06	-0,02	-0,14	-0,22	-0,28	-0,35	-0,41	-0,48	-0,56	-0,64	-0,72	-0,80	-0,87	-0,92	-0,94	-0,89	-0,78	-0,60	-0,38	0	-0,5
0,6	0	-0,08	-0,12	-0,16	-0,20	-0,25	-0,31	-0,37	-0,44	-0,52	-0,60	-0,68	-0,76	-0,84	-0,91	-0,95	-0,94	-0,84	-0,64	-0,64	0	-0,6
0,7	0	-0,05	-0,09	-0,13	-0,18	-0,22	-0,28	-0,34	-0,40	-0,47	-0,55	-0,63	-0,72	-0,80	-0,88	-0,94	-0,97	-0,94	-0,81	-0,53	0	-0,7
0,8	0	-0,03	-0,08	-0,12	-0,17	-0,21	-0,27	-0,32	-0,39	-0,46	-0,54	-0,62	-0,71	-0,78	-0,87	-0,94	-0,98	-0,97	-0,86	-0,59	0	-0,8
0,9	0	-0,04	-0,08	-0,12	-0,17	-0,22	-0,27	-0,33	-0,39	-0,46	-0,54	-0,62	-0,71	-0,79	-0,87	-0,94	-0,97	-0,96	-0,85	-0,58	0	-0,9
1,0	0	-0,04	-0,08	-0,12	-0,17	-0,21	-0,27	-0,33	-0,39	-0,46	-0,54	-0,62	-0,71	-0,79	-0,87	-0,94	-0,97	-0,96	-0,85	-0,58	0	-1,0
	1,0	0,9	0,8	0,7	0,6	0,5	0,4	0,3	0,2	0,1	0,0	-0,1	-0,2	-0,3	-0,4	-0,5	-0,6	-0,7	-0,8	-0,9	-1,0	$\alpha$

$t=10 \quad \bar{M}$  Tabelul 5.22c

$\alpha \backslash \xi$	-1,0	-0,9	-0,8	-0,7	-0,6	-0,5	-0,4	-0,3	-0,2	-0,1	0,0	0,1	0,2	0,3	0,4	0,5	0,6	0,7	0,8	0,9	1,0	
0,0	0	0,00	-0,02	-0,05	-0,09	-0,14	-0,20	-0,26	-0,34	-0,42	-0,50	-0,42	-0,34	-0,26	-0,20	-0,14	-0,09	-0,05	-0,02	0,00	0	0,0
0,1	0	-0,04	-0,09	-0,13	-0,17	-0,22	-0,27	-0,32	-0,39	-0,46	-0,54	-0,62	-0,29	-0,22	-0,14	-0,08	-0,03	-0,02	-0,03	0,02	0	-0,1
0,2	0	-0,02	-0,05	-0,08	-0,11	-0,15	-0,19	-0,24	-0,29	-0,35	-0,42	-0,50	-0,58	-0,34	-0,26	-0,19	-0,13	-0,07	-0,03	0,00	0	-0,2
0,3	0	-0,01	-0,01	-0,00	-0,02	-0,05	-0,09	-0,13	-0,18	-0,23	-0,29	-0,36	-0,44	-0,52	-0,40	-0,32	-0,25	-0,18	-0,11	-0,04	0	-0,3
0,4	0	0,01	0,01	0,00	-0,02	-0,05	-0,08	-0,12	-0,17	-0,22	-0,28	-0,35	-0,42	-0,51	-0,59	-0,32	-0,24	-0,16	-0,09	-0,03	0	-0,4
0,5	0	0,01	0,01	0,00	-0,02	-0,04	-0,07	-0,11	-0,16	-0,21	-0,27	-0,34	-0,41	-0,50	-0,59	-0,68	-0,77	-0,74	-0,66	-0,02	0	-0,5
0,6	0	-0,01	-0,02	-0,03	-0,05	-0,07	-0,10	-0,13	-0,18	-0,22	-0,28	-0,34	-0,41	-0,49	-0,58	-0,68	-0,77	-0,74	-0,66	-0,02	0	-0,6
0,7	0	0,00	-0,01	-0,02	-0,04	-0,06	-0,08	-0,11	-0,15	-0,19	-0,24	-0,30	-0,37	-0,45	-0,53	-0,62	-0,72	-0,81	-0,09	-0,03	0	-0,7
0,8	0	0,00	-0,01	-0,02	-0,03	-0,05	-0,07	-0,10	-0,14	-0,18	-0,23	-0,29	-0,36	-0,43	-0,52	-0,61	-0,70	-0,80	-0,89	-0,03	0	-0,8
0,9	0	0,00	-0,01	-0,02	-0,03	-0,05	-0,07	-0,11	-0,14	-0,18	-0,23	-0,29	-0,36	-0,43	-0,52	-0,61	-0,70	-0,80	-0,89	-0,03	0	-0,9
1,0	0	0,00	-0,01	-0,02	-0,03	-0,05	-0,08	-0,11	-0,14	-0,18	-0,23	-0,29	-0,36	-0,43	-0,52	-0,61	-0,70	-0,80	-0,89	-0,03	0	-1,0
	1,0	0,9	0,8	0,7	0,6	0,5	0,4	0,3	0,2	0,1	0,0	-0,1	-0,2	-0,3	-0,4	-0,5	-0,6	-0,7	-0,8	-0,9	-1,0	$\alpha$

**TABELE PENTRU FIȘILE DE LUNGIME FINITĂ, DE LĂȚIME UNITARĂ  
INCĂRCATE SIMETRIC CU DOUĂ MOMENTE ÎNCOVOIETOARE**



Formule de calcul

$$p = \bar{p} \frac{m}{b l^2}$$

$$T = \pm \bar{T} \frac{m}{l}$$

$$M = \bar{M} m$$

$$b' = 1.0 m; \alpha = \frac{a}{l}$$

Notă: Semnul (+) din relația forței tăietoare corespunde jumătății din dreapta a fișiei.

$t=1 \quad \bar{p}$

Tabelul 5.23a

$\alpha \backslash \xi$	0,0	0,1	0,2	0,3	0,4	0,5	0,6	0,7	0,8	0,9	1,0
0,1	-0,09	-0,06	-0,02	0,02	0,03	0,04	0,09	0,23	0,34	0,32	-
0,2	-0,17	-0,15	-0,11	-0,08	-0,02	0,00	0,04	0,11	0,18	0,14	-
0,3	-0,23	-0,23	-0,20	-0,15	-0,09	-0,03	-0,03	-0,05	-0,04	0,32	-
0,4	-0,25	-0,25	-0,23	-0,19	-0,12	-0,06	0,00	0,02	0,08	0,36	-
0,5	-0,26	-0,26	-0,24	-0,21	-0,16	-0,08	0,00	0,07	0,17	0,41	-
0,6	-0,26	-0,26	-0,24	-0,22	-0,18	-0,11	-0,01	0,14	0,30	0,44	-
0,7	-0,28	-0,27	-0,26	-0,23	-0,20	-0,14	-0,06	0,05	0,25	0,54	-
0,8	-0,28	-0,28	-0,26	-0,24	-0,20	-0,15	-0,07	0,04	0,23	0,56	-
0,9	-0,28	-0,28	-0,26	-0,24	-0,20	-0,15	-0,07	0,04	0,23	0,56	-
1,0	-0,28	-0,28	-0,26	-0,24	-0,20	-0,15	-0,07	0,04	0,23	0,56	-

$t=1 \quad \bar{T}$

Tabelul 5.23b

$\alpha \backslash \xi$	0,0	0,1	0,2	0,3	0,4	0,5	0,6	0,7	0,8	0,9	1,0
0,1	0	-0,01	-0,01	-0,01	-0,01	-0,01	0,00	0,01	0,03	0,07	0
0,2	0	-0,02	-0,03	-0,04	-0,04	-0,04	-0,04	-0,03	-0,02	0,00	0
0,3	0	-0,02	-0,04	-0,06	-0,07	-0,08	-0,08	-0,09	-0,09	-0,08	0
0,4	0	-0,02	-0,05	-0,07	-0,08	-0,09	-0,10	-0,09	-0,09	-0,07	0
0,5	0	-0,03	-0,05	-0,07	-0,09	-0,11	-0,11	-0,11	-0,09	-0,07	0
0,6	0	-0,03	-0,05	-0,07	-0,09	-0,11	-0,11	-0,11	-0,09	-0,05	0
0,7	0	-0,03	-0,05	-0,08	-0,10	-0,12	-0,13	-0,13	-0,11	-0,09	0
0,8	0	-0,03	-0,05	-0,08	-0,10	-0,12	-0,13	-0,13	-0,12	-0,08	0
0,9	0	-0,03	-0,05	-0,08	-0,10	-0,12	-0,13	-0,13	-0,12	-0,08	0
1,0	0	-0,03	-0,06	-0,08	-0,10	-0,12	-0,13	-0,13	-0,12	-0,08	0

$t=1 \quad \bar{M}$

Tabelul 5.23c

$\alpha \backslash \xi$	0,0	0,1	0,2	0,3	0,4	0,5	0,6	0,7	0,8	0,9	1,0
0,1	-1,01	-1,01*	-0,99	-0,99	-0,97	-0,95	-0,92	-0,87	-0,81	-0,74	0
0,2	-0,98	-0,98	-0,98*	-0,97	-0,95	-0,92	-0,87	-0,81	-0,74	-0,67	0
0,3	-0,95	-0,94	-0,94	-0,94*	-0,93	-0,91	-0,87	-0,81	-0,74	-0,67	0
0,4	-0,93	-0,93	-0,93	-0,94	-0,93*	-0,91	-0,87	-0,81	-0,74	-0,67	0
0,5	-0,93	-0,93	-0,93	-0,94	-0,95	-0,96*	-0,93	-0,87	-0,81	-0,74	0
0,6	-0,93	-0,93	-0,93	-0,94	-0,95	-0,96	-0,97*	-0,93	-0,87	-0,81	0
0,7	-0,92	-0,92	-0,92	-0,93	-0,94	-0,95	-0,96	-0,97*	-0,93	-0,87	0
0,8	-0,91	-0,92	-0,92	-0,93	-0,94	-0,95	-0,96	-0,97	-0,98*	-0,93	0
0,9	-0,91	-0,91	-0,92	-0,93	-0,94	-0,95	-0,96	-0,97	-0,98	-1,00*	0
1,0	-0,91	-0,91	-0,92	-0,93	-0,94	-0,95	-0,96	-0,97	-0,98	-1,00	-1*

$t=2, \bar{p}$  Tabelul 5.24a

$\alpha \backslash \bar{p}$	0,0	0,1	0,2	0,3	0,4	0,5	0,6	0,7	0,8	0,9	1,0
0,1	-0,17	-0,13	-0,04	0,03	0,06	0,07	0,18	0,46	0,52	-0,03	-
0,2	-0,33	-0,29	-0,20	-0,11	-0,03	0,02	0,09	0,21	0,35	0,27	-
0,3	-0,43	-0,42	-0,37	-0,28	-0,16	-0,06	-0,05	-0,13	-0,11	0,06	-
0,4	-0,47	-0,46	-0,43	-0,35	-0,23	-0,11	0,00	0,04	0,13	0,67	-
0,5	-0,49	-0,48	-0,46	-0,40	-0,29	-0,15	0,00	0,14	0,32	0,76	-
0,6	-0,49	-0,48	-0,46	-0,41	-0,33	-0,20	-0,01	0,27	0,48	0,83	-
0,7	-0,51	-0,51	-0,48	-0,44	-0,37	-0,27	-0,12	0,11	0,45	1,01	-
0,8	-0,52	-0,51	-0,49	-0,44	-0,38	-0,28	-0,15	0,07	0,43	1,06	-
0,9	-0,52	-0,51	-0,49	-0,44	-0,38	-0,28	-0,14	0,07	0,42	1,04	-
1,0	-0,52	-0,51	-0,49	-0,44	-0,38	-0,28	-0,14	0,07	0,42	1,04	-

$t=2, \bar{T}$  Tabelul 5.24b

$\alpha \backslash \bar{T}$	0,0	0,1	0,2	0,3	0,4	0,5	0,6	0,7	0,8	0,9	1,0
0,1	0	-0,02	-0,02	-0,02	-0,02	-0,01	0,00	0,03	0,09	0,14	0
0,2	0	-0,03	-0,06	-0,07	-0,08	-0,08	-0,07	-0,06	-0,03	0,01	0
0,3	0	-0,04	-0,08	-0,11	-0,14	-0,15	-0,15	-0,16	-0,17	-0,16	0
0,4	0	-0,05	-0,09	-0,13	-0,16	-0,18	-0,18	-0,18	-0,17	-0,14	0
0,5	0	-0,05	-0,10	-0,14	-0,17	-0,20	-0,20	-0,20	-0,18	-0,13	0
0,6	0	-0,05	-0,10	-0,14	-0,18	-0,20	-0,22	-0,20	-0,16	-0,09	0
0,7	0	-0,05	-0,10	-0,15	-0,19	-0,22	-0,24	-0,24	-0,21	-0,14	0
0,8	0	-0,05	-0,10	-0,15	-0,19	-0,22	-0,25	-0,25	-0,23	-0,16	0
0,9	0	-0,05	-0,10	-0,15	-0,19	-0,22	-0,25	-0,25	-0,23	-0,16	0
1,0	0	-0,05	-0,10	-0,15	-0,19	-0,22	-0,25	-0,25	-0,23	-0,16	0

$t=2, \bar{M}$  Tabelul 5.24c

$\alpha \backslash \bar{M}$	0,0	0,1	0,2	0,3	0,4	0,5	0,6	0,7	0,8	0,9	1,0
0,1	-1,02	-1,02*	-0,03	-0,03	-0,03	-0,03	-0,03	-0,03	-0,03	-0,01	0
0,2	-0,96	-0,96	-0,96*	0,03	0,02	0,02	0,01	0,00	0,00	0,00	0
0,3	-0,88	-0,88	-0,88	-0,90*	0,09	0,08	0,06	0,05	0,03	0,01	0
0,4	-0,87	-0,87	-0,88	-0,89	-0,90*	0,08	0,06	0,04	0,03	0,01	0
0,5	-0,87	-0,87	-0,87	-0,88	-0,90	-0,92*	0,06	0,04	0,02	0,01	0
0,6	-0,87	-0,87	-0,88	-0,89	-0,90	-0,92	-0,94*	0,03	0,02	0,01	0
0,7	-0,84	-0,85	-0,86	-0,87	-0,88	-0,90	-0,93	-0,95*	0,03	0,01	0
0,8	-0,84	-0,84	-0,85	-0,86	-0,88	-0,90	-0,92	-0,95	-0,97*	0,01	0
0,9	-0,84	-0,84	-0,85	-0,86	-0,88	-0,90	-0,92	-0,95	-0,97	-0,99*	0
1,0	-0,84	-0,84	-0,85	-0,86	-0,88	-0,90	-0,92	-0,95	-0,97	-0,99	-1*

$t=3, \bar{p}$  Tabelul 5.25a

$\alpha \backslash \bar{p}$	0,0	0,1	0,2	0,3	0,4	0,5	0,6	0,7	0,8	0,9	1,0
0,1	-0,27	-0,21	-0,06	0,06	0,08	0,10	0,27	0,69	1,02	-0,03	-
0,2	-0,47	-0,42	-0,29	-0,14	-0,03	0,04	0,13	0,31	0,52	0,38	-
0,3	-0,61	-0,59	-0,52	-0,39	-0,22	-0,07	-0,07	-0,21	-0,20	0,83	-
0,4	-0,66	-0,65	-0,60	-0,49	-0,32	-0,13	0,00	0,05	0,17	0,93	-
0,5	-0,69	-0,68	-0,65	-0,56	-0,41	-0,21	0,00	0,19	0,44	1,07	-
0,6	-0,70	-0,68	-0,64	-0,58	-0,47	-0,29	-0,01	0,39	0,84	1,18	-
0,7	-0,72	-0,71	-0,67	-0,62	-0,52	-0,38	-0,17	0,15	0,65	1,42	-
0,8	-0,73	-0,71	-0,68	-0,62	-0,54	-0,41	-0,22	0,09	0,60	1,49	-
0,9	-0,73	-0,71	-0,68	-0,62	-0,53	-0,40	-0,21	0,09	0,59	1,48	-
1,0	-0,73	-0,71	-0,68	-0,62	-0,53	-0,40	-0,21	0,09	0,59	1,47	-

$t=3: \bar{T}$  Tabelul 5.25b

$\alpha \backslash \bar{g}$	0,0	0,1	0,2	0,3	0,4	0,5	0,6	0,7	0,8	0,9	1,0
0,1	0	-0,02	-0,04	-0,04	-0,03	-0,02	-0,01	0,04	0,13	0,20	0
0,2	0	-0,04	-0,08	-0,10	-0,11	-0,11	-0,10	-0,08	-0,04	0,01	0
0,3	0	-0,06	-0,12	-0,16	-0,19	-0,21	-0,21	-0,23	-0,25	-0,24	0
0,4	0	-0,06	-0,13	-0,18	-0,22	-0,25	-0,25	-0,25	-0,24	-0,20	0
0,5	0	-0,07	-0,14	-0,20	-0,25	-0,28	-0,29	-0,28	-0,25	-0,18	0
0,6	0	-0,07	-0,14	-0,20	-0,25	-0,29	-0,31	-0,29	-0,23	-0,12	0
0,7	0	-0,07	-0,14	-0,21	-0,26	-0,31	-0,34	-0,34	-0,30	-0,20	0
0,8	0	-0,07	-0,14	-0,21	-0,27	-0,31	-0,35	-0,35	-0,32	-0,22	0
0,9	0	-0,07	-0,14	-0,21	-0,27	-0,31	-0,34	-0,35	-0,32	-0,22	0
1,0	0	-0,07	-0,14	-0,21	-0,27	-0,31	-0,34	-0,35	-0,32	-0,22	0

$t=3: \bar{M}$  Tabelul 5.25c

$\alpha \backslash \bar{g}$	0,0	0,1	0,2	0,3	0,4	0,5	0,6	0,7	0,8	0,9	1,0
0,1	-1,03	-1,03*	-0,04	-0,04	-0,05	-0,05	-0,05	-0,05	-0,04	-0,01	0
0,2	-1,03	-0,95	-0,95*	0,04	0,03	0,02	0,01	0,00	0,00	0,00	0
0,3	-0,83	-0,83	-0,84	-0,85*	0,13	0,11	0,09	0,07	0,04	0,02	0
0,4	-0,81	-0,82	-0,83	-0,84	-0,86*	0,11	0,09	0,07	0,04	0,01	0
0,5	-0,78	-0,81	-0,82	-0,83	-0,86	-0,88*	0,09	0,07	0,03	0,01	0
0,6	-0,77	-0,81	-0,82	-0,84	-0,86	-0,89	-0,92*	0,05	0,02	0,00	0
0,7	-0,77	-0,78	-0,80	-0,81	-0,83	-0,86	-0,90	-0,93*	0,04	0,01	0
0,8	-0,77	-0,78	-0,79	-0,80	-0,83	-0,86	-0,89	-0,93	-0,96*	0,01	0
0,9	-0,77	-0,78	-0,79	-0,80	-0,83	-0,86	-0,89	-0,93	-0,96	-0,99*	0
1,0	-0,77	-0,78	-0,79	-0,80	-0,83	-0,86	-0,89	-0,93	-0,96	-0,99	-1*

$t=5: \bar{b}$  Tabelul 5.26a

$\alpha \backslash \bar{g}$	0,0	0,1	0,2	0,3	0,4	0,5	0,6	0,7	0,8	0,9	1,0
0,1	-0,49	-0,38	-0,14	-0,03	0,10	0,14	0,44	1,16	1,74	0,04	-
0,2	-0,76	-0,67	-0,46	-0,22	-0,04	0,07	0,23	0,51	0,84	0,59	-
0,3	-0,89	-0,87	-0,77	-0,55	-0,29	-0,08	-0,11	-0,39	-0,44	1,18	-
0,4	-0,96	-0,96	-0,89	-0,73	-0,46	-0,18	0,01	0,04	0,17	1,33	-
0,5	-1,02	-1,01	-0,97	-0,84	-0,61	-0,30	0,01	0,28	0,62	1,56	-
0,6	-1,04	-1,02	-0,97	-0,87	-0,71	-0,44	-0,01	0,61	1,29	1,77	-
0,7	-1,06	-1,04	-1,00	-0,91	-0,79	-0,59	-0,28	0,21	0,96	2,14	-
0,8	-1,06	-1,05	-1,00	-0,93	-0,81	-0,62	-0,35	0,10	0,87	2,24	-
0,9	-1,06	-1,05	-1,00	-0,92	-0,80	-0,62	-0,34	0,11	0,86	2,21	-
1,0	-1,06	-1,06	-1,00	-0,92	-0,80	-0,62	-0,34	0,11	0,86	2,20	-

$t=5: \bar{T}$  Tabelul 5.26b

$\alpha \backslash \bar{g}$	0,0	0,1	0,2	0,3	0,4	0,5	0,6	0,7	0,8	0,9	1,0
0,1	0	-0,04	-0,06	-0,08	-0,07	-0,06	-0,03	0,05	0,20	0,33	0
0,2	0	-0,07	-0,13	-0,16	-0,18	-0,17	-0,16	-0,13	-0,06	0,03	0
0,3	0	-0,09	-0,17	-0,24	-0,28	-0,30	-0,30	-0,33	-0,38	-0,37	0
0,4	0	-0,10	-0,19	-0,27	-0,33	-0,36	-0,37	-0,37	-0,36	-0,30	0
0,5	0	-0,10	-0,20	-0,29	-0,37	-0,41	-0,43	-0,41	-0,37	-0,27	0
0,6	0	-0,10	-0,20	-0,29	-0,38	-0,43	-0,46	-0,43	-0,33	-0,18	0
0,7	0	-0,10	-0,21	-0,30	-0,39	-0,46	-0,50	-0,51	-0,45	-0,30	0
0,8	0	-0,10	-0,21	-0,30	-0,39	-0,46	-0,51	-0,53	-0,48	-0,33	0
0,9	0	-0,11	-0,21	-0,30	-0,39	-0,46	-0,51	-0,53	-0,48	-0,33	0
1,0	0	-0,11	-0,21	-0,30	-0,39	-0,46	-0,51	-0,53	-0,48	-0,33	0



$t=5, \bar{M}$  Tabelul 5.26c

$\alpha \backslash \bar{q}$	0,0	0,1	0,2	0,3	0,4	0,5	0,6	0,7	0,8	0,9	1,0
0,1	-1,04	-1,04*	-0,95	-0,96	-0,96	-0,97	-0,98	-0,98	-0,96	-0,93	0
0,2	-0,90	-0,91	-0,92*	-0,97	-0,95	-0,93	-0,92	-0,90	-0,91	-0,90	0
0,3	-0,74	-0,75	-0,76	-0,78*	-0,79	-0,76	-0,73	-0,70	-0,71	-0,70	0
0,4	-0,72	-0,73	-0,74	-0,77	-0,80*	-0,77	-0,73	-0,69	-0,70	-0,69	0
0,5	-0,71	-0,71	-0,73	-0,75	-0,79	-0,83*	-0,79	-0,75	-0,75	-0,74	0
0,6	-0,72	-0,72	-0,74	-0,76	-0,80	-0,84*	-0,80	-0,76	-0,76	-0,75	0
0,7	-0,67	-0,68	-0,69	-0,72	-0,76	-0,80	-0,84*	-0,80	-0,76	-0,76	0
0,8	-0,66	-0,67	-0,68	-0,71	-0,74	-0,79	-0,84*	-0,80	-0,76	-0,76	0
0,9	-0,66	-0,67	-0,68	-0,71	-0,74	-0,79	-0,84*	-0,80	-0,76	-0,76	0
1,0	-0,66	-0,67	-0,68	-0,71	-0,74	-0,79	-0,84*	-0,80	-0,76	-0,76	-1*

$t=7, \bar{p}$  Tabelul 5.27a

$\alpha \backslash \bar{q}$	0,0	0,1	0,2	0,3	0,4	0,5	0,6	0,7	0,8	0,9	1,0
0,1	-0,67	-0,68	-0,70	-0,75	-0,74	-0,79	-0,81	-0,82	-0,83	-0,84	-
0,2	-1,01	-0,89	-0,59	-0,28	-0,03	0,12	0,32	0,69	1,13	1,75	-
0,3	-1,13	-1,09	-0,96	-0,68	-0,23	-0,06	-0,09	-0,58	-0,58	1,45	-
0,4	-1,23	-1,21	-1,13	-0,91	-0,58	-0,20	0,02	0,02	0,13	1,65	-
0,5	-1,29	-1,28	-1,23	-1,06	-0,77	-0,38	0,02	0,41	0,76	1,95	-
0,6	-1,31	-1,29	-1,22	-1,11	-0,89	-0,57	0,00	0,80	1,70	2,25	-
0,7	-1,32	-1,30	-1,25	-1,15	-1,00	-0,76	-0,37	0,24	1,21	2,73	-
0,8	-1,32	-1,30	-1,25	-1,16	-1,02	-0,81	-0,47	0,09	1,08	2,85	-
0,9	-1,32	-1,30	-1,25	-1,16	-1,02	-0,80	-0,46	0,10	1,07	2,82	-
1,0	-1,32	-1,30	-1,25	-1,16	-1,02	-0,80	-0,46	0,11	1,06	2,81	-

$t=7, \bar{T}$  Tabelul 5.27b

$\alpha \backslash \bar{q}$	0,0	0,1	0,2	0,3	0,4	0,5	0,6	0,7	0,8	0,9	1,0
0,1	0	-0,06	-0,10	-0,11	-0,09	-0,08	-0,04	0,07	0,28	0,42	0
0,2	0	-0,10	-0,17	-0,22	-0,23	-0,22	-0,20	-0,16	-0,06	0,05	0
0,3	0	-0,11	-0,21	-0,30	-0,35	-0,37	-0,38	-0,41	-0,48	-0,48	0
0,4	0	-0,12	-0,24	-0,34	-0,42	-0,46	-0,46	-0,46	-0,46	-0,39	0
0,5	0	-0,13	-0,26	-0,37	-0,46	-0,52	-0,54	-0,52	-0,47	-0,34	0
0,6	0	-0,13	-0,26	-0,37	-0,48	-0,55	-0,58	-0,54	-0,42	-0,21	0
0,7	0	-0,13	-0,26	-0,38	-0,49	-0,58	-0,63	-0,64	-0,57	-0,38	0
0,8	0	-0,13	-0,26	-0,38	-0,49	-0,58	-0,65	-0,67	-0,62	-0,43	0
0,9	0	-0,13	-0,26	-0,38	-0,49	-0,58	-0,65	-0,67	-0,60	-0,43	0
1,0	0	-0,13	-0,26	-0,38	-0,49	-0,58	-0,65	-0,67	-0,61	-0,43	0

$t=7, \bar{M}$  Tabelul 5.27c

$\alpha \backslash \bar{q}$	0,0	0,1	0,2	0,3	0,4	0,5	0,6	0,7	0,8	0,9	1,0
0,1	-1,06	-1,06*	-0,97	-0,98	-0,99	-0,10	-0,11	-0,11	-0,09	-0,04	0
0,2	-0,88	-0,88	-0,90*	-0,98	-0,96	-0,94	-0,92	-0,90	-0,98	-0,91	0
0,3	-0,67	-0,68	-0,70	-0,72*	-0,75	-0,71	-0,67	-0,63	-0,69	-0,64	0
0,4	-0,65	-0,66	-0,67	-0,70	-0,76*	-0,71	-0,67	-0,62	-0,67	-0,63	0
0,5	-0,63	-0,64	-0,65	-0,69	-0,73	-0,78*	-0,71	-0,67	-0,66	-0,63	0
0,6	-0,64	-0,65	-0,67	-0,70	-0,74	-0,80	-0,85*	-0,79	-0,74	-0,71	0
0,7	-0,59	-0,60	-0,61	-0,65	-0,69	-0,74	-0,80	-0,87*	-0,81	-0,77	0
0,8	-0,57	-0,58	-0,60	-0,63	-0,67	-0,73	-0,79	-0,86	-0,92*	-0,86	0
0,9	-0,57	-0,58	-0,60	-0,63	-0,68	-0,73	-0,79	-0,86	-0,92	-0,98*	0
1,0	-0,57	-0,58	-0,60	-0,63	-0,68	-0,73	-0,79	-0,86	-0,92	-0,98	-1*

$t=10, \bar{p}$  Tabelul 5.28a

$\alpha \backslash \bar{p}$	0,0	0,1	0,2	0,3	0,4	0,5	0,6	0,7	0,8	0,9	1,0
0,1	-1,00	-0,79	-0,32	0,03	0,16	0,25	0,86	2,33	3,54	0,19	-
0,2	-1,35	-1,17	-0,77	-0,34	0,01	0,19	0,45	0,96	1,56	0,95	-
0,3	-1,41	-1,36	-1,19	-0,86	-0,35	-0,01	-0,18	-0,89	-1,21	1,73	-
0,4	-1,53	-1,51	-1,42	-1,14	-0,70	-0,14	0,05	-0,04	-0,08	1,99	-
0,5	-1,60	-1,59	-1,54	-1,34	-0,96	-0,45	0,05	0,43	0,88	2,40	-
0,6	-1,64	-1,61	-1,54	-1,41	-1,14	-0,73	0,01	1,08	2,23	2,83	-
0,7	-1,61	-1,59	-1,54	-1,43	-1,26	-0,98	-0,51	0,27	1,50	3,44	-
0,8	-1,60	-1,58	-1,54	-1,45	-1,30	-1,07	-0,67	0,03	1,30	3,82	-
0,9	-1,60	-1,58	-1,53	-1,44	-1,29	-1,04	-0,63	0,06	1,29	3,54	-
1,0	-1,60	-1,58	-1,53	-1,44	-1,28	-1,03	-0,62	0,07	1,29	3,53	-

$t=10, \bar{T}$  Tabelul 5.28b

$\alpha \backslash \bar{T}$	0,0	0,1	0,2	0,3	0,4	0,5	0,6	0,7	0,8	0,9	1,0
0,1	0	-0,09	-0,15	-0,16	-0,15	-0,13	-0,07	0,07	0,40	0,65	0
0,2	0	-0,13	-0,23	-0,28	-0,30	-0,29	-0,26	-0,19	-0,06	0,09	0
0,3	0	-0,14	-0,27	-0,37	-0,43	-0,44	-0,45	-0,50	-0,62	-0,64	0
0,4	0	-0,15	-0,30	-0,43	-0,52	-0,57	-0,57	-0,57	-0,58	-0,51	0
0,5	0	-0,16	-0,32	-0,46	-0,58	-0,66	-0,67	-0,65	-0,58	-0,32	0
0,6	0	-0,16	-0,32	-0,47	-0,60	-0,70	-0,73	-0,68	-0,52	-0,25	0
0,7	0	-0,16	-0,32	-0,47	-0,60	-0,71	-0,79	-0,81	-0,73	-0,48	0
0,8	0	-0,16	-0,32	-0,47	-0,60	-0,72	-0,81	-0,85	-0,79	-0,55	0
0,9	0	-0,16	-0,32	-0,46	-0,60	-0,72	-0,80	-0,83	-0,77	-0,54	0
1,0	0	-0,16	-0,32	-0,46	-0,60	-0,72	-0,80	-0,83	-0,77	-0,54	0

$t=10, \bar{M}$  Tabelul 5.28c

$\alpha \backslash \bar{M}$	0,0	0,1	0,2	0,3	0,4	0,5	0,6	0,7	0,8	0,9	1,0
0,1	-1,07	-1,08*	-0,19	-0,11	-0,12	-0,14	-0,15	-0,15	-0,12	-0,06	0
0,2	-0,85	-0,85	-0,87*	0,10	0,07	0,04	0,01	-0,01	-0,02	-0,01	0
0,3	-0,59	-0,60	-0,62	-0,65*	0,31	0,27	0,22	0,17	0,12	0,05	0
0,4	-0,56	-0,57	-0,59	-0,63	-0,67*	0,27	0,21	0,16	0,10	0,04	0
0,5	-0,54	-0,54	-0,57	-0,61	-0,66	-0,72*	0,21	0,15	0,08	0,03	0
0,6	-0,56	-0,57	-0,59	-0,63	-0,68	-0,75	-0,82*	0,14	0,05	0,01	0
0,7	-0,49	-0,50	-0,52	-0,56	-0,61	-0,68	-0,75	-0,83*	0,09	0,03	0
0,8	-0,50	-0,48	-0,50	-0,54	-0,59	-0,66	-0,74	-0,82	-0,90*	0,03	0
0,9	-0,47	-0,48	-0,50	-0,54	-0,59	-0,66	-0,74	-0,82	-0,90	-0,97*	0
1,0	-0,47	-0,48	-0,50	-0,54	-0,59	-0,66	-0,74	-0,82	-0,90	-0,97	-1*